

2017

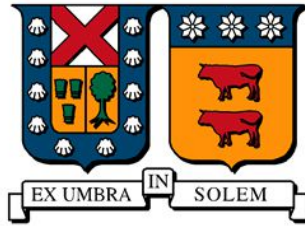
DISEÑO Y SELECCIÓN DE COMPONENTES DE UNA MÁQUINA BRIQUETEADORA DE MEDIANA CAPACIDAD

VENEGAS MARTÍNEZ, IGNACIO ANDRÉS

<http://hdl.handle.net/11673/23023>

Repositorio Digital USM, UNIVERSIDAD TECNICA FEDERICO SANTA MARIA

UNIVERSIDAD TÉCNICA FEDERICO SANTA MARÍA
DEPARTAMENTO DE INGENIERÍA MECÁNICA
VALPARAÍSO-CHILE



“ Diseño y selección de componentes de una máquina
briqueteadora de mediana capacidad”

IGNACIO VENEGAS MARTINEZ

TRABAJO DE TITULACIÓN PARA OPTAR AL TÍTULO DE:

INGENIERO CIVIL MECÁNICO

PROFESOR GUÍA: ING. RAFAEL MENA Y.

PROFESOR COREFERENTE: ING. GERMAN HÖERNIG A.

20 de Enero 2017

RESUMEN

En el presente documento, se plantea el diseño de una maquina briqueteadora hidráulica de mediana capacidad, la cual debe producir briquetas prismáticas a una capacidad estimada en 150 kg/h. El diseño está orientado para desechos de la industria agroforestal, por lo que se ha considerado como material de pruebas, el aserrín de pino radiata, el cual posee una humedad controlada y una granulometría menor a dos milímetros.

El proceso de briqueteado consta de dos cilindros, el primero encargado de densificar el material, el cual posee una densidad aparente muy baja. el segundo cilindro es el encargado de compactar completamente el material, hasta llevarlo a una densidad mayor a 1000 kg/m^3 . Para asegurar que la estructura de la maquina soporte los esfuerzos ejercidos por los cilindros hidráulicos, las piezas han sido sometidas a análisis de elementos finitos, donde se establecieron los esfuerzos principales y las deformaciones máximas para cada componente.

El sistema oleo hidráulico es alimentado por dos bombas en paralelo, la primero proporciona un alto caudal a baja presión, para efectuar los movimientos de acercamiento y retroceso del los cilindros, mientras que la segunda bomba aporta un pequeño caudal a una gran presión, para así poder finalizar el proceso de compresión. Para porcionar la materia prima, se dispondrá de un alimentador de tornillo, el cual controlara el ingreso de aserrín desde la tolva a la cámara de pre compresión.

La ejecución del proceso de briqueteado es comandado por un PLC, restringiendo al mínimo la intervención del operador. Mediante sensores de posición y presostatos ubicados en los cilindros de compresión, el autómata programable ejecuta las etapas del briqueteado, asegurando una densidad acorde a la norma DIN 51731.

ABSTRACT

In the present document, it will be pose the design of a medium capacity hydraulic briquetting machine, this machine must produce prismatic briquettes in a estimated flow of 150 kg/h. The design is oriented to use the waste of the wood and agrarian industries, so the pino radiata's saw dust has been considerate like the ideal material for the compressive test, this sawdust has a controlled moisture content and a limp size less than two millimeters.

The briquetting process uses two hydraulic cylinders, the first one has to pre charge the material, because the sawdust has a very low raw density, and the second one is in charge to the full compress of the material, to finally get at least 1000 kg/m^3 of density . To ensure that the structure of the machine will support the stress exerted by the hydraulic cylinders, the critical components has been tried with strain finite element methods, when the maximum deformation and the maximum stress has been determinate.

The oleo hydraulic system has two pumps mounted in parallel , the first pump has a big flow and a low pressure to make the close up movements and the backing down of the cylinders. The second pump, has a low flow and a high pressure to finish the compress process. For provide the material in to the pre compress chamber, will be used a screw feeder to might control the entry of sawdust from the hopper.

The process will be commanded by a PLC, reducing to the minimum the operators' interventions . Through proximity sensors and pressure switch put in the compressors cylinders, the PLC execute the steps of briquetting ensuring a density accord to the DIN 51731 norm.

ÍNDICE GENERAL

1	Introducción y Objetivos	1
1.1	Introducción.....	1
1.2	Objetivos.....	1
2	Maquinas briqueteadoras y biomasa en chile	2
2.1	Introducción.....	2
2.2	Biomasa	3
2.2.1	Biomasa Natural:	4
2.2.2	Biomasa Residual:	4
2.2.3	Biomasa producida:.....	4
2.3	Industria en Chile	4
2.3.1	Industria Forestal	4
2.3.2	Industria Agrícola	6
2.4	Biomasa como fuente de energía renovable.....	7
2.4.1	Pellets:	7
2.4.2	Briquetas:	7
2.5	Norma DIN 51731.....	7
2.6	Principales usos	9
2.7	Industria de la biomasa lignificada en Chile	10
2.7.1	Producción de Pellets	11
2.7.2	Producción de Briquetas.....	12
2.8	Maquinas briqueteadoras.....	13
2.8.1	Prensa briqueteadora mecánica.....	13
2.8.2	Briqueteadora mecánica de tornillo	14

2.8.3	Briqueteadora hidráulica	14
2.9	Comparación entre las distintas maquinas.....	15
2.10	Principales fabricantes	17
3	Maquina briqueteadora hidráulica.....	20
3.1	Introducción.....	20
3.2	Características principales.....	20
3.3	Principales elementos.....	21
3.4	Proceso de Briqueteado	23
4	Diseño de elementos críticos.....	26
4.1	Introducción.....	26
4.2	Elementos críticos.....	26
4.3	Molde fijo	27
4.3.1	Manufactura y materiales	28
4.3.2	Condiciones de Borde.....	29
4.3.3	Resultados obtenidos.....	29
4.3.4	Evaluación de la pieza.....	31
4.4	Molde.....	31
4.4.1	Manufactura y materiales	32
4.4.2	Condiciones de Borde.....	33
4.4.3	Resultados obtenidos.....	33
4.4.4	Evaluación de la pieza	35
4.5	Cámara de pre compresión	35
4.5.1	Manufactura y materiales	37
4.5.2	Condiciones de borde.....	37
4.5.3	Resultados obtenidos.....	38

4.5.4	Evaluación de la pieza.....	40
4.6	Extremo cilindro A.....	40
4.6.1	Manufactura y materiales.....	40
4.6.2	Condiciones de Borde.....	41
4.6.3	Resultados obtenidos.....	41
4.6.4	Evaluación de la pieza.....	43
4.7	Extremo cilindro B.....	43
4.7.1	Manufactura y materiales.....	43
4.7.2	Condiciones de Borde.....	44
4.7.3	Resultados obtenidos.....	44
4.7.4	Evaluación de la pieza.....	46
5	Diseño sistema Oleo hidráulico y sistema de alimentación.....	46
5.1	Introducción.....	46
5.2	Esquema Oleo Hidráulicos.....	46
5.3	Componentes a utilizar.....	48
5.3.1	Cilindro Doble Efecto:.....	48
5.3.2	Válvulas distribuidoras.....	49
5.3.3	Válvula anti retorno.....	49
5.3.4	Válvula reguladora de caudal unidireccional.....	50
5.3.5	Válvula limitadora de presión.....	51
5.3.6	Filtro.....	51
5.3.7	Bomba.....	52
5.4	Determinación de carreras en cilindros hidráulicos.....	52
5.4.1	Carrera cilindro A.....	53
5.4.2	Carrera cilindro B.....	54

5.4.3	Carrera cilindro C	55
5.4.4	Carrera Cilindro D	55
5.5	Selección de cilindros hidráulicos.....	55
5.5.1	Selección diámetro del embolo	56
5.5.2	Verificación de pandeo.....	58
5.6	Selección de válvulas limitadoras de presión.....	59
5.7	Válvula reguladora de caudal	62
5.8	Selección de válvulas direccionales.....	65
5.9	Válvulas Check.....	67
5.10	Aceite hidráulico	68
5.11	Filtro.....	69
5.12	Diámetro de tubería.....	72
5.13	Manómetro.....	73
5.14	Estanque hidráulico	73
5.15	Perdidas de presión	74
5.16	Diagrama espacio tiempo	74
5.17	Selección de bomba y potencia de accionamiento.....	77
5.17.1	Tipos de bombas Oleo hidráulicas.....	77
5.17.2	Selección de bombas	78
5.17.3	Selección de motor	81
5.17.4	Transmisión de potencia.....	82
5.18	Sistema de alimentación	85
5.18.1	Tipos de alimentadores.....	85
5.18.2	Diferencias comparativas	88
5.18.3	Alimentadores de tornillo.....	89

5.18.4	Partes del Alimentador/transportador de tornillo	92
5.18.5	Selección de componentes	94
5.18.6	Motoreductor.....	101
5.18.7	Tolva.....	102
6	Automatización del proceso.	107
6.1	Introducción.....	107
6.2	Diagrama de estados	107
6.3	Elementos de mando y control	110
6.3.1	Sensores de nivel tolva	110
6.3.2	Sensores de proximidad inductivos	111
6.3.3	Sensor de rotación.....	111
6.3.4	Presostato.	112
6.4	PLC	113
7	Conclusiones	115
7.1	Estimación Económica	115
7.2	Conclusiones finales	118
8	Referencias.....	121
ANEXO A	123
ANEXO B	136
ANEXO C	163
ANEXO D	172
ANEXO E	176

ÍNDICE DE FIGURAS

Figura 2-1, Residuos industria forestal.....	6
Figura 2-2, Calefactor a pellets.....	10
Figura 2-3, Briqueteadora mecánica.....	13
Figura 2-4, Briqueteadora de tornillo	14
Figura 2-5, Briqueteadora hidráulica.....	15
Figura 2-6, FC Nielsen	17
Figura 2-7, Gemco Energy.....	18
Figura 2-8, RUF.....	19
Figura 2-9, Di -Piu.....	20
Figura 3-1, Maquina briqueteadora	22
Figura 3-2, Desplazamiento molde.....	24
Figura 3-3 Compactación.....	24
Figura 3-4 Extensión total del cilindro C.....	25
Figura 3-5 Briqueteadora en reposo	25
Figura 4-1, Malla	27
Figura 4-2, Molde fijo	28
Figura 4-3, Deformación total molde fijo	29
Figura 4-4, Esfuerzo máximo molde fijo	30

Figura 4-5, Factor de seguridad molde fijo	30
Figura 4-6 Molde	31
Figura 4-7, Molde interior	32
Figura 4-8 Molde exterior	32
Figura 4-9 ,Deformación total molde	34
Figura 4-10, Esfuerzo máximo Molde.....	34
Figura 4-11, Factor de seguridad molde.....	35
Figura 4-12, Cámara de pre compresión	36
Figura 4-13, Cuerpo cámara pre compresión	36
Figura 4-14, Placa cámara de pre compresión	37
Figura 4-15, Deformación máxima cámara de pre compresión.....	38
Figura 4-16, Esfuerzo máximo cámara de pre compresión.....	39
Figura 4-17, Factor de seguridad cámara de pre compresión	39
Figura 4-18, Extremo Cilindro A.....	40
Figura 4-19, Deformación total extremo cilindro A.....	41
Figura 4-20, Esfuerzo máximo extremo cilindro A.....	42
Figura 4-21,Factor de seguridad extremo cilindro A	42
Figura 4-22,Extremo cilindro B.....	43
Figura 4-23, Deformación total extremo cilindro B	44
Figura 4-24, Esfuerzo máximo extremo cilindro B	45

Figura 4-25, Factor de seguridad extremo cilindro B.....	45
Figura 5-1, Diagrama espacio fase	47
Figura 5-2, Esquema Oleo hidráulico.....	48
Figura 5-3, Cilindro doble efecto.....	49
Figura 5-4, Válvula direccional 3/4 con centro cerrado	49
Figura 5-5, Válvula anti retorno.....	50
Figura 5-6, Válvula reguladora de caudal	50
Figura 5-7, Válvula limitadora de presión	51
Figura 5-8, Filtro.....	51
Figura 5-9, Bomba	52
Figura 5-10, Pandeo en cilindros hidráulicos.....	59
Figura 5-11, CETOP 5.....	60
Figura 5-12, Vías válvula limitadora de presión.....	61
Figura 5-13, Perdidas de presión válvula limitadora de presión.....	61
Figura 5-14, Vías válvula reguladora de caudal	63
Figura 5-15, Perdidas de presión según numero de giros manilla	63
Figura 5-16, Perdidas de presión válvula reguladora de caudal	64
Figura 5-17, Tipo válvula.....	65
Figura 5-18, Numero de grafica.....	66
Figura 5-19, Perdidas de presión válvulas direccionales	66

Figura 5-20, Vías válvula Check	67
Figura 5-21, perdidas de presión válvula Check.....	68
Figura 5-22	69
Figura 5-23, perdidas de presión filtro	71
Figura 5-24, Diámetro mangueras	72
Figura 5-25, Manómetro WINTERS	73
Figura 5-26, Diagrama espacio tiempo	76
Figura 5-27, Perdidas de presión	76
Figura 5-28, Tabla comparativa bombas oleo hidráulicas	77
Figura 5-29, Curvas bombas ALP2	78
Figura 5-30 Potencia bomba alta presión.....	79
Figura 5-31, Curvas bomba ALP3	80
Figura 5-32, Potencia bomba baja presión.....	81
Figura 5-33, Motor eléctrico	82
Figura 5-34, Factor k1	83
Figura 5-35, Factor k2	84
Figura 5-36, Factor k3	84
Figura 5-37, Machón de acoplamiento	85
Figura 5-38, Alimentador de correa.....	86
Figura 5-39, Alimentador vibratorio	87

Figura 5-40, Alimentador de paletas rotativas	87
Figura 5-41, Alimentador de tornillo	88
Figura 5-42, Diferencia paso tornillos	90
Figura 5-43, Tornillo filete variable	90
Figura 5-44, Tornillo eje trapezoidal	91
Figura 5-45, Tornillo paso variable	91
Figura 5-46, Tornillo paso constante	92
Figura 5-47, Tornillo mixto	92
Figura 5-48, Factor de carga	98
Figura 5-49, Motorreductor	102
Figura 5-50, Coeficiente de fricción aserrín	104
Figura 5-51, Dimensiones tolva	104
Figura 5-52, Tipos de flujo según ángulo de tolva	105
Figura 6-1, Diagrama de estados	109
Figura 6-2, Sensor nivel tolva	110
Figura 6-3, detector de proximidad inductivo	111
Figura 6-4, Instalación sensor	112
Figura 6-5, Presosotato	112
Figura 6-6, Diagrama estado tolva	114

ÍNDICE DE TABLAS

Tabla 2.1, Norma DIN 51731	9
Tabla 2.2, Ventajas comparativas	16
Tabla 5.1, Diámetros de embolo	57
Tabla 5.2, Rango de viscosidades	68
Tabla 5.3, Ratios	70
Tabla 5.4, Equivalencias ISO/NAS	70
Tabla 5.5, Perdidas de presión	74
Tabla 5.6, Cuadro comparativo alimentadores	89
Tabla 5.8, Elementos transportador de tornillo	93
Tabla 5.9, Capacidad por revolución	95
Tabla 5.10, Factor de diámetro	97
Tabla 5.11, propiedades material	97
Tabla 5.12, Tipo de filete	97
Tabla 5.13, Eficiencia mecánica	98
Tabla 5.14, Cálculos realizados	99
Tabla 5.15, Peso del tornillo	100
Tabla 5.16, Momento de inercia	100
Tabla 5.17, Valores obtenidos	101

Tabla 7.1, Cotización piezas	116
Tabla 7.2, Cotizaciones	117

GLOSARIO

Briqueta: Solido conformado por materiales compactados

Densificación: Aumento progresivo de la densidad

Densidad aparente: la densidad aparente es la densidad de una porción de material. Esta incluye a los capilares y a los accidentes sub superficiales e interiores (espacio vacíos)

Lignina: Sustancia que se encuentra en los tejidos leñosos y que mantiene unidas las fibras de celulosa, la lignina constituye aproximadamente el 25% de la madera.

Aserrín: Conjunto de partículas de tamaño pequeño obtenido en el proceso de aserrado y dimensionado de la madera.

Dendroenergía: Se refiere a todo tipo de energía obtenida a partir de combustibles sólidos, líquidos y gaseosos derivados de los bosques, arboles y vegetación de terrenos forestales.

Mantenibilidad: Propiedad de un sistema que representa la cantidad de esfuerzo requerida para conservar su funcionamiento normal o para restituirlo una vez se ha presentado un evento de falla.

Planitud: Condición de una superficie especifica que tiene todos los elementos en un plano. Tolerancia de planitud proporciona una zona de tolerancia de especificado y definido por dos planos paralelos en donde la superficie especificada debe estar contenida.

1 Introducción y Objetivos

1.1 Introducción

La industria agroforestal en Chile produce una gran cantidad de residuos sólidos, los cuales no son totalmente aprovechados por las pequeñas y medianas empresas, uno de los principales usos que se le pueden dar a este tipo de residuos es transformarlos en energía de biomasa lignificada, tales como pellets o briquetas. Considerando que los pellets solo pueden ser utilizados en estufas para pellets, mientras que las briquetas pueden ser utilizadas en prácticamente cualquier caldera de combustión a leña, por lo que sea propuesto diseñar un prototipo de máquina briquetadora, la cual posee una mediana capacidad.

Dentro de los tipos de máquinas briquetadoras existentes en el mercado, se ha decidido por diseñar una máquina briquetadora hidráulica, la cual se encuentre totalmente automatizada y que en un futuro pueda ser adaptada para distintos materiales.

Para determinar los esfuerzos que deben aplicar los cilindros hidráulicos sobre el aserrín, se han realizado pruebas de laboratorio, donde se estableció que el esfuerzo necesario para que el aserrín pueda lograr una densidad de 1000 kg/m^3 , es de 111 Mpa.

Los principales elementos encargados de contener el material y soportar la compactación de este, han sido diseñados para resistir sin problemas los grandes esfuerzos aplicados.

1.2 Objetivos

El presente trabajo consiste en diseñar una máquina briquetadora que opere de manera completamente autónoma, la cual posea un costo competitivo y presente una mejor solución para la utilización de sub productos de la industria maderera y agroforestal. Este equipo debe ser capaz de briquetear distintos tipos de productos tales como aserrín, paja de avena y residuos de la cosecha de trigo.

Para cumplir con este propósito se consideran los siguientes objetivos específicos:

- Establecer un potencial mercado para la biomasa lignificada en Chile.
- Determinar los esfuerzos de compactación necesarios para densificar aserrín según los estándares establecidos por la norma DIN-51731
- Plantear un proceso de briqueteado eficiente mediante la aplicación de la oleo hidráulica
- Definir y diseñar los elementos críticos presentes en la máquina
- Automatizar completamente el proceso mediante un PLC
- Realizar listado de piezas y planos de fabricación
- Cotizar el valor de los componentes y obtener un costo estimado del equipo.

2 Maquinas briqueteadoras y biomasa en Chile

2.1 Introducción

Actualmente en Chile, existen más de diez millones de habitantes expuestos a la contaminación atmosférica (específicamente PM 2.5) y se estima que esta es responsable de cerca de 4.000 muertes al año (Reporte publicado en 2013 por la organización mundial de la salud). En el sur del país el nivel de contaminantes es prácticamente el doble que en la región metropolitana, y se ha hecho común la restricción del uso de la leña por sectores. El 28 de abril de 2014 el ministerio del medio ambiente lanzó el plan de descontaminación atmosférica 2014-2018; el cual consiste en 14 planes distribuidos por zonas, especialmente en el sur del país, donde la contaminación atmosférica es producida en gran medida por la calefacción de viviendas, la cual viene dada por una matriz energética basada principalmente en la combustión de leña. Es por esto que para ejecutar de manera efectiva estos planes y lograr una mejora a largo plazo, es preciso ofrecer alternativas energéticas para reemplazar a la leña, sin alterar mayormente el presupuesto familiar. Dentro de las opciones para diversificar esta matriz energética, existen variados equipos tales como calefactores eléctricos, estufas a

gas licuado y gas natural, pero ninguna de estas alternativas a logrado desplazar el uso de estufas a leña, debido al bajo costo que esta ofrece.

Por otra parte, la industria forestal cosecha 44.3 millones de m^3 de madera en trozas al año, de los cuales 12.3 millones de m^3 se disponen como leña (INFOR 2005). Actualmente la mayoría de las grandes empresas del rubro poseen centrales de generación de energía eléctrica utilizando biomasa forestal, supliendo las necesidades energéticas de la industria e incluso inyectando energía al sistema interconectado central (SIC). Para el caso del bosque nativo, en el año 2004, el consumo de madera en trozas alcanzo los 623.400 m^3 , si consideramos que en los procesos de transformación industrial de la madera y re manufactura de esta, los residuos o subproductos originados alcanzan un 40% del volumen total, el volumen de estos seria de 249.360 m^3 , de los cuales una pequeña parte es destinada para alimentar calderas y cámaras de secado, mientras que el resto se convierte en un desecho lo cual conlleva un costo asociado al almacenamiento y eliminación. Otra industria que maneja grandes cantidades de biomasa es la agricultura, a modo de ejemplo, Chile es el quinto país exportador de avena a nivel mundial, en la temporada 2010/2011, se sembraron más de 100.000 hectáreas destinadas al cultivo de esta, las cuales se encuentran principalmente en las regiones del Bio-Bio y la Araucanía. El año 2010 se exportaron más de 60 mil toneladas de avena (Oficina de estudios y políticas agrarias), considerando que la proporción en peso entre desechos de cosecha y el producto final es de 2:1, lo que representaría un aproximado de 120 mil toneladas de biomasa residual. Debido a estas razones, resulta ideal convertir esta biomasa residual en dendroenergía para el uso de calefacción domiciliaria en las ciudades del sur del país.

2.2 Biomasa

En este estudio se considerara la biomasa como todo material orgánico de origen biológico, con la excepción de aquellos que hayan sufrido un proceso de mineralización provenientes de formaciones geológicas. Como ejemplos podemos nombrar las plantas, desechos animales, ramas, aserrín cortezas, residuos urbanos, frutos secos, aguas negras, residuos agrícolas, entre otros. Podemos clasificar los tipos de biomاسas en tres grupos principales:

2.2.1 Biomasa Natural:

Se produce de manera espontanea en la naturaleza, sin ningún tipo de intervención humana, como la caída natural de ramas, frutos o hojas secas.

2.2.2 Biomasa Residual:

Este tipo de biomasa se puede dividir en dos sub grupos, biomasa residual seca y biomasa residual húmeda. La primera hace referencia principalmente a desechos agrícolas y forestales, mientras que la segunda abarca las aguas residuales y residuos ganaderos e industriales biodegradables.

2.2.3 Biomasa producida:

Se le denomina a la biomasa que es cultivada con el propósito de poder transformar este recurso en un combustible.

2.3 Industria en Chile

En Chile las principales productores de biomasa en grandes cantidades son las industrias forestal y agrícola

2.3.1 Industria Forestal

En Chile la industria forestal se encuentra altamente desarrollada, donde los principales productos de este sector son la celulosa y la madera aserrada, logrando aportar cerca del 2.6% del PIB nacional. El proceso de transformación de la madera es el que genera una mayor cantidad de residuos, ya que alcanzan un 42% del volumen de producción de madera aserrada. lo cual genera numerosos inconvenientes desde el punto de vista logístico y de eliminación de desechos.

Los principales residuos son la corteza, los lampazos, aserrín, viruta, despuntes, astillas sin corteza y tapas. Estos residuos se pueden ver en la figura 2.1



Corteza



Lampazo



Aserrin



Viruta

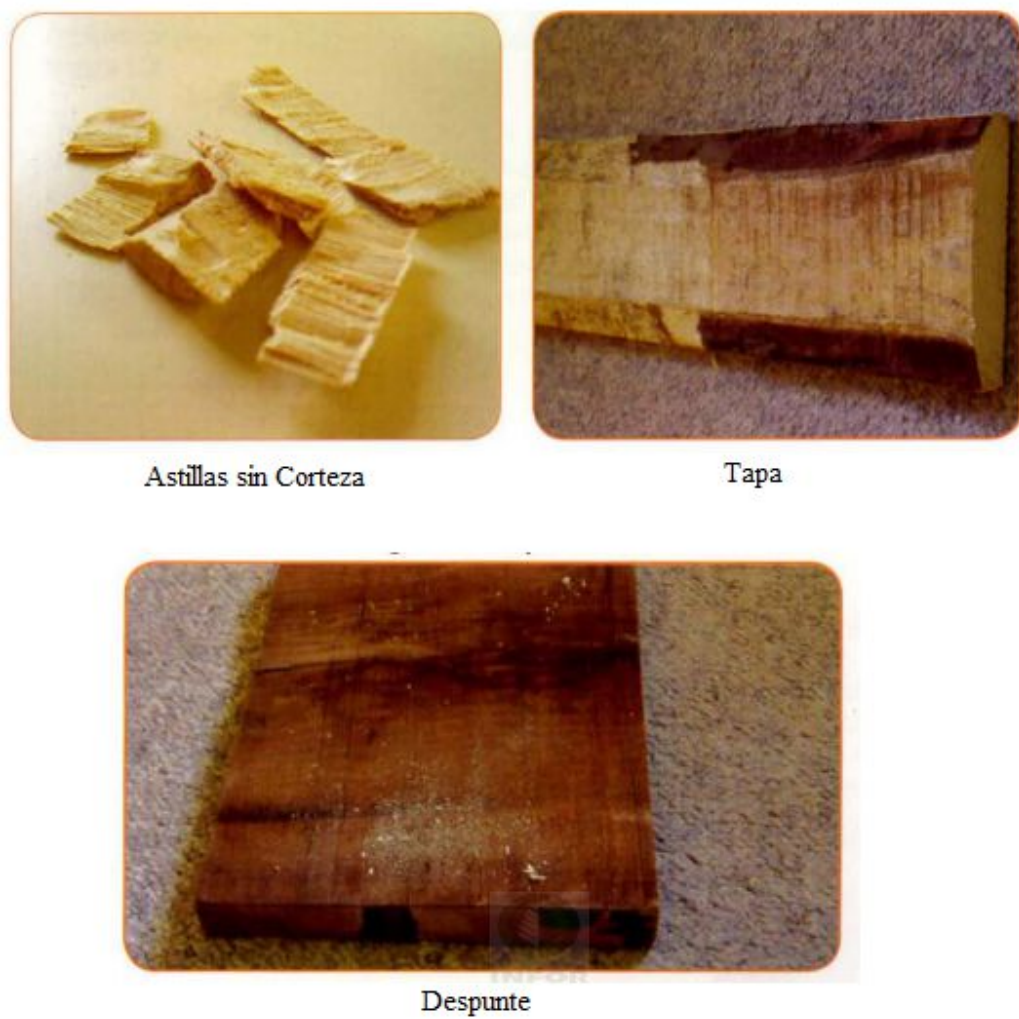


Figura 2-1, Residuos industria forestal

2.3.2 Industria Agrícola

Dentro de la industria agrícola, la producción de cereales concentra el mayor potencial de biomasa. En Chile la producción de cereales está concentrada en las regiones del Bio-Bio y la Araucanía, donde principalmente se cultiva trigo, avena, maíz y cebada. De la mano con el aumento en los cultivos de estos cereales, se han aumentado los desechos o rastrojos, estos generalmente se utilizan como energía de biomasa por combustión directa, lo cual dificulta mucho la logística de recolección y transporte debido al gran volumen que utiliza.

Según el documento "Bioenergía en Chile", publicado por el Centro de Energías Renovables del ministerio del medio Ambiente en el año 2013, los residuos de cosechas de trigo y avena (rastros), que son utilizados como biomasa lignificada es menores a 10%, por lo que existe un gran potencial para desarrollar a futuro.

2.4 Biomasa como fuente de energía renovable

2.4.1 Pellets:

Los pellets son pequeños cilindros de madera que se obtienen mediante el prensado de aserrín, viruta o polvo de madera en equipos denominados máquinas pelletizadoras. Para ser utilizados como combustible domiciliario deben cumplir con la norma correspondiente ya que sus propiedades varían según la materia prima utilizada. Los pellets deben poseer un contenido de humedad menor al 10%. El diámetro de los cilindros varían entre 6 y 10 mm, mientras que el largo se mantiene dentro del rango de 10 - 30mm.

2.4.2 Briquetas:

La característica principal de las briquetas es su alta densidad, existen briquetas de diversos materiales, tales como acero, cobre, lodo, carbón, entre otros, pero en este estudio, se pondrá énfasis exclusivamente a las briquetas de madera. Las briquetas son un combustible formado por la compactación de biomasa lignocelulósica, generalmente astillas y aserrín, las briquetas al igual que los pellets no necesitan la adición de aglomerantes para su confección, ya que la lignina presente en la materia prima cumple esta función. La forma de las briquetas puede ser muy variada, pero la geometría más común es la cilíndrica.

2.5 Norma DIN 51731

En Europa existen distintas normas para la confección de briquetas y pellets, un ejemplo de estas son la norma Austriaca ÖNORM M 7135 y la Norma Europea EN 14961-2 (2011), pero

las más utilizadas internacionalmente son la norma Alemana DIN 51731 y la DIN Plus, la primera rige para pellets y briquetas, mientras que la segunda es específica de pellets de gran calidad, utilizadas en calderas especializadas para este material. Cabe mencionar que en Chile aun no rige norma alguna para este tipo de productos. En la tabla 2.1 se establecen las principales propiedades que deben cumplir los pellets y briquetas según la norma DIN 51731 y DIN Plus. En cuanto a la forma de las briquetas, la norma señala formas "simples" como es el caso de briquetas cilíndricas, prismáticas, cúbicas y ovaladas. Respecto a las dimensiones de las briquetas cilíndricas, para diferenciarlas de los pellets, se especifican dos criterios, el primero, para briquetas de más de 30 cm de longitud donde se especifica un diámetro mayor a 10 cm, mientras que el segundo criterio, especifica que las briquetas de 15 a 30 cm de longitud deben tener un diámetro de 60 a 10 cm.

Propiedad	Norma DIN 51731		DIN Plus	Unidad
	Pellet	Briqueta	Pellet	
Diámetro	4-10	-	Indicar	Mm
Longitud	< 5* Diámetro	-	< 5* Diámetro	Mm
Densidad	1-1.4	1-1.4	> 1.12	kg/m ³
Humedad	< 12	< 12	< 10	% masa
Cenizas	< 1.5	< 1.5	< 0.5	% masa
Poder calorífico	17.5 - 19.5	17.5 - 19.5	> 18	MJ/kg
Azufre	< 0.08	< 0.08	< 0.04	% masa
Nitrógeno	< 0.3	< 0.3	< 0.3	% masa
Cloro	< 0.03	< 0.03	< 0.02	% masa
Arsénico	< 0.8	< 0.8	< 0.8	mg/kg
Cadmio	< 0.5	< 0.5	< 0.5	mg/kg
Cromo	< 8	< 8	< 8	mg/kg
Cobre	< 5	< 5	< 5	mg/kg
Mercurio	< 0.05	< 0.05	< 0.05	mg/kg

Plomo	< 10	< 10	< 10	mg/kg
Zinc	< 100	< 100	< 100	mg/kg
Densidad aparente	-	-	indicar	kg/m ³
Durabilidad	-	-	< 2.3	%
Aditivos	-	-	< 2	%

Tabla 2.1, Norma DIN 51731

2.6 Principales usos

Ambos productos poseen numerosas ventajas sobre la leña, tales como un mayor poder calorífico, alta densidad, menor contaminación, entre otros. A diferencia de la leña, las briquetas y pellets no atraen insectos, por lo que pueden ser almacenados dentro de las viviendas, son de fácil encendido, producen menos cenizas y al ser una fuente de energía renovable, genera un menor impacto ambiental ya que es carbono neutral. En el aspecto económico, en el mercado nacional, los precios de referencia en pesos chilenos de las briquetas es de 259 \$/kg , 233 \$/kg el pellet y el precio de la leña seca (Eucalipto) ronda los 156 \$/kg (precios cotizados en www.sodimac.cl). Al evaluar estos datos hay que considerar que el poder calorífico de los pellets y briquetas es mayor que el de la leña, por lo que se necesita menos masa para producir el mismo calor.

La principal diferencia entre el uso de pellets y briquetas radica en que las briquetas pueden ser utilizadas en estufas convencionales, mientras que los pellets, se utilizan en estufas y calderas específicamente diseñadas para este material como la que se muestra en la figura 2-2. Estas estufas se encuentran en el rango de precios de 400.000-2.270.000 pesos chilenos, esto sin incluir el costo de instalación, por lo que no son accesibles para todo público. Otro inconveniente que presentan estas estufas es que requieren de energía eléctrica para funcionar y su mantención es más compleja que la de las estufas a leña, ya que poseen un diseño complejo, por otro lado, estas estufas son automatizadas, por lo que solo necesitan un ingreso esporádico de fuente de energía (pellets), para funcionar de forma autónoma por un periodo considerable de tiempo. Es por esta última característica mencionada que se utilizan pellets en calderas de uso industrial.

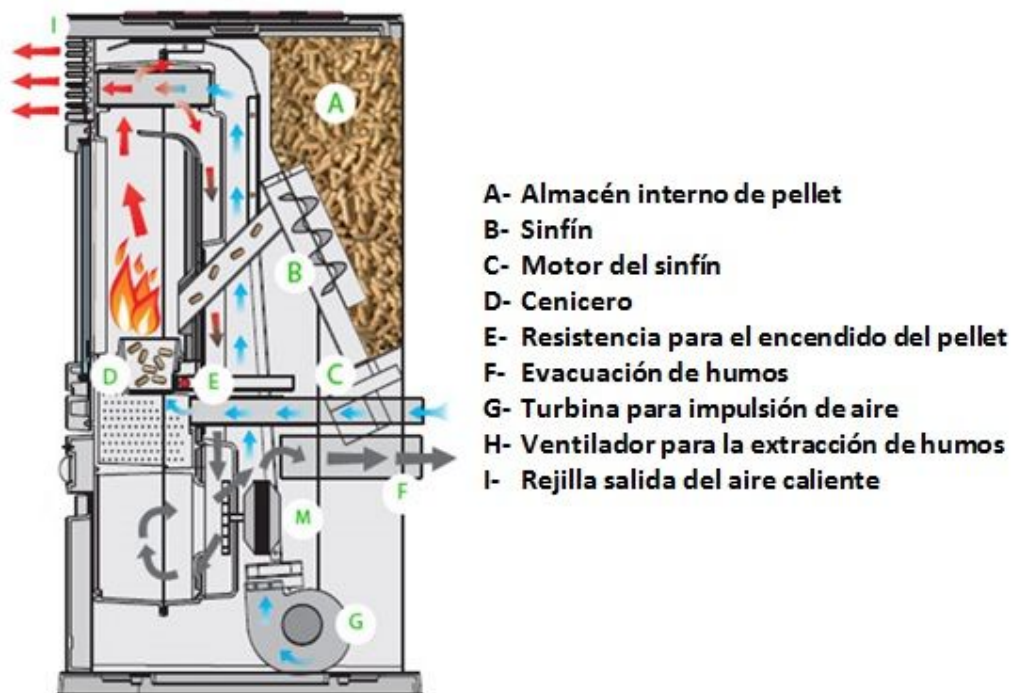


Figura 2-2, Calefactor a pellets

Debido a las razones mencionadas anteriormente, se ha optado por la producción de briquetas, ya que se orientara el producto a un público general, como una mejor opción para sustituir a la leña como combustible en la calefacción de viviendas, reduciendo las emisiones de material particulado.

2.7 Industria de la biomasa lignificada en Chile

La industria en Chile se clasifica principalmente en dos categorías producción de pellet y producción de briquetas, las cuales se detallan a continuación.

2.7.1 Producción de Pellets

El mercado de pellets en Chile ha crecido de manera exponencial en Chile durante los últimos años, dentro de los principales productores se encuentran:

ECOMAS:

Empresa nacional emplazada en la ciudad de Los Ángeles, que desde el año 2006 se dedica a la producción y comercialización de pellet de madera. Esta empresa está asociada a PROMASA, empresa dedicada a la re manufactura de madera, esta empresa suministra a ECOMAS la materia prima para la confección de pellets de madera. Actualmente ECOMAS abarca cerca del 80% del mercado nacional, comercializando pellets del máximo estándar internacional, cumpliendo con las exigencias de la norma DIN Plus.

ANDES BIO PELLETS

Empresa perteneciente al grupo JCE, el cual se encuentra presente en el mercado de construcción, inmobiliario, aserrío, salud, entre otros. En sus aserraderos, JCE procesa 350.000 m^3 de trozos de madera de pino radiata al año, es por esto que decidieron implementar una planta pelletizadoras en la ciudad de Los Ángeles, dando vida a Andes Bio Pellets.

PELLET-FUEL

Empresa ubicada en la Región Metropolitana, encargada de producir y distribuir pellets de madera en el gran Santiago, con dedicación casi exclusiva a la calefacción domiciliaria.

AMESTI

Empresa líder en el mercado nacional de fabricación de estufas a leña, dentro de su gama de estufas, comercializan estufas a pellets y también produce pellets de madera para calefacción residencial, siendo la única marca fabricante de estufas en Chile que comercializa su propia línea de pellets.

2.7.2 Producción de Briquetas

Actualmente en Chile el mercado de briquetas no es tan amplio como el de los pellets. A continuación se presentarán las principales empresas productoras de briquetas de madera en Chile.

MAGABRIX

Pertenece a la empresa Forestal MAGASA S.A. una de las principales empresas de muebles del país. MEGABRIX se ideó como una solución para el manejo de los residuos de la fabricación de muebles, .Actualmente estas briquetas se encuentran en el mercado nacional a través de las redes comerciales de la empresa.

PUERTAS WOOD'S

Ubicada en la ciudad de Valdivia, Puertas Wood's, como dice su nombre, es una empresa dedicada a la manufactura de puertas, marcos y ventanas. Como una manera eficiente de manejar sus residuos, esta empresa fabrica briquetas de madera, las cuales se distribuyen en las principales casas comerciales del país.

2.8 Maquinas briqueteadoras

Existen diversos tipos de maquinas briqueteadoras, las cuales poseen diferentes cualidades, que se discutirán a lo largo del capítulo.

2.8.1 Prensa briqueteadora mecánica.

Funcionan bajo el mismo principio que las prensas exenticas, la cual inserta el material hacia un dado cónico, a medida que el material es empujado hacia la cámara de compresión, como se muestra en la figura 2-3. La temperatura de la briqueta aumenta debido a la fricción producida con la pared del dado cónico y la alta presión. por lo cual generalmente se utilizan rieles o guías para que al salir de la maquina, las briquetas se enfríen de manera natural. Cuando la briqueta sale de la prensa, se enfría y solidifica la lignina en la sección perimetral de la briqueta, la cual será cilíndrica con la forma del dado utilizado. la alimentación suele hacerse mediante un transportador de tornillo. Este tipo de maquinas posee rangos de producción entre 800 y 5000 kg/h. El material no debe contener un porcentaje de humedad menor al 8%, debido a que este influye directamente en la conformación de la briqueta.

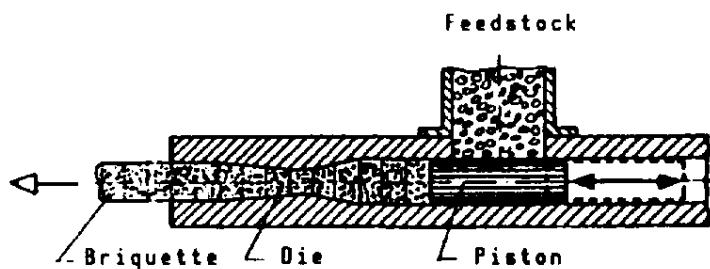


Figura 2-3, Briqueteadora mecánica

2.8.2 Briquetadora mecánica de tornillo

Este tipo de maquina funciona con un sistema de tornillo extrusor, el cual consta de un tornillo de filete variable, el cual va disminuyendo a medida que avanza el material, el cual es comprimido como se puede apreciar en la figura 2-4. Las briquetas producidas en este tipo de maquinas tienen la característica de poseer un agujero en el centro de la briqueta, esto debido al eje del tornillo extrusor. Al igual que a la prensa briquetadora mecánica, se producen altas temperaturas en la superficie de las briquetas, los rangos de producción varían entre los 180-350 kg/h. Una de las ventajas de este tipo de maquinas es que la producción se produce mediante un proceso continuo y el largo de las briquetas es determinado generalmente por la ruptura por deflexión de la misma.

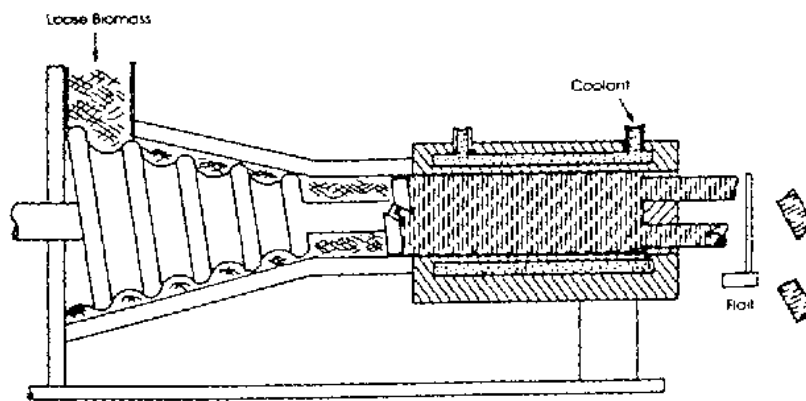


Figura 2-4, Briquetadora de tornillo

2.8.3 Briquetadora hidráulica

Las maquinas briquetadoras hidráulicas generalmente producen dos tipos de briquetas, cilíndricas y rectangulares. Las primeras son generadas mediante maquinas sencillas, las cuales no cuentan con proceso de pre compresión, y alcanzan una producción de entre 50 y 100 Kg/h, este tipo de maquinas no están diseñadas para operar de manera continua por más de 8 horas diarias. El segundo tipo de briquetadoras hidráulicas, cuenta con centrales hidráulicas de mayor complejidad, están diseñadas para trabajar de manera continua y sin

necesidad de supervisión, el rango de producción se encuentra entre los 100 y 600 kg/h. Destacan su versatilidad, ya que se puede ajustar fácilmente la fuerza de compresión ejercida por los cilindros. La temperatura de salida de las briquetas normalmente no supera los 15° sobre la temperatura ambiente. El proceso de conformado de la briqueta varía según el fabricante de la maquina, el proceso de Briqueteado de la marca alemana RUF, está representado en la figura 2-5.



Figura 2-5, Briquetadora hidráulica

2.9 Comparación entre las distintas maquinas.

Para comparar las ventajas y desventajas de cada tipo de maquina briquetadora, se evaluaran puntos como el consumo de energía requerido para producir una tonelada de briquetas, la capacidad de producción máxima de este tipo de maquinas, la continuidad del proceso de Briqueteado, la inversión inicial necesaria para equipos de similares capacidades, la facilidad con la cual se pueden variar los parámetros de velocidad, densidad del material, fuerza de compresión, entre otros, el aumento de temperatura en las briquetas y el peligro de incendio, la mantenibilidad del equipo y la durabilidad de sus componentes, el grado de automatización, la seguridad para los operadores y la vida útil proyectada para la maquina en horas de operación. Las características antes mencionadas se ponderaron con colores, donde

el verde significa un buen desempeño, el color naranja demuestra un desempeño regular y el color rojo un mal desempeño, los resultados se muestran en la tabla 2.2

Característica	Tipo maquina		
	Hidráulica	Prensa mecánica	Tornillo
Consumo de energía	Verde	Rojo	Rojo
Capacidad de producción	Naranja	Verde	Naranja
Continuidad del proceso	Rojo	Naranja	Verde
Inversión inicial	Verde	Rojo	Verde
Variación de parámetros	Verde	Rojo	Rojo
Aumento de temperatura	Verde	Rojo	Rojo
Mantenibilidad	Verde	Naranja	Rojo
Grado de automatización	Verde	Naranja	Naranja
Seguridad operacional	Verde	Naranja	Naranja
Vida útil maquina	Naranja	Verde	Naranja

Tabla 2.2, Ventajas comparativas

Cuando se requiere procesar una gran cantidad de material, en un horizonte de tiempo holgado, la prensa briqueteadora mecánica es la mejor opción, ya que presenta una capacidad productiva superior a sus competidoras, y una vida útil mayor, por lo que se recomienda su uso para grandes empresas con una sección dedicada exclusivamente a la producción y venta de briquetas. Para el caso de pequeñas y medianas empresas, se recomienda el uso de maquinas briqueteadoras hidráulicas, ya que aunque poseen un valor de mercado superior a las briqueteadoras de tornillo, frente a una capacidad productiva similar, las briqueteadoras hidráulicas proporcionan mayor versatilidad en cuanto a los materiales a procesar, no requieren supervisión alguna, por lo que ayuda a que la empresa se mantenga enfocada en el "core business". Debido a la versatilidad de estas últimas, se opto por diseñar una maquina briqueteadora hidráulica.

2.10 Principales fabricantes

Alrededor del mundo existe una variada gama de fabricantes de maquinas briqueteadoras, pero la mayoría se encuentran en Europa, debido a que en estos países el mercado de las briquetas está altamente desarrollado.

C.F. Nielsen

Compañía Danesa con más de 70 años de experiencia en el mercado de las briquetas. Se especializa en el diseño y confección de prensas briqueteadoras mecánicas, cuentan con 3 series distintas las cuales comprenden un rango de producción entre 150-3000 kg/h, figura 2-6 izquierda. Recientemente se estreno la serie BPH, la cual consiste en briqueteadoras hidráulicas, con un rango de producción de 80 a 150 Kg/h como la que se puede apreciar en la figura 2-6 derecha



Figura 2-6, FC Nielsen

GEMCO ENERGY

Compañía de origen Chino, con fuerte presencia en el mercado de la biomasa desde el año 2004, dentro de la gama de productos que ofrece, se encuentran maquinas pelletizadoras de distintas capacidades, instalación de líneas de producción en plantas pelletizadoras, plantas móviles. En cuanto a la fabricación y venta de maquinas briqueteadoras, poseen prensas briqueteadoras mecánicas con capacidades entre los 800 y 1200 kg/h, briqueteadoras hidráulicas de hasta 125 kg/h y briqueteadoras mecánicas de tornillo, con producciones entre 180 y 350 kg/h. Los tres tipos de maquinas, en el orden antes mencionado, se ilustran en la figura 2-7



Figura 2-7, Gemco Energy

RUF.

División de la Compañía Alemana Ruf GmbH & Co, con 40 años de experiencia en la confección de maquinas briqueteadoras, con más de 3500 equipos vendidos en más de 100 países, en Sudamérica, posee oficinas en Brasil y Argentina. RUF, se dedica exclusivamente a la confección de maquinas briqueteadoras hidráulicas, las cuales pueden trabajar

principalmente con tres tipos de materiales, aserrín, lodo y viruta de metal, las cuales pueden incluir bronce, cobre o incluso acero, logrando briquetas de grandes dimensiones. Esta empresa se caracteriza por manufacturar sus componentes exclusivamente en Alemania y asegurar un funcionamiento completamente automatizado con un tiempo continuo de operación. Las capacidades de estas maquinas, específicamente las de biomasa, logran capacidades de producción desde las 60 a las 1500 kg/h.



Figura 2-8, RUF

DI-PIU

Empresa Italiana con más de 35 años de experiencia en el diseño y confección de maquinas briqueteadoras. Especializada en el diseño de Prensas briqueteadoras mecánicas, con capacidades de producción que van de los 180 a 3000 kg/h , como se muestra en la figura 2-9 (izquierda). También cuenta con una línea especializada de briqueteadoras hidráulicas para compactar virutas de acero, denominada MetalBrick, la cual se puede apreciar a la derecha de la figura 2-9.



Figura 2-9, Di-Piu

3 Maquina briqueteadora hidráulica

3.1 Introducción.

A lo largo de este capítulo, se definirán los principales parámetros de operación a los que estará sujeto el diseño de la maquina briqueteadora, las dimensiones de la briqueta, material a utilizar, entre otros. Por otro lado, se definirán los principales componentes de la maquina, el listado de piezas y se detallara el proceso de briqueteador.

3.2 Características principales.

Dado que el diseño está orientado a crear una maquina briqueteadora de mediana capacidad, lo que para las briqueteadoras hidráulicas, comprende el rango entre 100-180 kg/h, este rango depende principalmente de la dificultad que ponga el material para densificarse, distintos tipos de madera contienen distintas propiedades químicas, por lo que influyen en la capacidad de compactar el material. Para el diseño específico de la maquina se ha

determinado utilizar como material base el pino radiata, el cual representa un 68% de las plantaciones forestales plantadas en Chile (CONAF 2011).

Tomando en cuenta las propiedades del pino radiata, se establece como capacidad nominal de la máquina 150 k/h. Las briquetas pueden ser de forma prismática o cilíndricas, pero se ha optado por la primera opción, debido a que la mayoría de las máquinas briquetadoras hidráulicas de mediana capacidad realizan briquetas prismáticas para realizar la compresión en dos etapas y así poder disminuir el tamaño de los cilindros hidráulicos. Para que la briketa sea de fácil manejo, y pueda ser introducida con facilidad a los hornos y chimeneas convencionales, se ha ideado una forma prismática de 160 mm de largo, 105 mm de ancho y 80 mm de alto.

Considerando que las briquetas deben poseer por norma una densidad mayor a 1000 kg/m^3 , el peso de cada briketa será de aproximadamente 1.34 kg, lo que concuerda con los pesos de las briquetas que se ofrecen en el mercado. Tomando en cuenta este último dato, para cumplir con la capacidad de producción propuesta anteriormente, se deben producir 112 briquetas por hora, lo que significa un tiempo de 32 segundos por briketa.

Otra de las características principales de la máquina, es que debe operar de manera completamente autónoma, para el caso puntual de la alimentación, al tratarse de un prototipo, se dispondrá de una tolva capaz de proporcionar una hora de autonomía a la máquina, la cual puede ser fácilmente reemplazada o adaptada para dar lugar a otro sistema de alimentación según los requerimientos específicos del cliente.

3.3 Principales elementos

En la figura 3-1, se presenta un esquema con los principales componentes de la máquina briquetadora, elementos tales como las mangueras que conectan la central con los cilindros hidráulicos se han ocultado para poder tener una mejor representación de la máquina.

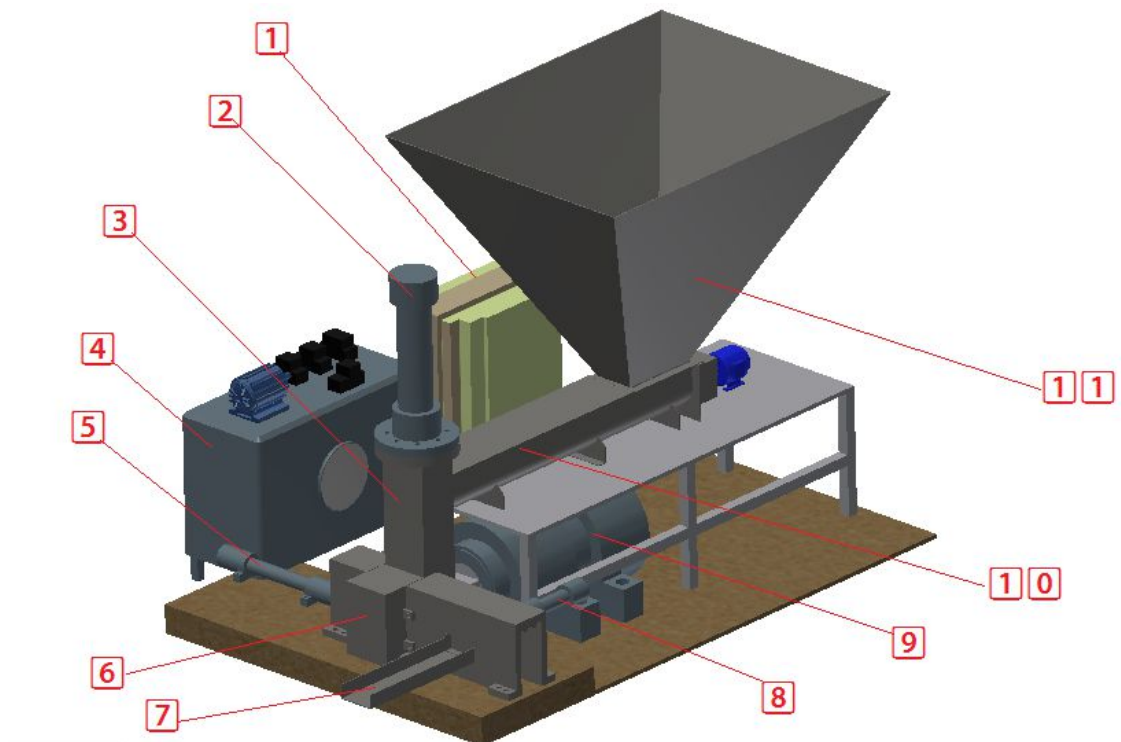


Figura 3-1, Máquina briquetadora

1. Panel eléctrico: Tablero donde se encuentra el cableado eléctrico, también se encuentra el PLC entre otros artefactos electrónicos como el arranqué para el motor.

2. Cilindro de pre compresión: Cilindro hidráulico encargado de realizar la primera compresión del aserrín, este cilindro lleva la designación de "cilindro A"

3. Camara de pre compresión: Estructura soporte del cilindro A, también se encarga de contener el material durante los procesos de compresión.

4. Central oleo hidráulica : Este elemento cumple varias funciones, dentro de esta se encuentran las bombas encargadas de transformar la energía eléctrica del motor en energía hidráulica, contiene elementos tales como válvulas, filtros e instrumentos de medición y almacena el fluido hidráulico necesario para el funcionamiento de la maquina.

5. Cilindro desplazamiento molde: Cilindro hidráulico encargado de desplazar el molde móvil por una guía lineal ubicada en el molde fijo, este cilindro lleva la designación de "cilindro C".

6. Molde fijo: Elemento que contiene el aserrín en el proceso de compresión y permite el desplazamiento del molde.

7. Rampa de salida: Rampa que recibe la briqueta una vez terminada.

8. Cilindro de expulsión: Cilindro hidráulico encargado de expulsar la briqueta una vez que el cilindro C se encuentra totalmente extendido, este cilindro lleva la designación de "cilindro D".

9. Cilindro de compresión: Cilindro hidráulico encargado de realizar la compresión total del aserrín, este cilindro lleva la designación de "cilindro B".

10. Alimentador de tornillo: Componente que transporta y dosifica el material desde la tolva hasta la cámara de pre compresión.

11. Tolva de alimentación: Estructura capaz de almacenar material para su posterior utilización.

3.4 Proceso de Briqueteado

El proceso comienza con la descarga de aserrín proveniente del alimentador de tornillo, el cual se encuentra comandado mediante un PLC. El alimentador de tornillo descarga el material en la cámara de pre compresión (figura 3-3), en la cual el cilindro A comprime el aserrín hasta llegar a una densidad de 840 kg/m^3 (figura 3-2) (De la figura 3-2 a la figura 3-7, se han realizado operaciones de corte sobre la máquina para obtener una mejor visión del proceso.)

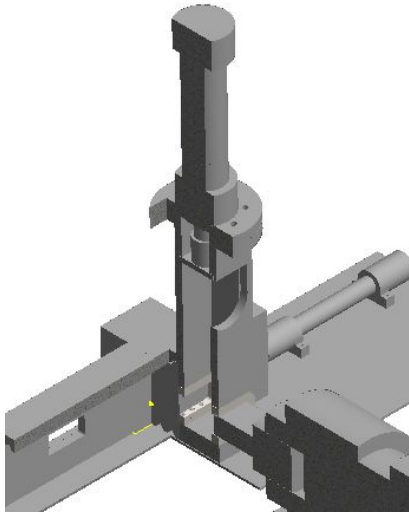


Figura 3-3 Ingreso de material

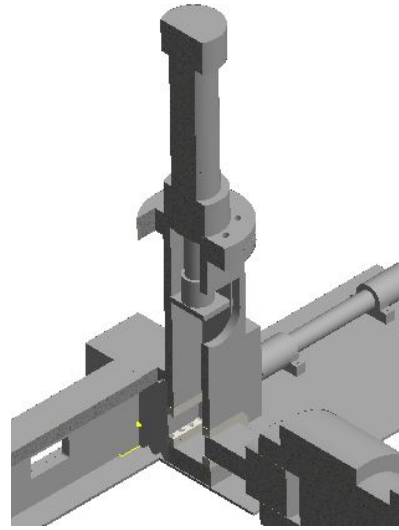


Figura 3-2 Pre compresión

Posteriormente, el cilindro C sitúa el molde en posición (figura 3-4) , para que el cilindro B realice la compactación del material y la briqueta quede con una densidad de 1000 Kg/m^3 (figura 3-5)

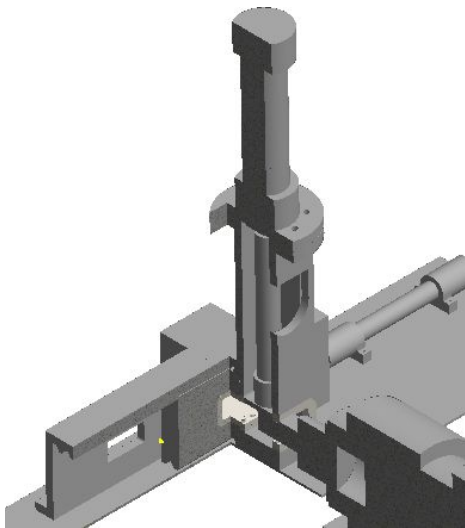


Figura 3-3 Compactación

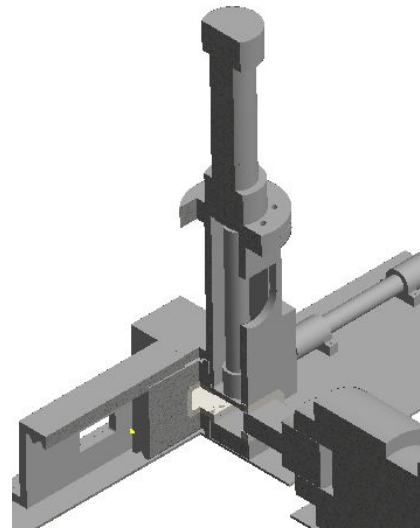


Figura 3-2, Desplazamiento molde

Finalmente, el cilindro C se extiende por completo, ubicando la briqueta en posición para ser expulsada por el cilindro D (figura 3-6), de manera simultánea a la extensión completa del cilindro C, los cilindros A y B se recogen.

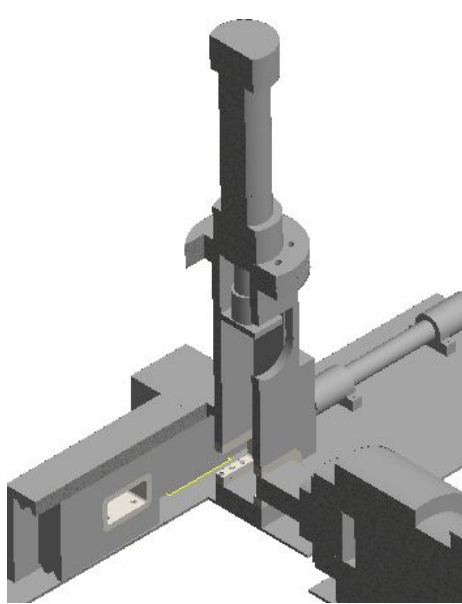


Figura 3-4 Extensión total del cilindro C

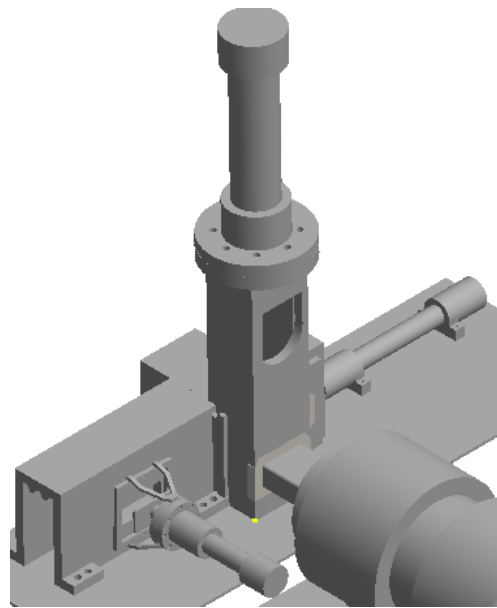


Figura 3-5 Briquetadora en reposo

Una vez expulsada la briqueta (Figura 3-5), el cilindro D retorna a su posición inicial y posteriormente lo hace el cilindro C. Cuando todos los cilindros vuelvan a su posición original, el proceso se repite nuevamente.

Secuencia de Briqueteado:

$A+ C'+ B+ (A- B-) C''+ D+ D- C-$

4 Diseño de elementos críticos

4.1 Introducción.

Debido a la gran presión que se debe ejercer sobre el material para lograr la densidad requerida, hay piezas que deben estar diseñadas especialmente para poder aceptar grandes cargas. Para lograr esto se han seleccionado los principales elementos que están sometidos a grandes esfuerzos y se han diseñado con la ayuda de software de análisis de elementos finitos, para así asegurar un correcto diseño. Otras de las características que se han tomado en cuenta son la versatilidad y disposición comercial de los materiales, los procesos de manufactura asociados a la confección de estos y la factibilidad de realizar mantenimiento.

4.2 Elementos críticos.

Los elementos a diseñar se pueden apreciar en el plano de despiece del Anexo ****. Estos son principalmente :

- Molde fijo
- Molde
- Cámara de pre-compresión
- Extremo de cilindro A
- Extremo de cilindro B

Todos los elementos fueron sometidos a métodos de análisis mediante elementos finitos, utilizando el software ANSYS, los elementos serán trazados con un mallado fino y una transición suave en las aristas , como el que se muestra en la figura 4-1

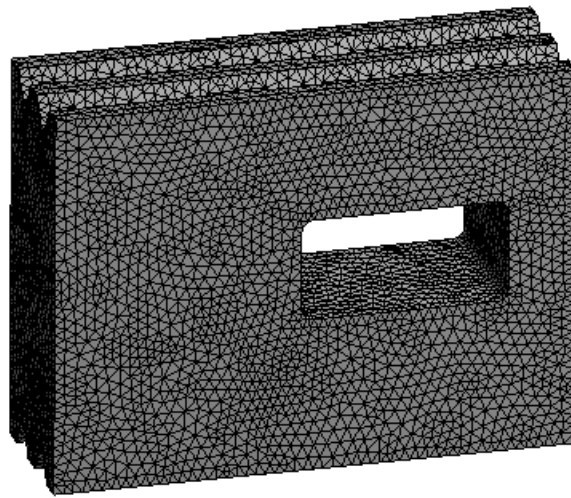


Figura 4-1, Malla

A pesar de que en la práctica las cargas son dinámicas, debido a que la velocidad con la que se efectúan los movimientos es relativamente pequeña, para efectos de diseño se trataran como cargas estáticas. Los análisis que se efectuaron son de deformación total, esfuerzo de Von Mises y el factor de seguridad resultante del material, el cual se obtiene del cociente entre el esfuerzo de fluencia y el esfuerzo aplicado.

El esfuerzo de compactación del aserrín se determino mediante ensayos de laboratorio, estableciendo el esfuerzo necesario para lograr una densidad de 1000 kg/m^3 , es de 111 Mpa, el detalle de los resultados de los ensayos realizados se encuentran en el ANEXO A Para efectos de diseño, para la simulación de los esfuerzos de compresión, se utilizaran los esfuerzos máximos que ejerce cada cilindro, 130 Mpa para el cilindro B y 18 Mpa para el cilindro A.

4.3 Molde fijo

Este elemento es encargado de permitir el desplazamiento lineal del molde, también debe ser capaz de contener el material en el proceso de compactación producido por el cilindro B.

Esta pieza debe tener cavidades que permitan el ingreso de los cilindros B y D, (cavidad frontal, figura 4-2) como también debe permitir la expulsión de la briqueta una vez terminada (cavidad posterior, figura 4-2)

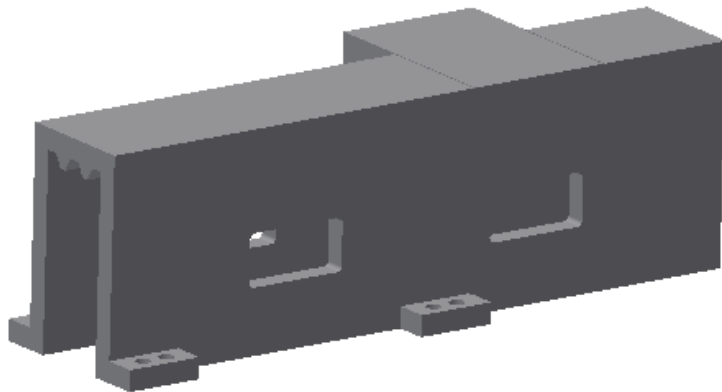


Figura 4-2, Molde fijo

4.3.1 Manufactura y materiales

Esta pieza debe ser confeccionada con placas de acero de 32 mm de espesor, las cuales se encuentran unidas mediante cordones de soldadura al arco eléctrico con electrodo AWS E7018. La parte superior de la pieza comprende una guía lineal, la cual debe ser rectificadas para obtener una tolerancia de planitud de 0.1 mm.

El material a manufacturar son planchas de acero ASTM A 572 con las siguientes propiedades:

- Esfuerzo de fluencia: 345 Mpa
- Esfuerzo máximo: 450 Mpa
- Modulo de elasticidad: 200 Gpa

4.3.2 Condiciones de Borde

Las condiciones de borde impuestas a esta pieza son:

- Esfuerzos de compresión de 133 Mpa en la parte posterior de la pieza, donde se comprime la pieza.
- Soporte (empotrado) en la parte inferior (pies)

4.3.3 Resultados obtenidos.

Deformación total.

Como se puede apreciar en la figura 4-3, la deformación máxima se produce en el extremo superior de la pieza, llegando a un máximo cercano a 0.302 mm, lo cual no es significativo considerando que la pieza final irá soldada a la cámara de pre compresión, por lo que este valor debiese disminuir considerablemente.

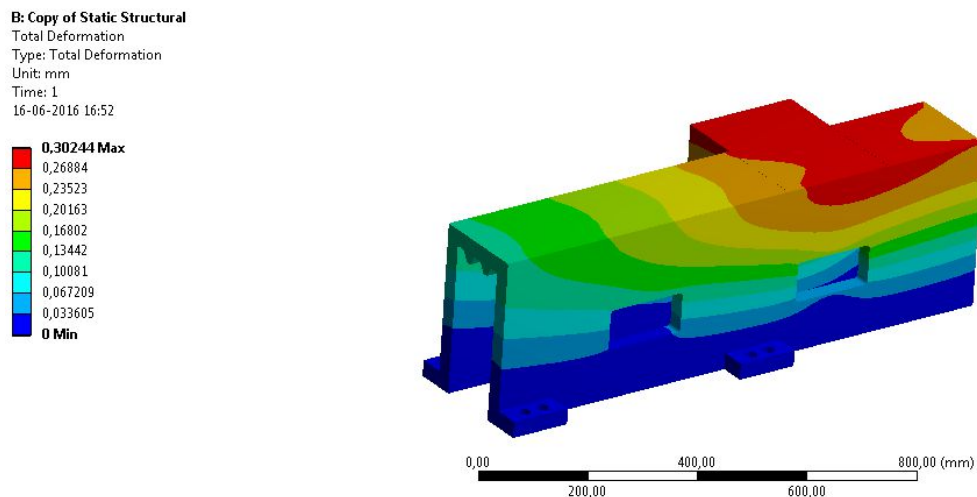


Figura 4-3, Deformación total molde fijo

Esfuerzo de Von Mises.

Como se puede apreciar en la figura, los mayores esfuerzos se generan en la base de la pieza, donde se fija el soporte.

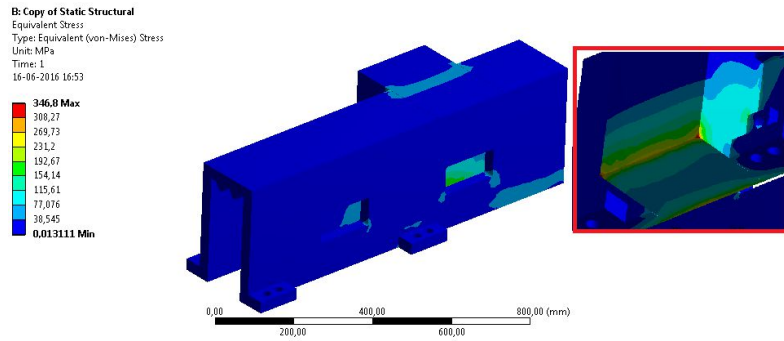


Figura 4-4, Esfuerzo máximo molde fijo

Factor de seguridad.

Al igual que con el resultado del análisis de esfuerzo máximo, el factor de seguridad disminuye en el borde de la pieza donde se aplica la fijación, llegando a su mínimo en la esquina.

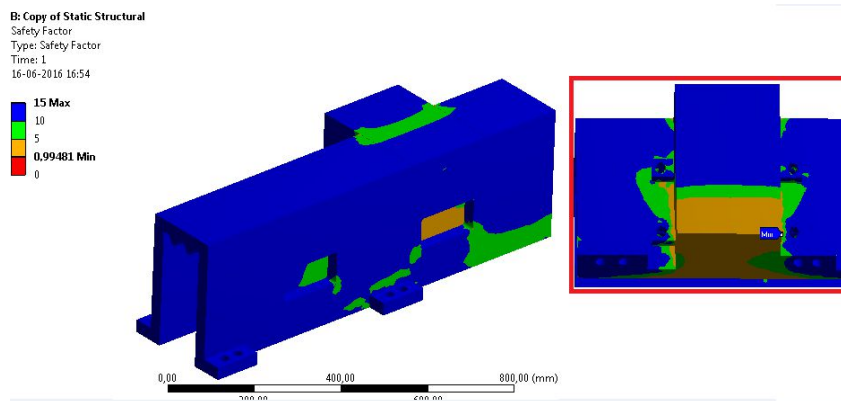


Figura 4-5, Factor de seguridad molde fijo

4.3.4 Evaluación de la pieza.

A pesar de que se producen grandes esfuerzos en la base del molde, esta se puede soldar fácilmente a la estructura soporte, aumentando la resistencia y durabilidad de este componente, conservando la cualidad de poder desmontar las partes laterales mediante pernos y así poder realizar mantenencias periódicas, por lo que la pieza se considera apta para cumplir su función de menara satisfactoria.

4.4 Molde

Este elemento interviene en las dos etapas del proceso de briqueteado, primero contiene el material que es pre compactado por el cilindro A, esta carga es soportada por la superficie maciza que se puede apreciar en el costado derecho de la figura 4-6. Posteriormente en la etapa de compresión, el molde se encarga de contener el material mientras es comprimido por el cilindro B, por lo que debe ser capaz de resistir los esfuerzos realizados por este cilindro para compactar el material.



Figura 4-6 Molde

4.4.1 Manufactura y materiales

El molde constara de dos piezas, las cuales están unidas mediante tornillos M12 con un paso de 1.75 mm. La primera pieza (figura 4-7) es la encargada de recibir los esfuerzos de compresión realizados por el cilindro, por lo que se utilizara un material SAE 4140, mientras que la segunda pieza (figura 4-8) será la encargada de desplazarse por la guía lineal hasta las distintas posiciones requeridas en el proceso.

La parte interna es fresada a partir de un bloque sólido de acero SAE 4140, mientras que el cuerpo es de acero SAE 1045, el cual es construido a partir de una matriz, a la que se le dan las terminaciones requeridas, para posteriormente rectificar las guías lineales tanto de la parte superior como inferior.

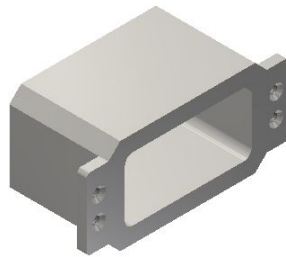


Figura 4-7, Molde interior

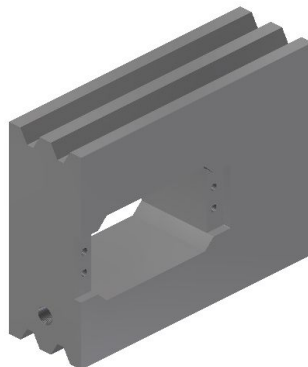


Figura 4-8 Molde exterior

EL acero SAE 4140 posee las siguientes características:

- Esfuerzo de fluencia: 690 Mpa
- Esfuerzo máximo: 900 Mpa
- Modulo de elasticidad: 200 Gpa

Propiedades SAE 1045 :

- Esfuerzo de fluencia: 310 Mpa
- Esfuerzo máximo: 565 Mpa
- Modulo de elasticidad: 200 Gpa

4.4.2 Condiciones de Borde

Las condiciones de borde impuestas a esta pieza son:

- Esfuerzos de compresión de 133 Mpa en cada cara de la cavidad interna de la pieza.
- Soporte (empotrado) en la parte trasera
- Soporte (empotrado) en los carriles superior e inferior

4.4.3 Resultados obtenidos.

Deformación total.

En la Figura 4-9 se puede apreciar que la mayor deformación ocurre en el costado donde se acopla el cilindro C, esto debido a que esa pared es significativamente más delgada. A pesar de esto, la deformación en las partes más apenas logra sobrepasar la decima de milímetro.

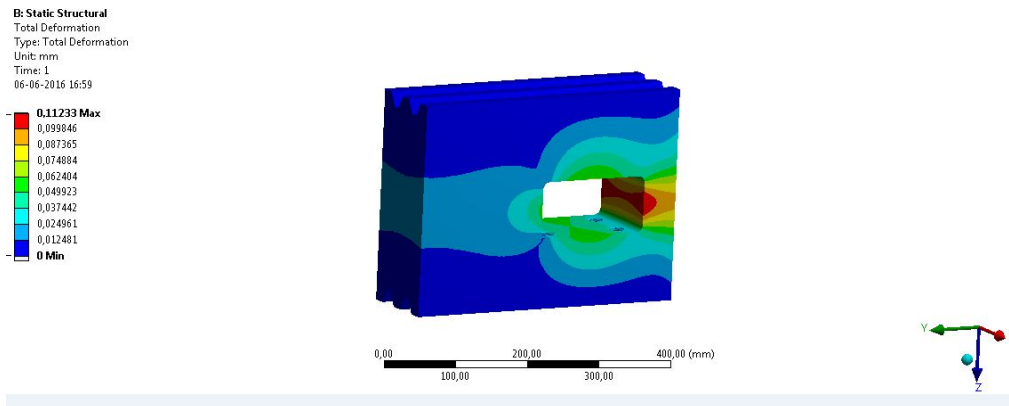


Figura 4-9 ,Deformación total molde

Esfuerzo de Von Mises.

En la escala que se puede ver en la parte izquierda de la figura 4-10, se aprecia los puntos de concentración de esfuerzos se encuentran en las aristas del molde, pero debido a que estas son de acero SAE 4140, no se logra sobrepasar el esfuerzo de fluencia.

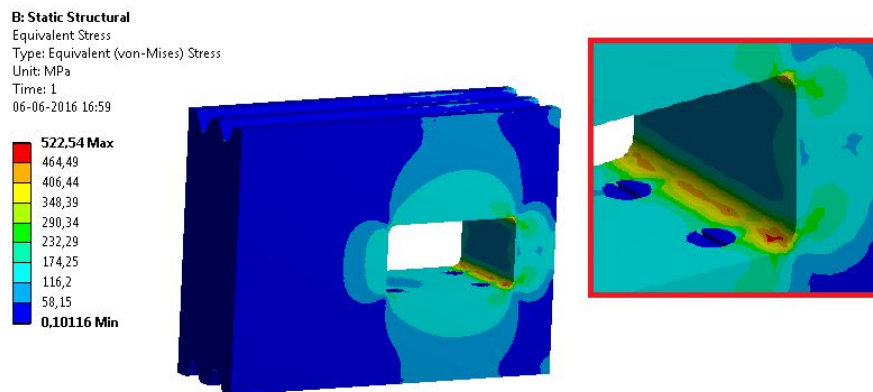


Figura 4-10, Esfuerzo máximo Molde

Factor de seguridad.

La pieza resiste satisfactoriamente los esfuerzos aplicados, por lo que nunca se logra sobrepasar el esfuerzo de fluencia de cada material.

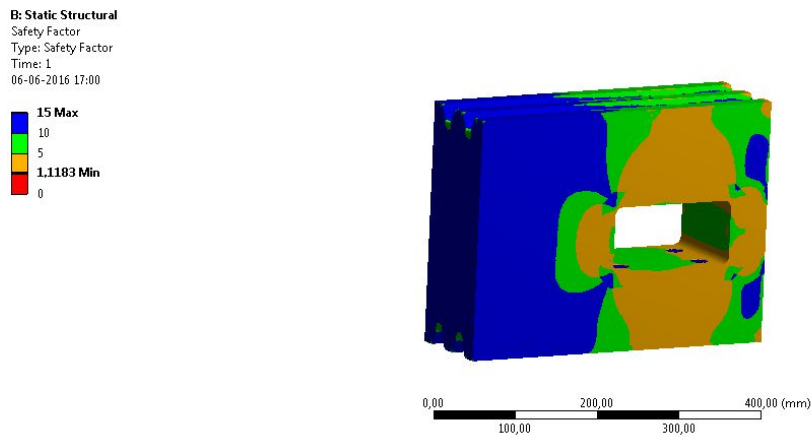


Figura 4-11, Factor de seguridad molde

4.4.4 Evaluación de la pieza .

Por lo visto anteriormente, al utilizar un acero de mayor resistencia para la parte interior del molde, se logra un diseño más resistente y capaz de soportar los esfuerzos aplicados.

4.5 Cámara de pre compresión

Este elemento es encargado de contener el material durante el proceso de pre compactación del material mediante el cilindro A. De manera similar al diseño del molde, se utilizaran dos materiales distintos, para evitar la falla debido a la concentración de esfuerzos en las aristas. El cuerpo principal de este elemento(figura 4-13), es el encargado de contener el material en los primeros tramos de la pre compresión, también es encargado de unir los sistemas de alimentación y compresión. Las dos placas de la figura 4-14 son las encargadas de contener

el material en el último tramo de la pre compresión, por lo que son las que reciben los mayores esfuerzos.



Figura 4-12, Cámara de pre compresión



Figura 4-13, Cuerpo cámara pre compresión

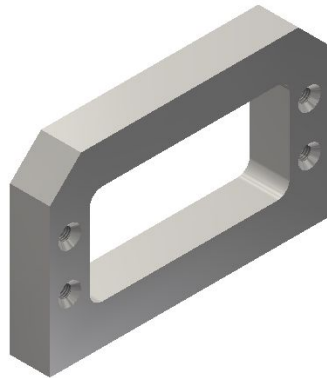


Figura 4-14, Placa cámara de pre compresión

4.5.1 Manufactura y materiales

El cuerpo de la cámara de pre-compresión está compuesta de planchas de acero ASTM A 572 soldadas al arco manual con electrodos E 7018, mientras que las placas reforzadas de la parte inferior son de acero SAE 4140.

4.5.2 Condiciones de borde.

Las condiciones de borde impuestas a esta pieza son:

- Esfuerzos de compresión de 18 Mpa en cada cara de la cavidad interna de la pieza.
- Esfuerzos de compresión de 5 Mpa en la parte superior de las caras laterales de la pieza
- Soporte (empotrado) en la cavidad superior correspondiente a la entrada del alimentador de tornillo.
- Soporte (empotrado) en la parte inferior de la pieza.

4.5.3 Resultados obtenidos.

Deformación total.

La deformación máxima es de 0.273 mm, lo cual es aceptable para los requerimientos de la maquina.

Esfuerzo de Von Mises.

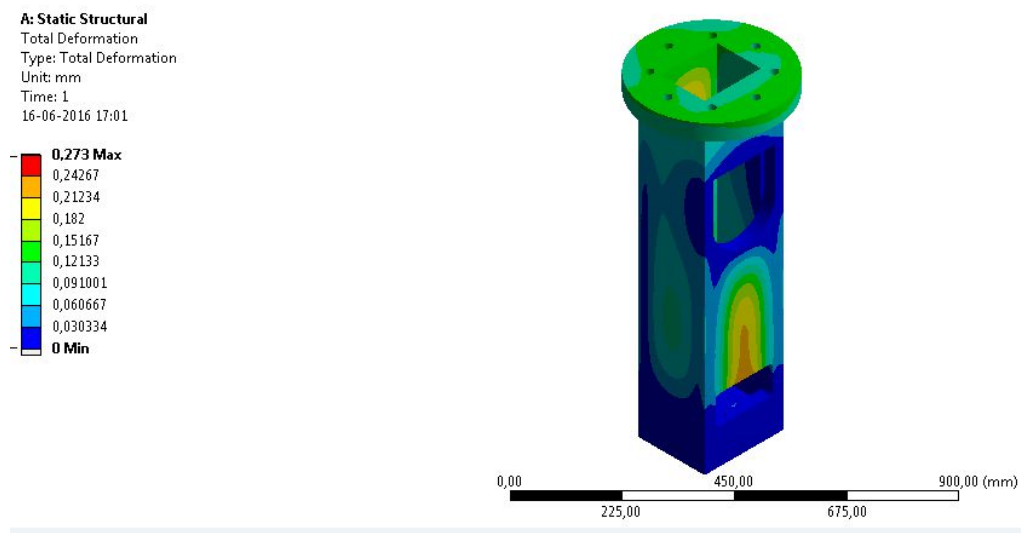


Figura 4-15, Deformación máxima cámara de pre compresión

Esfuerzo de Von Mises.

Los principales esfuerzos se producen en las aristas del molde, llegando a los 385 Mpa, pero debido a que estos son de acero 4140, presentan un valor de esfuerzo de fluencia mucho mayor.

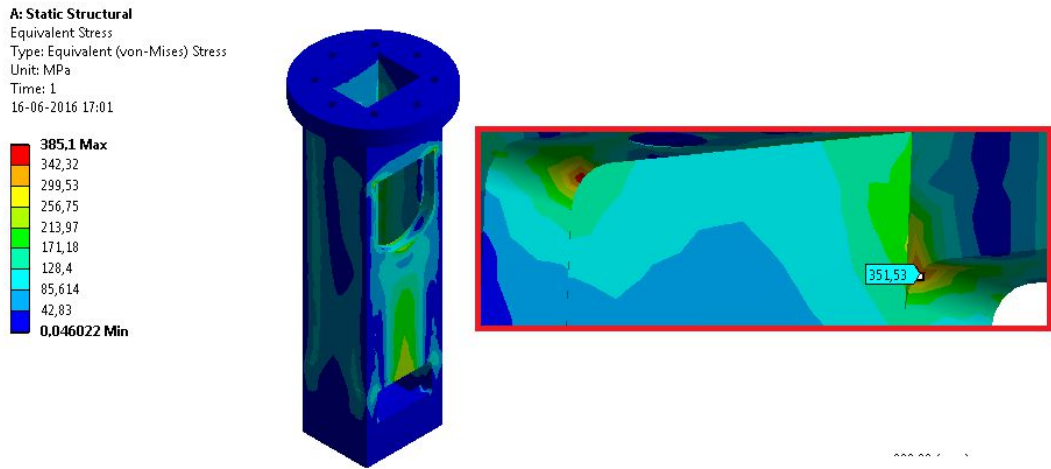


Figura 4-16, Esfuerzo máximo cámara de pre compresión

Factor de seguridad.

Como se aprecia en la imagen posterior, el factor de seguridad en ningún punto es inferior a la unidad.

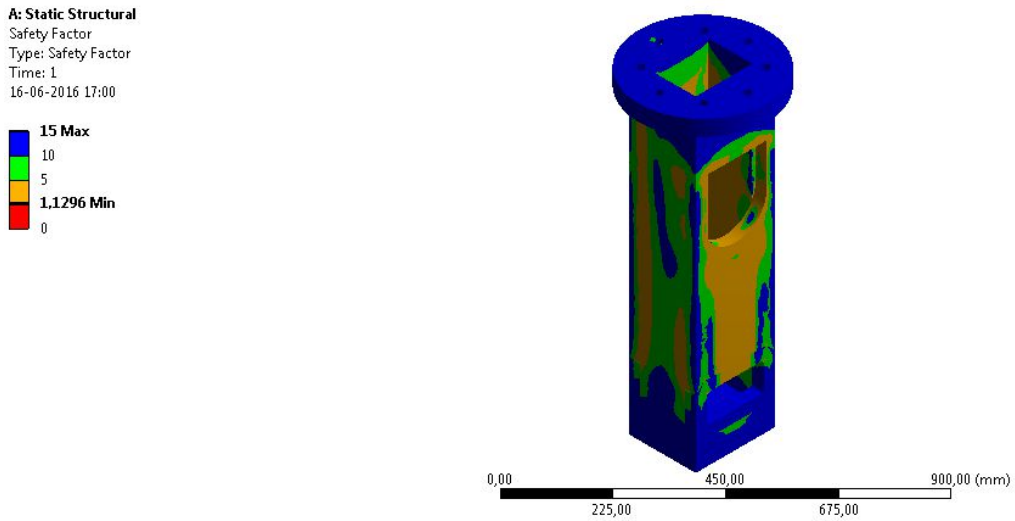


Figura 4-17, Factor de seguridad cámara de pre compresión

4.5.4 Evaluación de la pieza

Al ser un elemento compuesto por piezas con distintos tipos de acero, la pieza reacciona de buena manera a los esfuerzos sometidos

4.6 Extremo cilindro A

Este extremo consiste en una plancha de acero unida al vástago mediante una rosca M64 con 3 mm de paso. para efectos de este análisis, se tratara el vástago unido con el extremo mediante la rosca como una sola pieza (figura 4-18).



Figura 4-18, Extremo Cilindro A

4.6.1 Manufactura y materiales

Esta pieza se compone de una plancha de acero ASTM A 572, soldada a una rosca hembra mediante un electrodo E 7018, Esta rosca posteriormente se ensambla al vástago del cilindro A.

4.6.2 Condiciones de Borde

Las condiciones de borde impuestas a esta pieza son:

- Esfuerzos de compresión de 18 Mpa en el extremo inferior
- Soporte (empotrado) en el extremo superior

4.6.3 Resultados obtenidos.

Deformación total.

La plancha sufre una pequeña deformación en las esquinas, la cual es de 0.27 mm

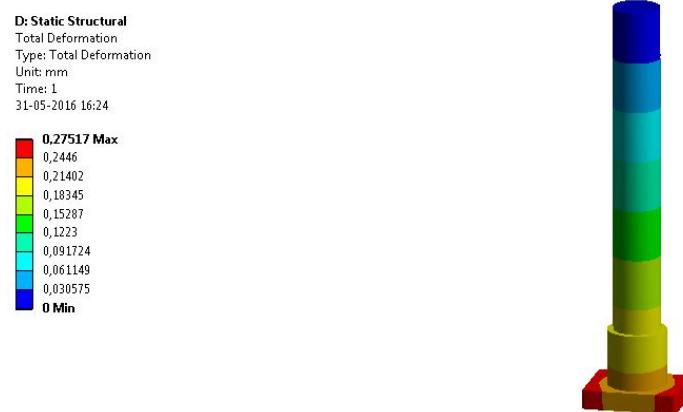


Figura 4-19, Deformación total extremo cilindro A

Esfuerzo de Von Mises.

En la figura 420, se puede apreciar que en ningún momento se sobrepasa el esfuerzo de fluencia del material.

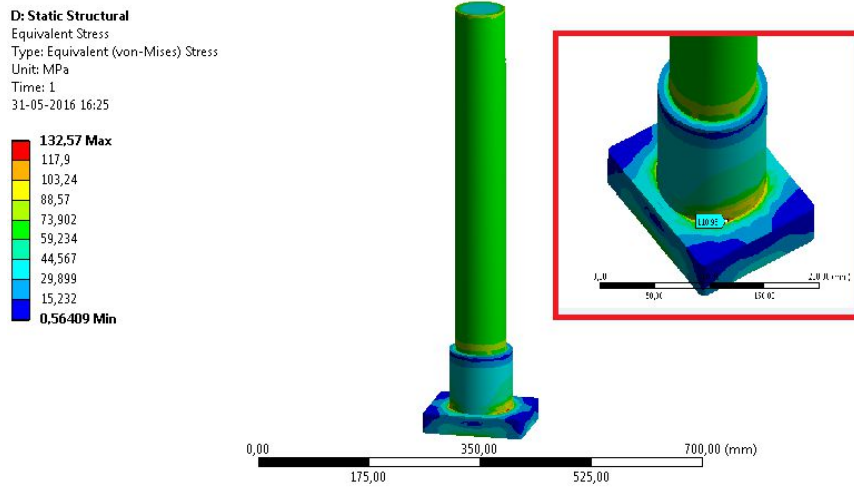


Figura 4-20, Esfuerzo máximo extremo cilindro A

Factor de seguridad.

El factor de seguridad no es sobrepasado en ningún momento, cabe destacar que el vástago del cilindro propiamente tal no es del material anteriormente citado.

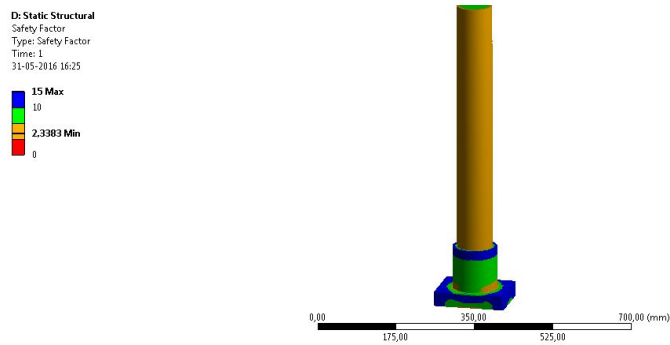


Figura 4-21, Factor de seguridad extremo cilindro A

4.6.4 Evaluación de la pieza.

Al probar con espesores menores a los 32 mm, se producen deformaciones mayores al milímetro, lo cual puede ser perjudicial para el proceso de Briqueteado, por lo que se fijó el espesor de plancha en 32 mm, utilizando este espesor, la pieza responde satisfactoriamente al esfuerzo aplicado.

4.7 Extremo cilindro B

De manera similar a la pieza anterior, el extremo se unirá al vástago mediante una rosca M160 con 4 mm de paso. Para efectos de este análisis se consideraran ambas piezas como una sola.

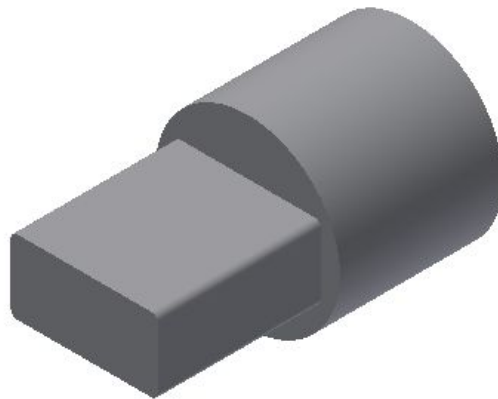


Figura 4-22, Extremo cilindro B

4.7.1 Manufactura y materiales

EL material seleccionado es un bloque macizo de acero SAE 1045, el cual se une mediante una rosca a un acople para posteriormente ir unido al vástago del cilindro B.

4.7.2 Condiciones de Borde.

Las condiciones de borde impuestas a esta pieza son:

- Esfuerzos de compresión de 133 Mpa en el extremo inferior
- Soporte (empotrado) en el extremo del vástago

4.7.3 Resultados obtenidos.

Deformación total.

Como se puede apreciar en la figura 4-23, la deformación de la pieza es despreciable (0.17 mm).

E: Copy of Static Structural
Total Deformation
Type: Total Deformation
Unit: mm
Time: 1
31-05-2016 15:56

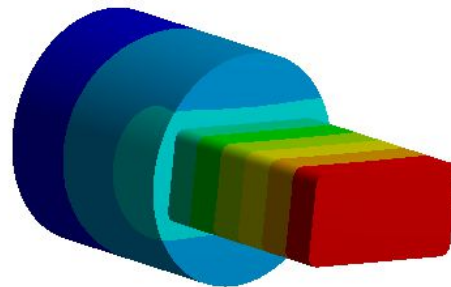
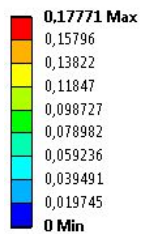


Figura 4-23, Deformación total extremo cilindro B

Esfuerzo de Von Mises.

Los puntos de concentración de esfuerzos se ubican en las aristas del bloque, pero el esfuerzo máximo nunca logra sobrepasar el esfuerzo de fluencia del material (310 Mpa)

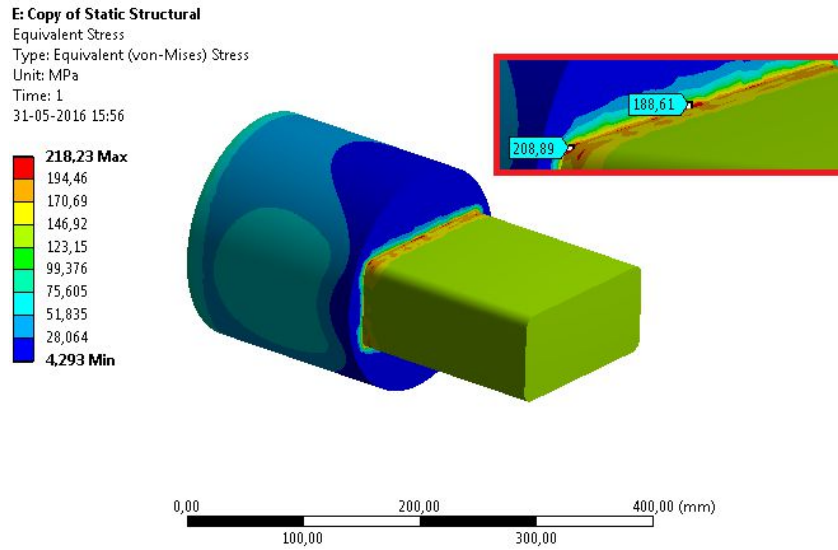


Figura 4-24, Esfuerzo máximo extremo cilindro B

Factor de seguridad.

El factor de seguridad de la pieza en ningún punto es inferior a la unidad.

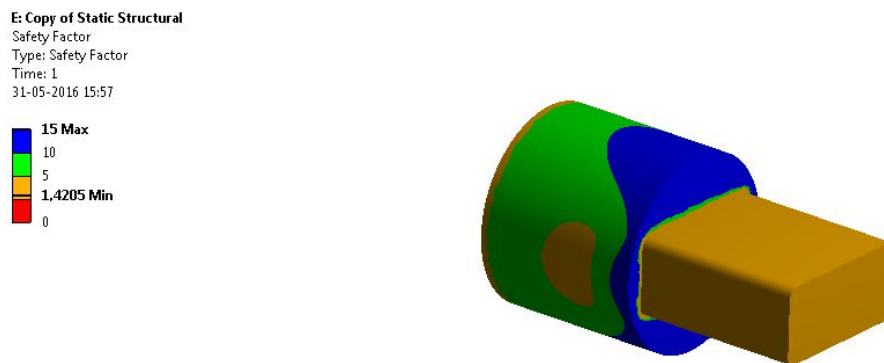


Figura 4-25, Factor de seguridad extremo cilindro B

4.7.4 Evaluación de la pieza.

A pesar de la concentración de esfuerzos en los vértices del bloque, la pieza logra soportar de manera satisfactoria los esfuerzos ejercidos por el sistema hidráulico.

5 Diseño sistema Oleo hidráulico y sistema de alimentación.

5.1 Introducción.

El sistema oleo hidráulico debe entregar la energía necesaria para poder compactar el aserrín hasta lograr la densidad establecida en la norma DIN 51731 , es por esto que el sistema operara hasta un máximo de 250 bar. Este sistema también se encarga de desplazar los elementos móviles de la maquina, por lo que debe aportar el caudal suficiente para que los elementos se deslacen con la velocidad requerida para cumplir con el tiempo estimado en el proceso de briqueteado. El sistema de alimentación se encarga de introducir el material dentro de la cámara de pre compresión, por lo que debe proporcionar un flujo controlado y uniforme.

5.2 Esquema Oleo Hidráulicos

El sistema oleo hidráulico está diseñado para trabajar con dos bombas en paralelo, las cuales funcionen a distintas presiones, la primera bomba encargada de suministrar la mayor parte del caudal, "bomba de baja", y apartará alrededor de 60 lt/min a una presión no mayor a 50 bar, esta bomba se encargara de desplazar los actuadores la mayor parte del tiempo, considerando que el cilindro A en la mayor parte de su recorrido no ejerce mayores esfuerzos debido a la escasa resistencia que ofrece el aserrín a granel, mientras que el cilindro B en sus primeros 125 mm de carrera solo desplaza la briqueta pre compactada dentro del molde, por lo que no ejerce mayor esfuerzo sobre al material. La segunda bomba, "bomba de alta", será encargada de suministra la presión suficiente para que se logre densificar el material, pero

aportando un caudal mucho menor, por lo que deberá operara a 250 bar y con un caudal de a lo más 10 lt/min, que es el caudal necesario para que el cilindro B realice la compactación en un tiempo acorde al estipulado anteriormente .Para cumplir con los requerimientos previamente establecidos en el capitulo tres, se plantea el siguiente diagrama de espacio fase, en el cual se puede apreciar el cambio de posición de cada uno de los cilindros (figura 5-1).

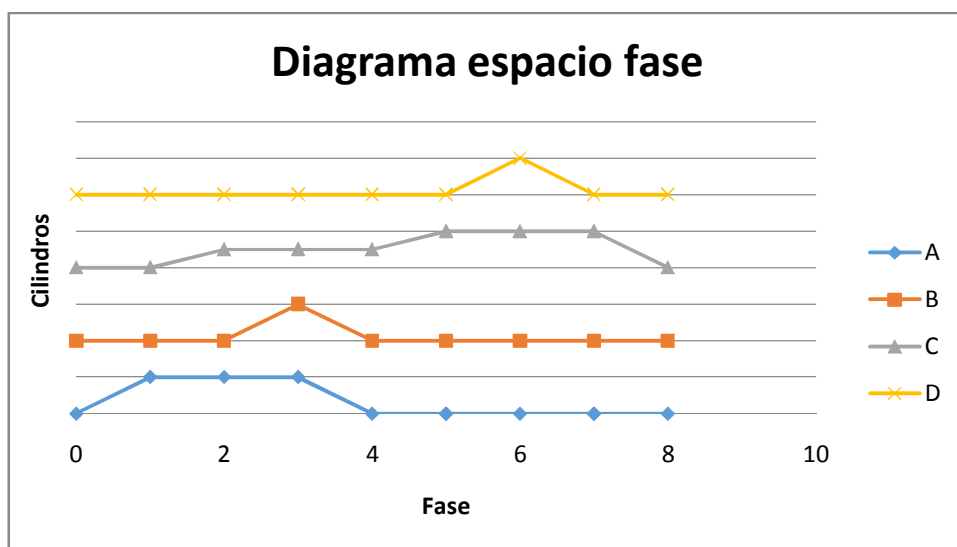


Figura 5-1, Diagrama espacio fase

El esquema oleo hidráulico se encuentra representado en la figura 5-2, las funciones específicas de los detectores de proximidad y presostatos que se encuentran en la figura serán detallados en el capítulo 6.

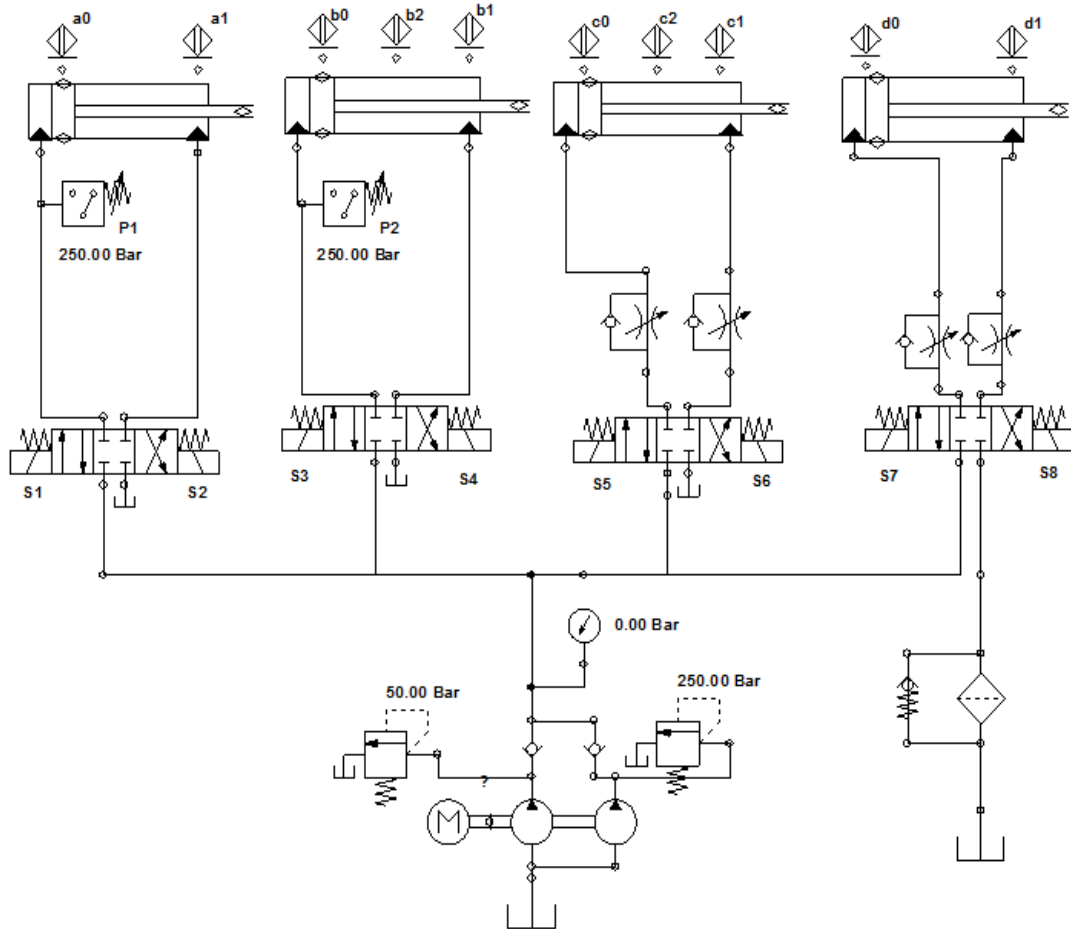


Figura 5-2, Esquema Oleo hidráulico

5.3 Componentes a utilizar

5.3.1 Cilindro Doble Efecto:

Son actuadores mecánicos que transforman la energía hidráulica en energía mecánica a través del desplazamiento lineal de un pistón. el proceso de avance del cilindro se efectúa introduciendo aceite a presión en la cámara posterior y comunicando la cámara anterior con el estanque o línea de retorno, para el caso del retroceso del vástago se sigue el proceso inverso.

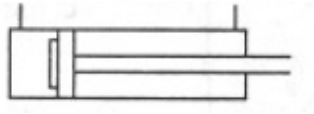


Figura 5-3, Cilindro doble efecto

5.3.2 Válvulas distribuidoras

Este elemento hidráulico permite dirigir el fluido en diferentes direcciones dentro del circuito hidráulico, asegurando la apertura y cierre de una o varias vías de paso según sea necesario. El mando de los distribuidores puede ser mecánico, electromagnético, hidráulico, neumático o distintas combinaciones de estos.

Las válvulas distribuidoras se clasifican según su número de posiciones (casillas cuadradas) y su cantidad de vías (conexiones dentro de cada casilla). En este caso se utilizarán válvulas de 3 posiciones y 4 vías, las cuales están centrada por resortes y se activan mediante solenoides (figura 5-4). Estas válvulas poseen un tipo de centro cerrado el cual evita el desplazamiento de los cilindros en cualquier sentido, y permite que el fluido sea redistribuido a otros puntos del circuito.

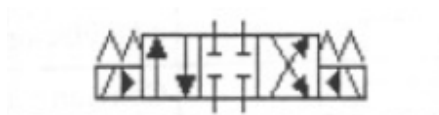


Figura 5-4, Válvula direccional 3/4 con centro cerrado

5.3.3 Válvula anti retorno

También llamada válvula Check, esta válvula impide que el aceite fluya en dos sentidos en una parte determinada de un circuito y asegurar la estanqueidad entre las dos partes de este circuito. También existen otras variantes, en las cuales se incorpora un resorte o resistencia

en el sentido de apertura de la válvula, permitiendo el paso solo cuando la presión que ejerce el fluido sobrepasa la resistencia del resorte.

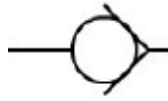


Figura 5-5, Válvula anti retorno

5.3.4 Válvula reguladora de caudal unidireccional.

Este elemento se utiliza para reducir el caudal que ingresa, mediante la variación de la sección de paso del fluido, mediante una válvula anti retorno montada en paralelo, se logra evitar que el fluido disminuya su caudal en el sentido contrario, como se puede apreciar en la figura 5-6, por lo que el fluido al pasar de A a P pasa estrangulado (reducido), mientras que de P a A pasa libremente.

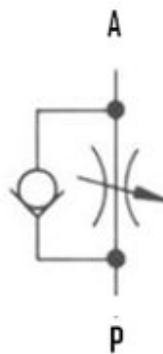


Figura 5-6, Válvula reguladora de caudal

5.3.5 Válvula limitadora de presión

Este tipo de componente reaccionan a determinado valor de presión, son válvulas normalmente cerradas que limitan la presión máxima de entrada a un valor especificado previamente, por debajo de esta presión, el elemento permanece cerrado, y al llegar a la presión tarada, la válvula se abre y redirige el fluido al estanque.

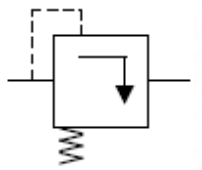


Figura 5-7, Válvula limitadora de presión

5.3.6 Filtro

Cumplen la función de separar las impurezas que transporta el fluido, generalmente se sitúa a la entrada de las bombas (aspiración), en las líneas de presión a la salida de la bomba o en el retorno, para evitar que las impurezas generadas por la fricción de los componentes móviles reingresen al sistema.

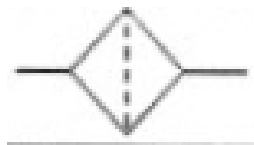


Figura 5-8, Filtro

5.3.7 Bomba

La misión de una bomba hidráulica es la de transformar en energía hidráulica la energía mecánica o eléctrica que se le comunica. Esta transformación se realiza en dos fases, fase de aspiración donde el paso del fluido desde el depósito hasta la bomba y fase de compresión, donde se impulsa el fluido desde la bomba al resto del circuito.

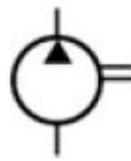


Figura 5-9, Bomba

5.4 Determinación de carreras en cilindros hidráulicos.

La carrera mínima que deben tener los cilindros de compresión y pre compresión se calcula en función de la reducción de volumen. Considerando que se debe conservar la masa(M), la relación entre densidades es la que se expresa en la ecuación 5-1, donde los sub índices representan el estado inicial (i), intermedio (m) y final (f), mientras que para los cilindros C y D, la carrera mínima se determina mediante los movimientos específicos que deben realizar.

$$M = V * \rho \quad , \quad V = h * l * a$$

$$M_i = M_f$$

$$(h_i * a_i * l_i) * \rho_i = (h_m * a_m * l_m) * \rho_m = (h_f * a_f * l_f) * \rho_f$$

Ecuación 5-1

Con:

- V : Volumen
- h : Alto
- a : Ancho
- l : Largo
- ρ : Densidad

5.4.1 Carrera cilindro A

Dado que para el cilindro A, las dimensiones iniciales de ancho y largo no varían respecto a las dimensiones finales, la ecuación anterior queda expresada como la igualdad entre los productos de la altura y densidad. Como se conocen ambas densidades y la altura final (que es la altura de las briquetas), el cálculo de la carrera mínima que debe tener el cilindro para efectuar la pre compresión, queda expresado en la ecuación 5-1. Cabe señalar que como criterio de diseño se ha optado por considerar la densidad inicial como el valor más bajo especificado en el rango de densidades del aserrín, [160-208 kg/m^3].

Para este caso la altura intermedia es igual a la altura final, ya que no se vuelve a comprimir el material en ese sentido.

$$h_m = h_f$$

$$h_i * \rho_i = h_f * \rho_m$$

Considerando que la carrera mínima que debe recorrer el cilindro es la diferencia entre la altura inicial de la columna de aserrín y la altura final de esta, ecuación 5-2

$$\text{Carrera minima Cilindro A: } h_i - h_f$$

$$h_i = \frac{h_f * \rho_m}{\rho_i}$$

$$\text{Carrera minima Cilindro A: } \frac{h_f * \rho_m}{\rho_i} - h_f$$

Ecuación 5-2

A esta carrera mínima calculada, se le debe agregar el espacio correspondiente para que efectúe su función sin inconvenientes el alimentador de tornillo, por lo que se le debe adicionar la suma correspondiente a la descarga de este, 205 mm . Tomando en cuenta estas consideraciones, el cilindro A debe tener una carrera de 545 mm.

5.4.2 Carrera cilindro B

En el caso del cilindro B, encargado de la compactación total del material, las dimensiones que se mantienen constantes son la altura y el largo, por lo que la carrera mínima para efectuar al compresión queda representada por la ecuación 5-3

$$a_m * \rho_m = a_f * \rho_f$$

Al igual que en el caso anterior, la carrera mínima quedara determinada por la diferencia de las longitudes en el sentido de la compactación

$$\text{Carrera minima Cilindro B: } a_m - a_f$$

$$\text{Carrera minima Cilindro B : } \frac{a_f * \rho_f}{\rho_m} - a_f$$

Ecuación 5-3

Reemplazando en la ecuación, la carrera mínima que debe tener el cilindro para efectuar la compactación, es de 45 mm. Este cilindro además debe ser capaz de trasladar la briqueta pre compactada por una distancia de 125 mm, para que esta ingrese en el molde, mas 32 mm que es el espesor respectivo de la placa incorporada en la cámara de pre compresión, por lo que la carrara total del cilindro B seria de 177 mm.

5.4.3 Carrera cilindro C

Para que el cilindro C cumpla la función definida en la sección anterior, este debe poseer una carrera de 350 mm, ya que en el primer movimiento debe ser capaz de avanzar 175 mm y en el segundo movimiento debe ser capaz de extenderse unos 175 mm mas para ubicar la pieza en posición de expulsión

5.4.4 Carrera Cilindro D

El cilindro D, debe ser capaz de expulsar la briqueta (105 mm), atreves de las dos aberturas de entrada del molde fijo (32 mm cada una) , por lo que su carrera se fijara en 170 mm

5.5 Selección de cilindros hidráulicos

La selección de los cilindros hidráulicos es vital para el correcto funcionamiento de la maquina briquetadora, en espacial para los procesos de compresión y pre compresión, los factores más relevantes para la selección de estos son la presión de servicio, el diámetro del embolo y el diámetro del vástago para evitar que ocurra pandeo.

Para realizar el dimensionamiento de los cilindros, se utilizaran los valores de esfuerzo obtenidos en los ensayos de compactación de aserrín (Anexo A), donde se estableció que los esfuerzos necesarios para pre compactar y compactar el material eran de 14.7 y 111.1 Mpa. Para asegurar el cumplimiento de la norma DIN 51731, se aplico un factor de seguridad de

1.3 al esfuerzo que debe realizar el cilindro B, por lo que el esfuerzo de compresión queda fijado en 133.3 Mpa

Ya determinado el esfuerzo necesario para compactar el material (σ), se procede a calcular la fuerza que debe ejercer el cilindro sobre el material. esta fuerza es determinada mediante la Ecuación 5-4, donde A representa a la sección transversal a la dirección de la fuerza. En el caso del cilindro de pre compresión (Cilindro A), el área está dada por el producto del largo de la briqueta con el ancho sin comprimir de esta (125 mm), en el caso del cilindro de compresión, (Cilindro B), el área está dada por el producto entre el largo y el alto de la briqueta..

$$F = \sigma * A$$

Ecuación 5-4

Aplicando la ecuación 5-4, obtenemos los siguientes resultados:

Cilindro A $F = 14.7 * 0.16 * 0.125 = 294\text{kN}$

Cilindro B $F = 133 * 0.16 * 0.8 = 1707 \text{ kN}$

5.5.1 Selección diámetro del embolo

Para seleccionar el diámetro del embolo necesario para que el cilindro ejerza la fuerza requerida para la compactación, es necesario fijar una presión del sistema, para esto utilizaremos la ecuación 5-4, donde el valor de σ corresponderá a la presión del sistema, F corresponde a la fuerza de compresión determinada anteriormente y A corresponde a la sección transversal del cilindro. En la tabla 5.1 se mantiene la fuerza constante y se muestran distintos valores de el diámetro del émbolo necesario y para cada presión del sistema

Presión del sistema Bar	Diámetro embolo [mm]		Diámetro embolo [Pulgadas]	
	Cilindro A	Cilindro B	Cilindro A	Cilindro B
200	136.81	329.60	5.39	12.98
250	122.37	294.81	4.82	11.61
300	111.70	269.12	4.40	10.60
320	108.16	260.57	4.26	10.26
350	103.42	249.16	4.07	9.81

Tabla 5.1, Diámetros de embolo

Utilizando los valores de la Tabla 5.1, y utilizando una presión de trabajo de 250 bar, se han seleccionado los siguientes cilindros de la marca GLual, serie ISO 6020/2, con las siguientes designaciones:

Cilindro A : KD X - 125/80 x 487- AMF3-201-M-F-1-20

Cilindro B : KD X - 320/200 x 145- EMS2-201-M-F-1-20

Cilindro C : KD X - 50/32 x 350- EMS2-201-M-F-1-20

Cilindro D : KD X - 50/32 x 110- EMS2-201-M-F-1-20

EL significado de las designaciones y los detalles del catalogo del cilindro se encuentran en el ANEXO B. El cilindro A, posee un diámetro de 125 mm (122 mm calculados anteriormente) mientras que el cilindro B tiene un diámetro de 320 mm, mucho más de los 294 mm calculados anteriormente, asegurando que la maquina será capaz de ejercer el esfuerzo necesario para compactar el material. Cabe destacar que los cilindros poseen detectores de proximidad inductivos en ambos extremos (designación X). Los tipos de montaje para los cilindros B y C son con pies de fijación, mientras que para el cilindro A y D, se utiliza un montaje con brida frontal. Para los cilindros C y D, se escogió el diámetro

mínimo de pistón disponible en el catalogo (50mm), ya que los esfuerzos que deben realizar son muy pequeños en comparación con los de los cilindros A y B.

5.5.2 Verificación de pandeo

Otro de los puntos importantes para seleccionar un cilindro hidráulico, es el diámetro del vástago, el cual para el caso de cilindros con carreras relativamente grandes, si no se escoge con precaución, puede generar problemas de pandeo.

Para el cálculo del pandeo son relevantes tanto el diámetro del vástago como el tipo de fijación del cilindro y el largo de este. Los distintos tipos de fijación se muestran en la figura 5-10 para los cilindros A y B, tendremos una fijación en ambos extremos, como el del caso 4. Para el cálculo de la carga máxima para que no ocurra pandeo, se utiliza la ecuación de Euler (ecuación 5-6), donde E es el modulo de elasticidad del acero ($2.1 \cdot 10^5 \text{ N/m}^2$), Sk es la longitud libre de pandeo y J es el momento de inercia de la sección transversal (ecuación 5-5). Reemplazando la primera ecuación en la segunda y despejando \emptyset , se formula la ecuación 5-7, para calcular el valor mínimo del diámetro del embolo para evitar el pandeo al aplicar las fuerzas de compresión anteriormente determinadas, donde n es el factor de seguridad aplicado

$$J = \frac{\emptyset^2 * \pi}{64}$$

Ecuación 5-5

$$F = \frac{\pi^2 * E * J}{Sk^2}$$

Ecuación 5-6

$$\phi = \sqrt[4]{\frac{F * n * S k^2}{\pi^2 * 0.0491 * E}}$$

Ecuación 5-7

Utilizando valores de Sk correspondientes al largo medio, 272.5 y 88.5 mm para los cilindros A y B respectivamente, con un factor de seguridad de 3.5, los valores mínimos del diámetro del vástago para ambos cilindros es de 35 y 29 mm. Con estos valores se puede concluir que los cilindros seleccionados poseen un diámetro de vástago adecuado para evitar el pandeo, por lo que no es necesario reforzarlos o realizar algún tratamiento especial.

Solicitaciones según Euler				
Solicitaciones según Euler	Caso 1	Caso 2 (básico)	Caso 3	Caso 4
	Un extremo libre, un extremo fijo	Dos extremos articulados	Un extremo articulado, un extremo fijo	Dos extremos fijos
Gráfico				
Longitud libre de pandeo	$s_K = 2l$	$s_K = l$	$s_K = l \cdot \sqrt{\frac{1}{2}}$	$s_K = \frac{l}{2}$
Situación de montaje del cilindro	<p>Forma de sujeción C, D, F, H, K L, M, N, P, Q, T</p>	<p>Forma de sujeción B, E, G, R, S</p>	<p>Indicación: Guiado cuidadoso de la carga, posible bloqueo</p> <p>Forma de sujeción C, D, F, H, K L, M, N, P, Q, T</p>	<p>Indicación: Desfavorable; gran posibilidad de bloqueo</p> <p>Forma de sujeción C, D, F, H, K L, M, N, P, Q, T</p>

Figura 5-10, Pandeo en cilindros hidráulicos

5.6 Selección de válvulas limitadoras de presión.

Todas las válvulas a utilizar son del tipo placa base, con conexiones CETOP 5 , en la figura 5-11, se puede apreciar la distribución de las conexiones según norma.

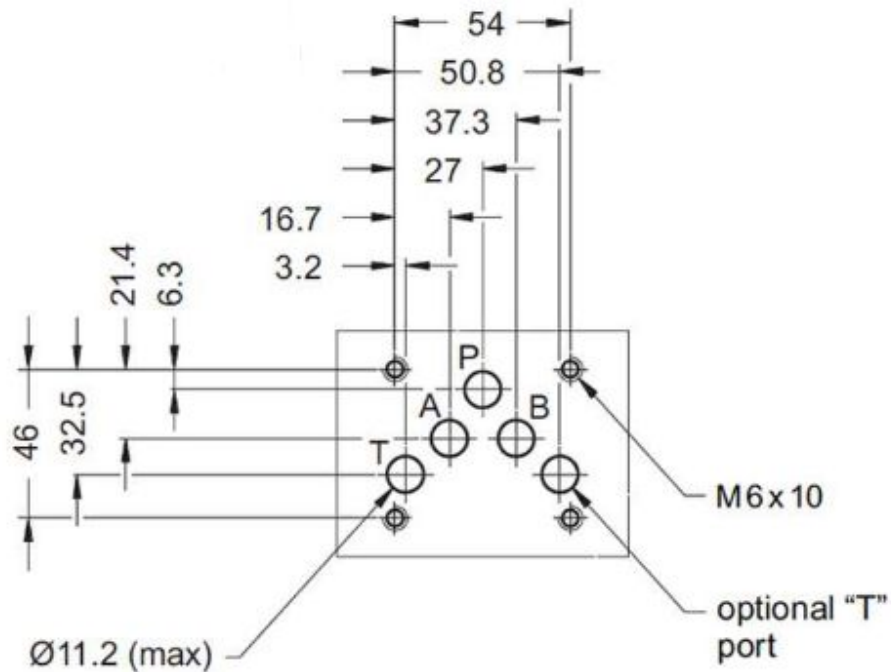


Figura 5-11, CETOP 5

Es necesario implementar dos válvulas limitadoras de presión, una para la bomba de baja presión y otra para la bomba de alta presión. La válvula de baja presión se debe ajustar a 50 bar, mientras que la válvula de alta presión debe estar ajustada a una presión de 250 bar. Las válvulas seleccionadas corresponden al catalogo de la marca EATON Vickers, "System Stack Valves ISO 4401-05 size", el cual contiene diversas válvulas diseñadas para soportar hasta 315 Bar y un flujo máximo de 120 lt/min. Los tipos de conexiones que requiere el sistema oleo hidráulico de la maquina son como las que se muestran en la figura 5-12, donde se puede apreciar que la válvula se conecta directamente desde la línea de presión, y descarga al tanque.

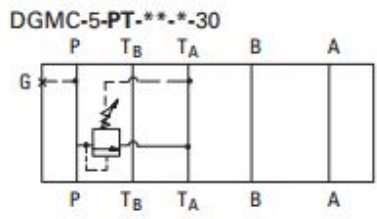
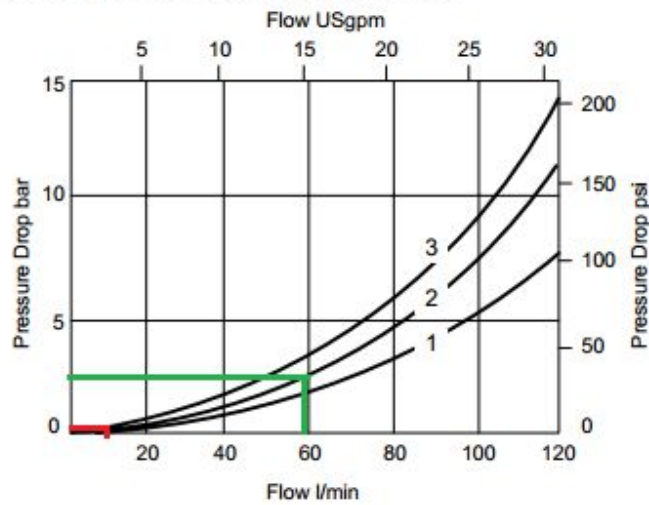


Figura 5-12, Vías válvula limitadora de presión

La caída de presión que produce la válvula se encuentran en la figura 5-12, donde para la válvula limitadora de la bomba de baja presión (línea verde), la caída de presión es de 2.5 bar, mientras que para la válvula limitadora de alta presión, que opera con un flujo de 10.5 lt/min, la caída de presión es casi nula (línea roja).

DGMC-5 and DGMC2-5 Insertion Loss



1. DGMC2-5-AT-**-(-E)-BT-**-(-E)-(RC)*-30
 DGMC-5-AT-**-(-E)-(RC)*-30
 DGMC-5-BT-**-(-E)(RC)*-30
2. DGMC-5-PT-**-(-E)-(RC)*-30
3. DGMC2-5-AB-**-BA-**-30

Figura 5-13, Perdidas de presión válvula limitadora de presión

El rango de presiones regulables por la válvula será de 4 a 50 bar en el caso de la válvula conectada a la línea de baja presión, y un rango de 4 a 315 bar en el caso de la válvula correspondiente a la línea de alta presión.

El código de modelo es:

- Reguladora bomba de baja presión

DGMC-5-PT-AH-(E)-30

- Reguladora bomba de alta presión

DGMC-5-PT-GH-(E)-30

Para ver significado ir a ANEXO B

5.7 Válvula reguladora de caudal.

Con el objetivo de disminuir el caudal que ingresa a los cilindros de menor tamaño, (cilindros C y D) y así poder controlar de mejor manera la velocidad con la que se desplazan, se implementaran válvulas reguladoras de caudal tanto en la entrada como en la salida de los cilindros. Para esto, se seleccionaran dichas válvulas del catálogo EATON Vickers, "System Stack Valves ISO 4401-05 size".

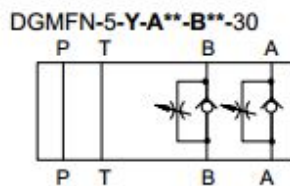


Figura 5-14, Vías válvula reguladora de caudal

El tipo de válvulas seleccionado, regula tanto el caudal de entrada al cilindro como el caudal de salida, mediante estrangulaciones independientes, las cuales se pueden regular mediante una manilla con ajuste normal. Este tipo de válvulas admiten un caudal de hasta 120 lt/min y una presión de hasta 315 bar. Las caídas de presión producidas por la estrangulación se presentan en la figura 5-15, donde se grafica la perdida de presión en función del caudal para distintas vueltas de la manilla desde que se encuentra completamente cerrada. considerando que la ambos cilindros solo funcionan con la bomba de baja presión, por lo que el sistema funciona a 50 bar y a un caudal máximo 58 lt/min, por lo que considerando las curvas de caída de presión, no se recomienda dar menos de 6 vueltas a la manilla para controlar el flujo.

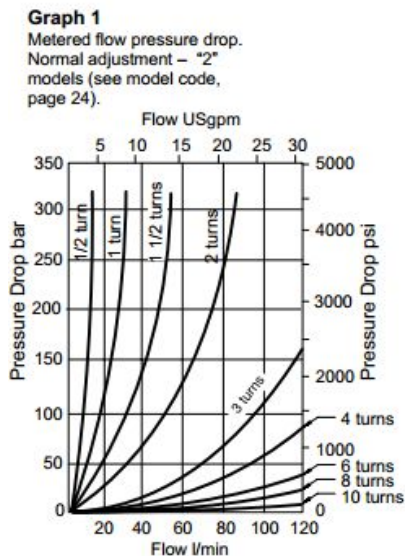
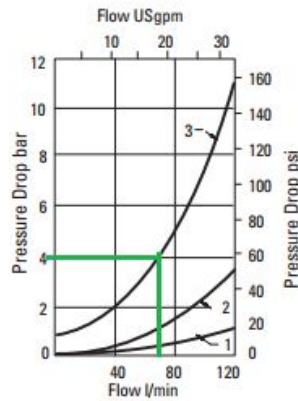


Figura 5-15, Perdidas de presión según numero de giros manilla

En la figura 5-16 se presenta el grafico correspondiente a la caída de presión producida por la válvula Check, considerando un flujo máximo conjunto de ambas bombas de 70 lt/min, las pérdidas de carga serian aproximadamente 4 bar.

Graph 3

Free flow pressure drop across check valve.



Graph 3

- 1 - "P" port of all models except DGMFN-5-X-P**-30
"B" and "T" ports of DGMFN-5-X-P**-30
- 2 - "T" port of all models except DGMFN-5-X-P**-30
"A" ports of DGMFN-5-X-P**-30
- 3 - Pressure drop across reverse free flow check valve

Figura 5-16, Perdidas de presión válvula reguladora de caudal

El código de modelo es:

DGMFN-5-Y-A1H-B1H-30

Para ver significado del código de designación, ir al ANEXO B

5.8 Selección de válvulas direccionales.

Las válvulas direccionales que alimentaran a las cilindros hidráulicos deben ser capaces de suministrar un caudal de 67.5 lt/min y soportar una presión máxima de 250 bar. Como se menciona en la descripción de los elementos a utilizar, las válvulas serán de tres posiciones y cuatro vías, con un centro del tipo cerrado. Todas las válvulas deben ser accionadas mediante solenoides y centradas por resorte.

Utilizando el catalogo de "Válvulas direccionales de control DG4V4-01" de la empresa EATON/Vickers, se seleccionaran las válvulas a utilizar, las cuales están diseñadas para trabajar a una presión máxima de 315 bar y a un caudal de hasta 115 lt/min.

Identificando la válvula requerida en las figura 5-17 y figura 5-18, se relacionas las curvas de caída de presión que se encuentran en la figura 5-19. Relacionando el caudal máximo que entrega el sistema, 67.5 lt/min, la caída de presión seria de aproximadamente 6 bar, lo cual es perfectamente aceptable, ya que se trabaja con 50 bar de presión, por lo que no influye mayormente en los procesos de compresión. Considerando que posteriormente al disminuir el caudal a 10 lt/min, se obtienen perdidas de presión menores a un bar, por lo que se consideran prácticamente despreciables para la compactación.

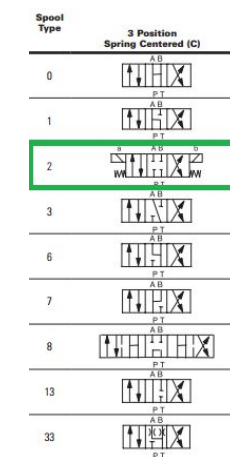


Figura 5-17, Tipo válvula

Pressure drops in offset positions except where otherwise indicated

Spool code	P to A	P to B	A to T	B to T	P to T
0	1	1	1	2	1
1	3	4	1	6	4
2	4	4	2	3	-
3	4	4	1	3	-
6	4	4	1	2	-
7	1	1	4	6	-
8	7	7	4	4	3
11	4	3	6	1	-
22	4	4	-	-	-
31	4	4	3	1	-
33	4	4	3	3	-

Figura 5-18, Numero de grafica

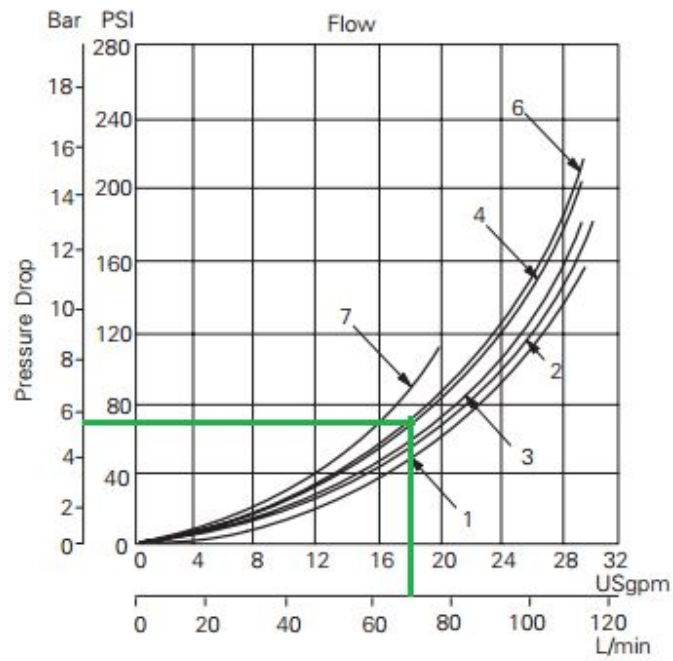


Figura 5-19, Perdidas de presión válvulas direccionales

El código de modelo es:

F-DG4V4-01-02-C-(V)M-(S3)-U-PA-G-(L)-C-CL-5-10

Para ver mayores detalles ir a ANEXO B

5.9 Válvulas Check.

Este tipo de válvulas se utilizarán para prevenir que se devuelva el flujo desde las líneas de presión. Utilizando el catálogo mencionado anteriormente para seleccionar las válvulas limitadoras de presión y válvulas reguladoras de caudal, se ha seleccionado la siguiente válvula anti retorno (figura 5-20).

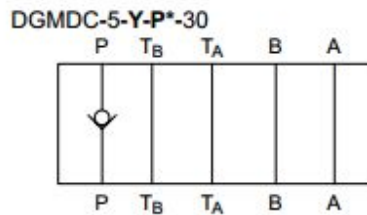


Figura 5-20, Vías válvula Check

La presión de apertura de la válvula seleccionada es de 1 bar (tipo PK), la pérdida de presión asociada a este elemento se obtiene mediante la figura 5-21, la cual indica una caída de presión cercana a los 5 bar para el caso de la bomba de baja presión, mientras que para un caudal de 10.5 lt/min, las pérdidas son de aproximadamente 2 bar. En el caso de que la

alimentación corresponda a ambas bombas, las pérdidas asociadas serían cercanas a 7 bar.

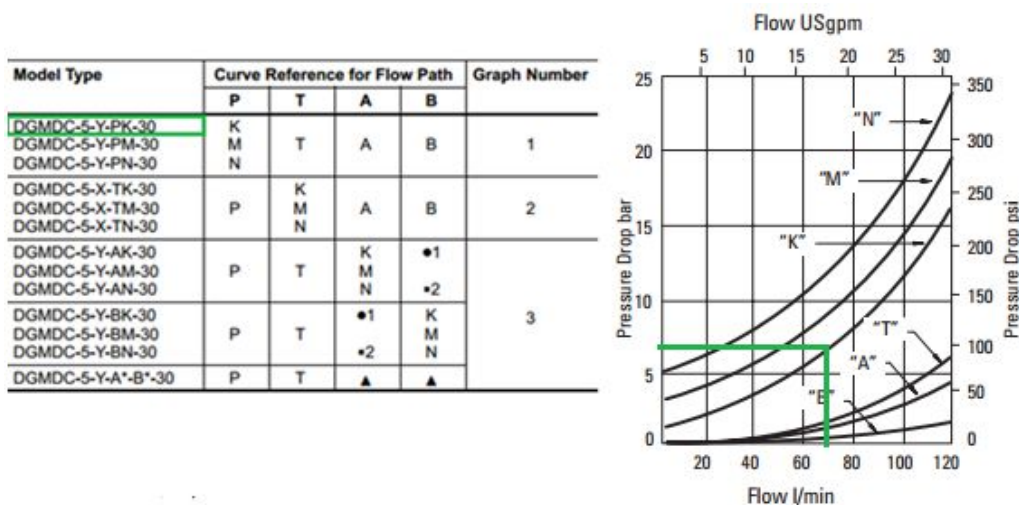


Figura 5-21, pérdidas de presión válvula Check

El código de modelo es:

DGMDC-5-Y-PK-30

Las especificaciones técnicas se encuentran en el ANEXO B.

5.10 Aceite hidráulico

Los rangos de viscosidad cinemática, recomendados por los fabricantes de los principales componentes hidráulicos, se encuentran en la tabla 5.4

	Rango de viscosidad cinemática [Cst]	
Bomba	10	100
Cilindro	12	90
Válvulas	13	51

Tabla 5.2, Rango de viscosidades

Considerando estos valores, se selecciona un aceite hidráulico mineral anti desgaste de la marca ESSO Nuto H 46, el cual cumple con la norma DIN 51524. Este aceite está diseñado para condiciones de aplicación moderadas y severas, el cual al ser anti desgaste, protege la vida útil las bombas de engranajes. Las especificaciones técnicas se muestran en la figura 5-22.

Parámetro	Unidades		Valores		
GRADO de Viscosidad ISO		32	46	68	100
Viscosidad Cinemática @ 40 °C	(cSt)	30.1	40.5	69.4	93.8
Indice de Viscosidad		103	102	100	98
Punto de Fluidez o Escurrimiento	(°C)	-33	-21	-18	-18
Punto de Chispa o Inflamación	(°C)	220	230	254	260
Corrosión al Cobre, ASTM D 130		1 A	1 A	1 A	1 A
Contenido de Zinc, ASTM D 4951	(% peso)	0.043	0.044	0.043	0.042
Espuma, ASTM D 892					
Sequencia 1 Tendencia	(ml)	0	0	0	0
Estabilidad	(ml)	0	0	0	0

Figura 5-22

5.11 Filtro

Al igual que al seleccionar el tipo de aceite a utilizar, para seleccionar correctamente el filtro, se utilizaran las especificaciones de los fabricantes de los principales elementos que componen el sistema. Para un óptimo funcionamiento del cilindro, el fabricante recomienda un filtro que cumpla con la norma NAS 1638 clase 9 o 10, con un ratio de filtrado $\beta_{25} = 75.$, lo cual significa (tabla 5.5) que el filtro debe filtrar por lo menos el 98.7% de las partículas de 25 micrómetros de tamaño.

Beta Ratios/Eficiencias	
Beta Ratio (at a given particle size)	Capture Efficiency (at same particle size)
1.01	1.0%
1.1	9.0%
1.5	33.3%
2.0	50.0%
5.0	80.0%
10.0	90.0%
20.0	95.0%
75.0	98.7%
100	99.0%
200	99.5%
1000	99.9%

Tabla 5.3, Ratios

En el caso de la bomba, el fabricante pide un filtrado acorde a la norma NAS clase 8 con un rango de filtrado de entre 6 y 12 micrómetros, con un ratio de filtración de 75. Para las válvulas direccionales, se pide un grado de filtración acorde a la norma ISO 4406 20/18/15, lo cual es equivalente (tabla 5.6) a la norma NAS 1638 clase 9.

ISO Code	Particles/Millilitre			NAS 1638 (1964)	Disavowed SAE Level (1963)
	>2 Micrometers	>5 Micrometers	>15 Micrometers		
23/21/18	80,000	20,000	2,500	12	
22/20/18	40,000	10,000	2,500		
22/20/17	40,000	10,000	1,300	11	
22/20/16	40,000	10,000	640		
21/19/16	20,000	5,000	640	10	
20/18/15	10,000	2,500	320	9	6
19/17/14	5,000	1,300	160	8	5
18/16/13	2,500	640	80	7	4
17/15/12	1,300	320	40	6	3
16/14/12	640	160	40		
16/14/11	640	160	20	5	2
15/13/10	320	80	10	4	1
14/12/9	160	40	5	3	0
13/11/8	80	20	2.5	2	
12/10/8	40	10	2.5		
12/10/7	40	10	1.3	1	
12/10/6	40	10	.64		

Tabla 5.4, Equivalencias ISO/NAS

Tomando en consideración los datos anteriores, se selecciona un filtro de retorno que cumple con la norma NAS 1638 Clase 8 o ISO 19/17/14, con una capacidad de flujo de por lo menos 70 lt/min. El filtro seleccionado es de la marca EATON Vickers Serie OFR, del catalogo "EATON Vickers Filtration máster catalog". Este filtro posee una capacidad de 115 l/min y posee un grado de filtración correspondiente con la norma ISO 19/17/14, el cual cuenta con un ratio de filtrado de $\beta_x = 1000$. La caída de presión debido al paso del fluido atreves del elemento se muestra en la figura 5-23, donde la curva "05" representa al elemento con capacidad de filtrado según la norma ISO 19/17/14, por lo que la caída de presión es de 0.3 bar.

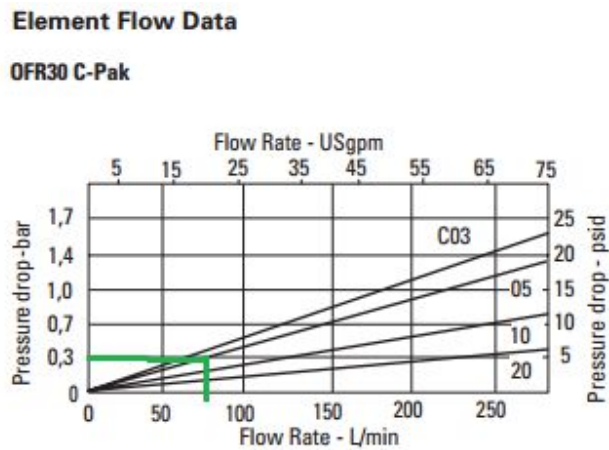


Figura 5-23, pérdidas de presión filtro

El código de modelo es:

OFR-30-5-B-C-05-E-30

V602-1-B-2-C-05

Pare ver el detalle del código ir a ANEXO B

5.12 Diámetro de tubería

Para presiones por sobre los 200 bar, los valores típicos de velocidad que alcanza el fluido hidráulico son de hasta 6 m/s. Considerando que en el caso más drástico, el caudal que debe aportar la bomba es de 70 lt/min, se utilizara la ecuación 5-8, la cual relaciona el caudal (Q) con el producto entre el área transversal (A) y la velocidad del fluido (v), para aproximar el área que debe tener la tubería. Realizando los cálculos correspondientes, la sección transversal de paso de la tubería debe ser aproximadamente de 1.94 cm^2 , lo que representa un diámetro interno de 15.6 mm.

$$Q = v * A$$

Ecuación 5-8

Recurriendo al catalogo de de la marca italiana IMM Hypress, se selecciona una manguera hidráulica de la serie D02N (figura 5-24), diseñada para medianas y altas presiones, las mangueras utilizan como material base la goma sintética NBR anti abrasiva y resistente, por lo que se selecciona una manguera con un diámetro interior de 5/8" (aproximadamente 16 mm), con 6mm de espesor de pared y que resiste una presión de 250 bar.

part number			size									
	in	mm		mm	bar	psi	bar	psi	mm	inch	Kg/m	lb/ft
	TFD0021-03	3/16"	4,8	03	13,5	415	6018	1650	23925	90	3,543	0,289
TFD0021-04	1/4"	6,4	04	15,0	400	5800	1600	23200	100	3,937	0,376	0,253
TFD0021-05	5/16"	8,0	05	16,6	350	5075	1400	20300	115	4,528	0,412	0,277
TFD0021-06	3/8"	9,5	06	19,0	330	4785	1320	19140	130	5,118	0,519	0,349
TFD0021-08	1/2"	12,7	08	22,2	275	3988	1100	15950	180	7,087	0,630	0,423
TFD0021-10	5/8"	16,0	10	25,4	250	3625	1000	14500	200	7,874	0,780	0,524
TFD0021-12	3/4"	19,0	12	29,3	215	3118	850	12325	240	9,449	0,959	0,644

Figura 5-24, Diámetro mangueras

5.13 Manómetro.

Para monitorear la presión del sistema se utilizara un manómetro, el cual estará conectado a la línea de presión donde se unifica el flujo de ambas bombas. Para este fin e ha seleccionado un manómetro de la marca WINTERS, serie E1411-R1, el cual posee una precisión de $\pm 1\%$, un dial de 53 mm y un grado de protección IP 52 , el cual lo protege contra la acción de sólidos y goteos de agua. El manómetro posee un rango de medición de 0 a 270 bar.



Figura 5-25, Manómetro WINTERS

5.14 Estanque hidráulico

Para dimensionar el volumen del estanque hidráulico, se toma como referencia el volumen que debe copar el fluido para llenar todos los cilindros. El cilindro A posee un volumen cercano a los 6.7 lt, el cilindro B, tiene un volumen de 14 lt, y los cilindros C y D aportan con 1.2 y 0.3 lt respectivamente, por lo que el volumen total de los 4 cilindros seria de aproximadamente 22 lt. Como criterio de diseño para el estanque se utilizara el triple del volumen de fluido hidráulico utilizado por los cilindros, por lo que se seleccionara un estanque de aproximadamente 65 lt. El tanque debe estar provisto de los elementos necesarios para un bien funcionamiento del sistema hidráulico, como un termómetro para monitorear la temperatura del estanque y un soporte adecuado para montar el motor eléctrico y las bombas de engranajes, entre otros elementos.

5.15 Perdidas de presión

Las caídas de presión que se producen dentro de los distintos elementos del sistema hidráulico se encuentran en la tabla 5.7

Perdidas de presión			
Elemento	Flujo	Valor	Unidad
válvulas limitadoras de presión.	60	2.5	Bar
	10	0	Bar
válvula reguladora de caudal	70	4	Bar
válvulas direccionales	70	5.8	Bar
	10	0	Bar
válvula Check	60	7	Bar
	10	2	Bar
Filtro	70	0.3	Bar

Tabla 5.5, Perdidas de presión

Estas pérdidas son individuales por componente, por lo que se deben sumar los elementos que pertenezcan a la misma línea de presión para obtener la caída total de esta, en el inicio del proceso, solo actúa el cilindro de pre compresión, por lo que el flujo pasaría por las válvulas limitadoras de presión ,las válvulas Check, la válvula direccional y el filtro, ocasionando pérdidas de presión de 15.3 bar. El momento más crítico se produce , cuando el cilindro C avanza hacia la segunda posición, mientras los cilindros A y B retroceden, el flujo pasa atreves de ambas válvulas limitadoras de presión, la válvula Check, el filtro ,tres válvulas direccionales y la válvula reguladora de caudal', por lo que las pérdidas de presión ascienden a 31 bar.

5.16 Diagrama espacio tiempo

Para poder calcular las velocidades de desplazamiento de los actuadores, es imprescindible conocer aproximadamente en que parte de la carrera del cilindro A, el esfuerzo de compactación sobrepasa los 35 bar de presión que otorga el sistema, considerando las perdidas. Por ensayos anteriormente realizados sobre el material, se conoce la densidad

obtenida al aplicar 35 bar de presión sobre el material, la cual es de 572 kg/m^3 , por lo que, relacionando este dato con las dimensiones de la briqueta pre comprimida, la presión del sistema sobrepasa la presión anteriormente indicada a los 507 mm de carrera, 37 mm antes de completar la carrera total.

De manera similar, al aplicar 35 bar sobre el cilindro B, este ejerce una fuerza de 281 kN sobre el material, lo que se traduce en un esfuerzo de 31.41 Mpa. Utilizando la ecuación 5-9, obtenida del gráfico correspondiente a los ensayos de compactación previamente realizados (ANEXO A), donde σ corresponde al esfuerzo en Mpa y ρ a la densidad en kg/m^3 . Con esto se obtiene que la densidad es de 904 kg/m^3 , por lo que relacionando este dato con las dimensiones y peso de la briqueta, obtenemos que el cilindro B sobrepasa la presión al recorrer 166 mm, 11 mm antes de completar la carrera.

$$\sigma = 0.039 * e^{0.007\rho}$$

Ecuación 5-9

Considerando que se suman los caudales de ambas bombas cuando el sistema trabaja a 50 bar y solo la bomba de alta cuando se trabaja a 250 bar, se confecciona el diagrama de espacio tiempo que se muestra en la figura 5-26. A este diagrama se le deben realizar las modificaciones pertinentes una vez reguladas las velocidades de los cilindros C y D, para así evitar velocidades excesivas que puedan dañar las piezas o componentes. Las pérdidas de presión a lo largo del ciclo de Briqueteado se muestran en la figura 5-27

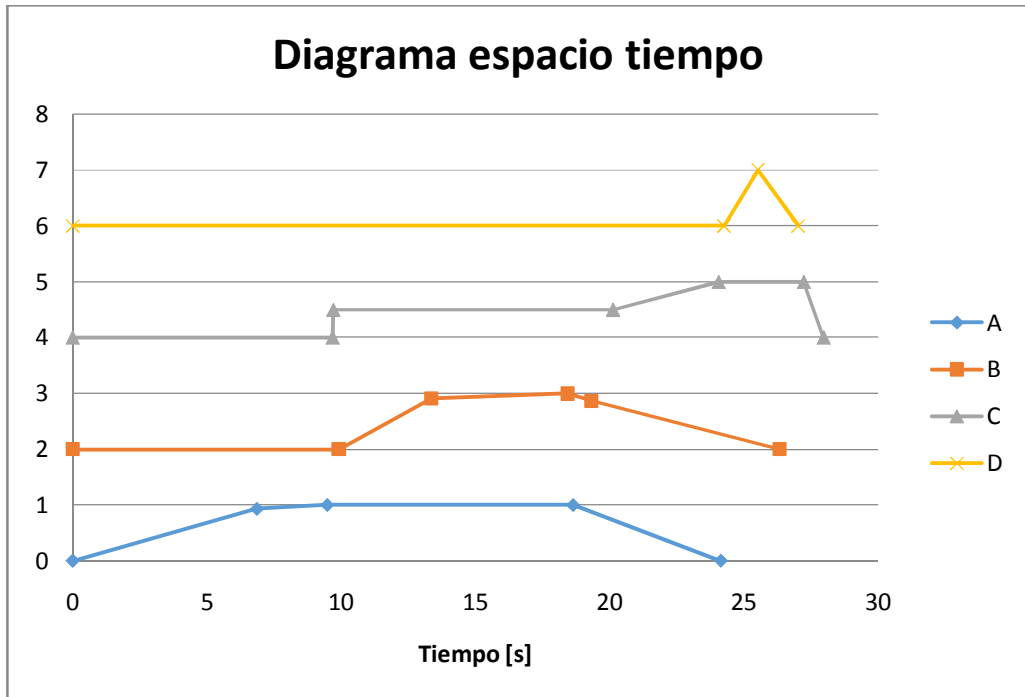


Figura 5-26, Diagrama espacio tiempo

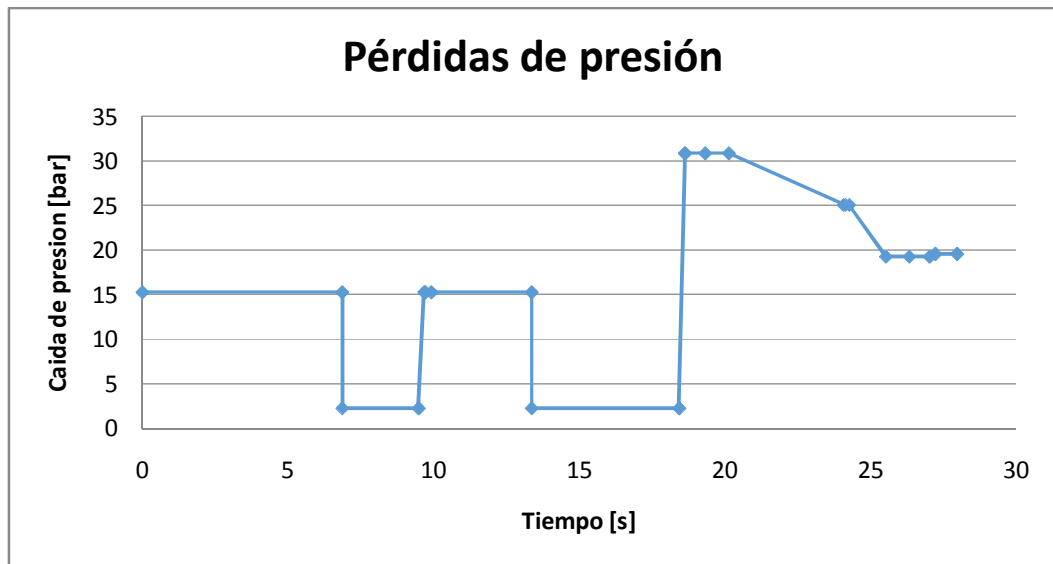


Figura 5-27, Pérdidas de presión

5.17 Selección de bomba y potencia de accionamiento.

5.17.1 Tipos de bombas Oleo hidráulicas

Existen múltiples opciones a las que se puede optar para alimentar un sistema oleo hidráulico, tales como bombas de engranajes, paletas, tornillo, pistón, entre otras. Para seleccionar el tipo de bomba se utilizó la figura 5-28, donde 1 significa muy bien (muy grande) ,2 representa bien (grande), 3 mediano y 4 bajo. Por otro lado, el tipo de bomba necesariamente debe adecuarse a los parámetros de presión y caudal requeridos por el sistema, los cuales son 60 lt/min de caudal y 50 Bar para la bomba de baja presión, y 10 lt/min hasta 250 bar para la bomba de alta presión.

Criterio	Tipo									
	AZP	IZP	ZRP	SSP	FZPE	FZPD	RKPI	RKPA	AKPSA	AKPSS
Rango útil de rotaciones	1	2	2	2	3	3	2	2	2	2
Rango útil de presión	2	2	3	3	3	3	1	1	1	1
Rango de viscosidad	1	2	3	1	3	3	1	1	1	1
Nivel máx. de ruido	4	1	2	1	2	2	3	3	3	3
Vida útil	3	2	2	1	1	1	2	2	2	2
Precio	1	2	2	3	2	2	3	3	3	3
Bomba de engranajes a dentado exterior	= AZP									
Bomba de engranajes a dentado interior	= IZP									
Bomba a rueda planetaria	= ZRP									
Bomba de husillos helicoidales	= SSP									
Bomba de paletas, una carrera	= FZPE									
Bomba de paletas, dos carreras	= FZPD									
Bomba de pistones radiales con apoyo interno	= RKPI									
Bomba de pistones radiales con apoyo externo	= RKPA									
Bomba de pistones axiales con eje inclinado	= AKPSA									
Bomba de pistones axiales con placa inclinada	= AKPSS									

Cuadro 1: Calificaciones de bombas hidráulicas

Figura 5-28,Tabla comparativa bombas oleo hidráulicas

Las bombas de engranajes, presenta las mejores prestaciones para este tipo de maquinaria, debido a su bajo costo y considerando que el nivel de ruido que producen no es relevante

para el funcionamiento de la maquina, ya que está destinada para trabajar en un ambiente industrial.

5.17.2 Selección de bombas

Para cubrir los requerimientos del sistema, se han seleccionado las siguientes bombas del catalogo de bombas de engranajes ALP, de la marca Italiana Marzocchi. Para la bomba de alta presión, se selecciona una bomba del tipo ALP2-D10, con una cilindrada de $7 \text{ cm}^3/\text{rev}$, la cual a una velocidad de giro de 1500 rpm, es capaz de suministrar un caudal de 10 lt/min. A continuación se muestran las curvas características de la bomba.

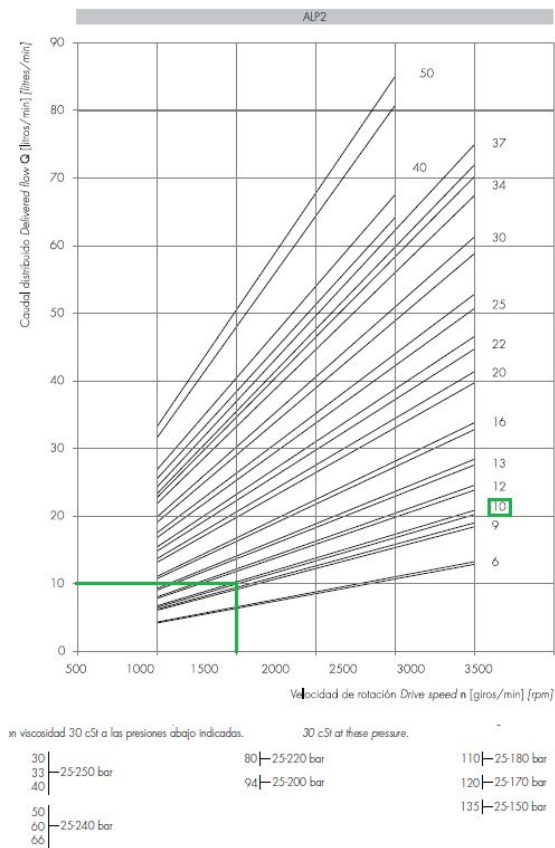


Figura 5-29, Curvas bombas ALP2

En la figura 5-30, se puede ver la potencia y el torque requeridos por la bomba para funcionar a determinadas presiones. Como se puede apreciar en las líneas de color verde se señala la potencia que requiere la bomba a cada presión, al trabajar a 250 bar, la bomba consume cerca de 4.75 kw (6.37 HP), mientras que cuando opera a 50 bar, solo consume 1 kw (1.34 HP) de potencia. Las líneas de color rojo representan el torque que debe ejercer el motor sobre la bomba, el cual es de 30Nm para el caso de 250 bar y 12 Nm aproximadamente para el caso en que la bomba funciona a 50bar.

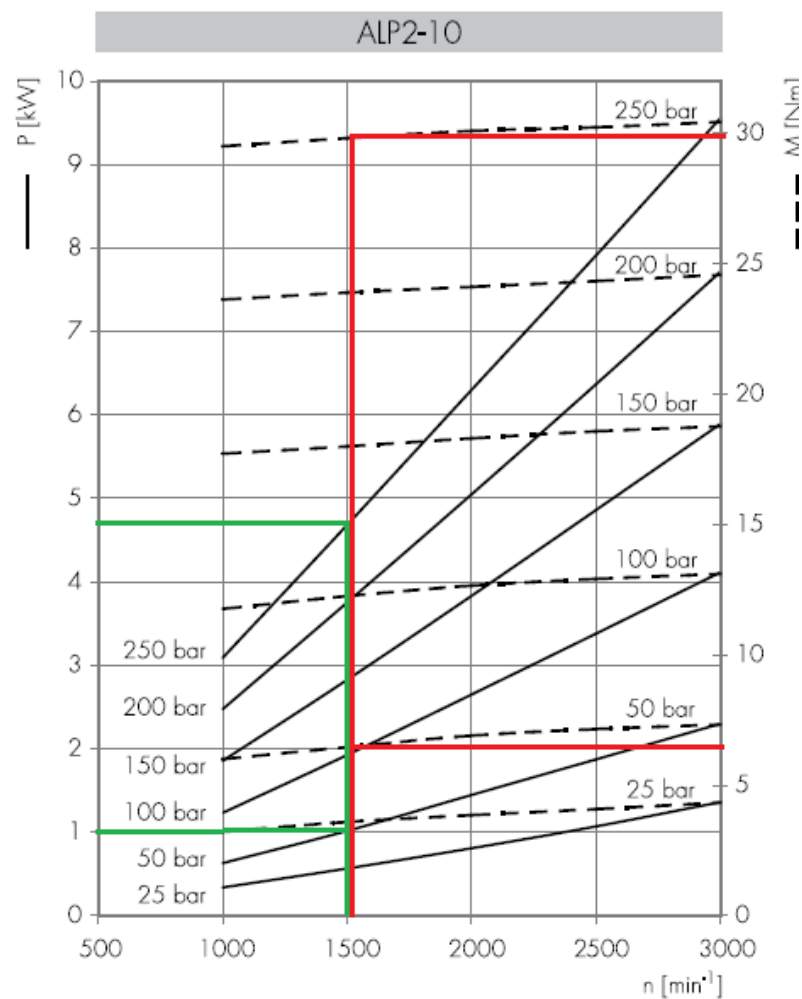


Figura 5-30 Potencia bomba alta presión

La bomba de baja presión, seleccionada desde el mismo catalogo, es la ALP3-D60, la cual posee una cilindrada de $39 \text{ cm}^3/\text{rev}$, en la figura 5-31 se puede apreciar la curva característica de la bomba, la cual debe funcionar a 50 bar, la bomba es capaz de suministrar al sistema 58.5 lt/min a 1500 rpm

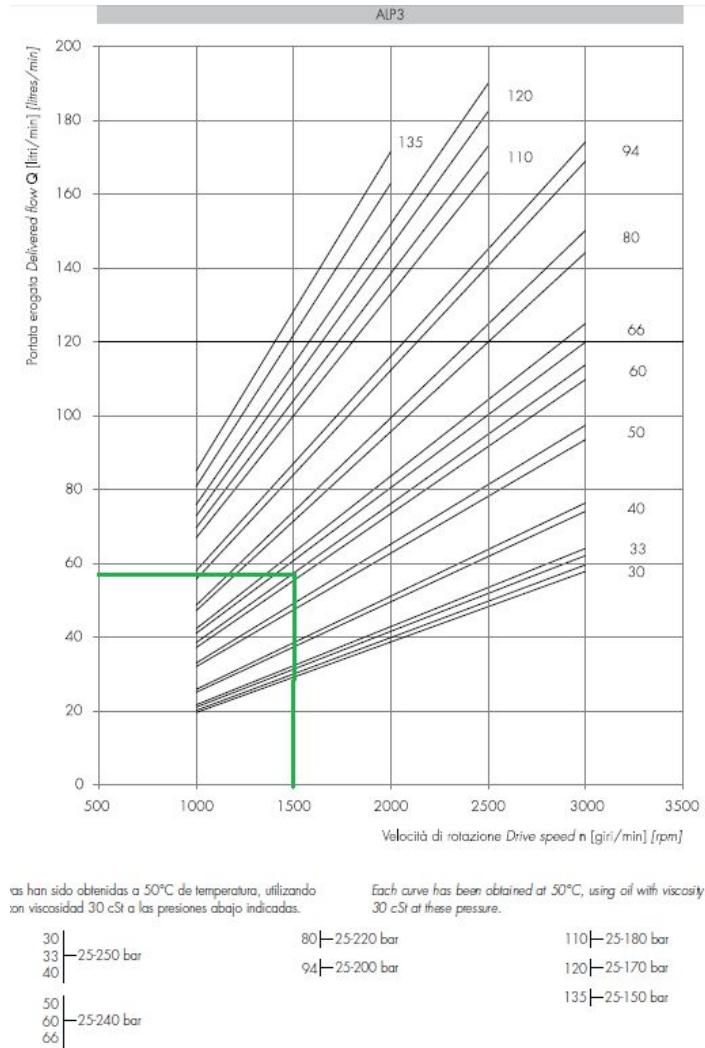


Figura 5-31, Curvas bomba ALP3

De manera análoga a la bomba de alta presión, mediante la figura 5-32, se puede determinar la potencia y torque, en este caso, la bomba a 50 bar consume una potencia de aproximadamente 5 kW (6.71 HP), mientras que el torque ejercido es cercano a los 32 Nm.

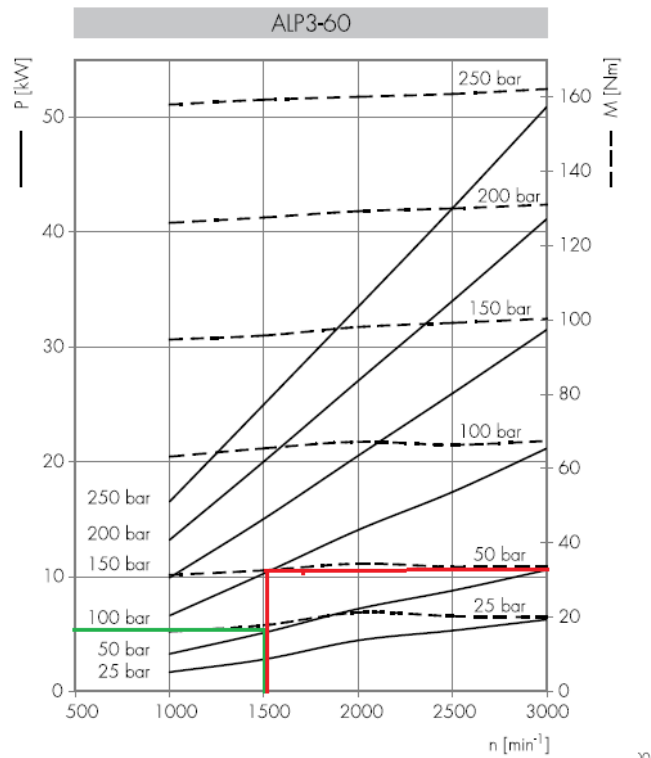


Figura 5-32, Potencia bomba baja presión

Para alimentar estas las bombas de alta y baja presión de manera simultánea, a 50 bar, se requieren 6 kw de potencia y un torque de 44 Nm, mientras que para alimentar la bomba de alta presión a 250 bar, se requieren 4.75 kw de potencia y un torque de 30 Nm.

5.17.3 Selección de motor

El motor seleccionado es un motor marca SIEMENS modelo 1LE 002-1CB2, como el que se muestra en la figura 5-33. Este motor tiene una potencia nominal de 7.5 kW (10 Hp) a una frecuencia de 50 Hz, al poseer cuatro polos, gira a una velocidad de 1500 rpm, por lo que no sería necesario utilizar un reductor de velocidad. El torque capaz de ejercer es de 49 Nm y posee un grado de protección IP 55, por lo que se encuentra protegido contra el polvo y chorros de agua.

Motores de baja tensión Tipos y materiales



1LE1/1LA7*
Motores estándares en aleación ligera de aluminio

Tamaños constructivos	56 M a 160 L
Potencias (4 polos)	0,06 a 15 kW
Clase F	Utilización en clase B
Clase de eficiencia	EFF2
Apropiado para funcionamiento con convertidor	Tiempos de rampa $t_s > 0,1 \mu s$ con $U \leq 500 V$
Ejecuciones más habituales (con y sin sondas PTC) en almacén. Consúltese la gama <i>general line</i> en la lista de precios en vigor.	
Variantes en estos tamaños (consultar catálogo general):	
• Serie 1LE1/1LA9 de aluminio con clase de eficiencia EFF1	
• Serie 1LE1/1LA9 de aluminio con potencia aumentada (carcasa reducida) con clases de eficiencia EFF1 y EFF2	
• Serie 1LA6 de fundición con clase de eficiencia EFF2	
• Serie 1LA7 de aluminio para alimentación con variador a 690V	
• Series 1LA7/1LA9 con clase de eficiencia EFF2/EFF1 para zonas con peligro de explosión (zonas 2, 21 y 22)	

Figura 5-33, Motor eléctrico

5.17.4 Transmisión de potencia

La transmisión de potencia entre el eje y las bombas, según el fabricante de estas, se debe realizar mediante un machón de acoplamiento flexible o elástico, el cual pueda absorber los desalineamientos. El eje que conecta ambas bombas es suministrado por el fabricante, por lo que solo es necesario seleccionar el acoplamiento entre la bomba de baja presión y el motor eléctrico.

Uno de los parámetros más importantes a la hora de elegir un acoplamiento elástico, es el par nominal a transmitir (C), el cual es función de la potencia y las revoluciones de operación, como se muestra en la ecuación 5-10, donde P representa la potencia en kW, N representa el número de revoluciones por minuto y C el par nominal en Nm.

$$C = \frac{9735 * P}{N}$$

Ecuación 5-10

La potencia corresponde a la potencia máxima de la maquina impulsora, para esta caso especifico 7.5 kw, mientras que el numero de revoluciones es de 1500 por minuto, por lo que el par nominal seria de 48.67 Nm

Otro de los factores fundamentales para elegir correctamente un acoplamiento, es el coeficiente de seguridad (k), el cual es el producto de los siguientes tres factores, k1, k2 y k3. Para determinar estos factores se utilizara como referencia el catalogo de acoplamientos elásticos de la empresa PAULSTRA. El par nominal de acoplamiento viene dado por la multiplicación del par nominal de transmisión por el factor de seguridad.

El factor k1 está relacionado a las irregularidades producidas por los diferentes tipos de maquinas motrices y receptoras, en la figura 5-34, extraída del catalogo anteriormente mencionado, se puede apreciar que para un motor eléctrico conectado a una bomba de engranajes(2), el valor de k1 es de 1.2.

Máquina motriz			Máquina receptora	Ejemplos de máquinas receptoras
Motor electr. y turbina	Máq. de piston			
	4 a 6 cilind.	1 a 3 cilind.		
1	1,2	1,4	1 Marcha regular Inercia muy pequeña	•Eje de reenvío •Generador de alumbrado •Línea de ejes •Bombas centrífugas •Ventilador centrifugo ...
1,2	1,4	1,7	2 Marcha irregular Inercia pequeña	•Agitador de líquidos •Cinta transportadora •Ascensor •Máquinas herramientas rotativas para madera y metales •Máquinas textiles ligeras •Plegadoras •Bombas de engranajes •Bombas de paletas •Ventiladores ...
1,4	1,7	2	3 Marcha irregular Inercia media	•Agitador de líquidos cargados •Compresor rotativo •Transportadora de rodillos •Desmenuzadoras •Hornos rotativos •Máquinas para maderas (desbastadora, sierra de cinta ...) •Máquinas para imprimir •Mezclador •Montacargas •Punzonadora •Bomba centrífuga para líquidos cargados ...
1,7	2	2,4	4 Marcha irregular Inercia media De golpes medios	•Hormigonera •Molino de percusión •Molino de bolas •Compresor de pistón con volante de inercia •Transportador de cadena •Grúa •Laminador de metales ligeros •Máquinas de molino harinero •Martillo pilón •Telar •Bomba de pistón con volante de inercia •Cepilladora de metales •Tornos elevadores •Ventiladores de mina ...
2	2,4	2,8	5 Marcha irregular Inercia importante De golpes importantes	•Molino de martillos •Calandra (de caucho, textil ...) •Compresor de pistón con pequeño volante de inercia •Desfibadora de madera •Excavadora •Laminador •Bomba de pistón con pequeño volante de inercia •Prensa forjadora •Prensa para fabricación de papel •Tamiz vibrante ...
2,4	2,8	3,3	6 Marcha irregular Inercia muy importante De golpes muy importantes	•Compresor de pistón sin volante de inercia •Triturador •Generador de soldadura •Laminador pesado •Prensa de mam-postería •Bomba de pistón sin volante de inercia ...

Figura 5-34, Factor k1

El factor k_2 hace alusión al número de arranques por unidad de tiempo que posee la máquina, los valores depende del factor k_1 obtenido anteriormente, y se encuentran tabulados en la figura 5-35. Como el sistema hidráulico está diseñado para arrancar y mantenerse en funcionamiento a pesar de la entrada y salida de material, se seleccionara un solo arranque por hora, por lo que el factor k_2 sería de 1.

Según máquina motriz - máquina receptora	NUMERO DE ARRANQUES POR HORA				
	1	10	30	60	120
Ver cuadro K_1	1	10	30	60	120
①	1	1,2	1,3	1,5	1,6
② ③	1	1,1	1,2	1,3	1,4
④ ⑤ ⑥	1	1,05	1,1	1,2	1,2

Figura 5-35, Factor k_2

El último factor, k_3 , está relacionado con las horas de funcionamiento diario al que está sometido el acoplamiento. debido a que en este caso particular, no se ha profundizado en la estimación de la temperatura que adquiere el fluido en función del tiempo, por lo que no se puede estimar la duración máxima que la máquina puede estar en funcionamiento continuo, por lo que se asumirá el valor más elevado para k_3 , ósea 1.2.

Número de horas de funcionamiento diario	0 - 2	2 - 8	8 - 16	16 - 24
Coficiente K_3	0,9	1	1,1	1,2

Figura 5-36, Factor k_3

Considerando los valores obtenidos para k_1 , k_2 y k_3 , el valor de k es de 1.44, al multiplicar este factor por el par nominal, nos da un par nominal de acoplamiento de 70 Nm.

El diámetro de eje del motor eléctrico es de 38 mm y 80 mm de largo, mientras que el de la bomba es de 19 mm con 33 mm de largo. Para esto se selecciona un machón tipo dentado de

la marca GUARDIAN, el cual aguanta un torque nominal de 89 Nm, y acepta un diámetro máximo de 42 mm. Este tipo de machos es muy común para bombas oleo hidráulicas y facilita el montaje y desmontaje de estas.



Figura 5-37, Machón de acoplamiento

5.18 Sistema de alimentación

5.18.1 Tipos de alimentadores

En el mercado actual existen diversos tipos de alimentadores, los cuales se suelen posicionar bajo silos o tolvas. El mecanismo a utilizar dependerá mucho de las propiedades del material a descargar y los requerimientos del proceso. Entre los sistemas más utilizados se encuentran los siguientes:

Alimentador de correa:

Este tipo de alimentadores se componen básicamente de una correa o cinta transportadora compuesta por una polea de cabeza, encargada de ejercer la tracción en la cinta, esta polea va conectada a un moto reductor. Por otro lado se encuentra la polea tensora o polea de cola,

rodillos de carga y de retorno, los cuales se encargan de sostener el peso de la carga. En la figura 5-38 se representa un esquema del funcionamiento de estos.

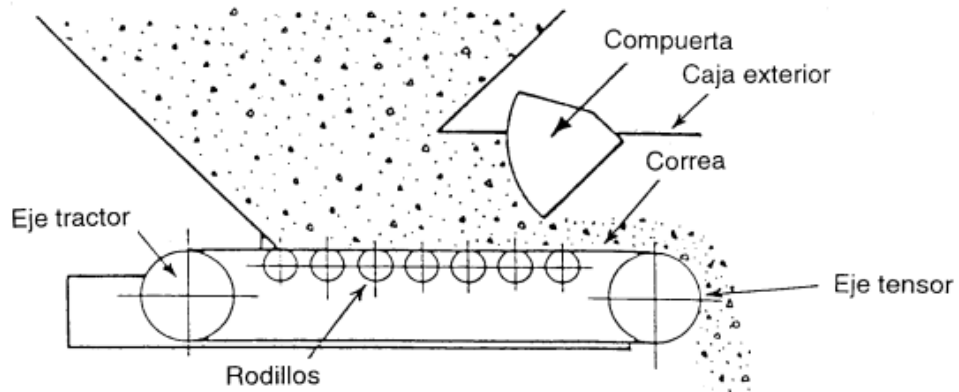


Figura 5-38, Alimentador de correa

Alimentadores Vibratorios.

Consiste en una mesa o plancha montada sobre resortes, para producir la vibración generalmente se utiliza un eje cardan, el alimentador se acciona de manera tal que ocasiona que el material se desplace de arriba hacia abajo sobre la superficie de la mesa. El sistema se encuentra representado en la figura 5-39

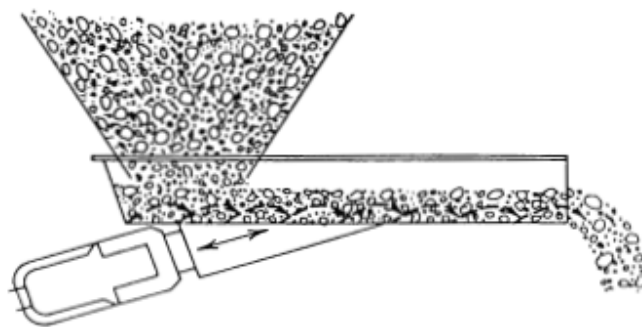


Figura 5-39, Alimentador vibratorio

Alimentador de válvula rotativa

Llamadas comúnmente alimentadores de paletas rotativas, generalmente se presentan en dos configuraciones, abiertas o cerradas, las primeras son utilizadas para materiales granulados y la segunda es utilizada para materiales que pueden causar problemas con la emanación de material particulado. El funcionamiento se representa en la figura 5-40.

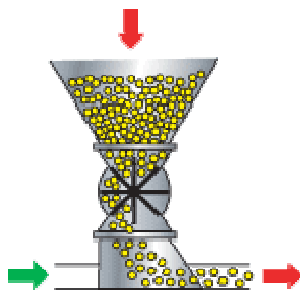


Figura 5-40, Alimentador de paletas rotativas

Alimentador de tornillo

Consisten básicamente en un tornillo sin fin montado sobre un eje central, el cual puede presentarse en distintos diseños, variando su paso, filete o el diámetro del eje, según sean los

requerimientos del material y la tolva. El diseño más simple, es el tornillo sin fin es de paso constante y diámetro de eje constante se suele llamar transportador de tornillo. El esquema representativo se muestra en la figura 5-41

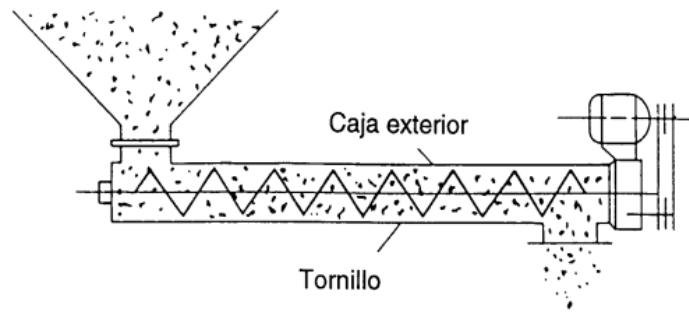


Figura 5-41, Alimentador de tornillo

5.18.2 Diferencias comparativas

Para comparar los distintos tipos de alimentador se utilizara la tabla 5.6, extraída del documento "How to Design Efficient and Reliable Feeders for Bulk Solids" elaborada por John W. Carson para la empresa Jenike & Johanson.

Variable	Tipo de alimentador			
	Tornillo	Correa	Válvula rotativa	Vibrador
Tamaño máximo de partícula	1/3 del paso del tornillo	6 pulgadas	1/2 pulgada	12 pulgadas
Materiales fácilmente degradables	Mala	Buena	Mala	buena
Materiales secos/polvoriento	Buena	muy mala	muy buena	Mala
Material sensible o delicado	muy mala	Buena	muy mala	Mala

Control de polvo	Buena	Mala	Buena	buenas (si es cerrado)
Facilidad de limpieza	Mala	Buena	muy mala	Buena
Velocidad	2-4 RPM	5-100 ft/min	2-40 RPM	0-80 ft/min
Máxima capacidad (Ton/h)	750	3000	500	500
Tipo de abertura de carga	Cuadrada rectangular o circular	Cuadrada rectangular o circular	Redonda o cuadrada	Redonda o cuadrada

Tabla 5.6, Cuadro comparativo alimentadores

Considerando que el sistema más utilizado para la alimentación de máquinas briqueteadoras es mediante un tornillo sin fin, ya que considerando las características del aserrín, el cual es un material fino el cual puede desprender polvo, también es poco abrasivo, y con una baja densidad aparente, por lo que los requerimientos de flujo necesarios para el proceso de briqueteado ajustan fácilmente con los límites a los cuales puede operar un alimentador de tornillo, por lo que se optara por este dispositivo para la alimentación.

5.18.3 Alimentadores de tornillo

Existen distintas configuraciones para los tornillos sin fin, estas dependerán del tipo de tolva y la naturaleza del proceso. La gran diferencia entre transportadores y alimentadores de tornillo es la sección activa de descarga de material, ya que en el caso del transportador al tener un paso y diámetro constantes, este solo recibe material en el primer paso del tornillo, la cual puede coincidir con solo una pequeña porción de la abertura de descarga de la tolva, mientras que en el caso de los alimentadores, estos se diseñan para que la descarga sea lo más uniforme posible a lo largo de la abertura de la tolva, como se puede ver en la figura 5-42. En esta sección se dará una breve explicación de los tornillos más utilizados.

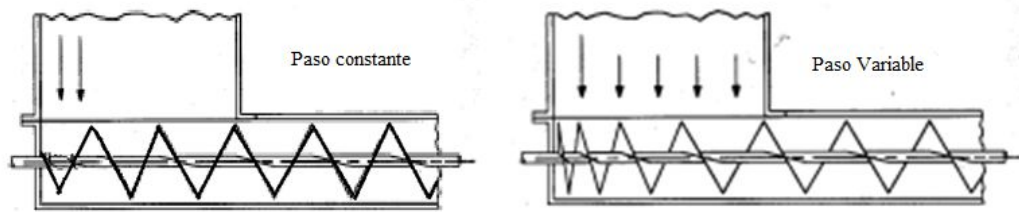


Figura 5-42, Diferencia paso tornillos

Tornillo con filete variable.

Este tipo de tornillo se caracteriza por tener un tornillo con forma trapecoidal (figura 5-43), aunque logra descargar el material de manera uniforme desde la tolva, no es recomendable para todo tipo de materiales por que tiende a formar arcos cohesivos, también presenta una geometría más complicada de mecanizar que el tornillo convencional.

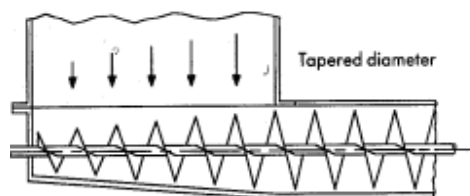


Figura 5-43, Tornillo filete variable

Tornillo con eje trapecoidal.

Como el nombre lo dice, este tornillo posee un eje trapecoidal (figura 5-44), por lo que generalmente es necesario un gran torque de arranque para sacarlo de inercia, al igual que la configuración anterior, este tipo de tornillos es muy difícil y costoso de manufacturar.

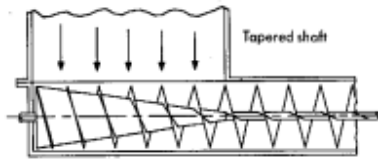


Figura 5-44, Tornillo eje trapezoidal

Tornillo de paso variable.

Usualmente la configuración más utilizada para lograr una descarga uniforme a lo largo de la tolva (figura 5-45), el paso mínimo debe ser mayor al radio del tornillo y el paso máximo debe ser aproximadamente igual al diámetro del tornillo.

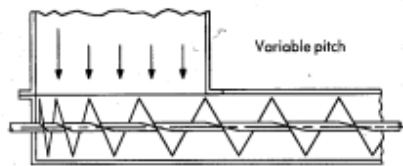


Figura 5-45, Tornillo paso variable

Tornillo de paso constante.

Comúnmente llamado transportador de tornillo (**¡Error! No se encuentra el origen de la referencia.** 5-46), es la solución más económica, generalmente el paso es igual al diámetro del tornillo. Cabe mencionar que actualmente existen muchos tipos de tornillos de paso constante, los cuales varían de acuerdo al material a utilizar, pero esto no se ahondará en este estudio debido a la simplicidad del aserrín como material a transportar.

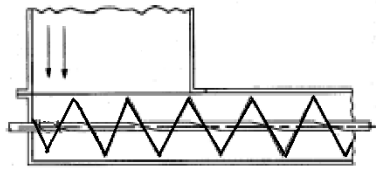


Figura 5-46, Tornillo paso constante

Tornillos mixtos.

Es común que se utilizan combinaciones de los modelos anteriores para resolver problemas de manera más económica y eficiente, como el que se muestra en la figura 5-47

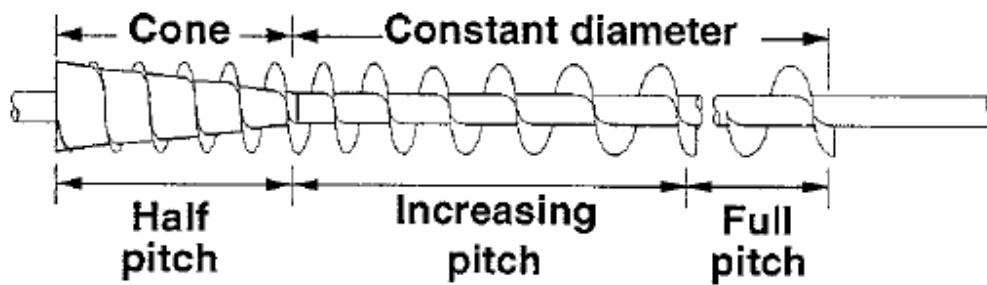
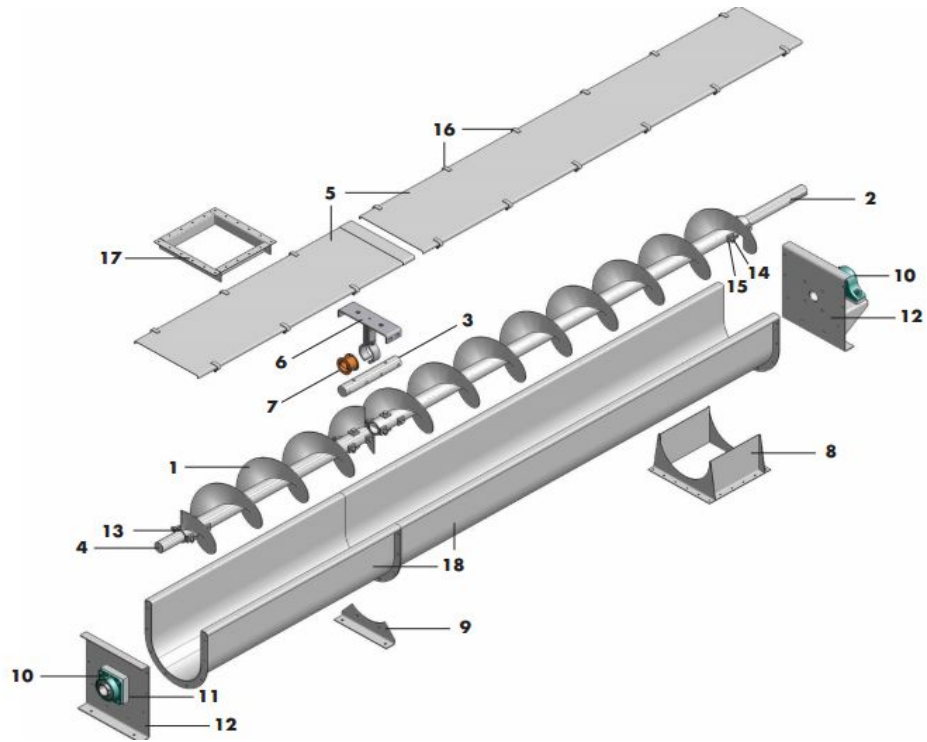


Figura 5-47, Tornillo mixto

5.18.4 Partes del Alimentador/transportador de tornillo.

Los componentes de un alimentador de tornillo y un transportador de tornillo son muy parecidos, estos se encuentra en la tabla 5.8



Listado de partes			
N°	Descripción	N°	Descripción
1	Tornillo	10	Rodamiento final
2	Entrada de potencia	11	Sello de eje
3	Acople eje	12	Tapa posterior
4	Salida de eje	13	Buje
5	Cubierta	14	Pernos
6	Soporte colgante	15	Pernos
7	Rodamiento colgante	16	Ganchos Cubierta
8	Descarga	17	Entrada de material
9	Pie soporte	18	Garganta

Tabla 5.7, Elementos transportador de tornillo

Algunas variaciones comunes que se pueden apreciar entre el transportador y el alimentador son la entrada de material (17), la cual es de mayores dimensiones en el alimentador, la forma del tornillo y el conjunto formado por el soporte colgante (6) y el rodamiento (7), los

cuales comúnmente no se utilizan en alimentadores o trasportadores que operan sobre el 95% de su capacidad, ya que estos elementos dificultan el libre paso del material, provocando estancamiento, averías y fallos.

5.18.5 Selección de componentes

Los principales cálculos necesarios para dimensionar un transportador de tornillo son la capacidad a trasportar y la velocidad con la que se requiere esto. Los parámetros del sistema especifica el tiempo de descarga del material en 5 segundos, durante este tiempo se deben descargar los 1.344 kg necesarios para confeccionar la briqueta, por lo que el flujo másico por ciclo es de 0.2688 kg/s, equivalente a 0.96 Ton/h. Utilizando la relación entre masa, densidad y volumen, (utilizando la menor densidad aparente), el flujo volumétrico de material corresponde a $6 \text{ m}^3/\text{h}$ (esto considerando una operación continua del alimentador, lo cual no es el caso específico). Para realizar los cálculos correspondientes, se utilizara como texto guía el catalogo "Screw Conveyor Components & Design", versión 2.20 de la empresa CONVEYORENG.

5.18.5.1 *Calculo de revoluciones*

Aplicando la fórmula propuesta en el catálogo, (ecuación 5-11), donde N es el número de revoluciones. La capacidad requerida es de 1.54 ton/h, considerando la densidad aparente inferior (160 kg/m^3), la capacidad volumétrica es $213.58 \text{ ft}^3/\text{h}$, la capacidad por revolución se extraerá de la tabla 5.9

$$N = \frac{\text{Capacidad requerida } \left(\frac{\text{ft}^3}{\text{h}}\right)}{\text{Capacidad por RPM } \left(\frac{\text{ft}^3}{\text{h}}\right)}$$

Ecuación 5-11

PERCENT TROUGH LOAD	SCREW DIAMETER	MAXIMUM RECOMMENDED RPM	CAPACITY (FT ³ /HR) at MAX RPM	CAPACITY (FT ³ /HR) per RPM
 <p>95%</p> <p>(Shown with shroud mtd. above screw) see p.92 for more on Feeder Screws</p>	6	300*	1,415	4.7
	9	275*	4,832	17.6
	12	255*	10,760	42.0
	14	240*	16,342	68.0
	16	220*	22,280	101.0
	18	210*	30,529	145.0
	20	190*	37,385	196.0
	24	170*	58,858	346.0
	30	115*	76,519	665.0
	36	70*	79,754	1,139.0

Tabla 5.8. Capacidad por revolución

Al utilizar un diámetro correspondiente a 6 pulgadas, obteniendo una velocidad aproximada de 45,5 rpm. El tamaño máximo de partícula para un tornillo de 6 pulgadas de diámetro se especifica en según el proveedor en 3/4 de pulgada, por lo que el material se encontraría en óptimas condiciones de operación como se puede corroborar con la distribución granulométrica del ANEXO A

5.18.5.2 Cálculo de potencia

Para calcular la potencia requerida para operar el transportador, primero se descompondrá dicha potencia en dos, potencia requerida para vencer la fricción de los componentes del transportador (ecuación 5-12) y potencia requerida para transportar el material (ecuación 5-13)

$$HP_f = (L * N * F_d * F_b) * 10^{-6}$$

Ecuación 5-12

$$HP_m = C * L * D * F_m * F_t * F_p * 10^{-6}$$

Ecuación 5-13

$$HP = \frac{(HP_f + HP_m) * F_o}{e}$$

Ecuación 5-14

Donde:

- L= Largo total del transportador en pies
- N= Revoluciones (RPM)
- C= Capacidad requerida en pies cúbicos por hora
- D= Densidad aparente del material en libras por pie cubico, para este caso valor más alto del rango de densidades.
- F_d =Factor de diámetro
- F_b =Factor de rodamiento colgante
- F_m =Factor de material
- F_f =Factor de filete
- F_p =Factor de paletas
- F_o =Factor de sobrecarga
- e= Eficiencia

Para el cálculo, se considerara un tornillo de metro y medio de largo, un diámetro de 6 pulgadas y para este caso particular, no se utilizara rodamiento colgante o soporte, tampoco se utilizaran paletas especiales, esto debido a la simplicidad del material a trabajar, por lo que estos factores se consideraran nulos. El factor de diámetro (F_d), se encuentra en la tabla 5.10, el factor de material (F_m), correspondiente al aserrín (Sawdust en la traducción al Ingles), se encuentra en la tabla 5.11, el factor de filete (F_f) se considerara como el tipo estándar por lo que se le otorga el valor de 1 (tabla 5.12).

SCREW DIA.	F _d
6	18
9	31
10	37
12	55
14	78
16	106
18	135
20	165

Tabla 5.9, Factor de diámetro

MATERIAL	MAT'L CLASS CODE	CONV LOADING	COMPONENT GROUP	WEIGHT (LBS/CF)		MAT'L FACTOR F _M	VERT.*
				MIN	MAX		
Saffron (see Safflower)							
Sal Ammoniac (Ammonium Chloride)	49A45FRS	30A	1A,1B,1C	45	52	0.7	?
Salicylic Acid	29B37U	15	3D	29	29	0.6	
Salt Cake, Dry Coarse (Sodium Sulfate)	85B36TU	30B	3D	85	85	2.1	
Salt Cake, Dry Pulverized (Sodium Sulfate)	75B36TU	30B	3D	65	85	1.7	
Salt, Dry Coarse (Sodium Chloride)	53C36TU	30B	3D	45	60	1.0	x
Salt, Dry Fine (Sodium Chloride)	75B36TU	30B	3D	70	80	1.7	x
Salt peter (see Potassium Nitrate)							
Sand (Resin Coated) Silica	104B27	15	3D	104	104	2.0	
Sand (Resin Coated) Zircon	115A27	15	3D	115	115	2.3	
Sand Dry Bank (Damp)	120B47	15	3D	110	130	2.8	
Sand Dry Bank (Dry)	100B37	15	3D	90	110	1.7	
Sand Dry Silica	95B27	15	3D	90	100	2.0	
Sand Foundry (Shake Out)	95D37Z	15	3D	90	100	2.6	
Sawdust, Dry	12B45UX	30A	1A,1B,1C	10	13	0.7	

Tabla 5.10, propiedades material

TYPE OF FLIGHTING	CONVEYOR LOADING			
	15%	30%	45%	95%
Standard	1.00	1.00	1.00	1.00
Cut	1.10	1.15	1.20	1.30
Cut & Folded	NR	1.50	1.70	2.20
Ribbon	1.05	1.14	1.20	NR

Tabla 5.11, Tipo de filete

Luego de determinar la potencia por fricción y la potencia para transportar el material, se procede a calcular la potencia total, a través de la ecuación 5-14, en donde el factor de sobrecarga se aproxima utilizando la ecuación representada en la figura 5-48, dando como

resultado un factor de sobrecarga de 4.5875. La eficiencia mecánica, dependerá del tipo de montaje que se realice, por lo que se consideró un montaje típico, con un moto reductor montado en línea con el eje del tornillo, como se puede apreciar en la tabla 5.13

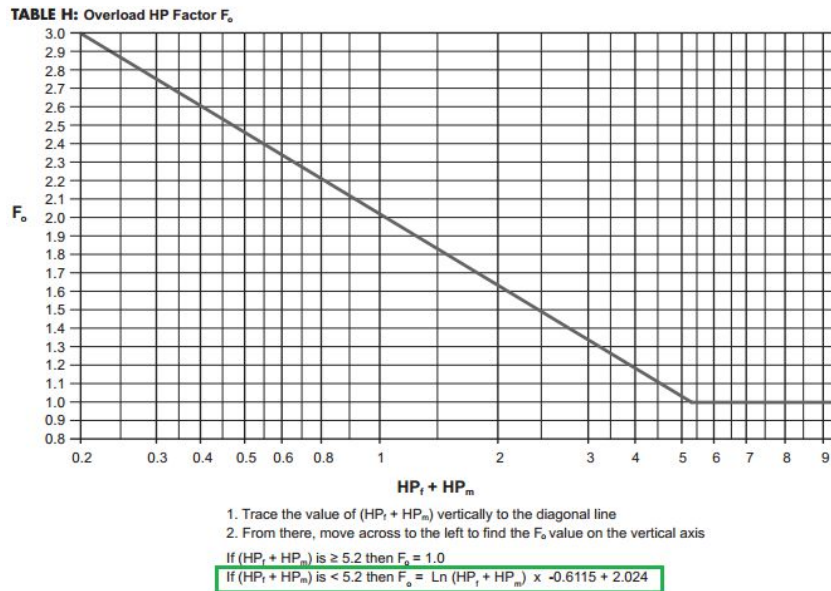


Figura 5-48, Factor de carga

TABLE G1*: Mechanical Efficiencies (typical complete drive arrangements)			APPROX. EFFICIENCY "e"
Direct Coupled In-line Drive		Motor, reducer & conveyor drive shaft are mounted in-line and direct-coupled together. Typically supported by drive base attached to floor or conveyor end plate. Best configuration for longer component life of larger conveyors.	0.94

Tabla 5.12, Eficiencia mecánica

Para calcular el torque en Nm, al que es sometido el eje, se utilizara la ecuación 5-15. Al realizar los cálculos correspondientes, se obtienen los resultados expresados en la tabla 5.14

$$Torque = \frac{HP * 6.93}{N}$$

Ecuación 5-15

Cálculos fundamentales	Valor	Unidad
Revoluciones de operación	46	RPM
Potencia por fricción	0.004	HP
Potencia por material	0.001	HP
Potencia nominal	0.014	HP
Potencia total	0.067	HP
Torque	0.010	Nm

Tabla 5.13, Cálculos realizados

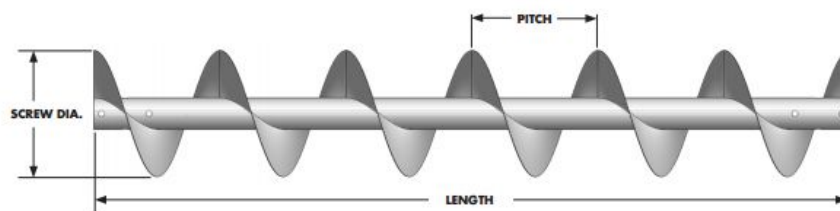
5.18.5.3 Deflexión

Antes de prescindir de los soportes y colgantes para el eje del tornillo, se debe calcular la deflexión a la que se someterá, mediante la ecuación 5-16 se determina la deflexión en pulgadas, donde L significa el largo del transportador en pulgadas, W el peso del tornillo en libras, E corresponde al módulo elástico del acero ($29 \cdot 10^6$ psi) e I representa el momento de inercia del eje, en pulgadas a la cuarta.

$$D = \frac{W * L^3}{76.8 E * I}$$

Ecuación 5-16

El peso del tornillo del tornillo se extrae de la tabla 5.15, mientras que el momento de inercia se selecciona de la tabla 5.16



SCREW DIA	COUPLING SHAFT DIA	SCREW PART #	NOMINAL PIPE SIZE	PIPE OD	FLIGHT THICK.	STD LENGTH	STD LENGTH SCREW WT* (LB)			FLIGHT WT EACH (LB)
							SCH 40	SCH 80	SCH 80 CLAD**	
6	1 ½	6SS309	2	2 ¾	10 ga	9'-10"	62	75	NA	1.1
6	1 ½	6SS312	2	2 ¾	¾	9'-10"	70	83	NA	1.6
6	1 ½	6SS316	2	2 ¾	¼	9'-10"	80	93	NA	2.1

Tabla 5.14, Peso del tornillo

NOMINAL PIPE SIZE	MOMENT OF INERTIA		
	SCHED 40	SCHED 80	SCHED 80 CLAD*
2	0.667	0.868	N/A
2 ½	1.53	1.92	N/A
3	3.02	3.89	6.13
3 ½	4.79	6.28	9.57
4	7.23	9.61	14.3
5	15.2	20.7	30.4
6	28.1	40.5	56.8
8	72.5	106	141
10	161	212	280

Tabla 5.15, Momento de inercia

Los valores obtenidos se muestran en la tabla 5.17, debido a la poca deflexión obtenida, se considera correcto prescindir de los soportes colgantes. Dado que el largo del tornillo es reducido, no se tomaran consideraciones especiales producto de la expansión térmica que este pudiese tener.

Cálculos fundamentales	Valor	Unidad
Módulo de elasticidad acero	29000000	Psi
Momento de inercia	0.776	inch ⁴
Peso del tornillo	28.4	Lb
Deflexión	$2.71 \cdot 10^{-6}$	Pulgadas
Deflexión máxima aceptada	0.125	Pulgadas

Tabla 5.16, Valores obtenidos

5.18.6 Motoreductor

A pesar que el cálculo arroja una potencia de 0.067 Hp (0.05 kw), el fabricante recomienda seleccionar motores con una potencia mucho mayor a la calculada, como ejemplo, en el catalogo del proveedor se recomienda que para una potencia calculada de 3.7 Hp, se utilice un motor de entre 5 Hp y 7.5 Hp . Como elemento motriz se ha seleccionado un motoreductor de ejes coaxiales de la marca VARVEL, cuyo motor proporciona una potencia de 0.75 kw (1Hp),

Debido a que el motor gira a 1395 rpm, y la velocidad de giro que se debe lograr es de 46 rpm, la relación entra la velocidad del motor y la del reductor debe ser de aproximadamente 33. Recurriendo al catalogo de la empresa VERVEL, se selecciona un motorreductor de tamaño MRD22, el cual posee un factor de reducción de 31.5, y entrega una potencia de salida da de 0.71 kw. Utilizando este reductor la velocidad de salida será aproximadamente de 44.2 Rpm, por lo cual el material se debe descargar en un tiempo de aproximadamente 4 segundos.

P ₁ [kW]	i ₁ =	i ₂ =	n ₂ [min ⁻¹]	M ₂ [Nm]	FS	TIPO TYPE	F ₁₂ [N]	MRD [kg]	FRD [kg]	Lub H	Lub V	J _m x 10 ⁻⁴	J ₁ x 10 ⁻⁴
0.75	16,0	16,30	85	81	1,12	MRD12	1620	14,8	5,0	0,50	0,70	17,00	1,0704
		16,29	85	81	2,26	MRD22	3120	17,7	7,9	0,80	1,00	17,00	2,0125
	20,0	20,39	68	101	0,91	MRD12	1360	14,8	5,0	0,50	0,70	17,00	1,0429
		20,67	67	103	1,80	MRD22	3170	17,7	7,9	0,80	1,00	17,00	1,9223
	25,0	26,52	52	132	0,71	MRD12	1380	14,8	5,0	0,50	0,70	17,00	0,6741
		26,73	52	133	1,41	MRD22	2980	17,7	7,9	0,80	1,00	17,00	1,8534
		25,26	55	125	3,15	MRD32	7550	23,1	13,3	1,30	1,80	17,00	2,5126
	31,5	31,48	44	156	1,21	MRD22	2790	17,7	7,9	0,80	1,00	17,00	1,8236
		33,21	42	165	2,43	MRD32	7350	23,1	13,3	1,30	1,80	17,00	2,3727
	40	39,39	35	196	0,71	MRD22	2600	17,8	8,0	0,80	1,00	17,00	1,7903
		40,76	34	202	0,98	MRD23	1750	18,2	8,4	0,80	1,00	17,00	1,7099

Figura 5-49, Motorreductor

5.18.7 Tolva

Considerando que la elección de un transportador de tornillo por sobre un alimentador de tornillo y viceversa, está estrechamente relacionada con las dimensiones de la tolva de descarga, específicamente con la abertura de descarga. En el caso de tener una abertura rectangular (donde un lado es mucho mayor que el otro), esta debiese utilizar un alimentador de tornillo, mientras que en el caso de tener abertura cuadrada o circular, es más económico utilizar un transportador de tornillo con un paso acorde a las dimensiones de esta abertura ya que se requiere un menor costo de inversión. El gran inconveniente que presentan las tolvas con abertura cuadrada o rectangular es que para ofrecer una capacidad considerable necesitan aumentar mucho su altura, como un silo, por lo que requieren mayor cantidad de material para construir, no así las tolvas de cuña o rectangulares. El diseño de la tolva depende entre otras cosas, del tiempo de autonomía que se le requiere dar a la briqueteadora, tecnología disponible para el llenado de esta y del tipo de instalación donde se emplazara la máquina. Es por esto que se resolverá un caso genérico, donde se requiere una tolva con una capacidad suficiente para proporcionar una hora continua de autonomía de la máquina.

5.18.7.1 *Diseño de la tolva de almacenamiento.*

Para el diseño de la tolva, se utilizarán las propiedades de fluidez y granulometría anteriormente vistas, a estas propiedades se le agregarán algunos datos obtenidos de estudios referenciales del material.

Considerando que el flujo de masa de aserrín es igual a la tasa de producción de la máquina, 160 kg/h, utilizando la densidad aparente mínima del aserrín, la capacidad volumétrica de la tolva queda determinada por la ecuación 5-17. Realizando los cálculos respectivos, la capacidad necesaria es de un metro cúbico.

$$\text{Volumen} = \frac{\text{Tasa de producción}}{\text{Densidad aparente}}$$

Ecuación 5-17

El diseño de la tolva es de tipo piramidal, para evitar una altura excesiva de la tolva, y considerando que es un material poco abrasivo, se priorizará un flujo tipo embudo. Debido a que la granulometría del material se puede considerar como muy fina, el ancho de la abertura de descarga corresponde al ancho de la abertura de entrada del transportador de tornillo, la cual es de 177.8 mm (7 pulgadas), mientras el largo de la abertura corresponde a 355.6 mm (14 pulgadas). El material escogido para construir la tolva es un acero ASTM A36, el cual posee un coeficiente de fricción con el aserrín de 0.5 (figura 5-50), esta información se extrajo del documento " Mechanical properties of sawdust and woodchips", desarrollado por Mateusz Stasiak y Marek Molenda para el Institute of Agrophysics, Polish Academy of Sciences, Poland.

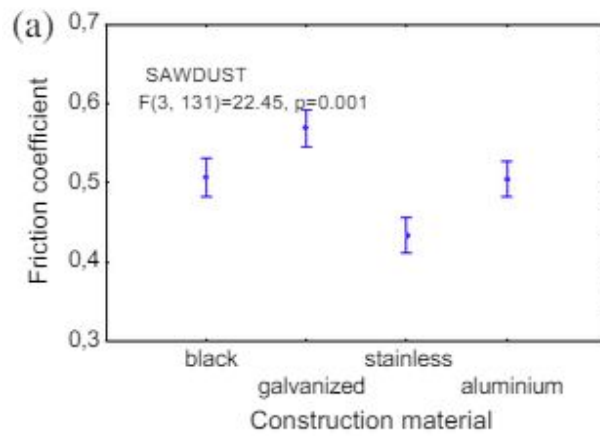


Figura 5-50, Coeficiente de fricción aserrín

Considerando este coeficiente de roce, el ángulo de fricción de pared corresponde a 27 grados, por lo que para un flujo embudo (figura5-51), el ángulo de valle debe ser mayor a 28 grados, para esto se establecieron los ángulos de lado (θ_{side}) y ángulo de termino (θ_{end}), como 45 y 30 grados respectivamente.

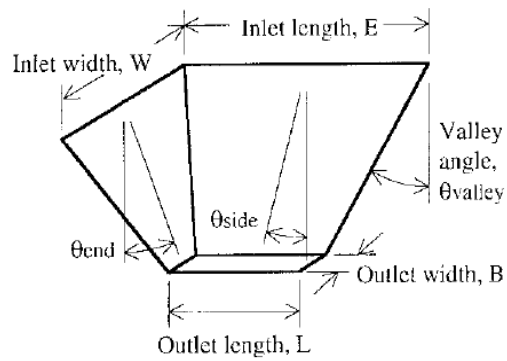


Figura 5-51, Dimensiones tolva

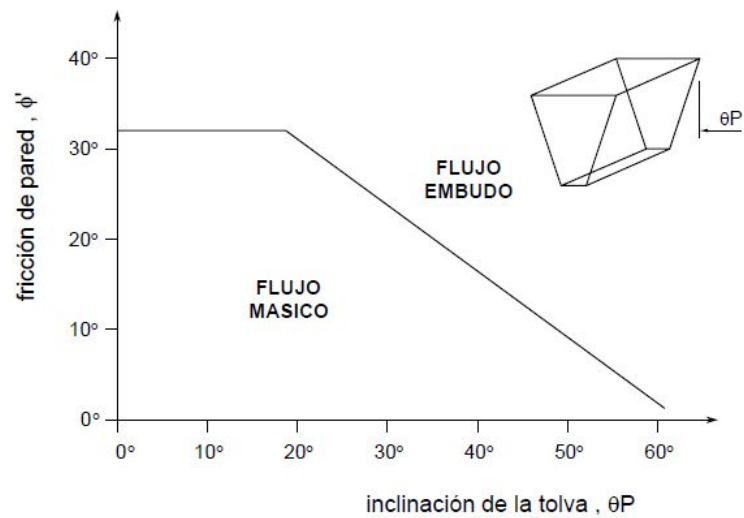


Figura 5-52, Tipos de flujo según ángulo de tolva

Calculando el ángulo de valle (θ_p), según la ecuación 5-18, al resolver la ecuación da por resultado 49.1 grados.

$$\theta_p = \tan^{-1}(\sqrt{\tan(\theta_{side})^2 + \tan(\theta_{end})^2})$$

Ecuación 5-18

Para que la tolva alcance una capacidad de un metro cubico, la abertura de entrada de la tolva debe ser de 1300 mm por 1690 mm (ancho por largo) y la altura de la tolva debe medir 1155 mm.

El esfuerzo máximo sobre la pared lateral, (Costado E, figura 5-52) se calcula según la ecuación de Jenike (ecuación 5-19)

$$\sigma = k * \delta \left(\frac{h_0 - z}{n - 1} + \left(\frac{q}{\delta} - \frac{h_0}{n - 1} \right) * \left(\frac{h_0 - z}{h_0} \right)^n \right)$$

Ecuación 5-19

$$n = (1 + m) * \left(k * \left(1 + \left(\frac{\mu}{\tan \theta} \right) \right) - 1 \right)$$

Ecuación 5-20

$$h_0 = \frac{Largo}{2 * \tan \theta}$$

Ecuación 5-21

Con

- h_0 : Altura, considerando la tolva como un triángulo.
- m : Factor de forma, 1 para cono y 0 para cuña.
- n : Numero a dimensional
- k : Coeficiente de Jenike, con el valor de 3 para el caso dinámico.
- q : Carga externa sobre el material
- μ : Coeficiente de rose
- z : Altura objetivo, a partir de la abertura superior de la tolva.
- δ : Densidad aparente (mayor)

Resolviendo la ecuación de Jenike, da como resultado un esfuerzo de 516 Pa en la pared donde termina la tolva. debido a que este esfuerzo es muy pequeño, el espesor de pared de la tolva será de 5 mm.

6 Automatización del proceso.

6.1 Introducción

La maquina briqueteadora a diseñar debe ser capaz de operar de forma continua, sin la necesidad de un operador externo, es por esto que se ha dispuesto de un PLC (Controlador lógico programable), el cual se encarga de leer la información, proporcionadas por los sensores, y reaccionar mediante salidas, las cuales provocan la el movimiento de los actuadores, ya sea mediante las válvulas direccionales o por acción directa.

6.2 Diagrama de estados

En la Figura 6-1, se muestra el diagrama de estados del proceso de briqueteado, en la parte central, encerradas por un circulo, se muestran los distintos estados enumerados desde el número cero al diez. Al costado izquierdo del diagrama se encuentra una breve descripción de la acción que se realiza en cada estado, mientras que a mano derecha, se muestra el paso de un estado a otro atreves de flechas, sobre las cuales se encuentran las señales de entrada que requiere el sistema para pasar al siguiente estado y debajo de estas flechas se encuentra la señal de salida correspondiente a cada estado.

Las señales de entrada a0, b0, c0 y d0 corresponden a la posición inicial de cada cilindro, cuando el vástago se encuentra completamente dentro del cilindro, las entradas b2 y c2 representan a los cilindros B y C cuando se encuentran en sus pociones intermedias, mientras que las a1, b1, c1 y d1 representan las posiciones del cilindro con el vástago totalmente extendido.

La señal de entrada PM corresponde a la puesta en marcha del sistema, P1 representa la señal de salida del presostato correspondiente al proceso de pre compresión, mientras que P2 representa la señal correspondiente al presostato de compresión, R1 corresponde a la señal que proporciona el sensor de rotación.

En cuanto a las salidas, M+ representa la puesta en marcha del motor conectado al alimentador de tornillo y M0 la detención de este. Para el caso de los actuadores hidráulicos, se ha designado la salida del vástago del cilindro utilizando el signo + seguido de la letra correspondiente al cilindro, y para el proceso inverso el signo -.

En el estado E0, se inicia el proceso, verificando que todos los cilindros se encuentran en su lugar y se encuentre activada la puesta en marcha (PM), posteriormente se pasa al estado E1, donde se inicia la descarga de material a través del alimentador de tornillo. Una vez que el alimentador efectúe los giros necesarios, a través de un contador conectado interno del PLC, se emite la señal R1, siempre y cuando los actuadores hidráulicos se encuentren en posición, se pasa al estado E2, donde se produce la detención del motor. Posteriormente comienza el estado E3, donde comienza a avanzar el vástago del cilindro A, produciendo la precompresión del material. Una vez que el vástago llega a su posición final o la presión ejercida por el cilindro sobrepasa los 250 bar, se da paso al estado E4, donde se produce la extensión del cilindro C, el cual se desplaza hasta la posición c2, donde pasa al estado E5, el cual debe permitir la detención del cilindro C y la salida del cilindro B, el cual inicia el proceso de compresión hasta que este llegue a su extremo totalmente extendido b1 o se active el presostato P2, a los 250 bar. Una vez finalizada la compresión del material, se inicia el estado E6, donde se produce el retroceso de los cilindros A y B, este último, al alcanzar la posición b2, en la cual se tiene certeza de que el cilindro b no interfiere con el desplazamiento del cilindro C, se da inicio a la etapa E7, en esta etapa, los cilindros A y B continúan retrocediendo, mientras avanza el cilindro C para alcanzar su posición totalmente extendida (c1). Cuando el cilindro C se encuentra ubicado al extremo, se pasa al estado E8, en el cual se produce la extensión completa del cilindro D, expulsando la pieza, posteriormente al llegar a la posición d1, se pasa al estado E9, donde el cilindro D se recoge para volver a su posición d0. En el estado E10, se retrae por completo el cilindro C, hasta llegar a su posición c0. Una vez que todos los cilindros se encuentran en la posición inicial, se termina el ciclo a través del estado E11 para reiniciar el ciclo.

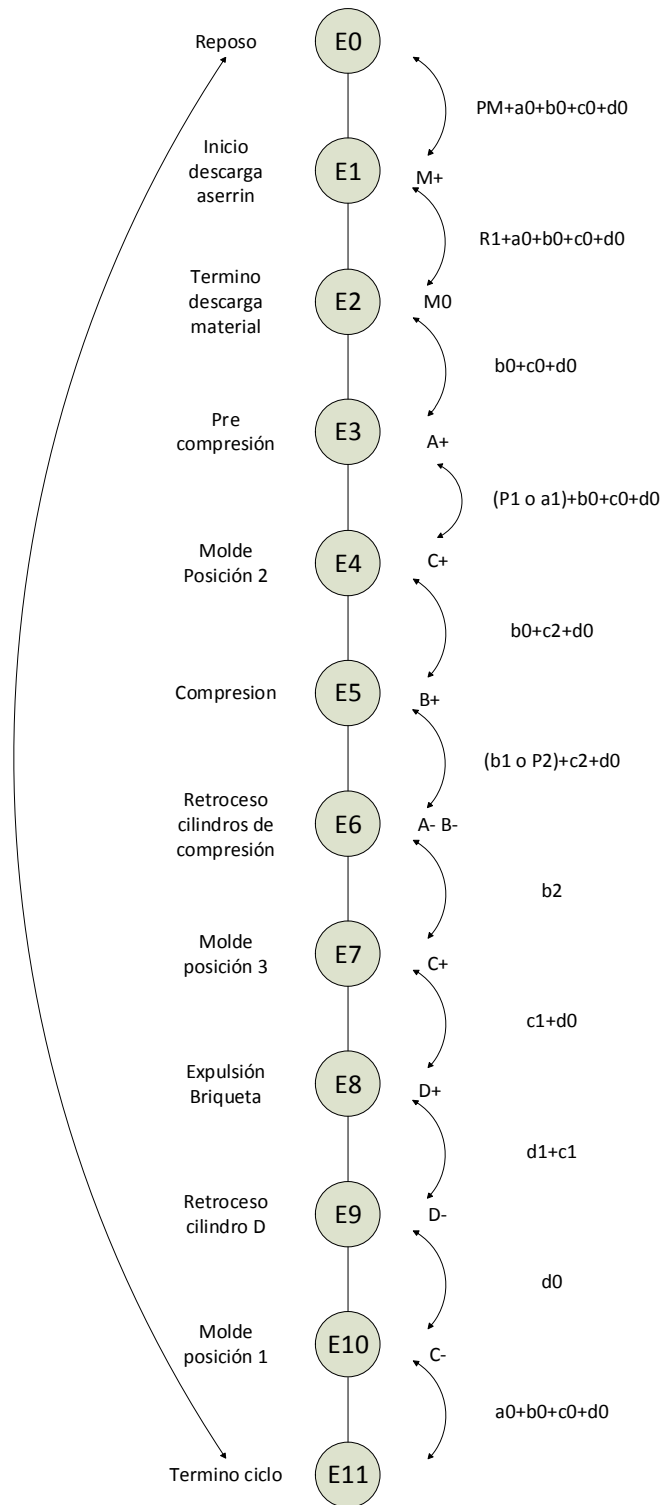


Figura 6-1, Diagrama de estados

6.3 Elementos de mando y control

6.3.1 Sensores de nivel tolva

Para asegurar que la cantidad de material sea la adecuada para la continuidad de la operación, se dispondrá de un sensor de nivel en la tolva, el cual emitirá una señal al quedar un mínimo de aserrín en la tolva de alimentación, y así advertir que es inminente recargar la tolva.

Debido a la baja densidad del aserrín cuando se encuentra a granel, no es posible instalar sistemas de detección de nivel por membrana, por lo que se utilizara un sistema por paletas rotatorias, el cual consiste en un pequeño motor que hace girar una paleta a una pequeña velocidad, cuando la tolva se encuentra con material, este impide el libre giro de la paleta, por lo que el motor se detiene, cambiando el estado de un micro-switch interno, el cual produce (o deja de producir dependiendo si es normal abierto o normal cerrado) una señal eléctrica.



Figura 6-2, Sensor nivel tolva

El sensor de nivel seleccionado es el modelo AKO-5335, el cual se compone por un motorreductor protegido por un cuerpo de aluminio con grado de protección IP65, la paleta gira con una velocidad de 5 revoluciones por minuto.

6.3.2 Sensores de proximidad inductivos

Todos los cilindros hidráulicos seleccionados vienen con detectores de proximidad inductivos tanto como para el inicio como para el final de carrera. Estos sensores detectan la presencia del embolo al interior del cilindro, para los cilindros que necesitan detectores de posición en un punto intermedio de la carrera, como es el caso de los cilindros B y C, se instalaran detectores de proximidad externos, los cuales son proporcionados por la misma empresa GLUAL.

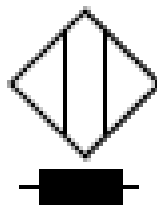


Figura 6-3, detector de proximidad inductivo

6.3.3 Sensor de rotación

Este sensor de rotación se encarga de que el alimentador de tornillo realice las revoluciones necesarias para que ingrese el material necesario a la cámara de pre compresión, dado que el tiempo estimado de descarga es de 4 segundos, y la velocidad de giro del alimentador de tornillo es de 44 rpm, el motor debe completar aproximadamente tres revoluciones para que ingresen 1.334 kg de aserrín a la cámara de pre compresión.

El sistema de medición de la velocidad de giro en el tornillo se debe implementar como se muestra en la figura 6-4

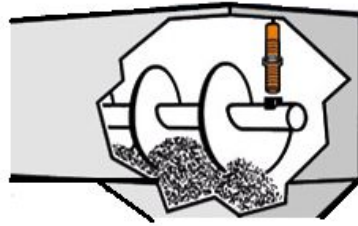


Figura 6-4, Instalación sensor

Para esto se utilizara un sensor de proximidad inductivo a una distancia de aproximadamente 10 mm del eje de rotación del tornillo, el sensor va fijo, mientras que al eje debe tener una pequeña parte de acero descubierta para que el sensor sea capaz de reconocerla, la señal del sensor debe cerrar un contacto normalmente abierto del PLC cada vez que pasa la musca de acero por este, mediante un contador del PLC es posible monitorear el numero de revoluciones.

6.3.4 Presostato.

Los presostatos o interruptores de presión son elementos que ante una determinada presión conmutan un contacto eléctrico, cuando se deja de ejercer la carga, el contacto vuelve a su posición inicial.

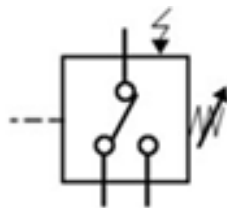


Figura 6-5, Presostato .

Este elemento electromecánico, está encargado de enviar una señal eléctrica al PLC cada vez que se sobrepase la presión estipulada, en el caso de los presostatos ubicados en las líneas de

presión de los cilindros A y B, el valor de esta presión es de 250 bar. Para esto se seleccionó un presostato tipo pistón, los cuales son comúnmente utilizados para fluidos hidráulicos, aceites y lubricantes.

El presostato seleccionado es de marca NORGEN, modelo 0882420, con un rango de presión entre 40 y 420 bar, temperatura de operación entre -20 y 80°C y con salida de señal digital.

6.4 PLC

El PLC es el encargado de ejecutar el diagrama de estados, mediante una programación en lenguaje LADDER. Uno de los aspectos más importantes a la hora de seleccionar un PLC, es la cantidad de entradas y salidas, tanto analógicas como digitales que este posee. El número de entradas viene dado por la cantidad de sensores, en este caso, son diez entradas digitales con transistor tipo PNP y interruptores SPDT incorporados, correspondientes a los sensores de proximidad inductivos que se encuentran en los cilindros hidráulicos, una entrada correspondiente al detector de proximidad ubicado en el alimentador de tornillo, también del tipo digital y con transistor PNP, dos entradas digitales correspondientes a los presostatos ubicados en los cilindros A y B. También son necesarias dos entradas con interruptor SPST para la botonera de puesta en marcha y para la parada de emergencia, por lo que son necesarias a lo menos 13 entradas digitales.

El número de salidas, está compuesto por la cantidad de solenoides, encargados de accionar los actuadores, el interruptor encargado de excitar el motor eléctrico del alimentador y las luces Led encargadas de señalar cuando se acciona la parada de emergencia y cuando el nivel de la tolva es bajo. Son necesarios 8 salidas para los solenoides, una salida para activar la alimentación y dos salidas para los Led, por lo que serían a lo menos 11 salidas del tipo digitales.

Otro de los criterios importantes a la hora de seleccionar un PLC es la capacidad de programas que este es capaz de ejecutar a la vez, Como en este caso, el proceso a automatizar

es relativamente simple, se pueden agrupar las funciones en un solo código LADDER, o en el caso de simplificar el código, para minimizar errores, se pueden utilizar dos programas, uno encargado de ejecutar el movimiento de los actuadores (figura 6-1), y otro programa, mucho más simple, encargado simplemente de monitorear el estado de la tolva de alimentación, como el diagrama de estados que se encuentra en la figura 6-6, donde la entrada PM hace referencia a la puesta en marcha, la entrada 3-6 hace referencia a la posición cuando el contacto normal cerrado del sensor de nivel se abre, y 3-4 cuando el contacto se vuelve a cerrar.

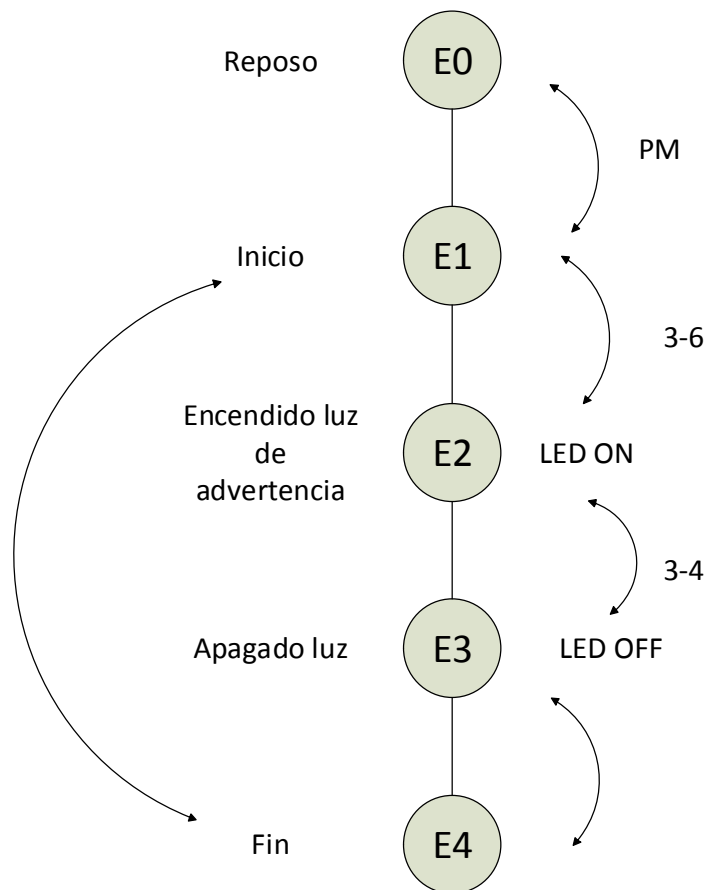


Figura 6-6, Diagrama estado tolva

En resumen, el PLC seleccionado debe cumplir con las siguientes características, transistor PNP, mínimo 13 entradas y 11 salidas digitales, al menos 2 contadores, y la capacidad de realizar 2 tareas a la vez. Para cumplir con los requerimientos, se ha seleccionado un PLC de la marca FATEK, modelo FBS-20MA, el cual cuenta con 12 salidas digitales, con la opción de transistores NPN o PNP, (de las cuales solo se puede optar por una) y 8 salidas por relé. Este PLC acepta ampliaciones modulares, por lo que para lograr el número de entradas y salidas necesarias, se agregará un módulo de expansión por la derecha modelo FBS-16XY, el cual agrega 8 entradas digitales y 6 salidas por relé, por lo que el número total de entradas disponibles asciende a 20 y el número de salidas a 16.

Otras características que posee este PLC es que cuenta con dos contadores y 4 sets de temporizadores, y una capacidad e memoria de programa de 20.000 palabras. Al diagrama LADDER se le ha agregado una parada de emergencia (PE), que en el caso de ser presionada, detenga de inmediato cualquier movimiento de los cilindros o el motor, el diagrama se encuentra en el ANEXO D.2

7 Conclusiones

7.1 Estimación Económica

Para establecer un valor aproximado del prototipo diseñado, se realizara una estimación del costo de los principales componentes que comprenden la maquina briqueteadora. El valor de los elementos críticos diseñados en el capítulo 4, se realizara en base al valor de los materiales, el valor de las horas hombre (HH) y el tiempo de maquina utilizado (HEq). Considerando un valor de 5000 pesos por HH , un valor de 10000 por HEq. Aproximando el valor de los materiales en 3000 pesos el kilo, se han calculado los valore correspondientes para cada pieza, los cuales se encuentran en la tabla 7-1. Los valores de HH y HEq para cada pieza fueron estimados de forma empírica.

Nombre	HH	HEq	Material	Peso [kg]	Valor
Cámara pre compresión	40	20	ASTM A572	162	886,000
Extremo cilindro A	8	8	ASTM A572 y SAE 1045	7	141,000
Extremo cilindro B	24	24	SAE 1045	31	453,000
Extremo cilindro D	8	8	ASTM A572 y SAE1045	1	123,000
Molde	24	24	SAE 1045	100	660,000
Molde fijo 1	24	16	ASTM A572	101	583,000
Molde fijo 2	24	16	ASTM A572	128	664,000
Molde fijo 3	24	12	ASTM A572	45	375,000

Tabla 7.1, Cotización piezas

Todos los componentes vistos en los capítulos anteriores han sido cotizados en casas comerciales en Chile, con la excepción de los cilindros hidráulicos, los cuales fueron cotizados en la sucursal de GLUAL en España. El valor de cada componente se encuentra en la tabla 7-2. cabe mencionar algunos detalles como el precio de los cilindros hidráulicos, el cual fue cotizado en euros, por lo que su valor fue traspasado a pesos Chilenos a una tasa de cambio de 734 pesos por euro (19-10-2016), otro detalla es que el fluido hidráulico que se cotizo, se encuentra en formato de 20 lt, por lo que se requieren 3 unidades para suplir la central hidráulica. Al momento de cotizar el distribuidor en chile de las bombas de engranajes marca Marzocchi se encontraban si stock , por lo que se procedió a cotizar bombas de similares capacidades de la marca Ronzio, Otro detalle es que al cotizar las mangueras se cotizo por el precio por metro, para luego estimar en ocho metros el largo total. El detalle de las cotizaciones realizadas se encuentran en el ANEXO C.

Nombre	Cantidad	Marca	Precio Unitario	Precio Total
Cámara pre compresión	1	-----	886,000	886,000
Extremo cilindro A	1	-----	141,000	141,000
Extremo cilindro B	1	-----	453,000	453,000
Extremo cilindro D	1	-----	123,000	123,000
Molde	1	-----	660,000	660,000
Molde fijo 1	1	-----	583,000	583,000
Molde fijo 2	1	-----	664,000	664,000
Molde fijo 3	1	-----	375,000	375,000
Cilindro A	1	Glual	1,208,150	1,208,150
Cilindro B	1	Glual	8,738,100	8,738,100
Cilindro C	1	Glual	532,900	532,900
Cilindro D	1	Glual	500,050	500,050
Bomba Alta	1	Marzocchi	223,413	223,413
Bomba Baja	1	Marzocchi	223,413	223,413
Motor	1	Siemens	638,848	638,848
Válvula limitadora de presión 250 bar	1	EATON Vickers	249,320	249,320
Válvula limitadora de presión 50 bar	1	EATON Vickers	249,320	249,320
Válvula reguladora de caudal	2	EATON Vickers	140,520	281,040
Válvula direccional	4	EATON Vickers	415,220	1,660,880
Válvula Check	2	EATON Vickers	31,220	62,440
Fluido hidráulico	3	ESSO	24,000	72,000
Manguera hidráulica	8	Hypress	6,520	52,160
Manómetro	1	Winters	9,000	9,000
Presostato	1	Norgen	84,689	84,689

Sensor nivel	1	VETO	160,290	160,290
PLC	1	FATEK	150,956	150,956
Modulo de expansión	1	FATEK	95,878	95,878
Sensor de proximidad	1	Autonics	14,990	14,990
Machón de acoplamiento	1	Guardian	51,078	51,078
Motorreductor	1	VERVEL	298,000	298,000
Alimentador de tornillo	1	VDM	1,844,039	1,844,039

Tabla 7.2, Cotizaciones

Elementos como el soporte para el alimentador, tolva de alimentación, racores, pernos, estanque hidráulico ,panel eléctrico y otros componentes electrónicos no han sido cotizados, por lo que se estimaran como otros gastos, por un valor de 1,500,0000 pesos

La estimación total de gastos para la confección del prototipo de maquina briqueteadora es de 22,785,954 pesos. Como punto de comparación se puede considerar la maquina briqueteadora TH 714, de la marca Alemana WEIMA, la cual es capaz de procesar hasta 160 kg/h, posee un costo de 32,000 euros, 23,488,000 pesos chilenos considerando la tasa de cambio anterior, este valor no incluye el traslado a Chile, el cual tiene un valor que bordea los 5,000 euros.

7.2 Conclusiones finales

Hoy en día, las grandes empresas de la industria agroforestal, están utilizando la biomasa residual como fuente de energía ,para generar electricidad o para combustión directa, en secadores u otros equipos. Por otro lado, las pequeñas y medianas empresas no poseen las facilidades necesarias para utilizar en mayor medida este recurso, por esto se plantea la producción de briquetas a mediana escala para dar un valor agregado a la biomasa residual, ya que las briquetas presenta una gran opción para la calefacción residencial, ya que aparte de ser una fuente de energía carbono neutral ,poseen un menor costo de consumo que calefactores eléctricos o a gas, y a diferencia de los pellets, pueden ser utilizados en cualquier

calefactor a leña, es por esto que las convierte en una excelente opción para que las pequeñas y medianas empresas utilicen su biomasa residual.

El primer paso para el diseño de una briquetadora hidráulica es determinar el esfuerzo que se le debe aplicar al aserrín para lograr la densidad de 1000 kg/m^3 , requerida por la norma DIN-51731. Para esto se realizó una serie de ensayos de compactación, utilizando como material base el aserrín de pino radiata con una humedad de 12% y una granulometría 90% menor a dos mm. Las pruebas fueron realizadas en el laboratorio de tecnología mecánica, UTFSM, donde se determinó que el esfuerzo de compactación tiene un comportamiento exponencial a medida que se densifica el aserrín, estableciéndose un esfuerzo de 111 Mpa para compactar el material según dicta la norma DIN .

El aserrín posee una densidad aparente muy baja, utilizando un gran volumen, por lo se requiere de un cilindro con una gran carrera para compactarlo, considerando que el cilindro de compresión debe tener un gran diámetro para ejercer la fuerza necesaria, sería desproporcionado contar con solo un cilindro para realizar la compresión de manera directa, ya que un elemento de esas características elevaría de sobremanera el valor del equipo, es por esto que se ha planteado un sistema de briquetado en dos etapas, la primera con un cilindro de diámetro medio y una gran carrera, y la segunda con un cilindro de gran diámetro pero con una carrera reducida.

Los elementos encargados de contener el material durante la compactación de este, fueron diseñados pensando en la durabilidad y mantención de la máquina. El proceso es controlado mediante un PLC, por lo cual no es necesaria la presencia de un trabajador que opere la máquina, salvo para rellenar con material la tolva de alimentación la cual fue diseñada para lograr una hora de autonomía.

En cuanto a las características económicas, el cilindro de compactación, de la marca GLUAL es el componente con mayor valor, comprendiendo el 41% del valor total de la máquina, a su vez los cilindros son los únicos elementos cotizados fuera del país, por lo que de encontrar un proveedor local, el valor de estos podría reducirse considerablemente y con ello el valor total.

El valor estimado para la confección de la maquina briqueteadora es de 22,785,954 pesos chilenos, este precio es similar o menor a maquinas briqueteadoras hidráulicas de similares características por lo que se consideraría un precio atractivo para el mercado.

8 Referencias

SAS Bruncer, Sebastian Marcos. Análisis Económico-Energético de la biomasa lignocelulítica en Chile. Tesis (Máster en ciencias de la Ingeniería) Pontificia Universidad Católica de Chile. Santiago Chile, 2012.

GARCIA Álvarez, José Andrés. Diseño de una compactadora de chatarra de alto tonelaje. Tesis (Ing. Industrial mecánico). España, Madrid. Universidad pontificia Comillas ,2014.

PINTO Fajardo, Carlos Humberto. Diseño, modelamiento y simulación de maquina dosificadora de alimento granulado para animales. Tesis (Ingeniería de diseño y automatización electrónica). Bogotá, Colombia. Universidad de la Salle ,2006.

FREDES Nuñez Natalia Alejandra, Evaluación técnica y económica de una planta de producción de combustible sólido a partir de biomasa forestal en la región de los lagos, Tesis (Ingeniera Civil Química). Santiago, Chile. Universidad de Chile , 2014

PAYAN Cobo Héctor Alexander, Reingeniería a una prensa hidráulica de CONSTRUMECAM, para mejorar la eficiencia de su producción, Tesis (Ingeniero Mecánico). Cali, Colombia. Universidad Autónoma de Occidente, 2012

Estudio de la soldabilidad del acero estructural ASTM A572 grado 50 con proceso GMAW en junta en T, posición 3F progresión descendente, comparado con el proceso SMAW progresión ascendente., Barrera Juna, Giraldo, Juan., Institución Universitaria los Libertadores, Facultad de Ingeniería Mecánica, Bogotá, Colombia, 2015

LIGNUM. Dos Combustibles derivados de la biomasa apuestan por ser clave para la descontaminación ambiental en Temuco. [en línea] <
<http://www.lignum.cl/2013/07/18/combustibles-derivados-de-la-biomasa-apuestan-por-ser->

clave-para-la-descontaminacion-ambiental-en-temuco./>. 18 de Julio, 2013 [consulta: Octubre 2015]

Spichiger Jose, Morales Eduardo, Potencial de biomasa forestal en Chile, 2008, GNE/GTZ, <http://www.inapiprojecta.cl/605/articles-1661_recurso_1.pdf> [en línea] [consultado: Noviembre 2015]

INFOR, Actualización de la disponibilidad de recursos madereros generados por la industria primaria de la madera (aserraderos) 2008, <<http://biblioteca.infor.cl/DataFiles/25572.pdf>> [en línea] [consultado: Noviembre 2015]

ODEPA, La avena, características y mercado <<http://www.odepa.gob.cl/odepaweb/publicaciones/doc/2627.pdf>> [en línea] [consultado: Noviembre 2015]

ABYPER, Maquinaria. Comparación de tecnologías de prensas briquetadoras <<http://www.abyper.com.ar/assets/img/main/Comparacion-de-Tecnologias-de-Prensas-Briquetadoras.pdf>> [en línea] [consulta Noviembre 2015]

OTERO, Productos, división aceros. <<http://www.acerosotero.cl/productos.html>> [en línea] [consulta Junio 2016].

SCHAEFFLER, Medidas: Precisión de los carriles guía. <http://medias.schaeffler.com/medias/es!hp.tg.cat/tg_lf*ST4_361366027> [en línea] [consulta: Septiembre 2016].

ANEXO A

Ensayos de compactación del aserrín

UNIVERSIDAD TECNICA FEDERICO SANTA MARIA

" Determinación esfuerzo de compactación del aserrín "

Trabajo de titulo " Diseño y selección de componentes de una maquina briqueteadora
de mediana capacidad"

Ignacio Venegas Martinez

15/04/2016

Introducción

En el marco de la realización del trabajo de título “Diseño y selección de componentes de una maquina briqueteadora de mediana capacidad”, para realizar el diseño es indispensable conocer los esfuerzos mínimos que deberá efectuar la máquina para compactar el material según especifican las normas de calidad internacionales.

Objetivos

Mediante la utilización de la máquina universal “LOSENHAUSENWERK” ubicada en el Laboratorio de tecnología mecánica de la Universidad Técnica Federico Santa María, Casa Central, se pretende determinar de manera exacta el esfuerzo de compactación mínimo que se le debe aplicar al aserrín en estado seco (Humedad menor al 12%), para que este logre la densidad mínima establecida por la norma DIN 51731, (1.000 Kg/m^3).

También se estudiara el comportamiento de la densificación del material a distintas cargas, con el objetivo de conocer el valor de la densidad a determinados valores de carga aplicada.

Antecedentes de ensayo

El ensayo se realizo el día jueves 14 de enero del año 2016 en el laboratorio de tecnología mecánica, UTFSM, Casa central.

EL material a ensayar fue Aserrín (Pino Radiata), el cual se sometió a una prueba de humedad relativa y un análisis granulométrico.

Contenido de Humedad.

La norma DIN 51731 exige que para fabricar briquetas y pellets, la materia prima a utilizar posea una humedad relativa menor al 12%, este dato se corrobora mediante el secado de tres muestras en el laboratorio de procesos termodinámicos de la UTFSM, Casa Central. Este ensayo consiste en pesar una tara o recipiente (w_t), posteriormente se llena la tara con material y se pesa nuevamente (w_m+w_t), luego se introduce la tara a un horno con una temperatura controlada de 105° , pasadas cinco horas, se retira la muestra y se vuelve a pesar (w_s+w_t), con estos datos es posible determinar la masa del agua evaporada en el horno (w_a), la masa del material seco (w_s) y el porcentaje de humedad mediante de las ecuaciones que se presentan bajo el texto .Los resultados obtenidos se muestran en la tabla 0.1

$$w_a = (w_m + w_t) - (w_s + w_t)$$

$$w_s = (w_s + w_t) - w_t$$

$$\% \text{ Humedad} = (w_a / w_s) * 100$$

Humedad relativa							
Valores húmedo			Valores seco			% de humedad	
Masa	Valor	Unidad	Masa	Valor	Unidad	Muestra 1	11.40
Tara 1	28.90	G	Tara 1	28.90	g	Muestra 2	11.29
Tara con muestra 1	31.08	G	Tara con muestra 1	30.83	g	Muestra 3	11.42
Muestra 1	2.18	G	Muestra 1	1.93	g	Media	11.37

Tara 2	26.73	G	Tara 2	26.73	g
Tara con muestra 2	28.53	G	Tara con muestra 2	28.33	g
Muestra 2	1.80	G	Muestra 2	1.59	g
Tara 3	26.81	G	Tara 3	26.81	g
Tara con muestra 3	29.10	G	Tara con muestra 3	28.84	g
Muestra 3	2.28	G	Muestra 3	2.02	g

TABLA 0.1

Análisis Granulométrico

Para poder realizar el ensayo de compactación del material, se debe comprobar que este posea la granulometría adecuada para el proceso de compactación o briqueteado, ya que los trozos o granos de aserrín no debes ser de gran tamaño. Para corroborar esto, se realizo un análisis granulométrico utilizando las mallas ASTM proporcionadas por el laboratorio de manejo de materiales (CITRAM) de la UTFSM. Los resultados se muestran en la tabla 0.2

Análisis granulométrico							
Malla	Abertura	Unidad	Masa (g)	Masa neta (g)	%	% Retenido	% Pasante

1/2	12.5	mm	4.5	1.6	1.928	1.928	98.072
1/4	6.3	mm	3.8	0.9	1.084	3.012	96.988
5	4	mm	3.6	0.7	0.843	3.855	96.145
10	2	mm	7.8	4.9	5.904	9.759	90.241
18	1	mm	48.5	45.6	54.940	64.699	35.301
30	0.6	mm	28.8	25.9	31.205	95.904	4.096
Fondo	-	-	6.3	3.4	4.096	100.000	0.000
			Total	83	Error (%)	2.353	

TABLA 0.2

Metodología de trabajo

para este ensayo se utilizó un molde (figura 0.1) diseñado para determinar el esfuerzo de compactación del aserrín. El molde está compuesto por un eje o punzón y un buje, los cuales poseen una holgura máxima de 0.57 mm., para realizar la compactación, se debe ubicar el buje sobre una mesa de trabajo horizontal y se introduce el material por la parte superior del buje hasta formar una columna aproximadamente de 110 mm, luego se introduce el punzón, el cual se encargará de comprimir el material contra la mesa de trabajo.



Figura 0.1



Figura 0.2

Una vez aplicada la carga de prueba sobre el molde, se retira el punzón y se debe apoyar el molde sobre dos superficies paralelas las cuales se encuentren a una distancia suficiente para que se pueda expulsar la muestra de aserrín (figura 0.3), se vuelve a introducir el punzón y se carga para que este expulse la pieza por la parte inferior del buje (figura 0.4). Una vez expulsada la muestra (figura 0.5), se obtiene la densidad de esta, atreves del cociente entre su masa y volumen



Figura 0.3



Figura 0.4



Figura 0.5

Determinación de esfuerzo de compactación

Como parámetro de referencia para los ensayos de compactación se utilizarán los resultados obtenidos anteriormente en la prensa del taller metalmecánico ubicado en la casa central. Los

resultados anteriores mostraron que el esfuerzo de compactación se encuentra entre los 100-150 MPa. En el laboratorio se realizaron 12 ensayos, donde se aplicaron desde 12 a 21 toneladas. Los resultados se pueden apreciar en la tabla 0.3

N° ensayo	1	2	3	4	5	6	7	8	9	12
Diámetro (mm)	41.1	41.2	41.05	41	41.1	41	41.15	41.1	41	41
Altura comprimida (mm)	21.4	21.35	20.95	20.2	20.3	20.7	19.6	19.8	19.85	19.15
Masa final (g)	27.6	27.7	27.7	27.4	27.5	28.7	27.1	27.7	27.6	27.3
Carga (ton)	12	13	14	15	16	17	18	19	20	21
Densidad (kg/m^3)	972	973	999	1027	1021	1050	1039	1054	1053	1079
Esfuerzo de compresión (MPa)	93.58	101.3	109.1	116.9	124.7	132.5	140.3	148.1	155.9	163.7

TABLA 0.3

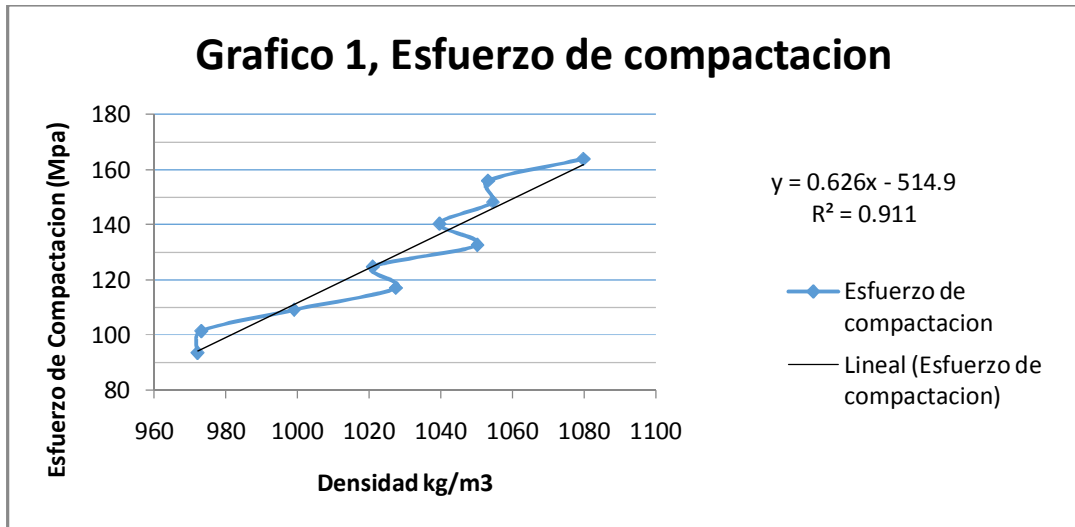


Grafico 0.1

Determinación de esfuerzo de pre compresión.

Siguiendo la metodología utilizada en el ensayo anterior, se realizaron tres pruebas para determinar el esfuerzo necesario para pre compactar el material y dejarlo con una densidad de 840 kg/m^3 . Los resultados se muestran en la tabla 0.4

N° ensayo	1	2	3
Diámetro (mm)	41.2	41.4	41.1
Altura comprimida (mm)	23.6	23.6	23.6
Masa final (g)	26.8	26.7	28.2
Carga (ton)	2.32	2.03	2.36
Densidad (kg/m^3)	851.79	840.44	900.66
Esfuerzo de compresión (MPa)	17.05	14.77	17.43

TABLA 0.4

Determinación de densidad a bajos esfuerzos de compresión.

En el caso que el equipo requiera trabajar con distintas presiones, baja presión al acercar los actuadores al material a compactar, y alta presión al realizar la compresión total del material, se hace indispensable conocer en qué punto del proceso se pasara de una presión a otra, por lo que es necesario realizar ensayos con un rango mucho menor de esfuerzo. Con este fin, se realizaron pruebas para determinar la densidad del material al aplicar distintas presiones 30, 50 y 70 bar. La metodología utilizada es similar a la anterior, salvo que las dimensiones de la muestra se miden con esta dentro del molde, se ingresa el material al molde, luego se introduce el punzo, para posteriormente aplicar carga hasta llegar a la magnitud específica, y luego sin dejar de aplicar la carga, se mide el largo del punzón que se encuentra fuera del molde, para así poder calcular la altura de la muestra, esto para evitar que la muestra se expanda al dejar de aplicar la carga. Posteriormente se retira la carga y se procede a realizar el mismo método de extracción de la muestra utilizado anteriormente, para luego pesar las muestras y obtener la masa específica de cada una. Para el cálculo del volumen, se utilizara el mismo diámetro que posee el molde.

Los resultados del ensayo se muestran en la siguiente tabla

N° ensayo	1	2	3
Diámetro (mm)	40	40	40
Altura comprimida (mm)	48	35.5	28
Masa final (g)	27.2	28.7	27.6
Carga (ton)	0.385	0.640	0.900
Esfuerzo teórico (bar)	30	50	70
Densidad (kg/m ³)	450.93	643.34	784.40
Esfuerzo de compresión (MPa)	3.00	4.99	7.01

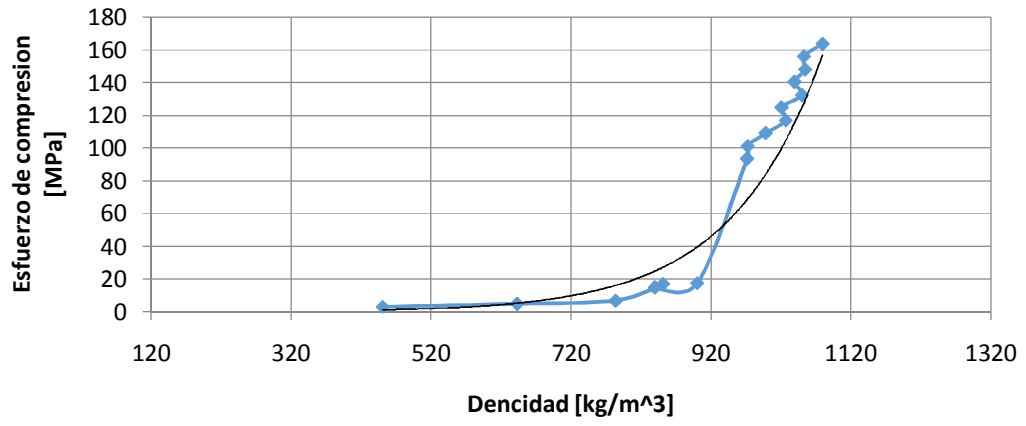
Conclusiones

Como se puede ver en la tabla 0.3 , el diámetro de las briquetas prácticamente no varía al incrementar la carga, no así el caso de la altura, ya que si bien existe una tendencia a que la altura de la biqueta baje en función de la densidad, existen ensayos como el N°6, donde la altura es considerablemente mayor a la de los ensayos N° 4,5,7 y 8. Esto puede ser debido a que al momento de cargar el material, este no era pesado previamente, sino que se introducía hasta que el material llegase a un límite demarcado en el molde (110mm), por lo que no todos los ensayos tuvieron exactamente la misma cantidad de material, no obstante, al pesar las muestras después del ensayo, se logro controlar la masa de las briquetas, por lo que esto no debiese afectar de mayor manera los resultados del ensayo.

Luego de analizar los datos del grafico 2, se puede concluir que la presión mínima necesaria para compactar el aserrín hasta lograr una densidad de 1000 kg/m^3 es de 111.1 MPa. De manera análoga, utilizando la ecuación resultante de la regresión cuadrática, se determina el esfuerzo de pre compresión en 14.7 MPa.

Analizando todos los ensayos realizados, se puede ver claramente en el grafico 2, que existe una relación exponencial entre el esfuerzo de compresión y la densidad de la biqueta. Teniendo en cuenta lo anterior, están presentes todos los datos necesarios para realizar un correcto dimensionamiento de los cilindros de compresión de la maquina briqueteadora a diseñar.

Grafico 2 Esfuerzo de compresion



ANEXO B

Catalogo componentes

Cilindros Hidráulicos

Designación cilindro KD

KD * - 63 / 45 / 45 x 200 - A 3 0 1 - G - F - 1 - 20

<p>TIPO</p> <p>DETECTOR INDUCTIVO</p> <ul style="list-style-type: none"> A = Ambos lados F = Delantero R = Trasero <p>PISTON Ø</p> <p>VASTAGO Ø</p> <p>VASTAGO Ø (DUELOS VASTAGOS)</p> <p>CARRERA</p> <p>TIPO FIJACION</p> <ul style="list-style-type: none"> A - MFS = Brida delantera B - MFS = Brida trasera D - MFS = Charnela macho E - MFS = Fijación por patas L - MFS = Muelles intermedios S - MFS = Charnela con rótula <p>AMORTIGUACION</p> <ul style="list-style-type: none"> 0 = Sin amortiguación 1 = Solamente trasera 2 = Solamente delantera 3 = Delantera y trasera <p>DISTANCIADOR (1)</p> <ul style="list-style-type: none"> 0 = 0 mm. para carrera de 0-1000 mm. 2 = 50 mm. para carrera de 1001-1500 mm. 4 = 100 mm. para carrera de 1501-2000 mm. 6 = 150 mm. para carrera de 2001-2500 mm. 8 = 200 mm. para carrera de 2501-3000 mm. 	<p>Nº SERIE</p> <p>POSICION DE CONEXION</p> <p>Visto por lado vástago □ = Standard</p> <p>TIPO VASTAGO</p> <ul style="list-style-type: none"> B = Cromado duro C = Niquelado y cromado duro I = Inox. AISI 431 cromado duro M = 42 Cr Mo 4 v cromado duro T = Templado y cromado duro <p>CONEXIONES, ver página 105</p> <ul style="list-style-type: none"> 0 = BSP - Gas - ISO 228/1 M = Métrica S = ISO/DIS 6162.2 N = NPT U = UNF-2B V = BSP - Gas - ISO 228/1 W = Métrica X = ISO/DIS 6162.2 Y = NPT Z = UNF-2B <p>JUNTAS</p> <p>Para aceite mineral - DIN 51524 HL, HLP</p> <ul style="list-style-type: none"> 1 Sistema standard de juntas 2 Empaquetaduras 3 Servo calidad/baja fricción <p>Para Ester fosforico HFD-R</p> <ul style="list-style-type: none"> 2 Servo calidad/baja fricción/vitón 3 Sistema standard de juntas/vitón 4 Empaquetaduras/vitón
---	---

Designación juntas de repuesto
G 1 - KD - 63 / 45 / 45 - 20

↓
Tipo de junta
(ver parte superior)

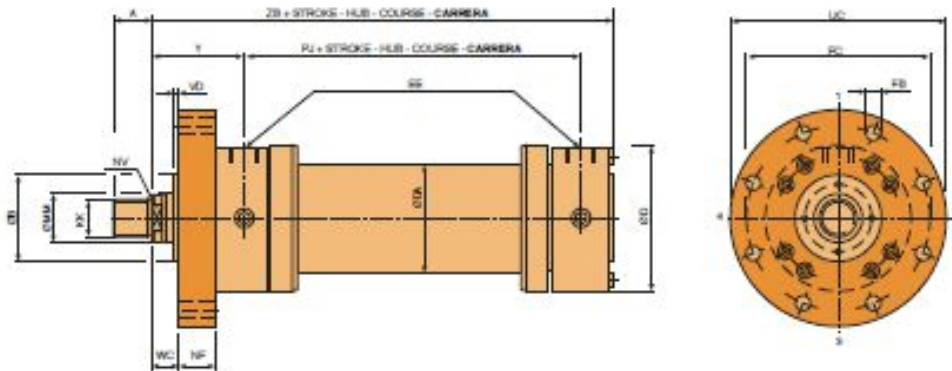
(1) Se aumenta la longitud del cilindro.

Cilindros A y D

A
ISO MF 3

Round front flange mounting
Rundflansch am Zylinderkopf
Bride ronde avant
BRIDA DELANTERA

Nombre puertos: 2
Nº de líneas: 2
Presión nominal: **250 bar**



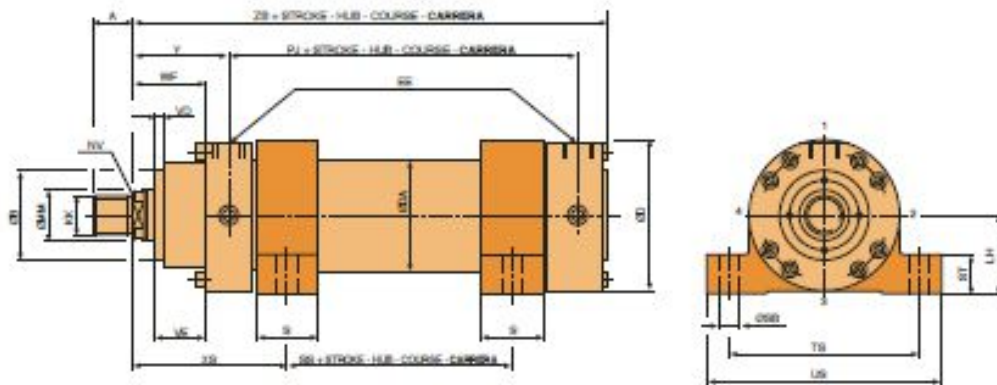
Location of cushioning screws, side 2 * Lage der Dämpfungschrauben, Seite 2 * Position des vis de réglage d'amortissement, face 2 * Posición regulador amortiguación, lado 2

	50		63		80		100		125		140		160		180		200		250		320	
MM	32	36	40	45	50	56	63	70	80	90	90	100	100	110	110	125	140	140	180	200	220	
A	36	45	56	63	85	90	95	105	112	125	160	185	200	250	320	320	320	320	320	320	320	320
B ø	63	75	90	110	132	145	160	185	200	250	320	320	320	320	320	320	320	320	320	320	320	320
D	102	120	145	170	206	226	265	292	306	412	500	500	500	500	500	500	500	500	500	500	500	500
DA	65	78	100	120	150	170	190	210	230	298,5	385	385	385	385	385	385	385	385	385	385	385	385
EE	1/2"G	3/4"G	3/4"G	1"G	1"G	1 1/4"G	1 1/4"G	1 1/4"G	1 1/4"G	1 1/2"G	2"G											
FB ø13	8x13,5ø	8x13,5ø	8x17,5ø	8x22ø	8x22ø	8x26ø	8x26ø	8x33ø	8x33ø	8x39ø	8x45ø											
FC ø17	132	150	180	212	250	280	315	350	385	475	600	600	600	600	600	600	600	600	600	600	600	600
KK	M 27x2	M 33x2	M 42x2	M 48x2	M 64x3	M 72x3	M 80x3	M 90x3	M 100x3	M 125x4	M 160x4											
NF	25	28	32	36	40	40	45	50	56	63	80	80	80	80	80	80	80	80	80	80	80	80
NV	27	30	32	36	41	46	50	60	65	75	75	85	85	95	95	110	110	120	140	160	180	200
PJ	120	133	155	171	205	219	235	264	278	325	350	350	350	350	350	350	350	350	350	350	350	350
LUC	155	175	210	250	290	325	360	405	440	540	675	675	675	675	675	675	675	675	675	675	675	675
VD	4	4	4	5	5	5	5	5	5	8	8	8	8	8	8	8	8	8	8	8	8	8
WC	22	25	28	32	36	36	40	45	45	50	56	56	56	56	56	56	56	56	56	56	56	56
Y	98	112	120	134	153	166	185	194	220	260	310	310	310	310	310	310	310	310	310	310	310	310
ZB	244	274	305	340	396	431	467	510	550	652	764	764	764	764	764	764	764	764	764	764	764	764

Cilindros B y C

E Foot mounting
Fussbefestigung
Fixation par pattes
FIJACIÓN POR PATAS
ISO MS 2

nominal pressure
Nenndruck
pression nominale
Presión nominal **250 bar**



Location of cushioning screws, side 2 * Lage der Dämpfungschrauben, Seite 2 * Position des vis de réglage d'amortissement, face 2 * Posición regulador amortiguación, lado 2

Port size Tamaño de puertos	50		63		80		100		125		140		160		180		200		250		320	
MM	32	36	40	45	50	56	63	70	80	90	90	100	100	110	110	125	125	140	160	180	200	220
A	36	45	56	63	85	90	95	105	112	125	160	250	320	385	412	500						
B	63	75	90	110	132	145	160	185	200	250	320	385	412	500								
D	102	120	145	170	206	226	265	292	306	412	500											
DA	65	78	100	120	150	170	190	210	230	298,5	385											
EE	1/2"G	3/4"G	3/4"G	1"G	1"G	1 1/4"G	1 1/4"G	1 1/4"G	1 1/4"G	1 1/2"G	2"G											
KK	M 27x2	M 33x2	M 42x2	M 48x2	M 64x3	M 72x3	M 80x3	M 90x3	M 100x3	M 125x4	M 160x4											
LH _{min}	55	65	75	90	105	115	135	150	160	215	260											
NV	27 30	32 36	41 46	50 60	65 75	75 85	85 95	95 110	110 120	140 160	180 200											
PJ	120	133	155	171	205	219	235	264	278	325	350											
S	35	40	50	60	70	85	105	115	125	100	120											
SB _{min}	11	13,5	17,5	22	26	30	33	40	40	52	62											
SS	45	49	52	61	75	70	65	69	73	120	120											
ST	37	42	47	57	67	72	77	92	97	112	152											
TS _{min}	130	150	180	210	255	290	330	360	385	520	620											
LIS	155	180	220	255	305	350	400	440	465	620	740											
VD	4	4	4	5	5	5	5	5	5	8	8											
VE	29	32	36	41	45	45	50	55	61	71	88											
WF	47	53	60	68	76	76	85	95	101	113	136											
XS	135,5	154	171,5	189	218	240,5	270	291,5	322,5	360	425											
Y	98	112	120	134	153	166	185	194	220	260	310											
ZB	244	274	305	340	396	431	467	510	550	652	764											
Min. Stroke Min. Hub Course min. Carrera mín.	-	-	2	3	-	19	44	50	56	-	-											

Válvula limitadora de presión

SystemStak™ Pilot Operated Relief Valves

DGMC/DGMC2

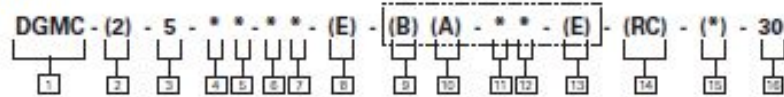
General Description

These two-stage valves limit system pressure by directing flow to tank or the opposite cylinder port (A-B/B-A crossport types) when system pressure reaches the valve setting.

Pressure control may be obtained in "A", "B", "A" and "B", or "P" port, and pilot flow may be internally or externally drained, depending on model type. Any pressure in the line to which these valves are drained is additive to the valve pressure setting.

The valve pressure setting is adjustable by means of either an adjusting screw and locknut, a hand-knob adjuster, or a micrometer knob with keylock. External remote control/vent connections are available on all models except crossport relief. If required on crossport models, contact your Eaton representative.

Model Code



1 Valve function

Manifold or subplate mounted pressure relief valve.

2 Valve type

2 - Dual relief cavities

Blank - Single relief

3 Interface

5 - ISO 4401-AC-05-4-A, CETOP RP35H
ANSI/NFPA D05

4 Port operated upon

A - "A" cylinder port (single, dual or crossport types)

B - "B" cylinder port (single type only)

P - Pressure port (single type only)

5 Port drained into

A - "A" cylinder port

B - "B" cylinder port (crossport type only)

T - Tank port (single or dual types)

6 Pressure range

A - 4 to 50 bar (60 to 725 psi)

B - 4 to 100 bar (60 to 1450 psi)

F - 4 to 200 bar (60 to 2900 psi)

G - 4 to 315 bar (60 to 4500 psi)

7 Adjustment device

H - Knob adjuster

K - Micrometer knob with keylock

W - Screw with locknut

8 External drain

E - External drain

Omit for internal drain models.

9 P port acted upon

B - "B" cylinder port (dual or crossport type) Omit for single type.

10 Port drained into

A - "A" cylinder port (crossport type only)

T - Tank port (dual type only)

11 Pressure range

Omit for single type.

A - 4 to 50 bar (60 to 725 psi)

B - 4 to 100 bar (60 to 1450 psi)

F - 4 to 200 bar (60 to 2900 psi)

G - 4 to 315 bar (60 to 4500 psi)

12 Adjustment device

Omit for single relief models.

H - Knob adjuster

K - Micrometer knob with keylock

W - Screw with locknut

13 External drain

E - External drain same as position 8

Omit for single relief models.

14 Remote control port

RC - Remote control port

Not available on crossport models.

15 Gage port & thread type

Gage port for P-T models only; optional remote control (RC) and external drain (E) ports as applicable.

Omit for crossport models

B - G 1/8" (1/8" BSPF)

S - SAE-4 O-ring boss port
(0.4375-20 UNF-2B thread)

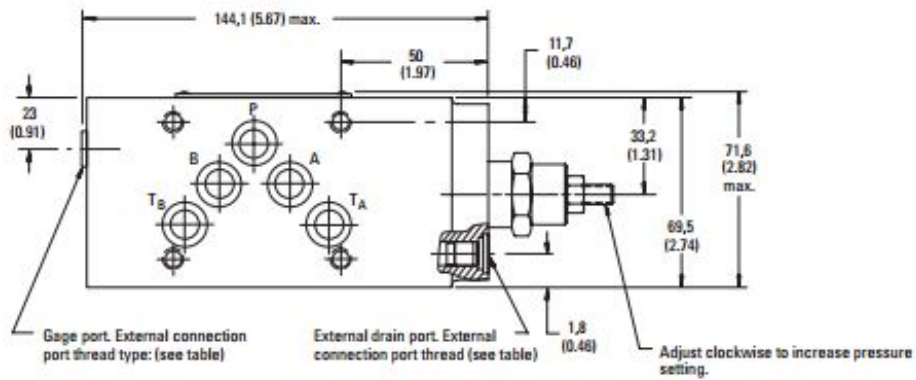
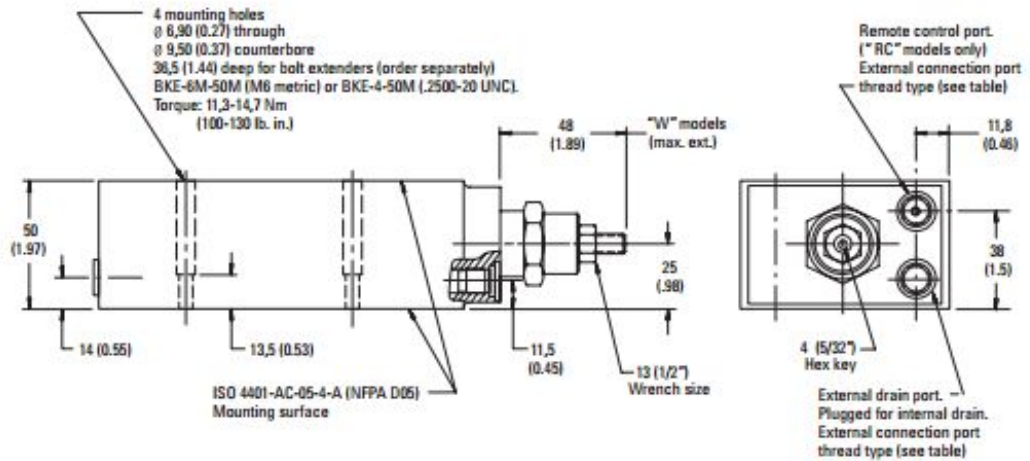
16 Design number - 30 series

Subject to change. Installation dimensions unaltered for design numbers 30 to 39 inclusive.

Válvula limitadora de presión

DGMC-5-PT Single Relief
mm (inches)

See page 37 for optional adjustment devices.
See page 38 for interface dimensions.



N

External connection port threads
 "S" models - SAE-4 O-ring boss port
 (0.4375-20 UNF-2B thread).
 "B" models - G 1/8 (1/8 BSPP)

Note: Back pressure in drain is added to this
 setting for internal drain models only.

Válvula reguladora de caudal

SystemStak™ Flow Control Valves

DGMFN

General Description

These valves are adjustable, non-compensated flow restrictors. An integral check valve around the regulating orifice allows free flow in one direction and metered flow in the other.

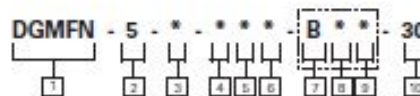
Control is available in "A" only, "B" only, and "A" and "B" ports as an "X" type (meter-in) or "Y" type (meter-out).

The "P" port is available only in the "X" type (meter-in) and does not contain a reverse flow check.

The valve flow setting is adjustable by means of either a hex key adjusting screw and locknut, a hand-adjust knob, or a micrometer knob with keylock.

A normal or fine metering capability is available. See the pressure drop curves on page 26 for detailed performance difference.

Model Code



1 Valve function

Manifold or subplate mounted flow control valve.

2 Interface

5 – ISO 4401-AC-05-4-A, CETOP 5 Size 5 RP35H ANSI/NFPA D05

3 Direction of flow

X – Meter-in
Y – Meter-out

4 Port operated upon

A – Cylinder port "A" (single or dual type)
B – Cylinder port "B" (single type only)
P – Pressure port (single type only)

5 Adjustment range

1 – Fine control
2 – Normal control

6 Adjustment device

H – Knob adjuster
K – Micrometer knob with keylock
W – Screw with locknut

7 Port operated upon: second function

(Omit for single flow control models.)
B – B cylinder port (Dual type)

8 Adjustment range: second function

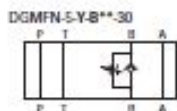
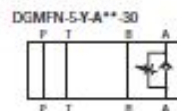
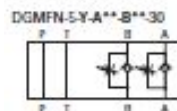
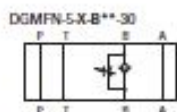
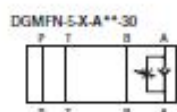
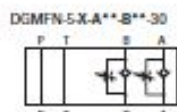
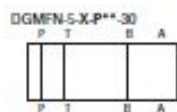
(Omit for single flow control models.)
1 – Fine control
2 – Normal control

9 Adjustment device: second function

(Omit for single flow control models.)
H – Knob adjuster
K – Micrometer knob with keylock
W – Screw with locknut

10 Design number - 30 series

Subject to change. Installation dimensions unaltered for design numbers 30 to 39 inclusive.



N-24

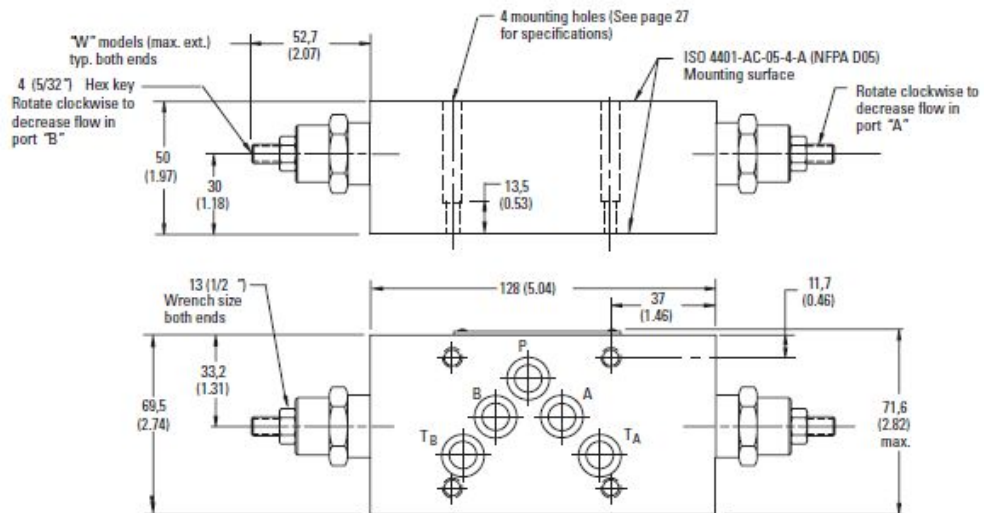
EATON DGM**5 30 Design 5-VLV-SS001-01 October 2015

Válvula reguladora de caudal

Installation Dimensions

DGMFN-5-Y Dual Flow Control

mm (inches)



See page 37 for optional adjustment devices.
See page 38 for interface dimensions.

Válvula direccional

Model code

F* - DG4V4-01 - ** - *(L) - (Z) - (V)M - (S*) - ** - *** - * - (L) - ** - *(L) - * - 1* - S***

1 2 3 4 5 6 7 8 9 10 11 12 13 14 15 16 17 18

1	Special seals Omit if not required. F3 Seals for fire retardant fluids F6 Seals for water glycol	7	Solenoid energization identity V Solenoid "A" is at port "A" end/for solenoid "B" is at port "B" end, independent of spool type. Omit for U.S. ANSI B93.9 standard requiring solenoid "A" energization to connect P to A and/or solenoid "B" to connect P to B, independent of solenoid location.
2	Motor power (sizes) DG4V4-01 Subplate mounting; solenoid operated. Pressure rating 315 bar (4570 psi) for ports P, A & B.	8	Flag symbol M Electrical options and features
3	Spool type 0 Open center (all ports) 1 Open center (P to A & T) B blocked 2 Closed center (all ports) 3 Open center (P & B blocked) A to T 6 Closed center (P blocked) A & B to T 7 Open center (P to A & B) T blocked 8 Tandem center (P to T) open crossover 11 Open center (P to B & T) A blocked 22 Closed center (two way) 31 Closed center (P & A blocked) B to T 33 Closed center, bleed A & B to T	9	Spool indicator switch S3 Switch, wired normally open S4 Switch, wired normally closed
4	Spool/Spring arrangement A Spring offset, end-to-end B Spring offset, end to center C Spring centered N No spring detented	10	Coil type Omit for plugin. U ISO 4400 (DIN 43650) mounting+ U1 Connector fitted U6 Connector fitted with lights KUPM4L Integral M12, 4-Pin connector refer to pages 14 - 16 for more information. ◆ Female connector to be supplied by customer.
5	Left hand build Omit if not required. L Omit for right hand build	11	Junction box with electrical connectors PA Insta-plug male receptacle only PB Insta-plug male & female receptacle PA3 Three pin connector PA5 Five pin connector PA4 Mini connector
6	Manual override options Omit if serviceable. Z No manual override	12	Junction box threads G G ½ BSP thread wiring housing J 20 mm thread wiring housing W 1/2" NPT thread wiring housing

Válvula direccional

Model code continued

F* - DG4V4-01 - ** - *(L) - (Z) - (V)M - (S*) - ** - *** - * - (L) - ** - *(L) - * - 1* - S***

1 2 3 4 5 6 7 8 9 10 11 12 13 14 15 16 17 18

13 Solenoid indicator lights
Omit if not required.

L Lights fitted

14 Coil rating (Standard power)
Omit for low power

A 110V AC 50 Hz
B 110V AC 50 Hz/120V AC 60 Hz
C 220V AC 50 Hz
D 220V AC 50 Hz/240V AC 60 Hz
DP 125V DC
ED 240V AC 50 Hz
G 12V DC
H 24V DC
NN 24V AC 50 Hz
OJ 48V DC
X 250V DC

15 Coil rating (Low power)*
Omit for standard power.

AL 110V AC 50 Hz
BL 110V AC 50 Hz/120V AC 60 Hz
CL 220V AC 50 Hz
DL 220V AC 50 Hz/240V AC 60 Hz
DML 80V DC
EDL 240V AC 50 Hz
NNL 24V AC 50 Hz
NVL 24V AC 60 Hz
PL 110V DC
XL 250V DC

*F6 seals not available with DC low power voltages.

16 Port T code

4 70 bar (1000 psi) (Low power)
5 120 bar (1750 psi) (Standard power)

17 Design number

Subject to change, installation dimensions remain as shown for design numbers 10 through 19.

18 Special features

S Special suffix

Válvula Check

SystemStak™ Direct Check Valves

DGMDC

General Description

These SystemStak valves are self-operating, spring loaded, poppet type single or dual check units.

Location of the check element can be in the "A", "B", "P" or "T" port.

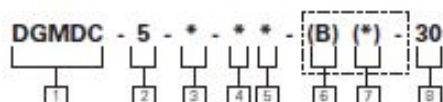
A check in the "P" port is available as a "Y" single check model only.

A check in the "T" port is available as an "X" single check model only.

The dual check unit has identical check elements in both the "A" and "B" ports.

Check valve cracking (opening) pressures of 1 bar (15 psi), 2,5 bar (35 psi) and 5 bar (75 psi) are available.

Model Code



1 Valve function

Manifold or subplate mounted check valve.

2 Interface

5 - ISO 4401-AC-05-4-A, CETOP RP35H, Size 5 ANSI/NFPA D05

3 Direction of flow

X - Free flow from actuator (load)
Y - Free flow to actuator (load)

4 Check location

A - Check in cylinder port "A"
("Y" models only)
B - Check in cylinder port "B"
("Y" models only)
P - Check in pressure port "P"
("Y" models only)
T - Check in tank port "TA"
("X" models only)

6 Cracking pressure

K - 1,0 bar (15 psi)
M - 2,5 bar (35 psi)
N - 5,0 bar (75 psi)

5 Check location: second function

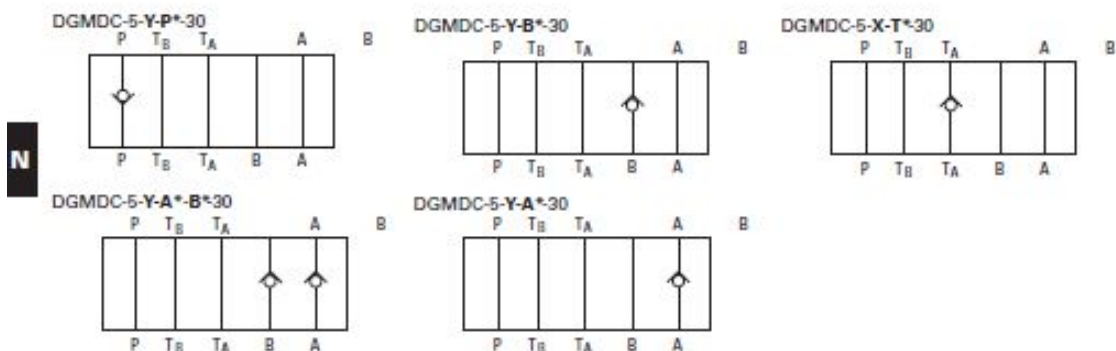
Omit for single check models.
B - Check in cylinder port "B"
(dual check models only)

7 Cracking pressure: second function

Omit for single check models.
K - 1,0 bar (15 psi)
M - 2,5 bar (35 psi)
N - 5,0 bar (75 psi)

8 Design number - 30 series

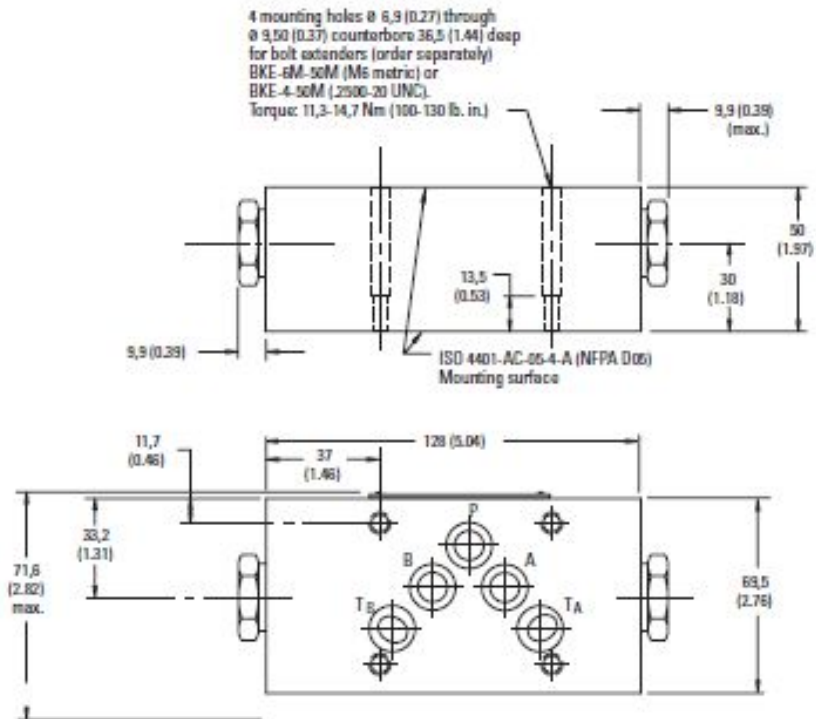
Subject to change. Installation dimensions unaltered for design numbers 30 to 39 inclusive.



Válvula Check

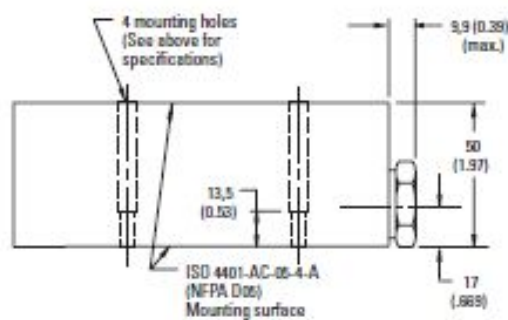
Installation Dimensions

DGMDC-5-Y-A*-B*-30
Dual Direct Check Valve
mm (inches)

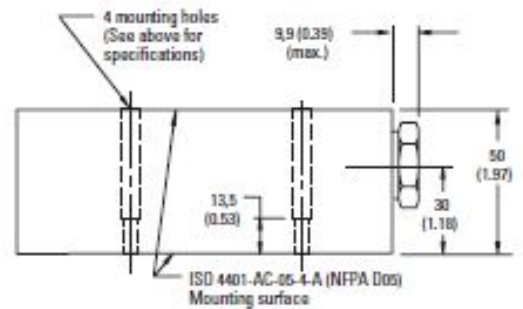


See page 38 for interface dimensions.

DGMDC-5-Y-P*-30
Single Direct Check Valve



DGMDC-5-X-T*-30
Single Direct Check Valve



Aceite hidráulico

Nuto H

Valores Típicos

Parámetro	Unidades	Valores			
GRADO de Viscosidad ISO		32	46	68	100
Viscosidad Cinemática @ 40 °C	(cSt)	30.1	40.5	69.4	93.8
Índice de Viscosidad		103	102	100	98
Punto de Fluidez o Escurrimiento	(°C)	-33	-21	-18	-18
Punto de Chispa o Inflamación	(°C)	220	230	254	260
Corrosión al Cobre, ASTM D 130		1 A	1 A	1 A	1 A
Contenido de Zinc, ASTM D 4951	(% peso)	0.043	0.044	0.043	0.042
Espuma, ASTM D 892					
Secuencia 1 Tendencia	(ml)	0	0	0	0
Estabilidad	(ml)	0	0	0	0

Los valores indicados son representativos de los obtenidos en producción; NO constituyen una especificación. En todos los casos puede haber un pequeño margen de variación.

SALUD Y SEGURIDAD:

Basados en la información disponible, este producto no debe producir efectos adversos a la salud cuando sea utilizado en la aplicación sugerida y se sigan las recomendaciones que aparecen en la Hoja de Datos de Manejo y Seguridad.

Las Hojas de Datos de Manejo y Seguridad están disponibles bajo solicitud a través de su oficina de ventas más cercana o por internet en el <http://www.essomobilit.com>.

Este producto no debe ser utilizado en algo diferente a lo recomendado.

Al disponer del producto usado, asegúrese de proteger el ambiente.

Fecha de actualización: enero de 2007

Filtro

Return Line Filters

OFR30 Series

Flows to 115 L/min (30 USgpm)
Pressures to 40 bar (600 psi)



Features and Benefits

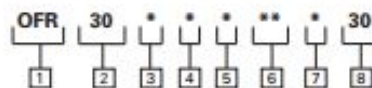
- OFR-30 conforms to HF3 specifications
- Flows to 115 L/min (30 USgpm)
- Visual indicator is standard
- Electrical indicator also available
- Bypass valve is standard
- Replacement elements available in C-Pak

DESIGN SPECIFICATIONS

Rated flow:	115 L/min (30 US gpm)	
Fluid compatibility:	Compatible with most petroleum oil, oil-in-water and water-in-oil fluids.	
Temp range:	-40°C to +107°C (-40°F to +225°F)	
Pressure rating:	Operating	40 bar (600 psi)
Bypass setting:	1.7 bar (25 psi)	
Material:	Head	Die cast aluminum
	Bowl	Carbon steel
Dry weight: (Approximate)	5,4 kg (12lbs)	

OFR30 Series Filter and Element Model Code

Sample model code:
OFR30SBC03M30



1 Filter Type - OFR

2 Flow Capacity

30 - 115 L/min (30 USgpm)

3 Port Options

B - G1 (formerly 1" BSPF) thread

F - 1" SAE 4-bolt flange Code 61

S - 1.3125-12 UN SAE-16 straight thread 1" O.D. tube

4 Seal Material

B - Buna

V - Viton

5 Element Construction

C - C-Pak (code 03, 05 10, 20)

X - no element

6 Fluid Cleanliness Rating

Code	Target Fluid cleanliness level
03	16/14/12
05	18/16/14
10	20/18/15
20	22/19/16
XX	no element

7 Delta Indicator Options

M - Mechanical 1.7 bar (25psi)

E - Electrical 1.7 bar (25psi)

8 Design

30 - Standard Design

Mangueras

TFD0021 **EN 853 2SN - DIN 20022 - exceed SAE 100 R2T**

D02N

Applicazioni:
Tubo 2 tracce per applicazioni alto - medie pressioni - Elevata resistenza all'ozono.



Application:
Two hose braid for high - medium pressure hoses - Superior ozone resistance.

Specifiche applicabili/ Applicable specs.:
DIN EN 853 2SN - DIN 20022
exceed SAE 100 R2T
Omologazioni/Type Approval:
GOST

Tubo interno: Gomma sintetica NBR, estrusa senza giunzioni e di spessore uniforme.
Internal hose: NBR, Synthetic rubber, extruded whole without joints, of uniform thickness.
Rinforzo: 2 tracce in acciaio ad alta resistenza.
Reinforcement: two high tensile steel wire braids.
Copertura esterna: Gomma sintetica NBR/PVC antiabrasiva resistente agli oli, carburanti ed agenti atmosferici.
External covering: NBR/PVC Anti-abrasive synthetic rubber, resistant to oils, fuels and atmospheric conditions.

Fluidi raccomandati:
Fluidi idraulici derivati dal petrolio, emulsioni acqua-glicole, lubrificanti.
Recommended fluid:
Hydraulic fluid petroleum based, glycol-water based, lubricant.
Temperatura di esercizio:
da -40 a +100°C
120° intermittente
Operating temperature range:
from -40 to +100°C
120° intermittent

part number	ID		size	OD	Max WP			Min BP		Min BR		Weight (approx)	
	in	mm			bar	psi	bar	psi	mm	inch	Kg/m	lb/ft	
	TFD0021-03	3/16"	4,8	03	13,5	415	6018	1650	23925	90	3,543	0,289	0,194
TFD0021-04	1/4"	6,4	04	15,0	400	5800	1600	23200	100	3,987	0,376	0,253	
TFD0021-05	5/16"	8,0	05	16,6	350	5075	1400	20300	115	4,528	0,412	0,277	
TFD0021-06	3/8"	9,5	06	19,0	330	4785	1320	19140	130	5,118	0,519	0,349	
TFD0021-08	1/2"	12,7	08	22,2	275	3988	1100	15950	180	7,067	0,630	0,423	
TFD0021-10	5/8"	16,0	10	25,4	250	3625	1000	14500	200	7,874	0,780	0,524	
TFD0021-12	3/4"	19,0	12	29,3	215	3118	850	12325	240	9,449	0,959	0,644	
TFD0021-16	1"	25,4	16	38,1	165	2393	650	9425	300	11,811	1,409	0,947	
TFD0021-20	1.14"	31,8	20	48,3	125	1813	500	7250	420	16,535	2,059	1,384	
TFD0021-24	1.12"	38,1	24	54,6	90	1305	360	5220	500	19,685	2,386	1,603	
TFD0021-32	2"	50,8	32	66,9	80	1160	320	4640	630	24,803	3,050	2,050	
TFD0021-40	2.12"	63,5	40	79,6	70	1015	260	4060	750	29,528	3,590	2,412	
TFD0021-48	3"	76,2	48	91,5	40	580	160	2320	880	34,646	3,180	2,137	

CARATTERISTICHE: Tubo NO-SKIVE - Pressioni di scoppio superiori alla norma - Prestazioni impulsi doppie rispetto alla normativa EN - Elevata resistenza all'abrasione, all'Ozono e agli agenti atmosferici
FEATURE: No skive hose - Exceed EN specification - Impulse tested up to double EN requirements - High abrasion resistance - High Ozone resistance

Manómetro

Economy Gauge, Lead Free Economy Gauge

PEM,
PEM-LF



Description & Features:

- Most economical, all-purpose pressure gauge
- 1.5" (40mm) to 4" (100mm) sizes
- Friction bezel rings
- Black steel case
- Brass or lead free brass wetted parts
- $\pm 3-2-3\%$ accuracy
- ASME B40.100 compliant
- CRN registered
- 5 year warranty

Applications:

- Plumbing, heating, air conditioning, pneumatic, hydraulic, water tanks, air compressors, OEM

Economy

Specifications	
Dial	1.5" (40mm), 2" (50mm), 2.5" (63mm), 4" (100mm) white aluminum with black and red markings
Case	Steel, painted black (plastic available)
Lens	1.5" (40mm), 2" (50mm), 2.5" (63mm): Acrylic 4" (100mm): Glass
Ring	1.5" (40mm), 2" (50mm): Steel, painted black 2.5" (63mm), 4" (100mm): Steel, chrome plated
Socket	PEM: Brass PEM-LF: Lead free brass
Connection	1/8" NPT or 1/4" NPT standard
Bourdon Tube	PEM: Phosphor bronze PEM-LF: Lead free phosphor bronze
Movement	Brass
Pointer	Aluminum, black
Welding	Silver alloy
Over-pressure Limit	25% of full scale value
Working Pressure	Maximum 75% of full scale value
Ambient/Process Temperature	-40°F to 150°F (-40°C to 65°C)
Accuracy	$\pm 3-2-3\%$ ANSI/ASME Grade B
Enclosure Rating	IP52

Bomba baja presión

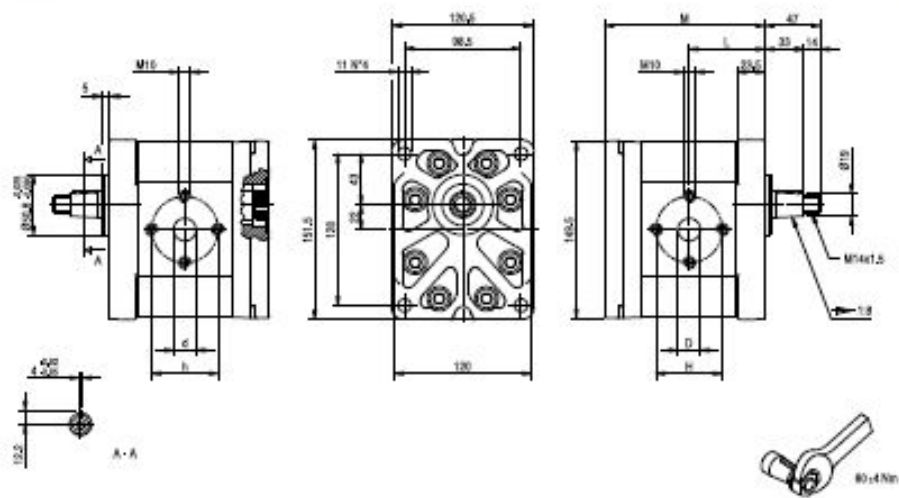
ALPA3

Parti accessorie a corredo della pompa standard: linguetta a disco (codice 522058), dado M14x1.5 (codice 523017), rosetta elastica sporcata (codice 523006).
 Parte standard: filetti M10 profondità utile 19 mm.

Accessories supplied with the standard pump: woodruff key (code 522058), M14x1.5 hexagonal nut (code 523017), washer (code 523006).
 Standard parts: M10 threads depth 19 mm.

MANDATA
 OUTLET

ASPIRAZIONE
 INLET



TIPO TYPE	CILINDRATA DISPLACEMENT	PORTATA a 1500 giri/min FLOW at 1500 rev/min	PRESSIONI MASSIME MAX PRESSURE			VELOCITÀ MASSIMA MAX SPEED	DIMENSIONI DIMENSIONS					
			P ₁	P ₂	P ₃		l	M	d	D	h	H
	cm ³ /giri (cm ³ /rev)	litri/min (l/min)	bar	bar	bar	giri/min (rpm)	mm	mm	mm	mm	mm	mm
ALPA3D30	20	29	230	250	270	3500	64	135,5	19	27	56	56
ALPA3D33	22	31	230	250	270	3500	64,5	136,5	19	27	56	56
ALPA3D40	26	37	230	250	270	3000	66	139,5	19	27	56	56
ALPA3D50	33	48	230	250	270	3000	68,5	144,5	19	27	56	56
ALPA3D60	39	56	220	240	260	3000	70,5	148,5	19	27	56	56
ALPA3D66	44	62	210	230	250	2800	72	151,5	27	27	51	51
ALPA3D80	52	74	200	215	230	2400	75	157,5	27	27	56	56
ALPA3D94	61	87	190	205	220	2800	78	163,5	27	33	51	62
ALPA3D110	71	101	170	185	200	2500	81,5	170,5	27	33	51	62
ALPA3D120	78	112	160	175	190	2300	84	175,5	27	33	51	62
ALPA3D135	87	124	140	155	170	2000	87	181,5	27	33	51	62

Bomba Alta presión

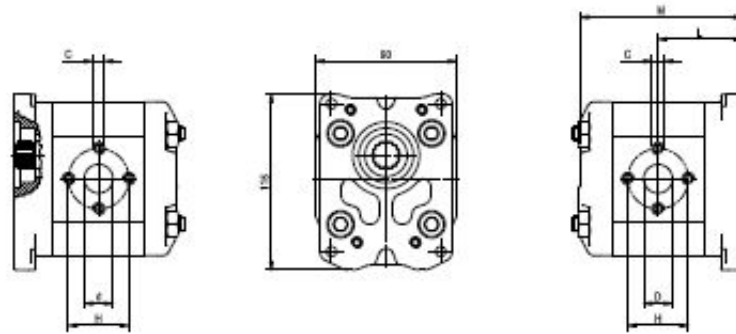
ALPP2

Parte standard: filett M6 profondità utile 13 mm, filett M8 profondità utile 17 mm.

Standard parts: M6 thread depth 13 mm, M8 thread depth 17 mm.

MANDATA
OUTLET

ASPIRAZIONE
INLET



TPO TYPE	CILINDRATA DISPLACEMENT	PORTATA a 1000 giri/min FLOW at 1000 rpm/min	PRESSIONI MASSIME MAX PRESSURE			VELOCITÀ MASSIMA MAX SPEED	DIMENSIONI DIMENSIONS					
			P ₁	P ₂	P ₃		L	M	Ø	D	C	H
	cm ³ /giri [cm ³ /rev]	litri/min [l/min]	bar	bar	bar	giri/min [rpm]	mm	mm	mm	mm	mm	mm
ALPP2-D6	4,5	6,4	250	270	290	4000	51,5	99,5	13	13	M6	30
ALPP2-D9	6,4	9,1	250	270	290	4000	53	102,5	13	13	M6	30
ALPP2-D10	7,0	10,0	250	270	290	4000	53,5	103,5	13	13	M8	40
ALPP2-D12	8,3	11,8	250	270	290	3500	54,5	105,5	13	13	M8	40
ALPP2-D13	9,6	13,7	250	270	290	3000	55,5	107,5	13	13	M8	40
ALPP2-D16	11,5	16,4	230	250	270	4000	57	110,5	13	19	M8	40
ALPP2-D20	14,1	20,1	230	250	270	4000	59	114,5	13	19	M8	40
ALPP2-D22	16,0	22,8	210	225	240	4000	60,5	117,5	13	19	M8	40
ALPP2-D25	17,9	25,5	210	225	240	3600	62	120,5	13	19	M8	40
ALPP2-D30	21,1	30,1	180	195	210	3200	64,5	125,5	19	19	M8	40
ALPP2-D34	23,7	33,7	180	195	210	3000	66,5	129,5	19	19	M8	40
ALPP2-D37	25,5	36,4	170	185	200	2800	68	132,5	19	19	M8	40
ALPP2-D40	28,2	40,1	170	185	200	2500	70	136,5	19	19	M8	40
ALPP2-D50	35,2	50,2	140	155	170	2500	75,5	147,5	19	21	M8	40

Motor eléctrico

MACHONES**TIPO DENTADO**

MASTER/Enero 2013

Sección 03

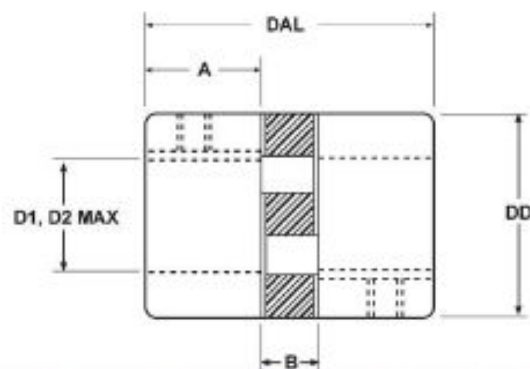
OLEOHIDRÁULICA

DESCRIPCIÓN

Este diseño elimina la necesidad de volver a desmontar motor o unidad conducida evitando así el desaliniamiento ahorrando una cantidad notable de tiempo de la mantención.
El elemento de unión es cubierto con una venda de acero.

USO

- Para bombas oleohidráulicas.

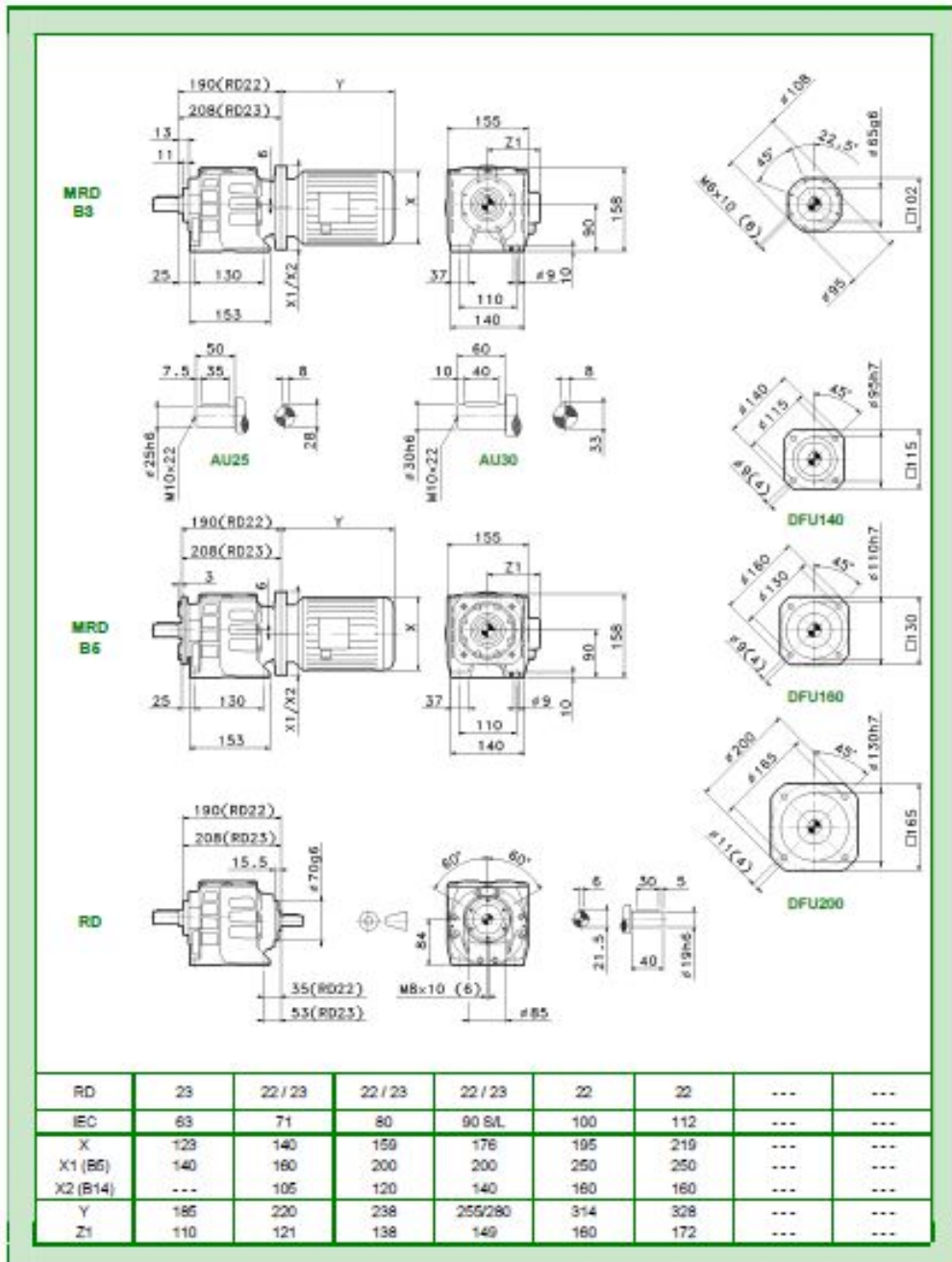


Códigos		Catálogo	Torque nominal NM	HP A 1450 Rpm	DAL	D D	Perforación max. D1,D2		A	B
SAP	Dígito						Pulg.	Mm		
3002400	0326111	SWJW095	21,92	3	2,480"	2,560"	1,102"	27	1,000"	0,500"
3002401	0326112	SWJW099	35,93	5	2,835"	3,070"	1,181"	30	1,060"	0,750"
3002402	0326113	SWJW110	89,48	14	4,252"	3,780"	1,654"	42	1,690"	0,875"
3002403	0326114	SWJW150	140,10	31	4,528"	4,370"	1,890"	48	1,750"	1,000"
3002404	0326115	SWJW190	195,00	30	5,236"	5,079"	2,362"	60	2,125"	1,000"
3002405	0326116	SWJW225	264,40	40	6,024"	5,600"	2,560"	65	2,500"	1,000"

Repuestos

Códigos		Catálogo	Usar con
SAP	Dígito		
3002827	0326120	FBS-CM25E	SWJW095
3002828	0326121	RM5-200-1	SWJW099
3002829	0326122	RM5-200-3	SWJW110
3002830	0326123	RM5-4001	SWJW150
3002831	0326124	RM5-4002	SWJW190
3002832	0326125	RM5-4003	SWJW225

**Motoreductor**



Sensor nivel

Interruptor de nivel AKO-5335 para áridos Level limit switch AKO-5335 for solids

1- Utilización

El interruptor de nivel AKO-5335 se utiliza en la señalización, control y regulación de nivel, de productos en forma de grano o polvo, con un diámetro máximo de 15 mm que fluyan por un silo, tolva o conducto.

El aparato detecta particularmente la presencia o la ausencia de producto a su nivel.

2- Instalación y montaje

Normalmente se instala roscado a la pared lateral del depósito a la altura que se desea detectar el nivel. Puede instalarse también en posición vertical.

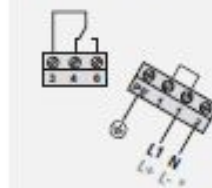
La caja debe quedar posicionada de tal forma que la entrada de cables quede en la parte inferior.

Cuando se utiliza para detectar un nivel mínimo y la paleta está sometida a una sobrecarga debido a la densidad del producto, la altura del mismo, no deberá rebasar los 5 m para una densidad de hasta 0,6 g/cm³. Para cargas superiores, puede protegerse con un tejadillo de unos 200 mm de anchura, situado como mínimo a unos 250 mm por encima del eje de giro.

CONEXIÓN / CONNECTION

La conexión eléctrica deberá realizarse según se indica en el esquema:

See diagram for the electrical connection



Bornes

- 3-4 Contacto normalmente cerrado.
(Se abre al frenar la paleta)
- 3-6 Contacto normalmente abierto.
(Se cierra al frenar la paleta)

Terminales

- 3-4 Contact normally closed
(It opens when the blade is stopped)
- 3-6 Contact normally open
(It closes when the blade is stopped)

*Solo / Only AKO-5335/24VDC

¡IMPORTANTE! Retirar la protección de poliestireno del interior del equipo antes de la instalación.

PRECAUCIÓN

No rotar la paleta a mano, se avería el reductor.

Debe evitarse la caída directa del producto sobre la paleta giratoria.

Cuando se utiliza para detectar un nivel mínimo o intermedio, debe protegerse la paleta giratoria con el tejadillo indicado en las instrucciones de instalación. De no tenerse en cuenta las instrucciones de utilización y estas precauciones, pueden provocarse deformaciones, quedando ANULADA LA GARANTÍA.

1- Application

The AKO-5335 level switch is used for indicating, controlling, and regulating the level of granulated or powdered dry materials with a grain diameter up to 15 mm flowing through a silo, hopper or conduit.

The device specially detects the presence or absence of product at its level.

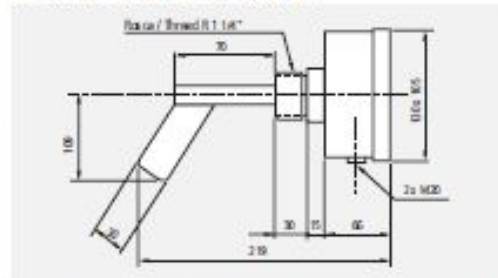
2- Installation and mounting

For installation, the device is generally screwed onto the side container wall at the height where level detection is required. It can be also mounted in vertical position.

The box must be positioned so that the cable entry is in its lower part.

When it is used to detect a minimum level and the blade is subjected to an overload due to the material density, the product level must not surpass the blade position by more than 5 m for a density of up to 0,6 g/cm³. For higher loads the blade can be protected by a shield about 200 mm wide, installed at least 250 mm above the shaft of rotation.

DIMENSIONES EN mm / DIMENSIONS IN mm



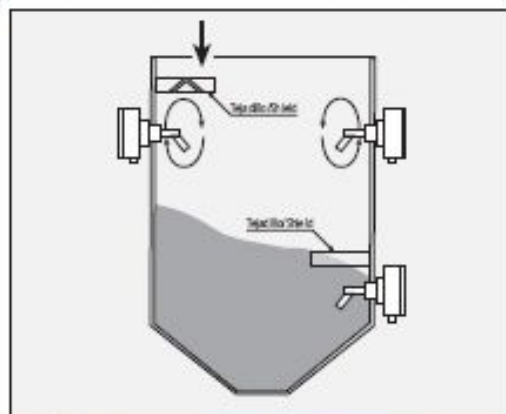
¡IMPORTANTE! Retirar la protección de poliestireno localizada dentro del equipo antes de la instalación.

CAUTION

Do not turn manually the blade; the speed reducer could be damaged.

Direct falling of product against the rotating blade must be avoided.

When it is used to detect a minimum or halfway level, the rotating blade must be protected by the shield advised in the operating instructions. The non-observance of the operating instructions and these cautions may cause deformations: **CANCELING THE GUARANTEE.**



Presostato

HYDRAULIC PRESSURE SWITCHES

Piston type

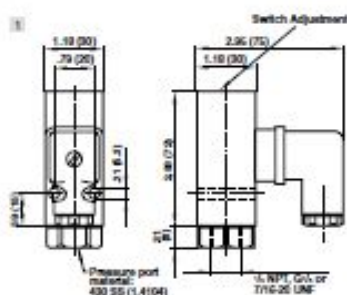
70 to 6100 psi



- Adjustable setpoint
- Gold-plated contacts
- Vibration resistant to 15 g
- Microswitch approved by UL and CSA

TECHNICAL DATA

- Medium**
Hydraulics, lubricating and light fuel oils
- Operating pressure**
70 to 6100 psi
- Over pressure**
5800 psi,
08824xx: 6700 psi
- Ambient temperature**
-4°F to 175°F (-20°C to +80°C)
- Viscosity**
Up to 1000 mm²/s (+650 ssu).
- Fluid temperature**
-4°F to 175°F (-20°C to +80°C)
- Repeatability**
±3%
- Electrical connection**
DIN 43 650
- Switching element**
Microswitch
- Degree of protection**
IP 65



Models

Hydraulic Model No.	Port size	Type	Pressure range psi (bar)	Switching pressure difference psi* (bar)	Dimension Drawing No.	Thread NPT	Tube Size	Straight Fitting	90° swivel elbow
0882119	1/4-20 UNF	female	70 - 1015 (5 - 70)	152 (10.5) 218 (15)	1	-	-	NA	NA
0882120	1/4 NPT	female	70 - 1015 (5 - 70)	152 (10.5) 218 (15)	1	1/4"	3/8"	C26250428	C26670428
0882219	1/4-20 UNF	female	150 - 2320 (10 - 160)	168 (11) 267 (17)	1	-	-	NA	NA
0882220	1/4 NPT	female	150 - 2320 (10 - 160)	168 (11) 267 (17)	1	1/4"	3/8"	C26250428	C26670428
0882319	1/4-20 UNF	female	340 - 3600 (25 - 250)	168 (11) 267 (17)	1	-	-	NA	NA
0882320	1/4 NPT	female	340 - 3600 (25 - 250)	168 (11) 267 (17)	1	1/4"	3/8"	C26250428	C26670428
0882420	1/4 NPT	female	580 - 6100 (40 - 420)	267 (17) 508 (35)	1	1/4"	3/8"	C26250428	C26670428

Note: Switches are supplied with DIN 43650 mating connector.
* Switching pressure difference (by circuit) is not adjustable. Typical values are shown.
Caution: Observe switching range. Do not subject switch to maximum allowable pressure during normal operation. Even short pressure peaks must not exceed this value.

Electrical Information

Electromagnetic compatibility	CE marked: conforms to EC requirements EN 50081-2 (1994) and EN 50082-2 (1995)
Electrical input signal	4 to 20 mA or 0 to 10 V factory set
Electrical power input	24 V d.c. ±25% (power consumption < 1 W)
Output pressure feedback signal	0 - 10 V full range or user-configurable switched output
Connections	DIN 43650 or Brad Harrison connection for feedback output

Pin configuration



Service - Quality - Delivery

NorgrenExpress.com - 1.800.514.0129 - Help@NorgrenExpress.com

Express

PSC-7

Sensores de proximidad cilindros

**HIDRAULIC
CYLINDERS**

Technical data of the proximity sensors

Technische Daten der Näherungsschalter

Caractéristiques techniques pour les détecteurs de proximité

CARACTERÍSTICAS TÉCNICAS DE LOS DETECTORES DE PROXIMIDAD

Switching distance Schaltstrecke Distancia de conmutación	mm	0 + 1,2
Repeatability Reproduzierbarkeit Reproducibilità Repetibilità	mm	± 0,075
Operating temperature Betriebs temperatur Temperatura de servicio Temperatura de trabajo	°C	-25 + +70
Output switching Ausgangsschaltung Connexion de sortie Conmutación de salida		PNP normally open (NO) PNP Schließer (NO) PNP normalmente abierto (NO) PNP normalmente abierto (NO)
Switch operation Schaltfunktion Opération de conmutation Tipo de conmutación		"make" contact Schließer Contacteur Contactor
Operating voltage (ripple on DC supply ≤ 15%) Betriebsspannung (mit Schwelligkeit ≤ 15%) Tension de service (ondulation relative ≤ 15%) Tensión de trabajo (rizado ≤ 15%)	VDC V.c.c	10 + 30
Current carrying capacity for sensor Strombelastbarkeit bei Näherungsschalter Courant de charge admissible du détecteur Corriente de carga admisible del detector	mA	≤ 100 inductive/1.30 ohmic ≤ 100 induktiv/1.30 ohmisch ≤ 100 inductif/1.30 ohmique ≤ 100 inductiva/1.30 ohmica
Load for sensor Last bei Näherungsschalter Charge du détecteur Carga máxima del detector	Ω	≤ 200
Protection class DIN 40050 Schutzart nach DIN 40050 Clase de protección según DIN 40050 Tipo de protección DIN 40050		IP 68/500 bar at the active face IP 68/500 bar an der aktiven Fläche IP 68/500 bar a la face active IP 68/500 bar en la cara activa
Connection method Anschlussart Type de connexion Tipo de conexión		Plug (with 5 m cable) Stecksteck (mit 5 m Kabel) Connecteur (avec 5 m de câble) Conector con 5 m de cable
		5 m molded-in cable 5 m Kabel fest eingegossen 5 m de cable moulé dans le moulé 5 m de cable apantallado
Maxim. permissible pressure Max. zulässiger Druck Pression max. admissible Presión máxima admisible	bar	500

Arrangement of cables
Kabelbelegung
Arreglo de cables
Especificación de cables

Plug connection
Steckanschl.ung

Version with cable
Version avec câble
GEB616-800-616-84

Version without connector
Version sans connecteur

Output shown in non-actuated condition
Schaltfunktion in unbetriebsfähigem Zustand gezeichnet
Opération de conmutation dessinée dans l'état non atténué
Características de conmutación en un medio no atenuante

Cable connection
Kabelanzl.ung

Version with cable
Version avec câble
GEB616-800-616-82

	25	32	40	50	63	80	100	125	160	200
mm	12	16	22	28	36	45	56	70	88	110
A	55	68	84	105	132	165	205	255	315	395
B	62	81	101	127	162	202	252	312	382	472

Plug arrangement
Steckbelegung
Arreglo de conectores
Especificación conector

GKS-S20-4/5

View on plug pins
Ansicht auf Steckerseite
Vue des contacts mâles
Vista por lado de pins

Sensor de proximidad inductivo

Autonics



SENSORES DE PROXIMIDAD INDUCTIVOS

- Alimentación 10-30 VDC
- Salida Transistor con 200mA Máx.
- Histéresis 10% de la distancia de detección.
- Protección IP67
- Operación Máxima 250 Hz
- Largo de cable 2 m.
- Pantalla roscada según diámetro

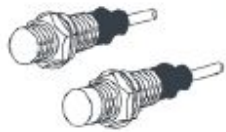
OBSERVACIONES :

Sensibilidad según el material:

Acero	100 %.
Acero Inoxidable	60 %.
Bronce	40 %.
Aluminio	30 %.
Cobre	28 %.

Código Rhona	Código Fabricante	Diámetro (mm.)	Distancia (mm.)	Tipo de Salida	Conexión	Obs.
06 12 01	FR12-2 DN	12	2	NA	NPN	c/pantalla
06 12 02	FR12-4 DN	12	4	NA	NPN	c/pantalla
06 12 04	FR15-5 DN	18	5	NA	NPN	c/pantalla
06 12 05	FR15-8 DN	18	8	NA	NPN	c/pantalla
06 12 06	FR30-10 DN	30	10	NA	NPN	c/pantalla
06 12 07	FR30-15 DN	30	15	NA	NPN	c/pantalla
06 12 08	FR12-2 DP	12	2	NA	PNP	c/pantalla
06 12 09	FR12-4 DP	12	4	NA	PNP	c/pantalla
06 12 10	FR15-8 DP	18	8	NA	PNP	c/pantalla
06 12 11	FR15-5 DP	18	5	NA	PNP	c/pantalla
06 12 12	FR30-10 DP	30	10	NA	PNP	c/pantalla
06 12 13	FR30-15 DP	30	15	NA	PNP	c/pantalla
06 12 20	FR15-5 DP2	18	5	NC	PNP	c/pantalla
06 12 21	FR15-8 DP2	18	8	NC	PNP	c/pantalla
06 12 22	FR30-10 DP2	30	10	NC	PNP	c/pantalla
06 14 01	FR12-2 DN2	12	2	NC	NPN	c/pantalla
06 14 02	FR12-4 DN2	12	4	NC	NPN	c/pantalla
06 14 04	FR15-5 DN2	18	5	NC	NPN	c/pantalla
06 14 05	FR15-8 DN2	18	4	NC	NPN	c/pantalla
06 14 06	FR30-10 DN2	30	10	NC	NPN	c/pantalla

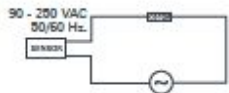
SENSORES DE PROXIMIDAD INDUCTIVOS



CORRIENTE ALTERNA

- Alimentación 90/250 VAC 50/60 Hz.
- Salida 100 mA máx inductiva.
- Histéresis 10% de la distancia de detección.
- Grado de protección IP67
- Frecuencia operación máxima 20 Hz.
- Largo del cable 2 m.
- Pantalla roscada según diámetro.

TIPO DE CONEXION



Código Rhona	Código Fabricante	Diámetro (mm.)	Distancia (mm.)	Tipo de Salida	Obs.
06 16 04	FR15-5 AC	18	5	NC	c/pantalla
06 16 05	FR30-10 AC	30	10	NC	c/pantalla
06 16 04	FR15-5 AO	18	5	NA	c/pantalla
06 16 05	FR30-10 AO	30	10	NA	c/pantalla

PLC



FATEK®

**PLC FBS-20MA
FATEK SERIE**

El modelo Básico MA fue diseñado para realizar trabajos especializados en Industrias. Fatek provee de PLC's compactos y económicos para administrar mejor los espacios y se caracterizan por aportar una mayor rentabilidad a sus proyectos con la calidad que solo los productos importados por DBTEK les pueden dar. Somos los representantes legales e importadores exclusivos de la marca FATEK.

PLC FBS-20MA

Descripción Básica

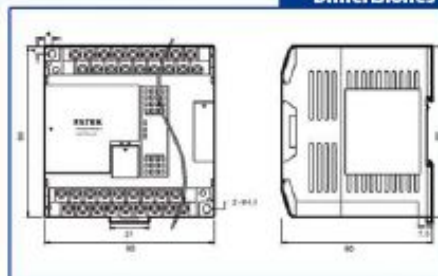
Entrada digital 24 VDC	Alta velocidad (100 ms)	2	Total: 12
	Medio alta velocidad (20 ms)	4	
	Medio velocidad (5 ms)	6	
Dimensiones	Alto, Ancho, Largo	9 cm / 9 cm / 8 cm	
Alimentación	Alterna / continua	110 a 220 V / 12 ó 24 V	
Salida	Relé	8	
Sujeción		Riel Din o Tornillos	
Expansión	Comunicación	Solo Tarjeta	2 puertos (RS232, RS485 o Ethernet)
	Entradas y salidas	Modular y Tarjeta	Máx. 256 Salidas Digitales, Máx. 256 Entradas Digitales, Máx. 64 Entradas analógicas y Máx. 64 Salidas analógicas (Consulte por fuentes de alimentación para módulos Derecha)
Modificaciones posibles		Cambio de fuente de alimentación a 12 ó 24 VDC (por defectos de 110 a 220 VAC) Cambio de salida de Relé a Transistor (por defectos de Relé)	
Programación y/o Comunicación		Puerto 0, Puerto Mini-Din Cable no incluido	

Características físicas y efectos eléctricos

COD:0100005

Temperatura ambiental	Operación en:	
	Espacio abierto	5 a 40 ° C
	Espacio cerrado	5 a 55 ° C
	Almacenaje	-25 a 70°C
Humedad relativa		5 a 95 % No condensada
Protección		IP20
Resistencia a la corrosión.		Según IEC-68 Standard
Altitud		Inferior a 2.000 Metros
Consumo		36 W
Señal de entrada a 24 VDC	Corriente Máx.	Alta Velocidad: 10,5 mA Media velocidad: 7,6 mA
	Sensor	NPN o PNP / Solo un tipo de sensor
Salida	Volt. de operación	0 - 30 VDC / 0 - 250 VAC
	Corriente Máx.	Resistivo: 2 A por contacto o 4 A por común Inductivo: 80 VA en alterna 24 VA en continua
Fusible de protección interna	AC:	2A, 150V
	DC:	12 V: 5A, 125V 24 V: 2,5 A, 125V

Dimensiones



Modulo de expansión



FATEK

FBS-16XYR

COD:0100041

Módulo de Expansión derecha 16XYR

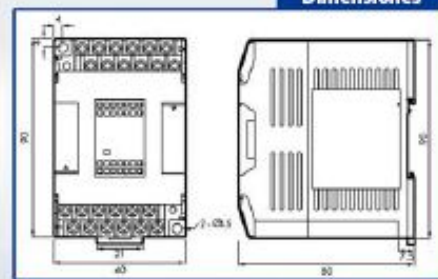
DBTEK presenta los módulos de expansión derecha entradas y salidas digitales. Es compatible solamente con los PLC Series FBS desde el 20. Somos los representantes legales e importadores exclusivos de la marca FATEK.

FBS-16XYR

Descripción Básica

Clasificación de módulo		Módulo expansión derecha entradas y salidas digitales
Entrada digital 24 VDC	Baja velocidad (210 Hz)	8
Salida	Relé	8
Alimentación	Ninguna	Utiliza cable BUS para funcionar
Comunicación al PLC		Cable BUS de 4 cm (Cable incluido en el módulo)
Dimensiones	Alto, Ancho, Largo	9 cm / 6 cm / 8 cm
Sujeción		Riel Din o Tornillos

Dimensiones



Efectos eléctricos

Consumo			2 W
Señal de entrada a 24 VC	Corriente máx.		4,5 mA
	Sensor		NPN o PNP, solo un tipo de sensor por módulo o PLC
Salida Relé	Voltaje de operación		0 a 30 VDC / 0 a 250 VAC
	Corriente máx.	Resistivo	2 A por contacto / 4 A por común
		inductivo	80 VA en alterna / 24 VA en continua

Vista del producto



Características físicas

Temperatura ambiental	Operación en:	
	Espacio abierto	5 a 40 °C
	Espacio cerrado	5 a 55 °C
	Almacenaje	-25 a 70 °C
Humedad relativa	5 a 95 % No condensada	
Protección	IP 20	
Resistencia a la corrosión	Según IEC-68 Standard	
Altitud	Inferior a 2.000 Metros	

ANEXO C

Cotizaciones

Cilindros hidráulicos

OFERTA
N. 20161803

Página 1 de 1
Fecha : 21/09/16

SUAREZ & HIJOS

Ref Comercial : JOSE MANUEL GIRALDEZ
Ref Técnica : JOSE MANUEL GIRALDEZ

Su ref.:
A la atención de :

SEÑORES:

Atendiendo a su consulta de referencia, sometemos a su apreciación nuestra oferta compuesta de los elementos y condiciones que se detallan:

POS.	CANTIDAD	DESCRIPCION	PRECIO	IMPORTE
1	1,00	KDX-125/80-545-A201-M-F-1-0 cilindro especial	1.655,00	1.655,00
2	1,00	KDX-320/200-177-E201-M-F-1-0 cilindro especial	11.970,00	11.970,00
3	1,00	KDX-50/32-625-E201-M-F-1-0 cilindro especial	730,00	730,00
4	1,00	KDX-50/32-169-E201-M-F-1-0 cilindro especial	685,00	685,00
COND. COMERCIALES				
- PLAZO: 6 SEMANAS				
- VALIDEZ: HASTA EL 31-10-16				
- PINTURA: STANDARD(Supl por pintura especial)				
- INCOTERMS: EXWORKS GLUAL ESPAÑA				
- FORMA DE PAGO: A NEGOCIAR				
Portes : Debidos				
GARANTIA,				
12 Meses desde la salida de fábrica o en su caso a partir de la comunicación al cliente de su libre disposición de recogida en nuestras instalaciones.				
Comprende la reposición o reparación de los elementos defectuosos a realizar en nuestros talleres				
Se excluye de la garantía las averías producidas por mal uso o deficiente instalación, averías provocadas por sometimiento de los equipos a esfuerzos anormales con fines experimentales, de ajuste o de prueba.				
Si el cliente desea que la reparación se realice en la planta o lugar donde se hallen instalados los equipos, serán de su cuenta los gastos originados, según tarifas vigentes de prestación de personal aprobadas por AIFTOP.				

CONDICIONES DE VENTA SUJETAS A LAS INDICADAS EN LA WEB www.glual.com EN EL APARTADO DE CONDICIONES GENERALES

Forma Pago :

TOTAL €

15.040,00

GLUAL HIDRAULICA S.L CIF: B-20861688

PLC y modulo de expansión



ETRONICS LTDA.
R.U.T: 76.235.440 - 3 / Giro: Automatización
Dirección: Av Matta #627, Santiago
Teléfono: +56 2 2634 9283

Transferencias Bancarias
BANCO SANTANDER
Etronics Ltda.
Cta. Cte. N° 07-17526-4

COTIZACION N° 297
FECHA: 13-10-2016
PAG. : 1

Nombre Cliente: Jose Eduardo Muñoz Contratista E.I.R.L.
R.U.T.: 76.361.591-K Fonos: 569 6170 7715
Dirección: Pasaje 1 Lote b33 Paradero 11 1/2
Email: pablomella.suarezmantenimiento@gmail.com

At. Sr.: Pablo Mella
Ciudad: VALPARAISO Comuna: VILLA ALEMANA
Giro: Contratista Servicios Electricos y Obras Meno

CODIGO	DESCRIPCION	CANTIDAD	PRECIO	DESCTOS.	TOTAL
100005	FBS-20MAR2-AC-->12 ENTRADAS 8 SALIDAS RELAY, RS232,	1	150.956		150.956
100041	FBS-16EA-->8 ENTRADAS 8 SALIDAS RELE, EXPANSION	1	95.878		95.878

NETO: 246.834
I.V.A.: 46.898
TOTAL: 293.732

Notas:
Forma de Pago: TRANSFERENCIA
Vendedor: EMPRESA
Entrega: Inmediata en Oficinas de DBTEK

Sensor de nivel tolva

VETO Y COMPAÑÍA LIMITADA

Ciro: Ventas al por menor de otros productos en almacenes no especializados N.C.P


 INSTRUMENTACION INDUSTRIAL
 SAN EUGENIO 567 - BUÑOA
 SANTIAGO - CHILE
 C.P. 7780008 - CASILLA 10289
 FONOS: +56-2-23354400 - FAX: +56-2-23354455

RUT: 82.525.800-0

COTIZACION N°

83.599

Fecha: 14/10/2016

 CUENTE : JOSE EDUARDO SUAREZ MUNOZ CONTRATISTA E.I.R.L.
 FONDO :
 MAIL : pablomella.suarezmantenimiento@gmail.com
 ATENCION : PABLO MELLA
 REFERENCIA : SOLICITUD WEB 36639

RUT : 76361584-K

#	CODIGO	DESCRIPCION	CANT.	PRECIO LISTA	% DCTO.	PRECIO OFERTA	SUBTOTAL
1	N0246114	Switch de nivel con Paleta Rotativa, temp. -20H50 C, 220V/2 A	1,00	188.577	15,00	160.290	160.290
2	W0338207	Despacho Chilexpress V REGION; No Reembolsable	1,00	19.182	0,00	19.182	19.182

**** VALORES EN PESOS, NO INCLUYEN IVA ****

Forma de Pago : Contado contra entrega
 Para otras formas de pago y sus descuentos contáctese con el vendedor.

Validez Cotización : 15 días corridos.

Plazo de Entrega : Inmediata, (Cantidad sujeta a venta previa).

Lugar de Entrega : En nuestras oficinas.

Despachos : VETO mantiene contratos con empresas de transporte para el despacho de mercadería en todo el territorio nacional ya sea a domicilio o hasta las oficinas de la empresa de transportes, según infraestructura disponible en destino. Los despachos contratados y pagados a VETO están asegurados contra daños o pérdida durante el transporte.
 Tiempo estimado recepción: RM, III-XIV: 2 días hábiles; I, II, XI, XII, XV: 3 días hábiles.
 El despacho contratado directamente por el cliente es de su exclusiva responsabilidad en cuanto a coordinación de retiro, entregas, seguros, reclamos, etc. La empresa de transportes contratada por el cliente, debe retirar la mercadería desde nuestras oficinas.

IMPORTANTE : PARA SU COMPRA DEBE PRESENTAR RUT ORIGINAL O FOTOCOPIA LEGALIZADA
 INDICAR N° DE COTIZACION EN SU ORDEN DE COMPRA
[INFORMACION PARA TRANSFERENCIAS Y DEPOSITOS](#)

Salude atte. a Uds.

MIGUEL OYARCE O.

Directo (+56) 22355 4487

ventas.distribuidores@veto.cl - www.veto.cl



Presostato , manómetro y machón de acoplamiento

Proyectos y Componentes de Ingeniería Industrial

Cleohidráulica, Neumática, Componentes Eléctricos, Equipos de Vacío y Presión, Ensayos No Destructivos, Instrumentación y Control de Procesos Industriales.



COTIZACION N° 191816

Fecha: 14/10/2016

Cliente: Jose Eduardo Suarez Muñoz Contratista EIRL.

Rut: 76.361.591-K

Dirección: Pasaje 1 lote 33 paradero 11 1/2

Ciudad: VALPARAISO

Contacto: Pablo Mella Mora

Fax:

E-mail: pabloomella.suarezmantenimiento@gmail.com

Fono: 961707715

Válida Hasta: 14/11/2016

Forma de pago:

Contado

Número de artículo	Descripción	Digito	Cantidad	Preco	Total
1000219	PRESOSTATO MECANICO RANGO 580-6100PSI/40-420BAR, CONEX 1/4 BSP	00102131	2	\$ 84.689	\$ 169.378
3002402	TRANSMISION DE POTENCIA MACHONES DE ACLOPLAMIENTO ACOPLER DE ESTRELLA	00326113	1	\$ 51.078	\$ 51.078
4000381	MANOMETRO BRONCE INOXIDABLE 63mm SERIE LF A 4000 PSI ATRAS 1/4NPT AC INOX 304	00409548	1	\$ 9.000	\$ 9.000

Importadora Técnica Vignola S.A. Rut:93.075.000-K.

Observación: **Salvo venta previa**

ITEM 1: PLAZO DE ENTREGA 3 DIAS

ITEM 2 :ENTREGA

INMEDIATA

ITEM 3 : PLAZO DE ENTREGA 1 DIA HABIL

Neto	\$ 229.456
Impuesto	\$ 43.597
Total	\$ 273.053

Alimentador de tornillo



Ingeniería VDM Ltda.

Av. Vicuña Mackenna #7255, Oficina #905
 La Florida - Santiago - Chile - vdm@gtb.cl
 Tel +562 294 5431 - Fax +562 294 5433
 RUT : 78.999.070-0
 GIRO : Ingeniería y Montaje

Cotización

5538

Pag. 1/1

Fecha Cot.: 17/10/2016	Fax Cliente:	Referencia: Sin Fin Canoa
Cliente: Jose Eduardo Suarez Muñoz Contratista E.I.R.L Jose Eduardo Suarez Muñoz Contratista E.I.R.L Pasaje 1 lote 33 paradero 11 1/2 Villa Alemana		Plazo Entrega: Ver Nota
		Validéz: 16/11/2016
At. Señor/s: Pablo Mella S.		Lugar Entrega: Nuestras Bodegas en El Monte
		Forma Pago: Ver Nota

Cant.	Descripción	P. Unit.	Desc.%	Suma
1	Producto : Aserrín Densidad : 208 Kg/m3 Humedad : Menor al 12% Tornillo sinfin Tipo Canoa - Diámetro: 250 mm - Longitud: 1500mm - Material: Acero Carbono - Transmisión por acople directo No incluye: - Traslado y Embalaje - Montaje Mecánico y Eléctrico	1.844.039,00		1.844.039,00

Valores expresados en \$		Subtotal	1.844.039,00
Las especificaciones técnicas y condiciones comerciales contenidas en este documento se consideran aceptadas al emitir el cliente la correspondiente Orden de Compra		IVA	350.367,00
_____ Nicolas Olivera		Valor Total	2.194.406,00

IMPORTANTE : AL EMITIR SU ORDEN DE COMPRA DEBE HACER REFERENCIA A ESTA COTIZACION

Bomba

UTECSA

COTIZACION 0000022055
FECHA: 18/10/2016

UNDURRAGA TECNICA Y COMERCIAL S.A.
RUT: 76.725.870-4
E-mail : ventas@utecsa.cl

Fono/Fax:: 551 3842

Nombre: **CLIENTE NUEVO**
RUT: 00.000.001-9

FONO:

AT. Sr.: PABLO MELLA

REF :

CANT	UNID	DESCRIPCION	V. UNIT	% DCTO	TOTAL
1	UN	BOMBA ENGRANAJES 40CM3/REV SERIE 1	223.413	0,0	223.413
1	UN	FLANGE 3/4" (RG20043) DP=40	12.460	0,0	12.460
1	UN	FLANGE 3/4" (RG30043) DP=51	14.798	0,0	14.798

PRECIOS NETOS + IVA
FECHA DE ENTREGA : **INMEDIATA**
VALIDEZ DE LA COTIZACION : **15 DIAS**
MATERIAL PUESTO EN N/BODEGAS
CONDICIONES DE PAGO : **CTDO.**

NETO: 250.671
IVA: 47.627
TOTAL: 298.298

NOTAS :

LUIS LEIVA HENRIQUEZ

Válvulas



COTIZACIÓN





EMPRESA: JOSE EDO. SUAREZ CONTRATISTA EIRL

CONTACTO: Sr. PABLO MELLA MORA

DUCASSE COMERCIAL LTDA.

N° PETICIÓN:

CÓDIGO INTERNO CLIENTE: 76381591

RUT: 93.441.000-9

FECHA: 21-10-2016

NREF. INTERNA: 2016-155

2 2335 71 000

CENTRO:

Av. Lib.B.O'Higgins 1460, Piso 9.

ENTREGA (en días):

MONEDA:

Item	N° de Parte	Descripción	Unidad	Cantidad	Marca	Entrega (en días)	Moneda	Precio Unit.	Total	Observaciones					
1		MANGUERA 2783-1D	Mts.	8	MM	1	\$	6.520.00	52.160.00						
2		VALVULA DGMCS-PT-GW-B-30	c/u.	1	EATON	1	\$	249.320.00	249.320.00						
3		VALVULA DGMCS-PT-FW-B-30	c/u.	1	EATON	1	\$	249.320.00	249.320.00						
4		VALVULA DGMFN57-A1W-B1W-30	c/u.	1	EATON	1	\$	140.620.00	140.620.00						
5		VALVULA DGMDC-5-Y-BK-30	c/u.	1	EATON	1	\$	31.220.00	31.220.00						
<table style="margin-left: auto;"> <tr> <td>Neto</td> <td>722.540.00</td> </tr> <tr> <td>IVA</td> <td>137.282.60</td> </tr> <tr> <td>Total</td> <td>859.822.60</td> </tr> </table>										Neto	722.540.00	IVA	137.282.60	Total	859.822.60
Neto	722.540.00														
IVA	137.282.60														
Total	859.822.60														

Cotización válida por 7 días.











DIVISIÓN:

COTIZADOR: MARTIN GARATE

TELÉFONO: 22-5770202

RODAMIENTOS / TRANSMISIONES / REDUCTORES / ACOPLAMIENTOS Y FRENOS / MOTORES / MANGUERAS / POTENCI HIDRAULICA / CORREAS Y POLEAS / MANEJO DE MATERIALES / DAT ASISTENCIA TECNICA

WWW.DUCASSE.CL

Maquina briquetadora WEIMA



Detalle equipo briquetador

Dentro de la serie TH hay muchas versiones que tienen relación con el volumen de producción, y esto naturalmente con la disponibilidad y tipo de materia prima...

Para avanzar te damos entonces algo referencial:

Solicitud Material:

Material Polvo de madera, viruta de madera, papel, cartón

Tamaño material Menos de 15mm

Características material Libre de objetos extraños, seco

Alimentación del material Automáticamente debajo del sistema de la aspiración o manual

Rango producción Dependiente del modelo

Tamaño deseado particular 70mm de diámetro en el TH 714

80mm en diámetro en la TH 814

Tiempo trabajo – horas /día 3-6 horas sin pausa dependiente de la temperatura del ambiente (cuando no se trabaja con refrigeración de aceite)

Especificaciones técnicas Briquetadora serie TH - 714

Dimensiones 2.000 x 1.800 mm

Apertura tolva 1.400 x 1.400 mm

Altura tolva 940 mm

Volumen tolva 1,8 m³

Motor 11 kW

Diámetro briqueta 70 mm

Aceite 250 l

Rango de producción Hasta 180 kg/h

Lackierung WEIMA Standard RAL 7001 / 7016

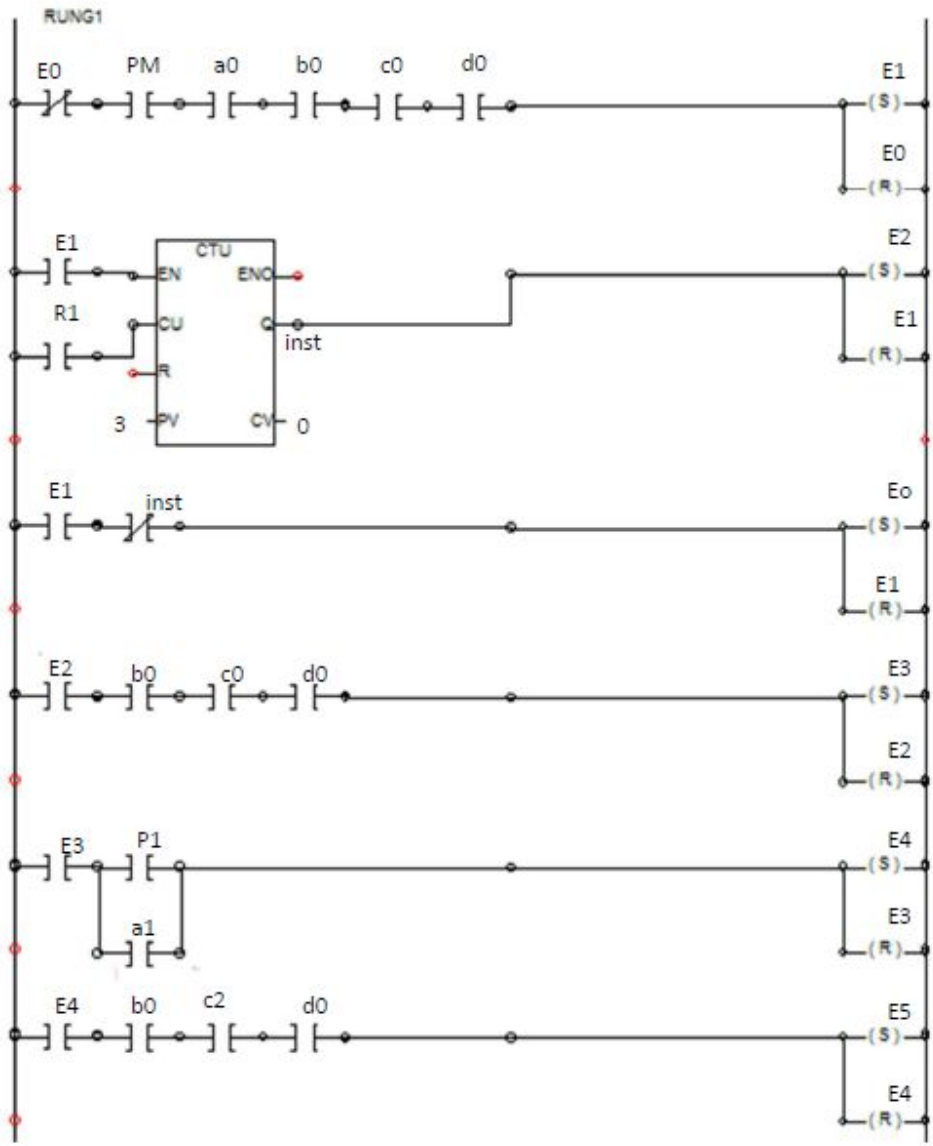
Conexión eléctrica 400 V +/- 5% / 50 Hz

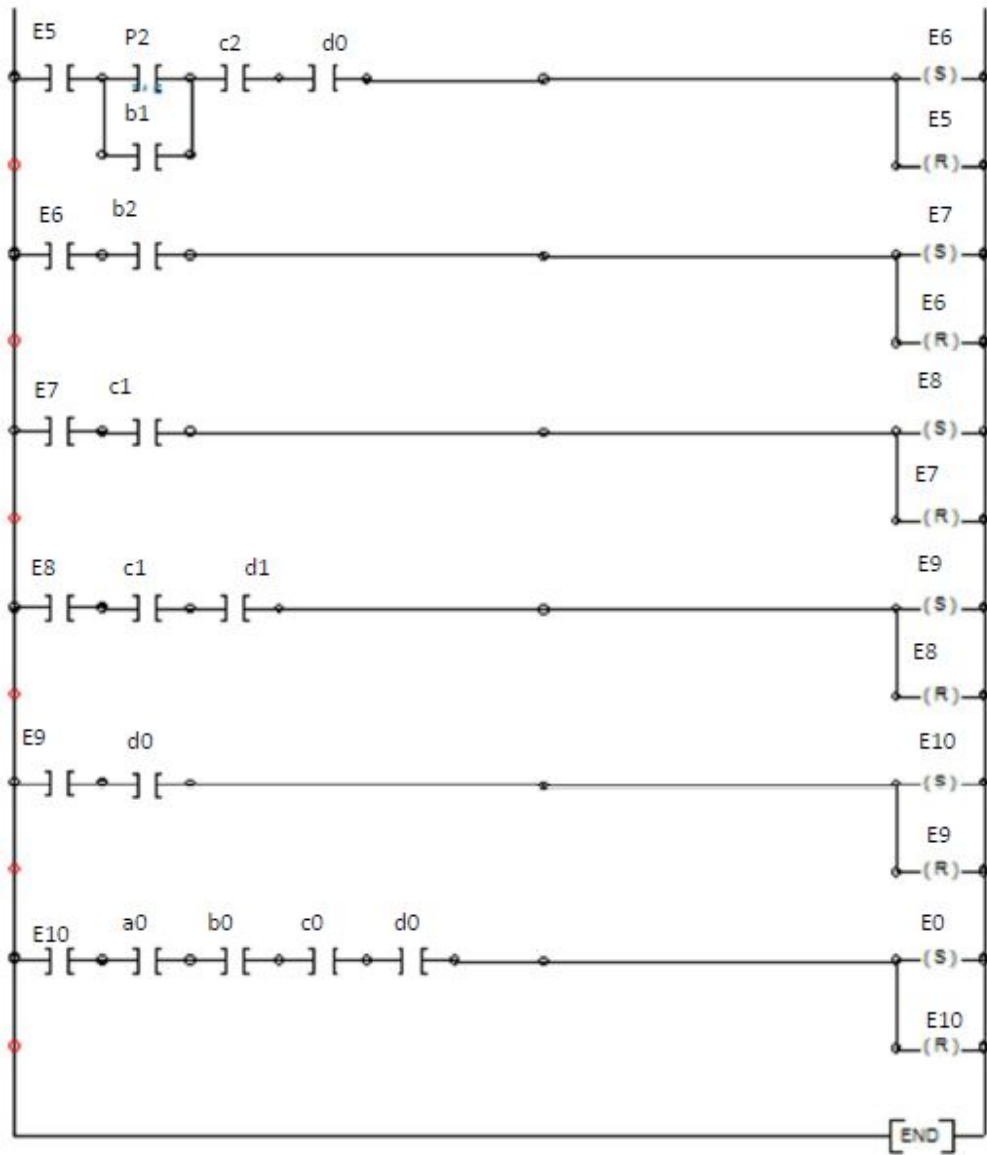
Peso ca. 1.000 kg

Precio de la maquina tipo TH 714 Euro 32.000,- exw (ex fábrica Alemania)
para precio puesto en Chile sumar Euro 5.000 aprox.

ANEXO D

Diagrama LADDER





ANEXO E

Planos

8 | 7 | 6 | 5 ↓ 4 | 3 | 2 | 1

F

F

E

E

D

D

C

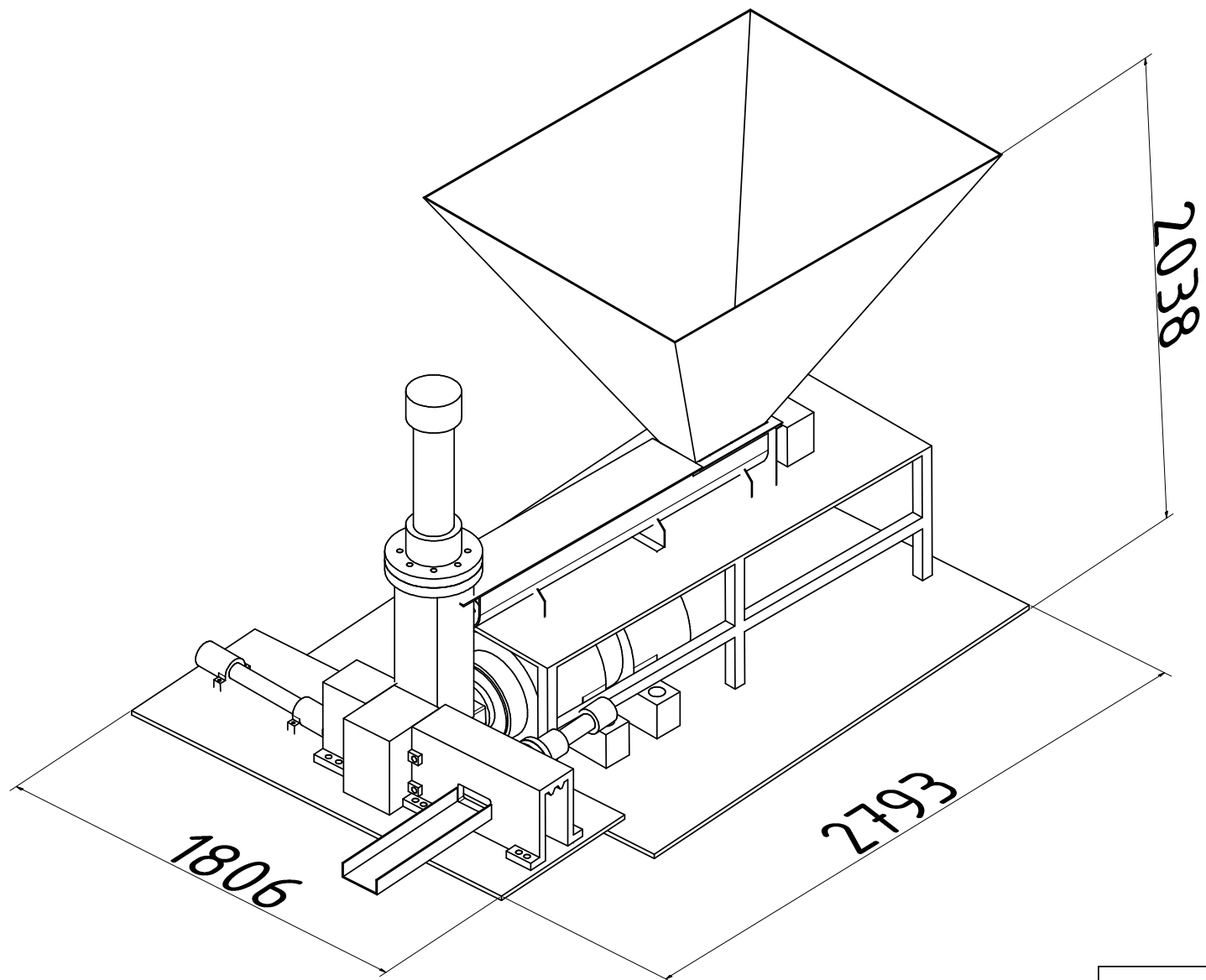
C

B

B

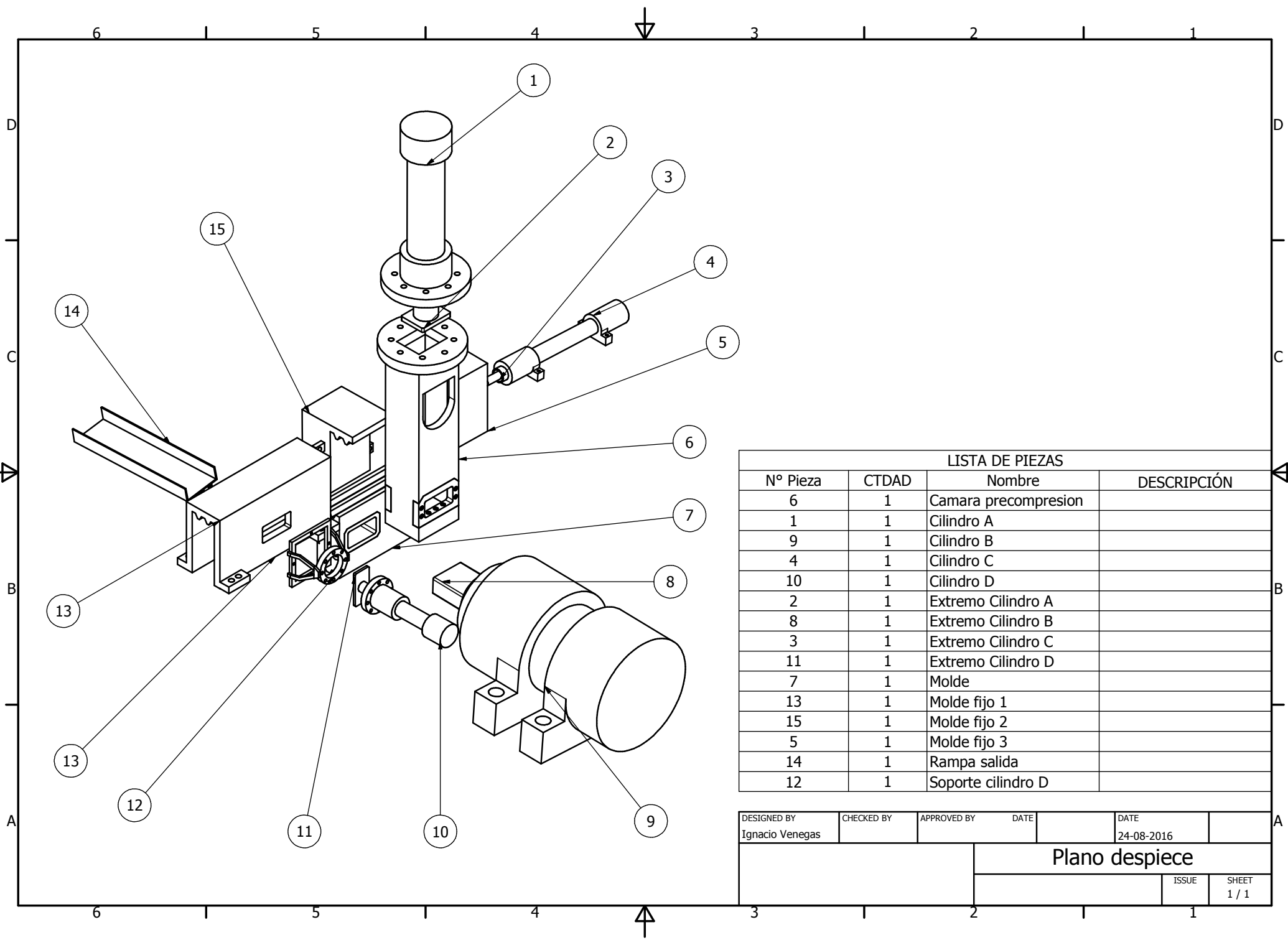
A

A



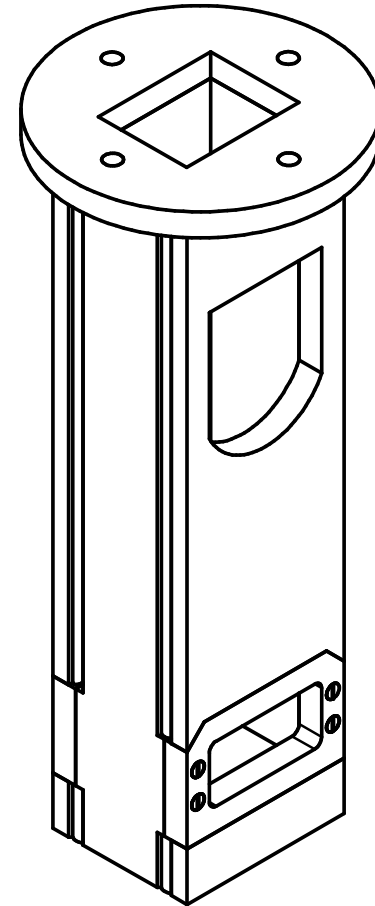
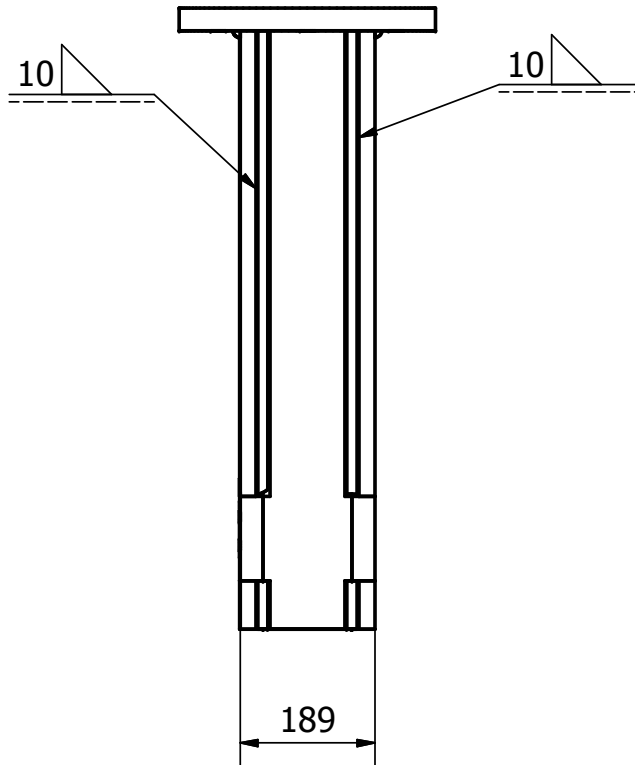
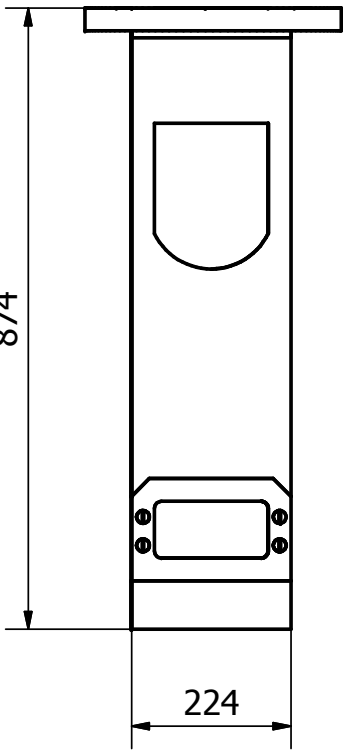
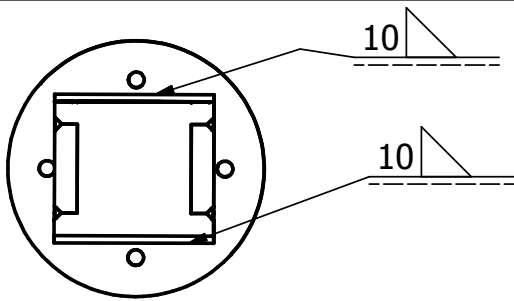
		Fecha	Nombre		
		Creado	23-08-2016	Ignacio	
		Revisado			
		Norma			
Estado	Cambios	Fecha	Nombre	conjunto 1	
					1
					42

8 | 7 | 6 | 5 4 4 | 3 | 2 | 1

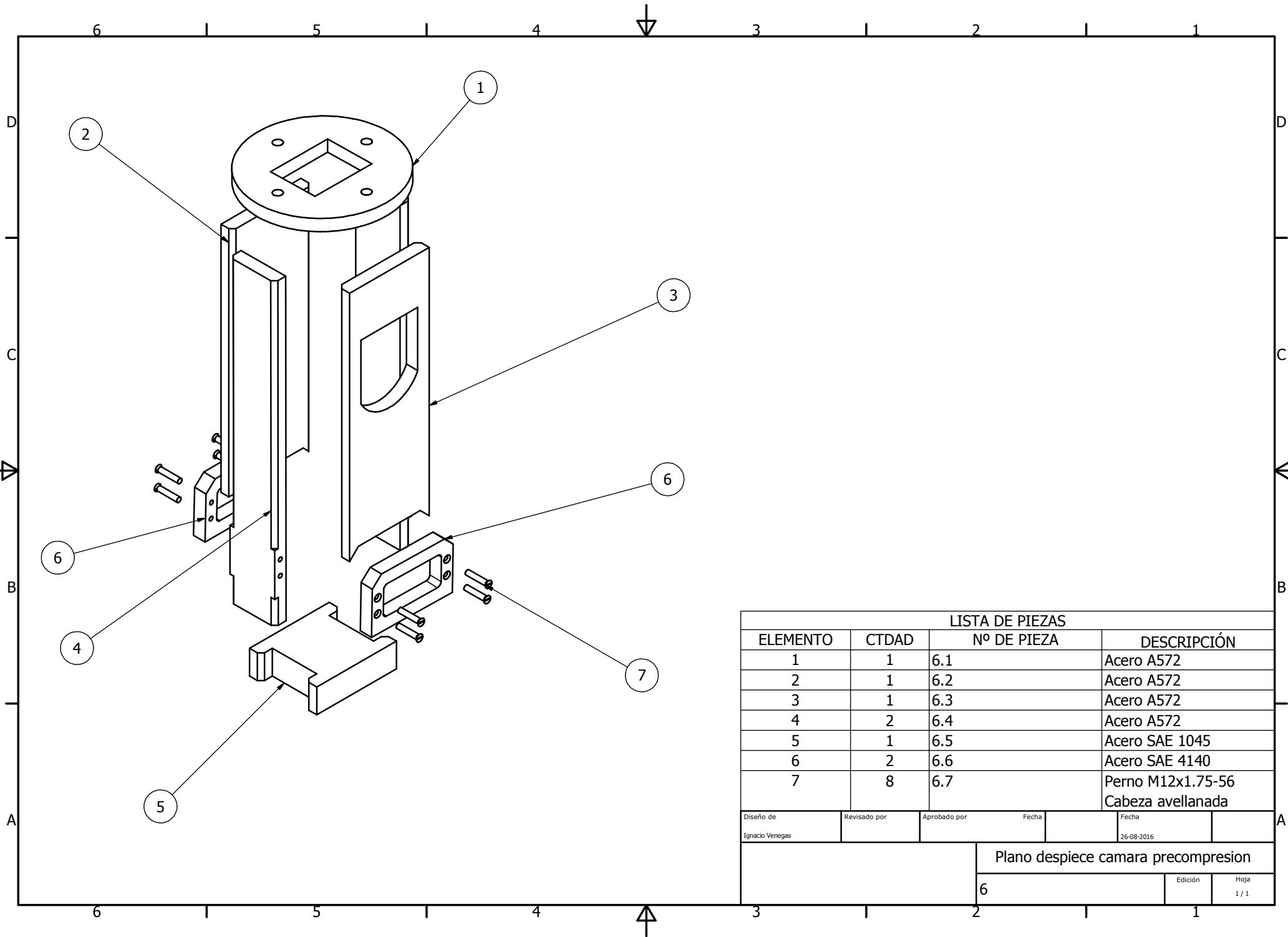


LISTA DE PIEZAS			
Nº Pieza	CTDAD	Nombre	DESCRIPCIÓN
6	1	Camara precompresion	
1	1	Cilindro A	
9	1	Cilindro B	
4	1	Cilindro C	
10	1	Cilindro D	
2	1	Extremo Cilindro A	
8	1	Extremo Cilindro B	
3	1	Extremo Cilindro C	
11	1	Extremo Cilindro D	
7	1	Molde	
13	1	Molde fijo 1	
15	1	Molde fijo 2	
5	1	Molde fijo 3	
14	1	Rampa salida	
12	1	Soporte cilindro D	

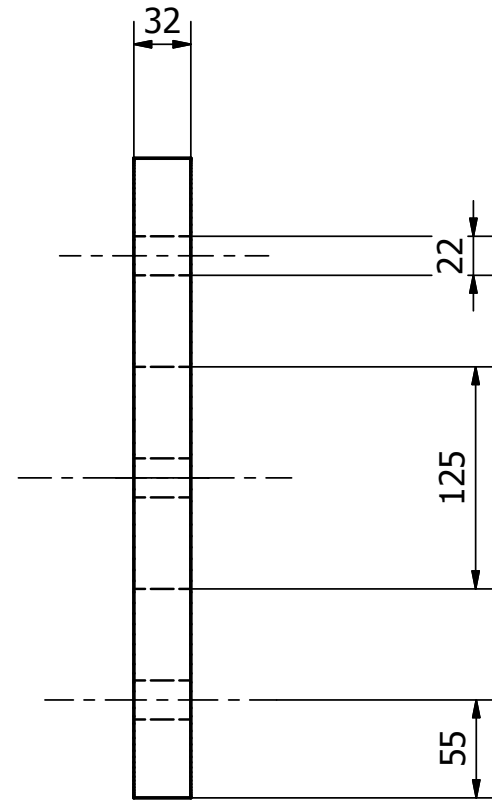
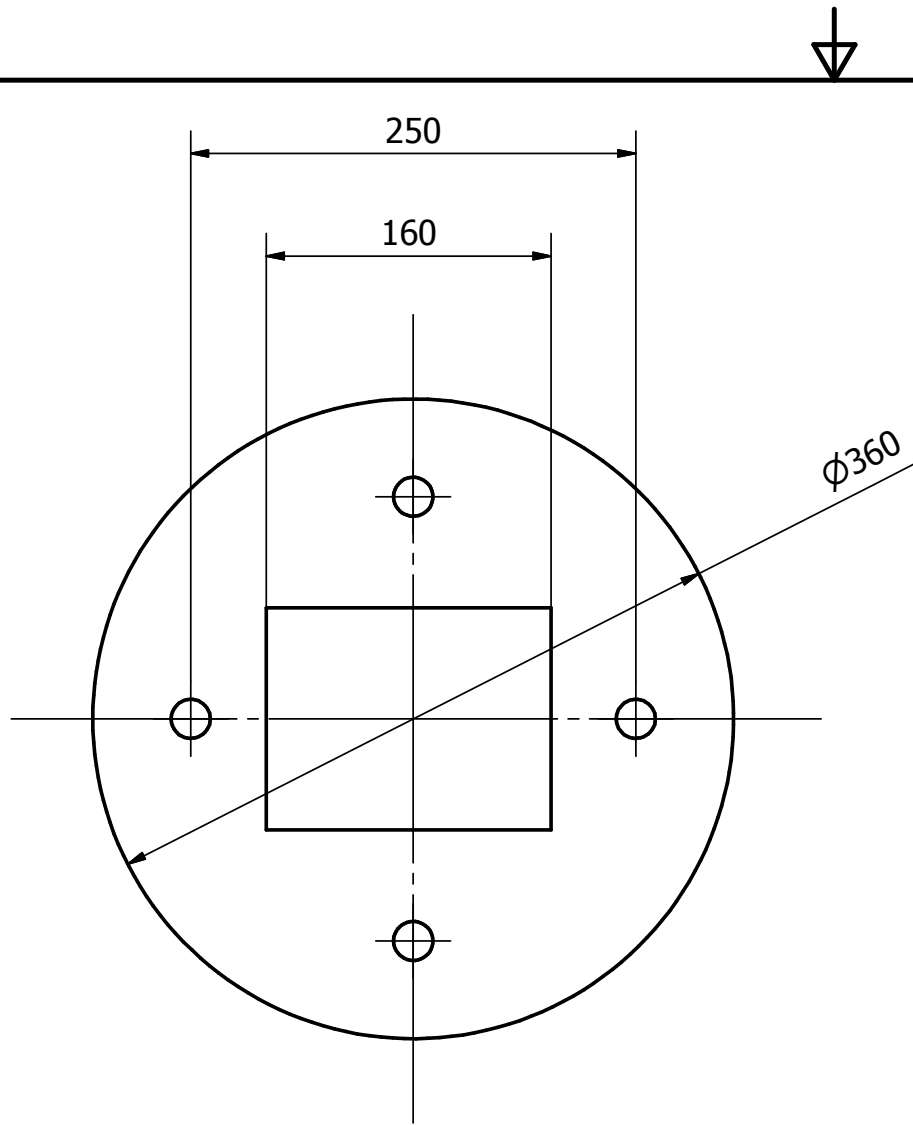
DESIGNED BY Ignacio Venegas	CHECKED BY	APPROVED BY	DATE	DATE 24-08-2016	
			Plano despiece		
			ISSUE	SHEET 1 / 1	



Diseño de Ignacio Venegas	Revisado por	Aprobado por	Fecha	Fecha 25-08-2016
Elementos soldados con electrodo E7018			Camara de precompresion	
6			Edición	Hoja 1 / 1

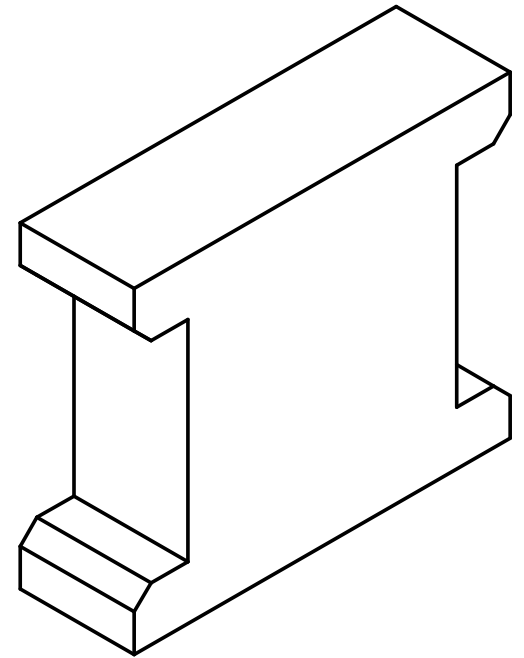
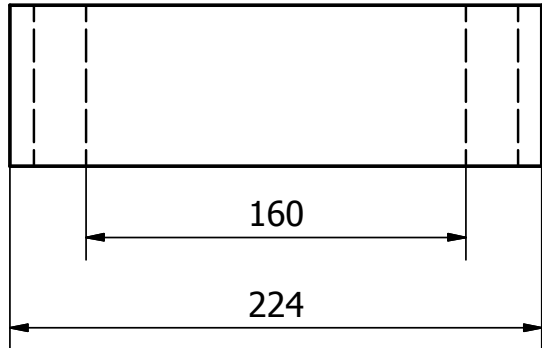
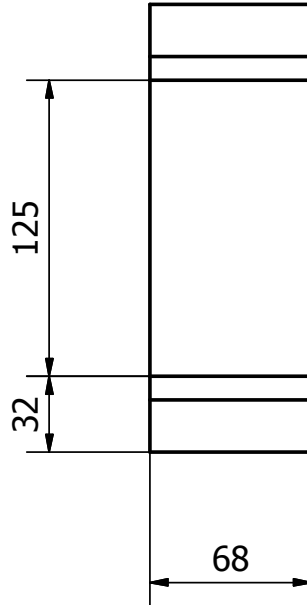
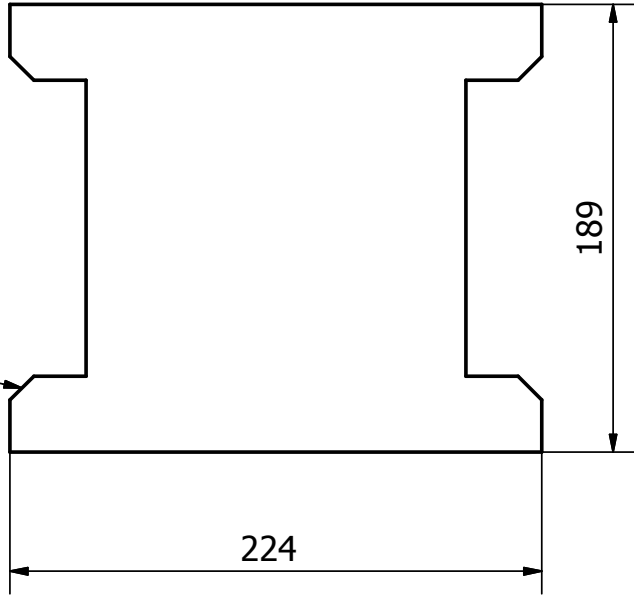


LISTA DE PIEZAS				
ELEMENTO	CTDAD	Nº DE PIEZA	DESCRIPCIÓN	
1	1	6.1	Acero A572	
2	1	6.2	Acero A572	
3	1	6.3	Acero A572	
4	2	6.4	Acero A572	
5	1	6.5	Acero SAE 1045	
6	2	6.6	Acero SAE 4140	
7	8	6.7	Perno M12x1.75-56 Cabeza avellanada	
Diseño de	Revisado por	Aprobado por	Fecha	Fecha
Ignacio Venegas				26-08-2016
			Plano despiece camara precompresion	
			6	Edición 1 / 1



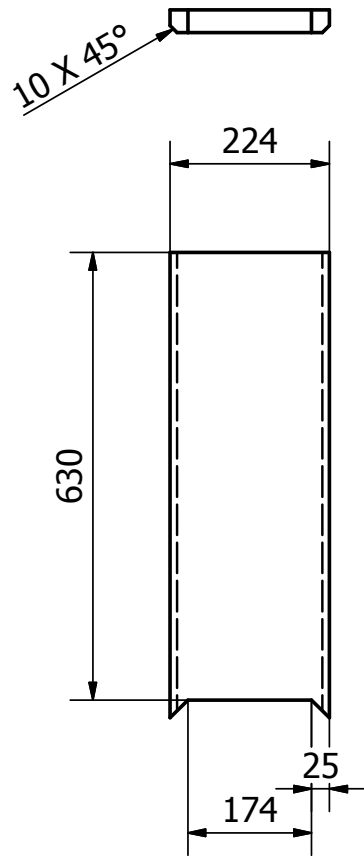
Diseño de Ignacio Venegas	Revisado por	Aprobado por	Fecha	Fecha 25-08-2016	Escala 1:4
Acero ASTM A572			Camara de pre compresion 6-1		
6-1			Edición	Hoja 1 / 1	



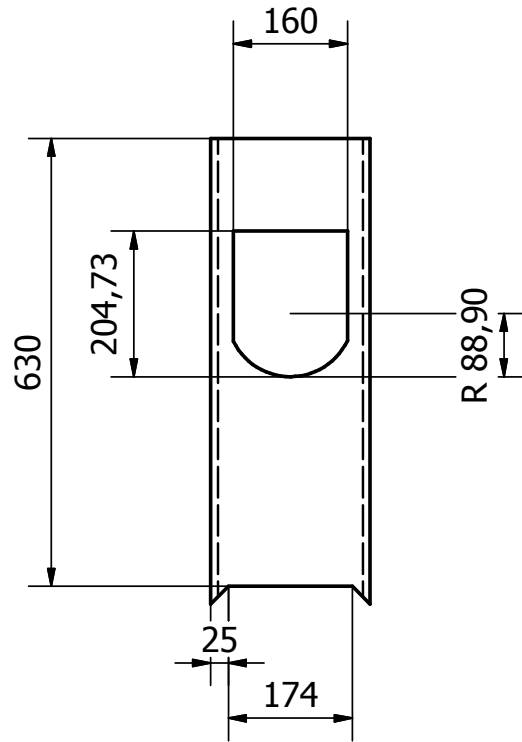
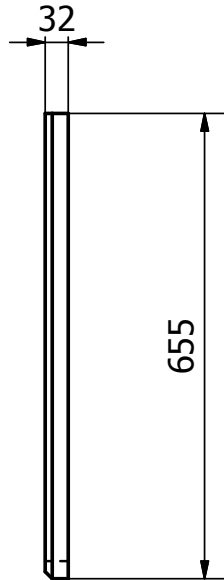


Diseño de Ignacio Venegas	Revisado por	Aprobado por	Fecha	Fecha 26-08-2016	Escala 1:3
Acero SAE 1045			Camara de compresion 5		
6.5 b				Edición	Hoja 1 / 1

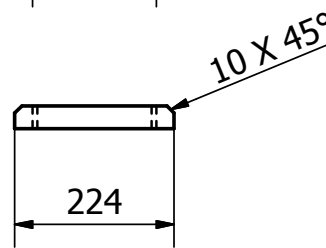




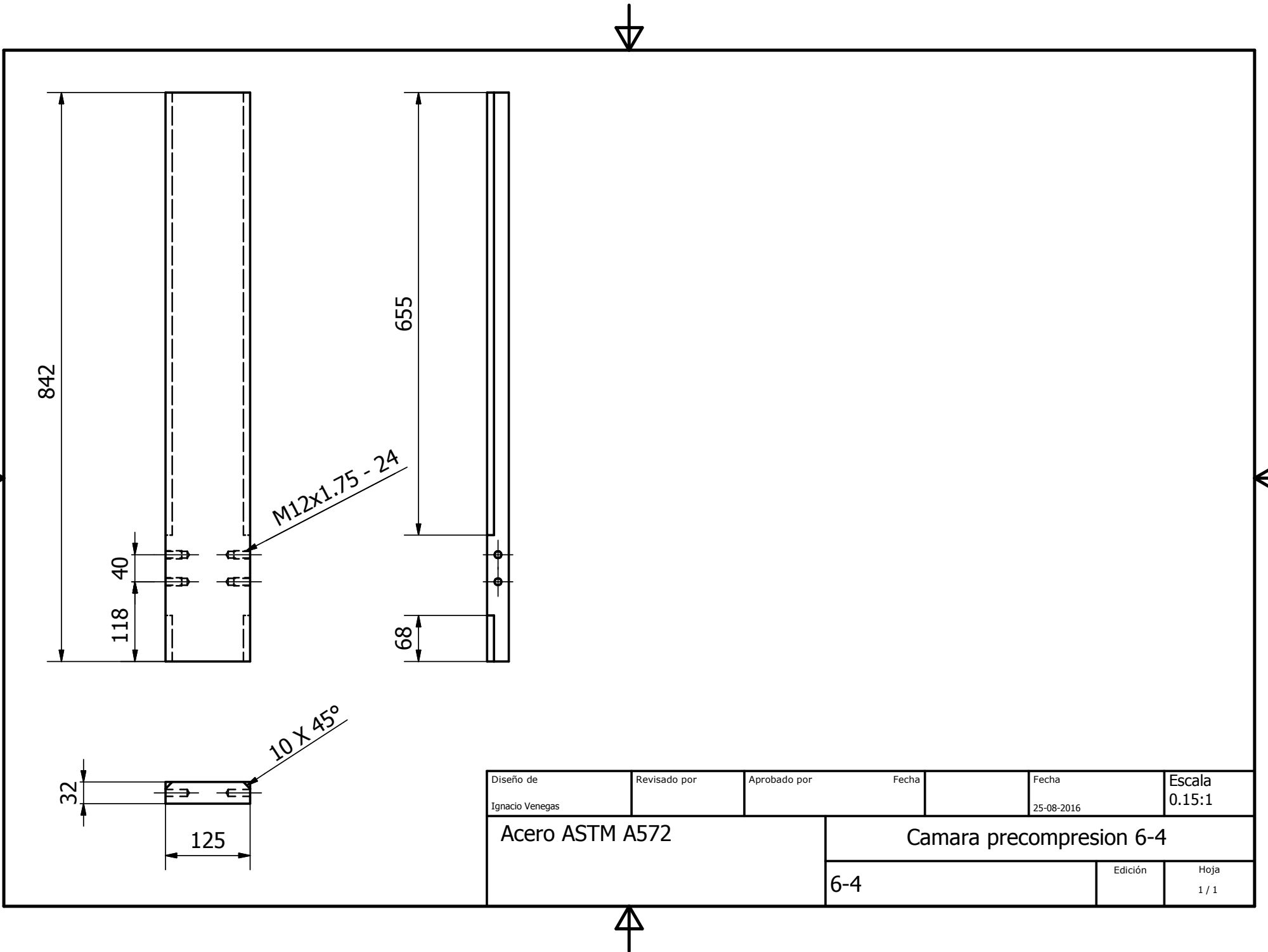
6-2



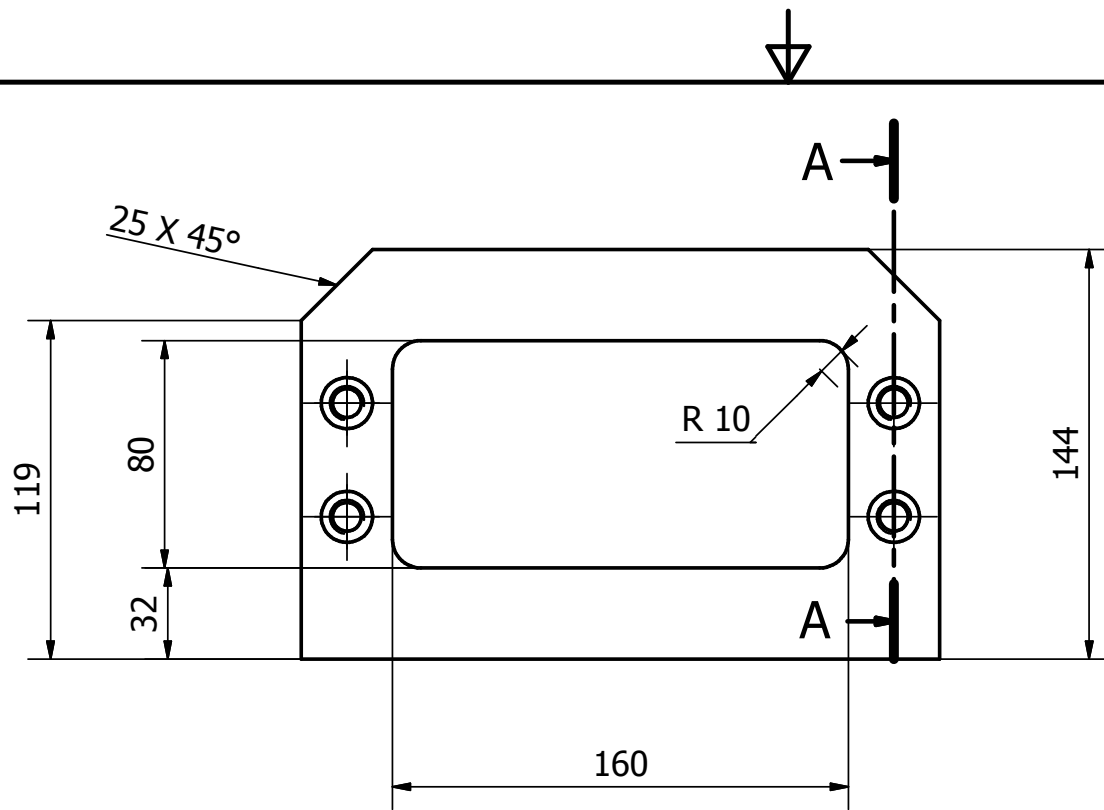
6-3



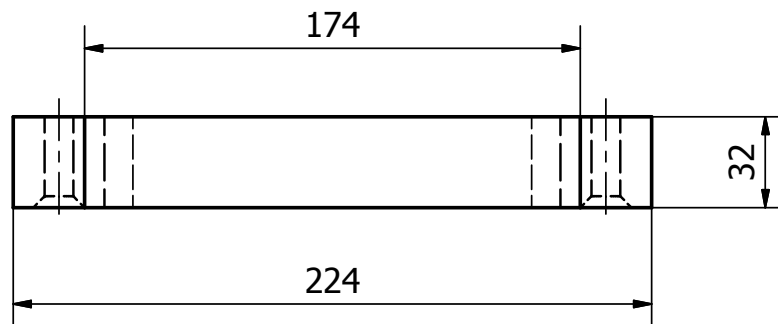
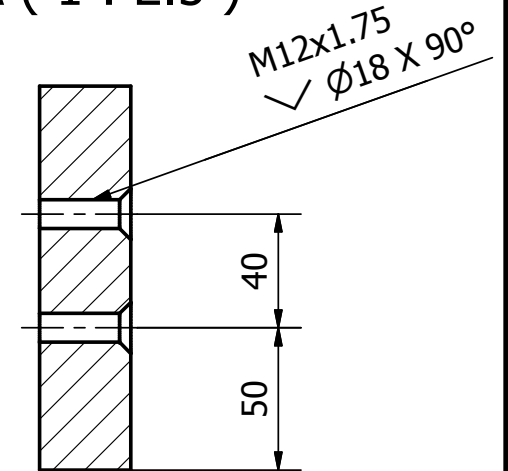
Diseño de Ignacio Venegas	Revisado por	Aprobado por	Fecha	Fecha 25-08-2016	Escala 1:10
Acero ASTM A 572			Camara de precompresion 6-2 y 6-3		
6-2 y 6-3				Edición	Hoja 1 / 1



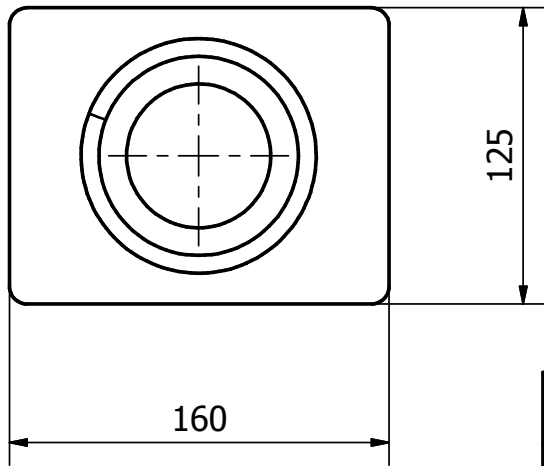
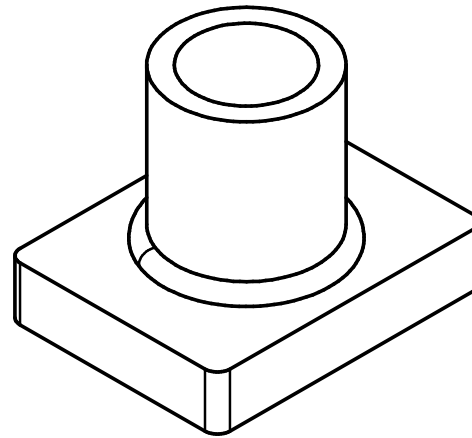
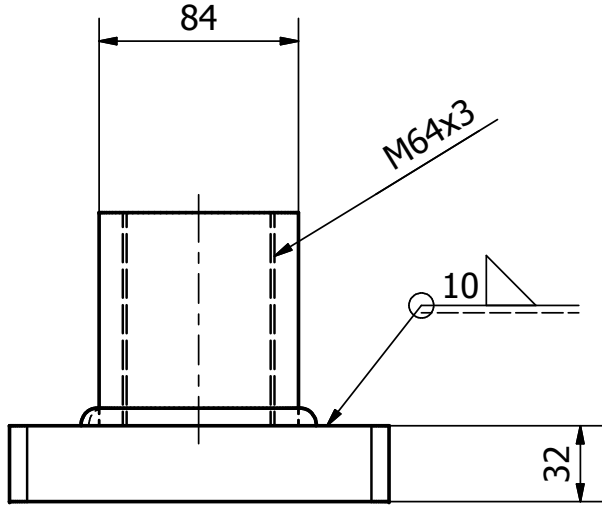
Diseño de Ignacio Venegas	Revisado por	Aprobado por	Fecha	Fecha 25-08-2016	Escala 0.15:1
Acero ASTM A572			Camara precompresion 6-4		
			6-4	Edición	Hoja 1 / 1



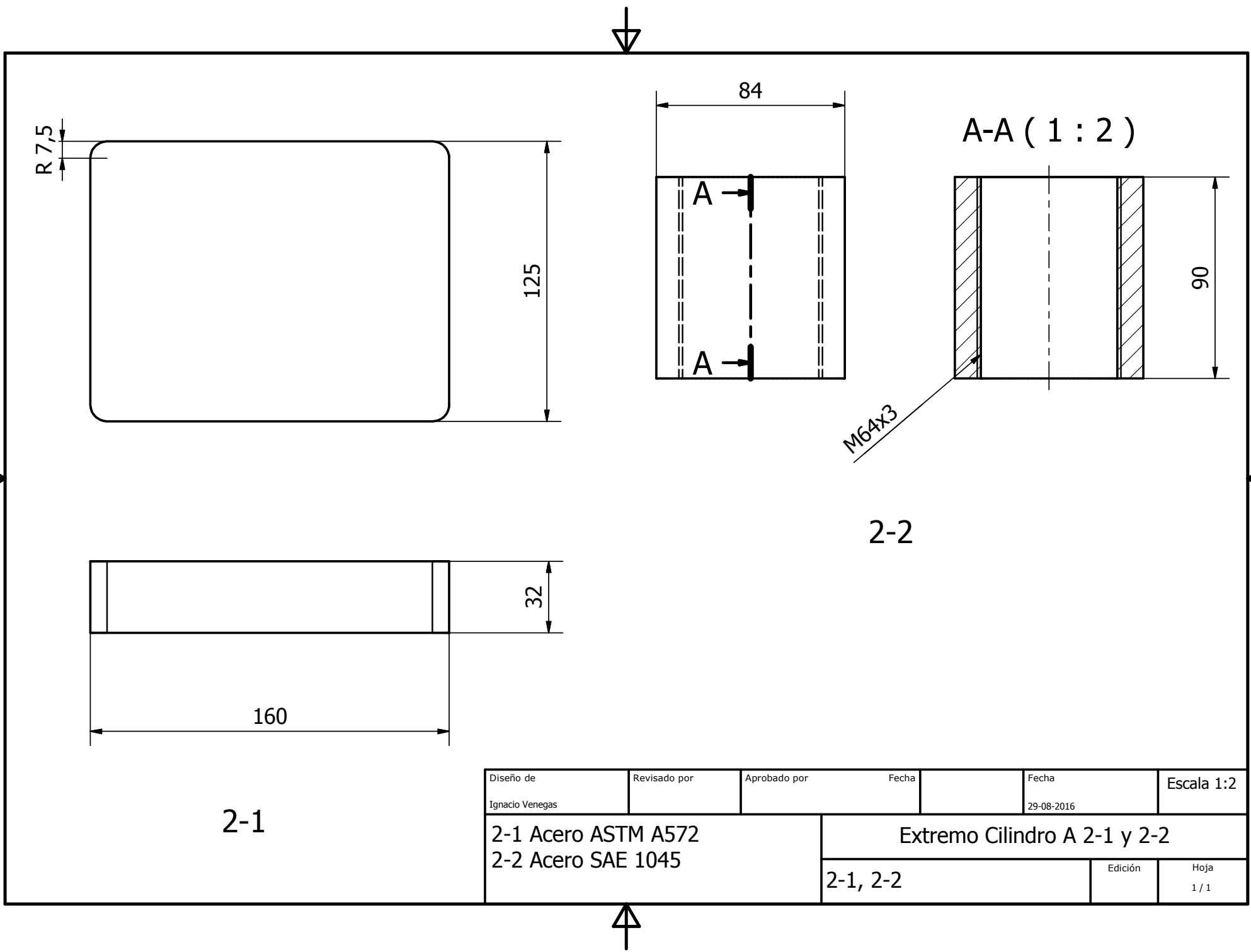
A-A (1 : 2.5)



Diseño de Ignacio Venegas	Revisado por	Aprobado por	Fecha	Fecha 25-08-2016	Escala 1:2.5
Acero SAE 4140			Camara de precompresion 6-6		
6-6			Edición	Hoja 1 / 1	



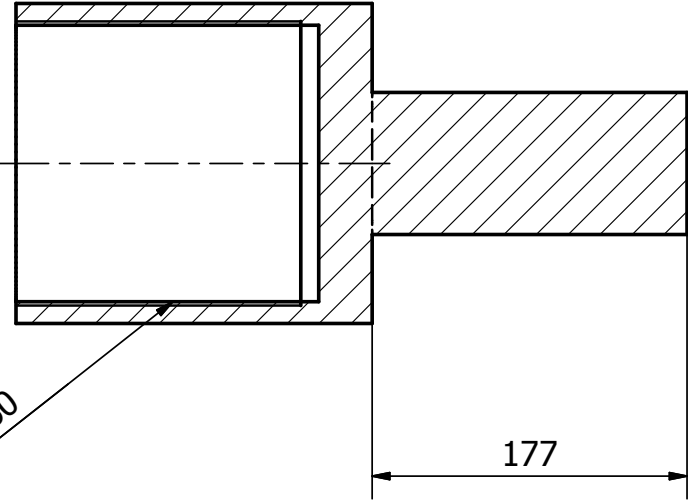
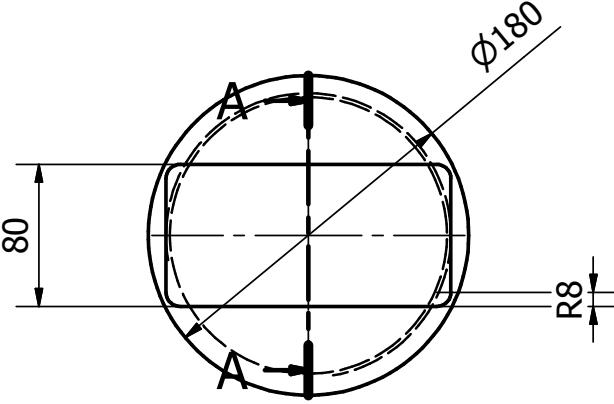
Diseño de Ignacio Venegas	Revisado por	Aprobado por	Fecha	Fecha 30-08-2016	Escala 1:4
Soldadura con Electrodo E 7018			Extremo Cilindro A		
2			Edición	Hoja 1 / 1	



Diseño de Ignacio Venegas	Revisado por	Aprobado por	Fecha	Fecha 29-08-2016	Escala 1:2
2-1 Acero ASTM A572 2-2 Acero SAE 1045			Extremo Cilindro A 2-1 y 2-2		
2-1, 2-2				Edición	Hoja 1 / 1

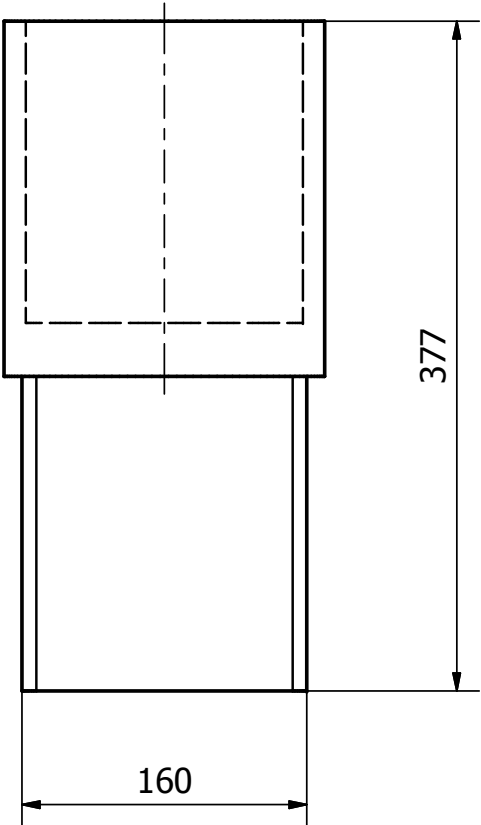


A-A (1 : 4)



M160x4 - 160

177

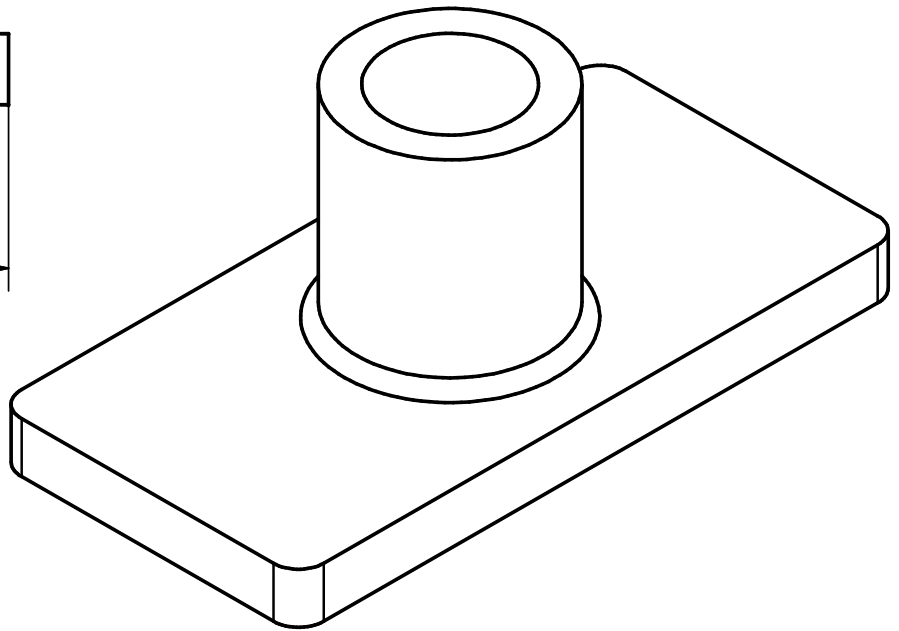
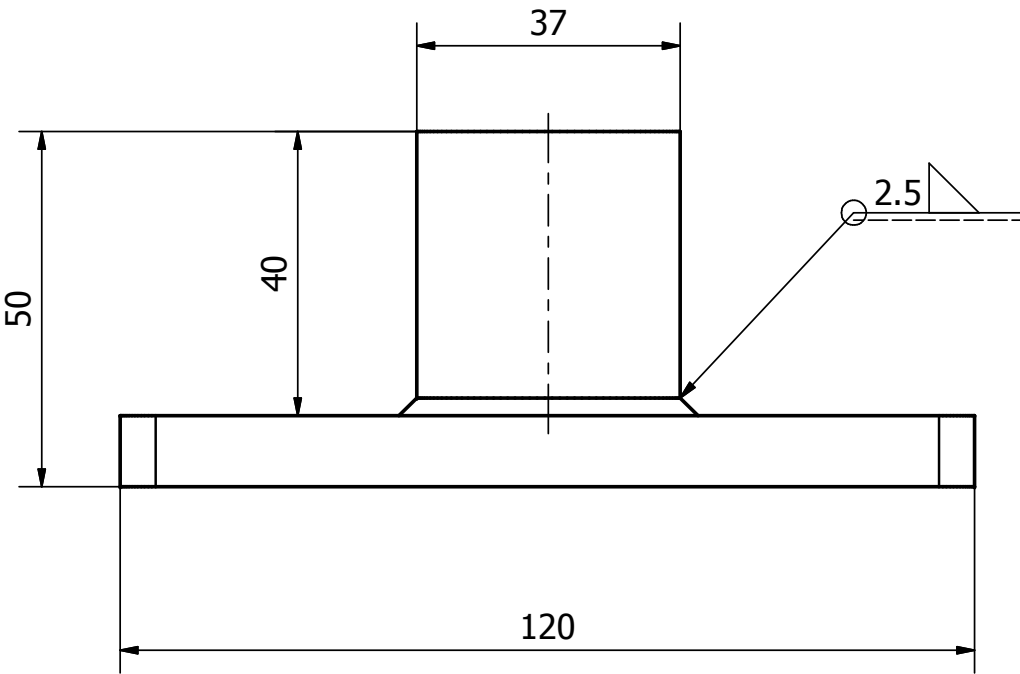


377

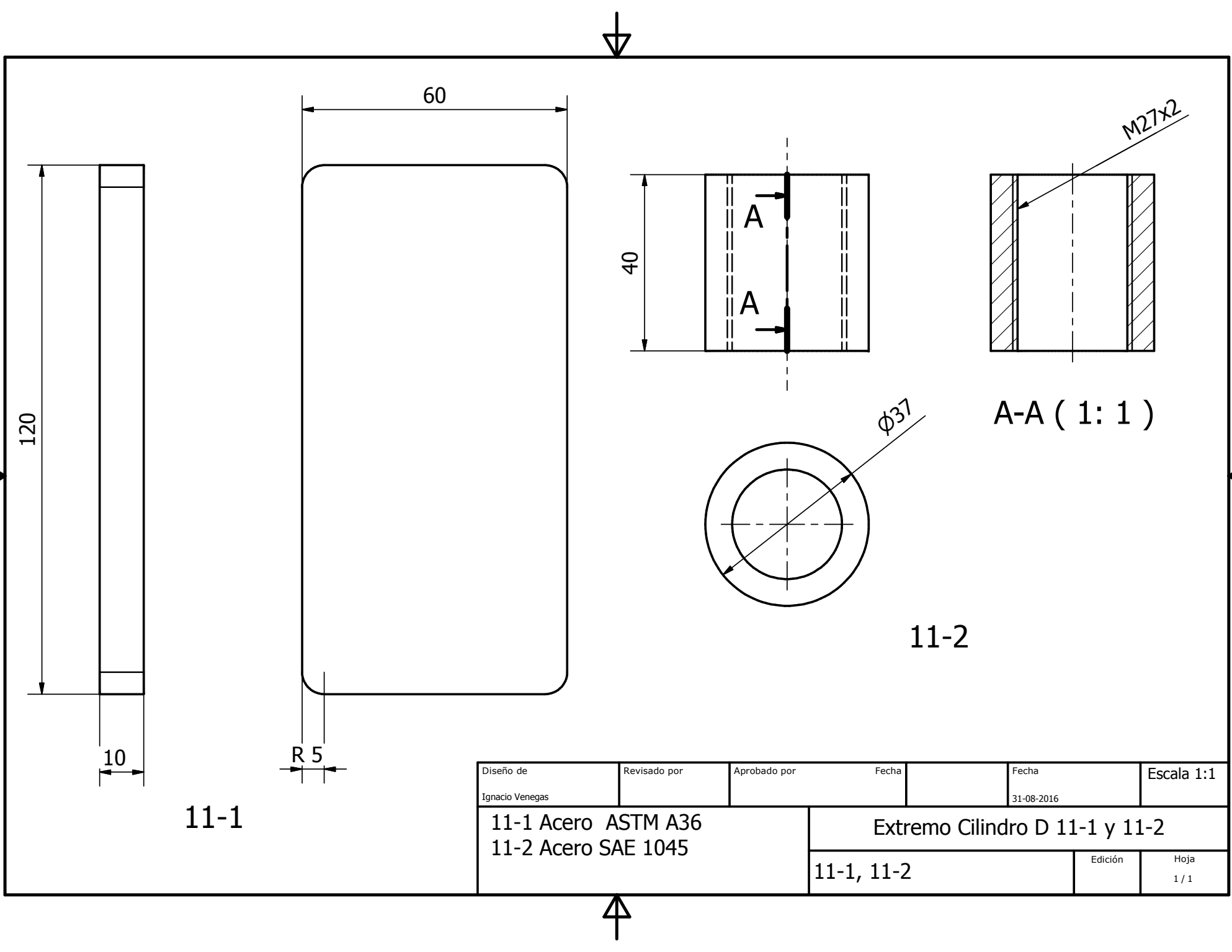
160

Diseño de Ignacio Venegas	Revisado por	Aprobado por	Fecha	Fecha 19-10-2016	Escala 1:4
Acero SAE 1045			Extremo Cilindro B		
8			Edición	Hoja 1 / 1	





Diseño de Ignacio Venegas	Revisado por	Aprobado por	Fecha	Fecha 31-08-2016	Escala 1:1
Soldadura con electrodo E7018			Extremo Cilindro D		
11			Edición	Hoja 1 / 1	

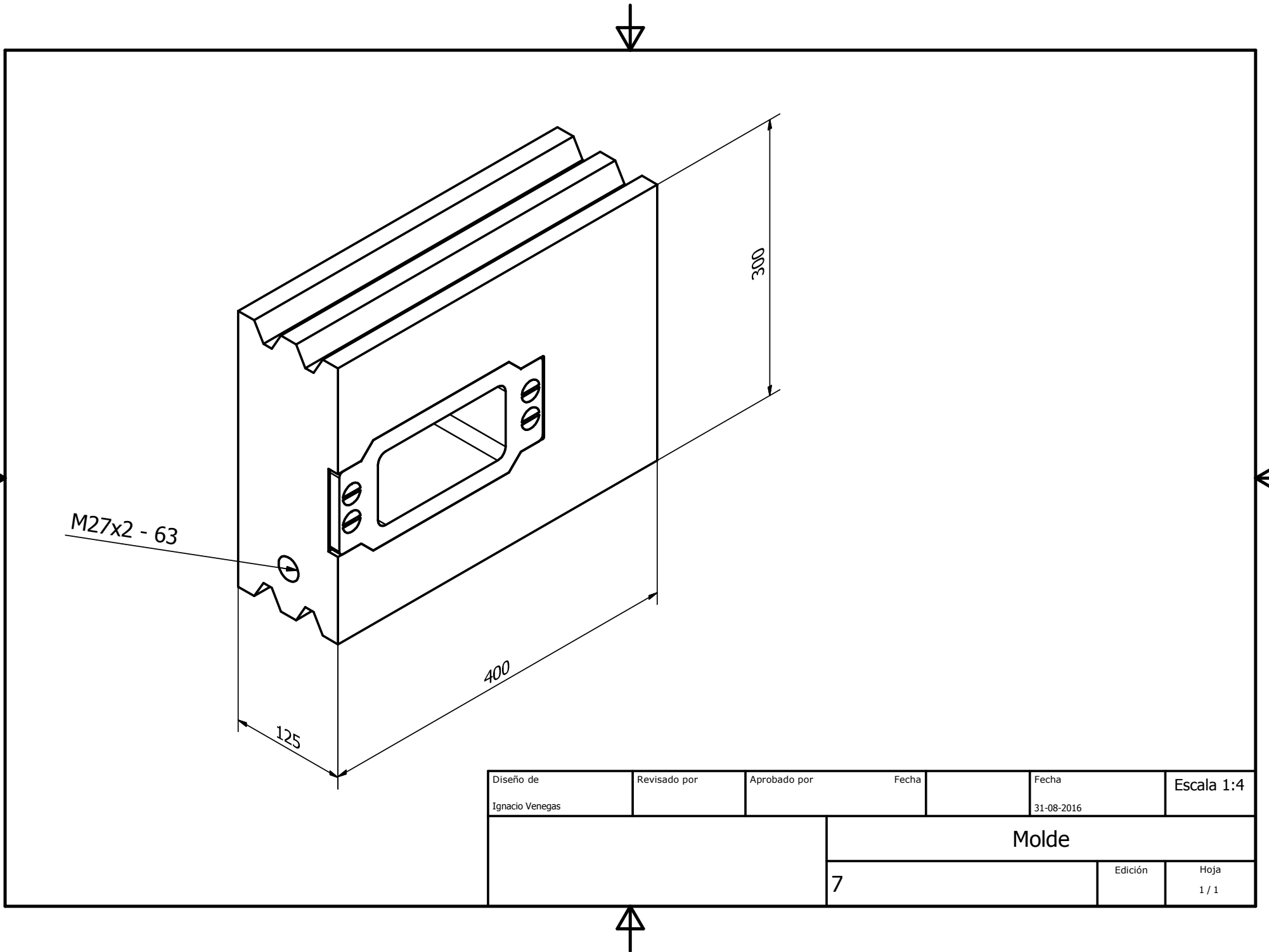


11-1

11-2

A-A (1: 1)

Diseño de Ignacio Venegas	Revisado por	Aprobado por	Fecha	Fecha 31-08-2016	Escala 1:1
11-1 Acero ASTM A36 11-2 Acero SAE 1045			Extremo Cilindro D 11-1 y 11-2		
11-1, 11-2				Edición	Hoja 1 / 1



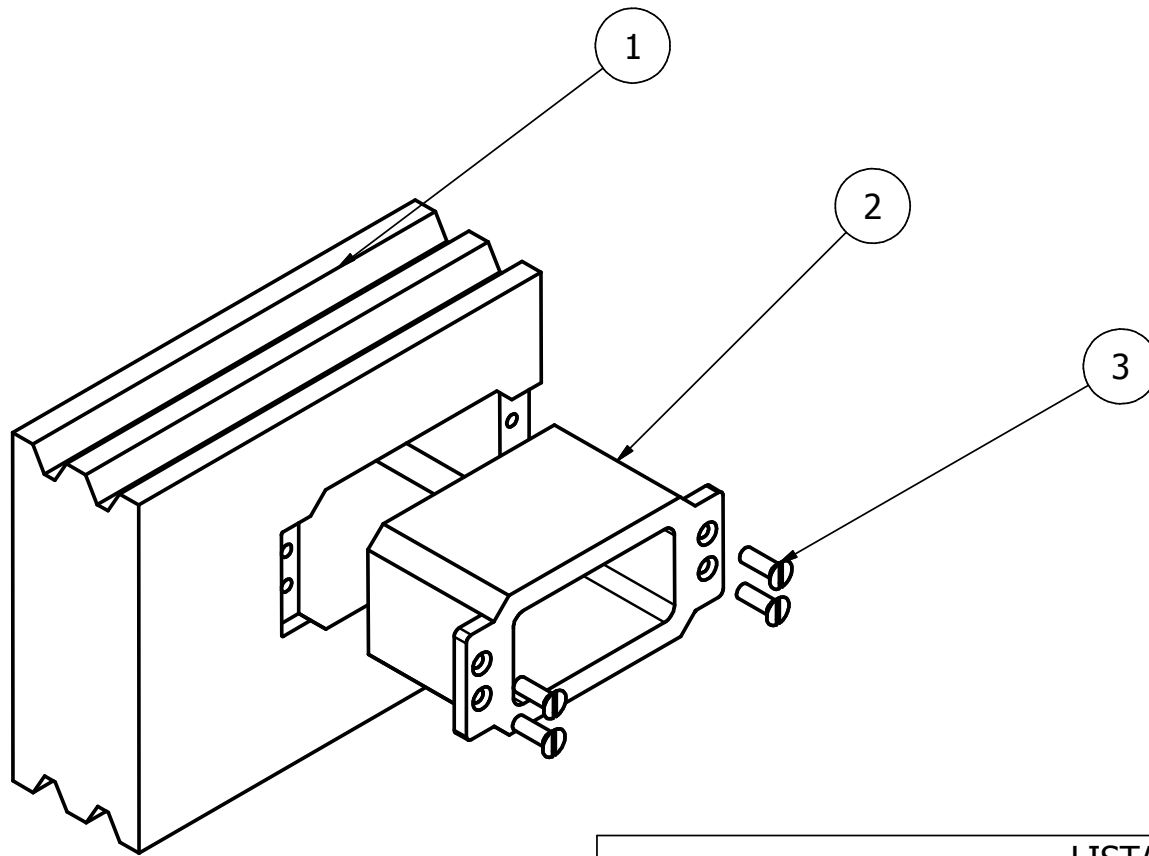
M27x2 - 63

300

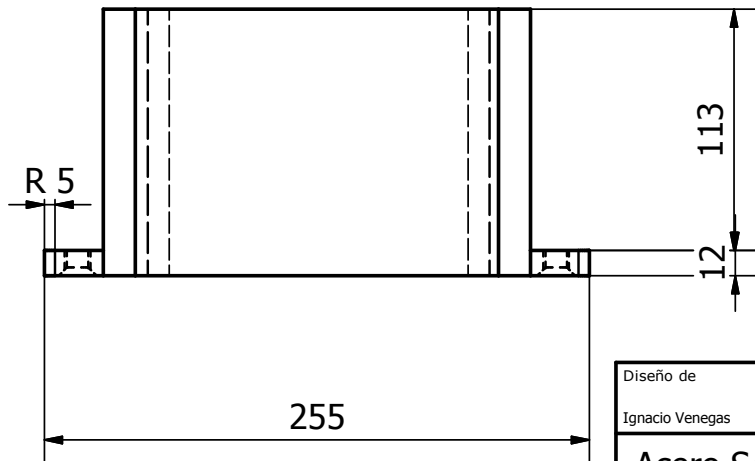
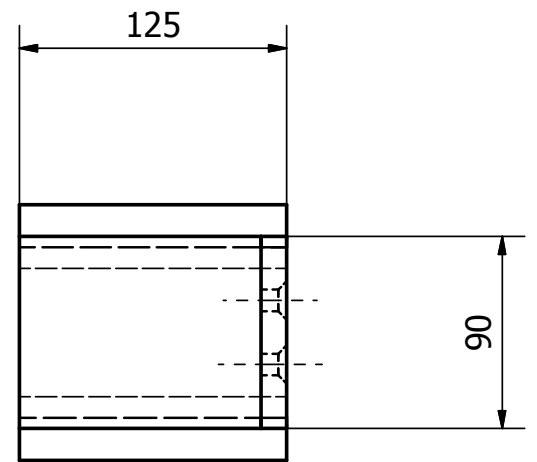
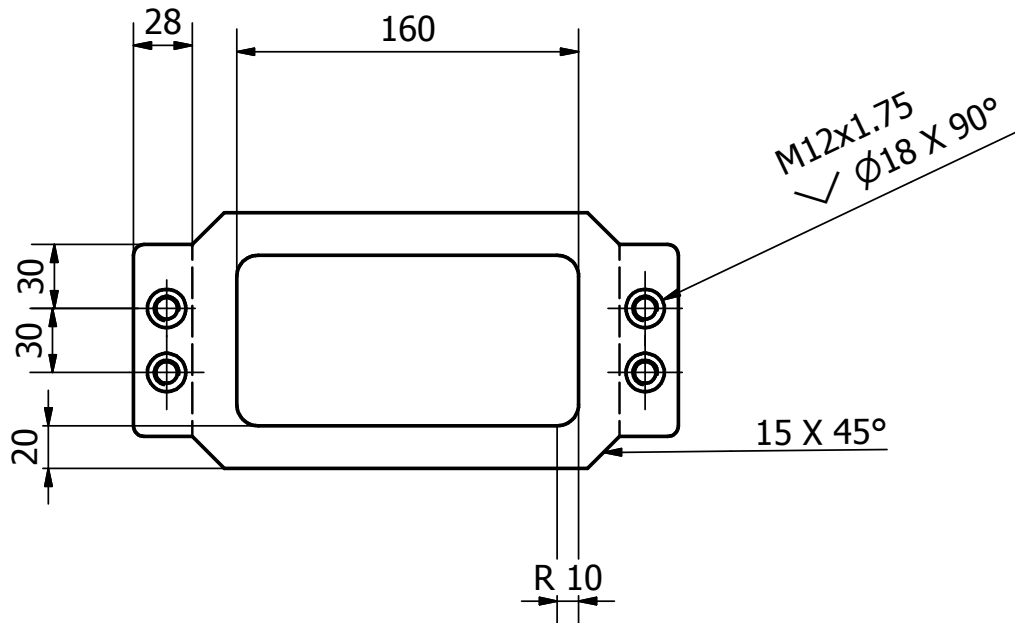
400

125

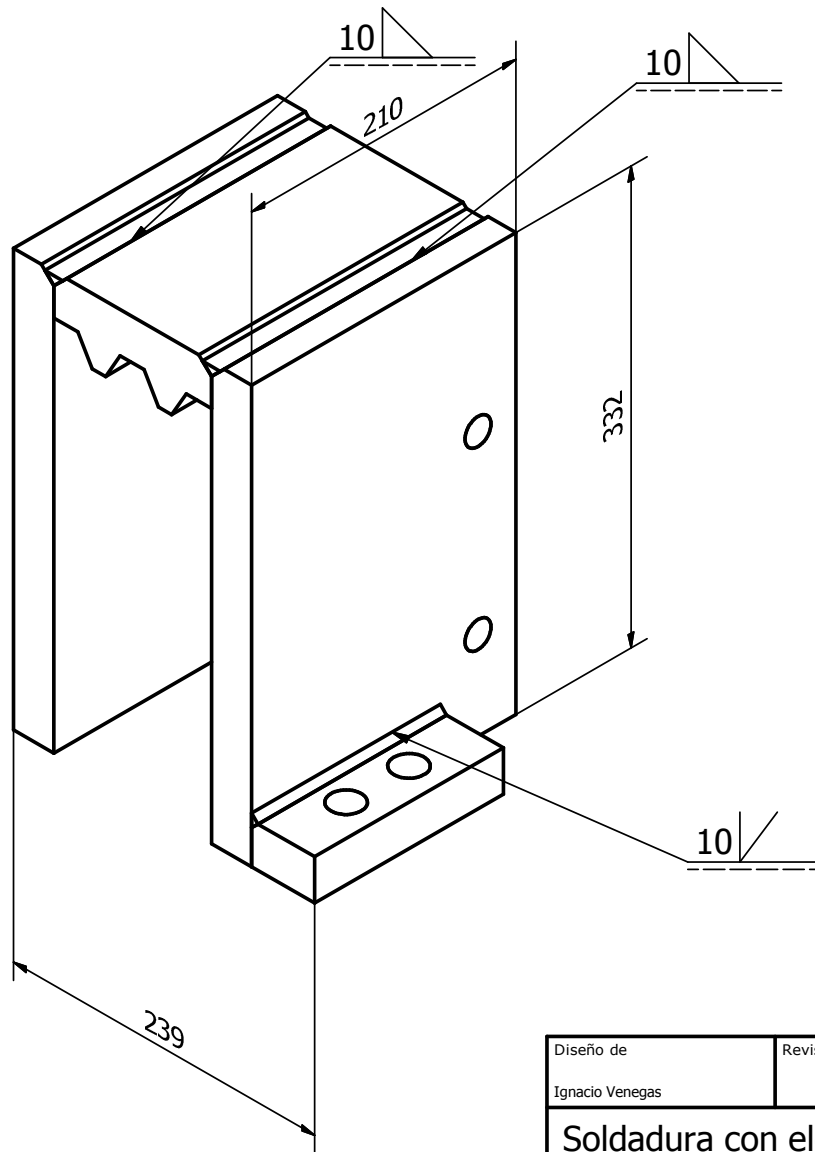
Diseño de Ignacio Venegas	Revisado por	Aprobado por	Fecha	Fecha 31-08-2016	Escala 1:4
			Molde		
			7	Edición	Hoja 1 / 1



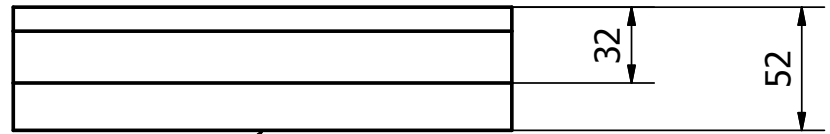
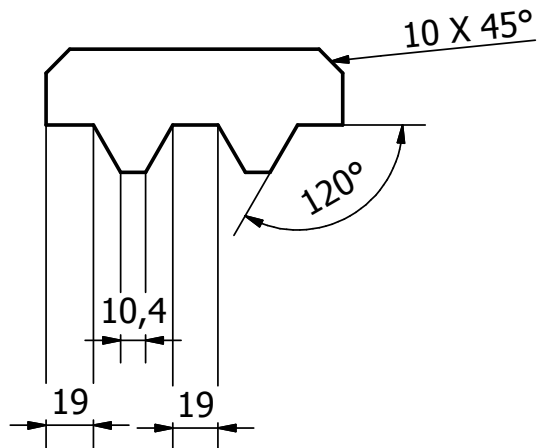
LISTA DE PIEZAS			
ELEMENTO	CTDAD	Nº DE PIEZA	DESCRIPCIÓN
1	1	7-1	SAE 1045
2	1	7-2	SAE 4140
3	4	7-3	Perno cabeza avellanada M12X1.75-30
Diseño de Ignacio Venegas	Revisado por	Aprobado por	Fecha 29-08-2016
		Escala 0.2:1	
		Plano despiece molde	
		7	Edición Hoja 1 / 1



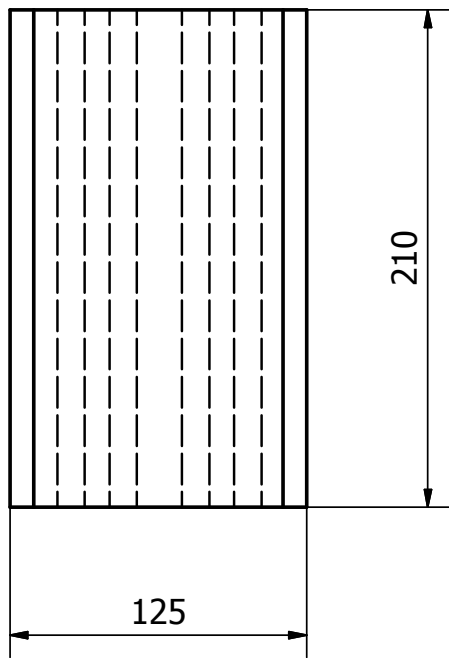
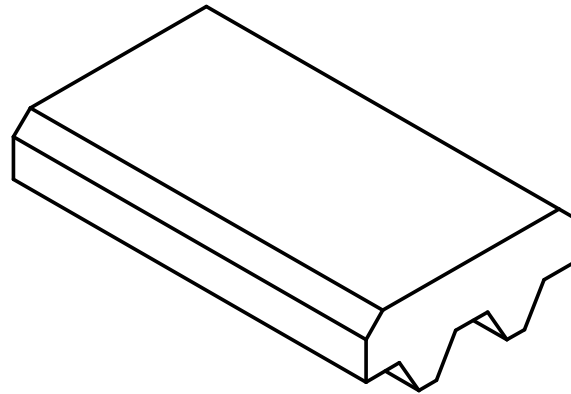
Diseño de Ignacio Venegas	Revisado por	Aprobado por	Fecha	Fecha 29-08-2016	Escala 1:0.3
Acero SAE 4140			Molde 7-2		
7-2			Edición	Hoja 1 / 1	



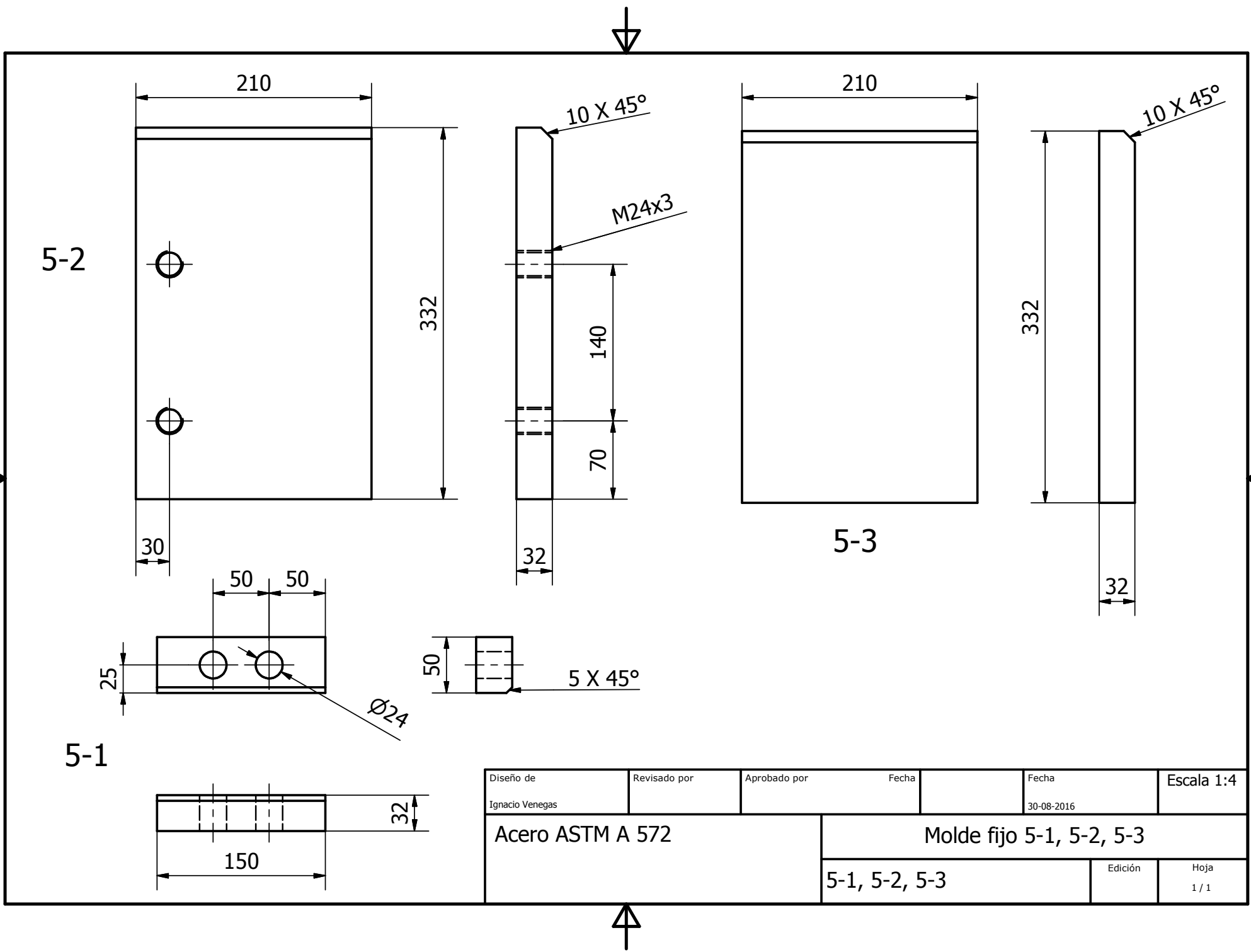
Diseño de Ignacio Venegas	Revisado por	Aprobado por	Fecha	Fecha 31-08-2016	Escala 1:4
Soldadura con electrodo E7018			Molde Fijo 5		
5			Edición	Hoja 1 / 1	



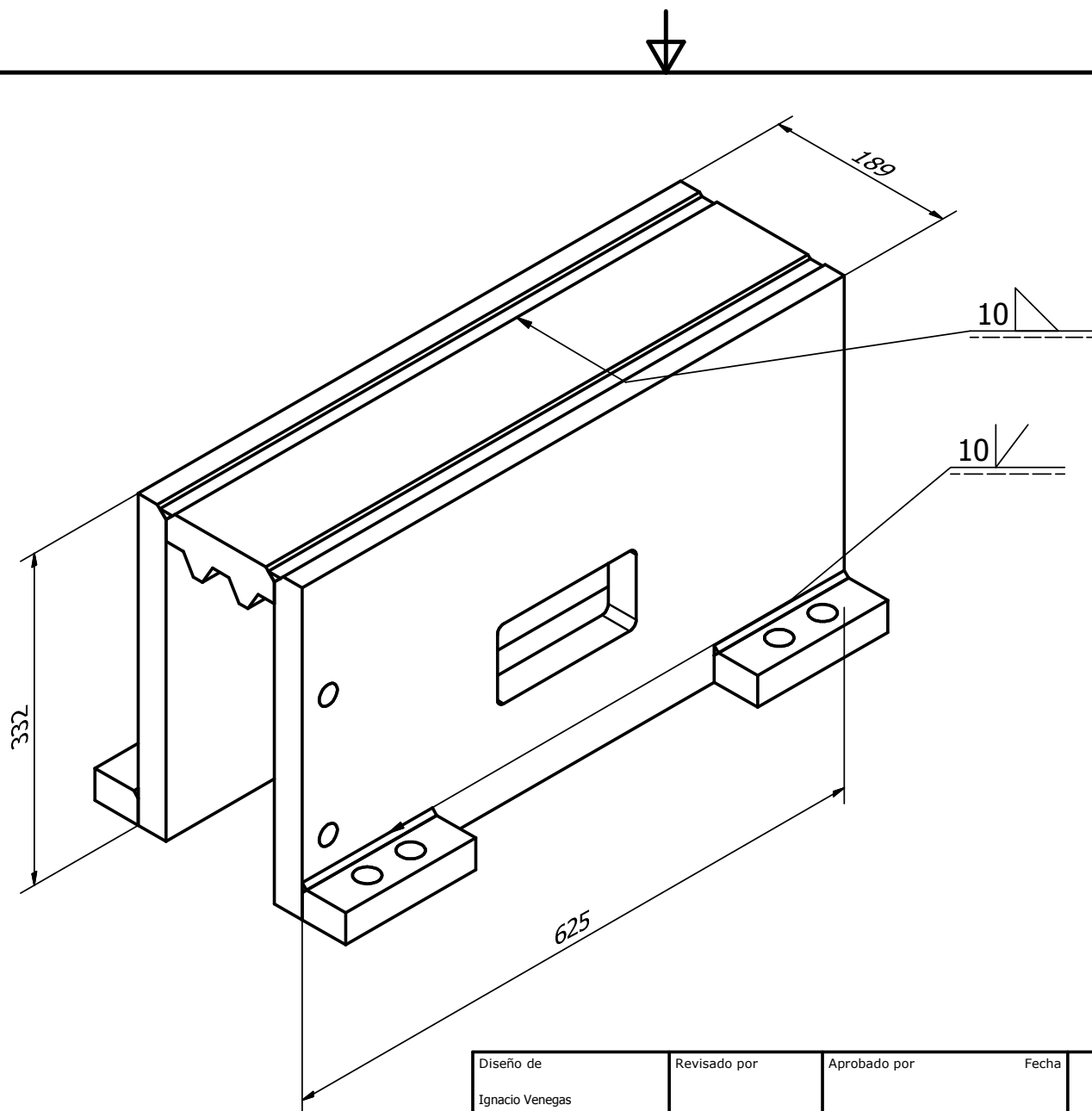
// 0.1



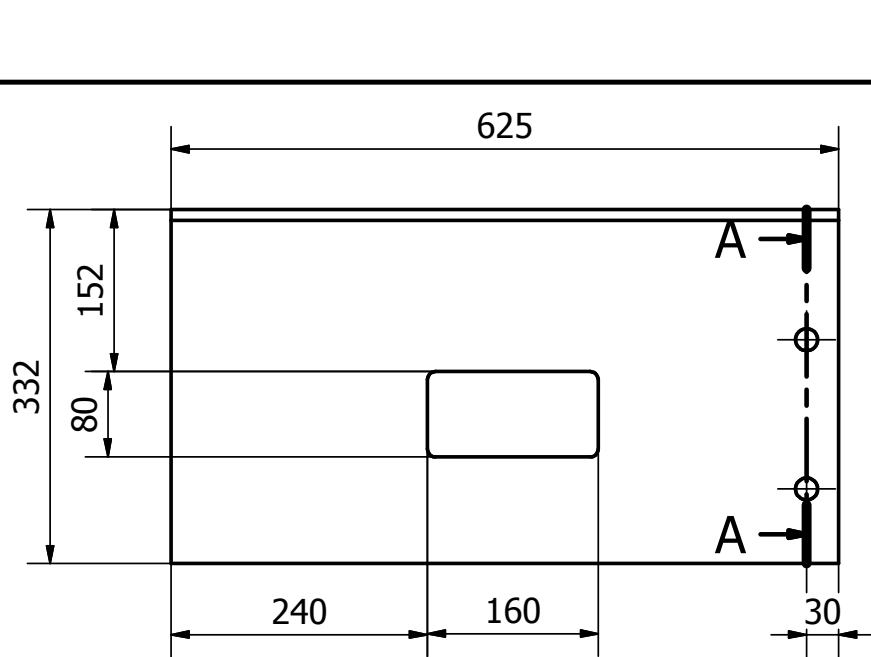
Diseño de Ignacio Venegas	Revisado por	Aprobado por	Fecha	Fecha 30-08-2016	Escala 1:3
Acero ASTM A 572			Molde fijo 5-4		
5-4			Edición	Hoja 1 / 1	



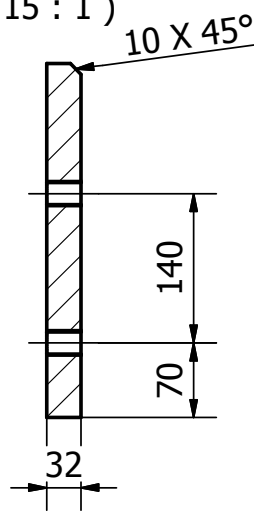
Diseño de Ignacio Venegas	Revisado por	Aprobado por	Fecha	Fecha 30-08-2016	Escala 1:4
Acero ASTM A 572			Molde fijo 5-1, 5-2, 5-3		
5-1, 5-2, 5-3				Edición	Hoja 1 / 1



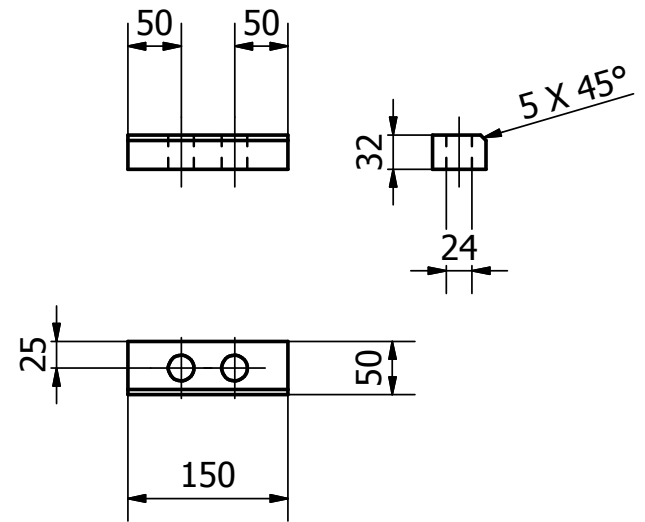
Diseño de Ignacio Venegas	Revisado por	Aprobado por	Fecha	Fecha 31-08-2016	Escala 1:5
Soldadura con electrodo E7018			Molde Fijo 13		
13			Edición	Hoja 1 / 1	



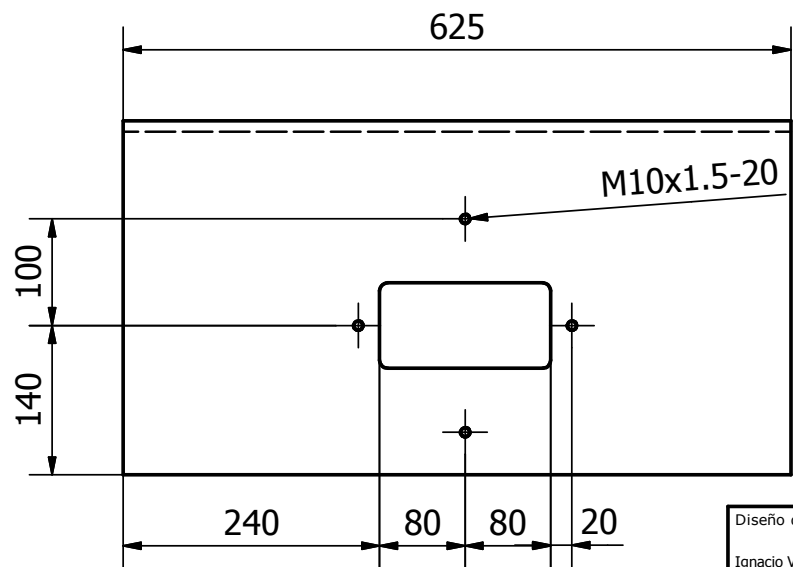
A-A (0.15 : 1)



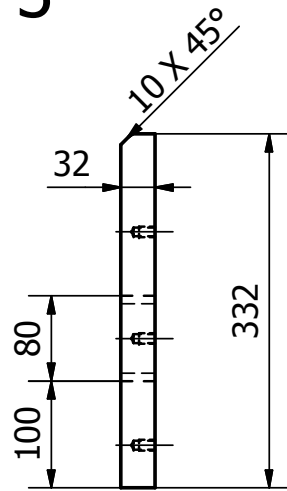
13-3



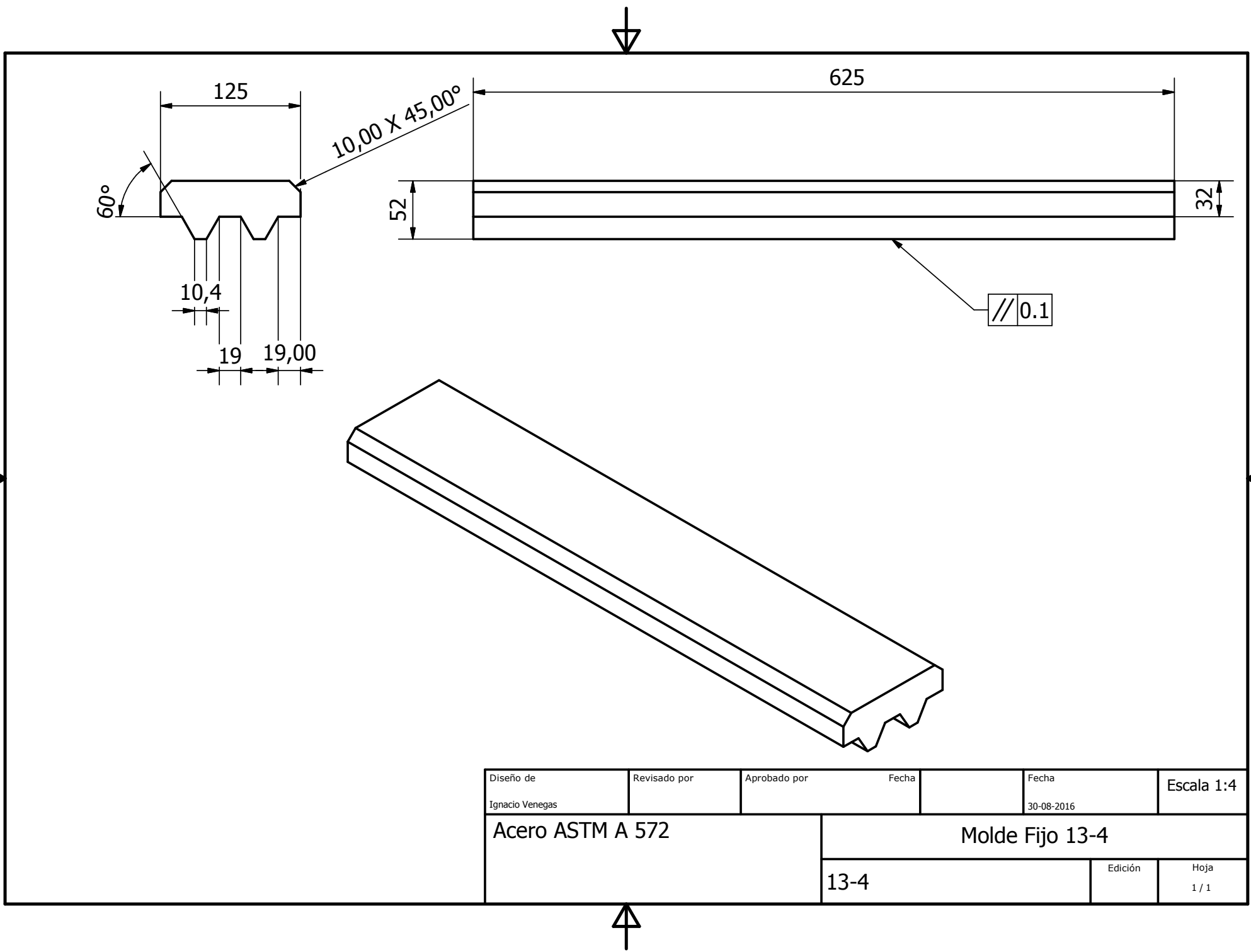
13-1



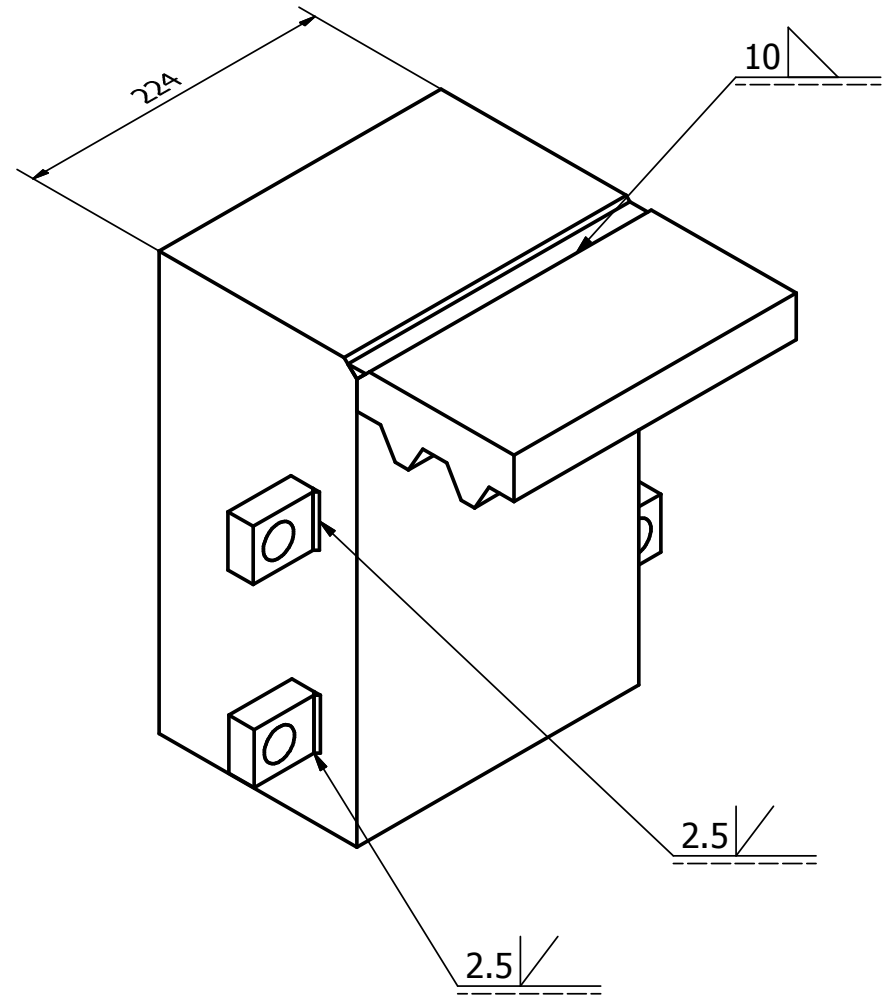
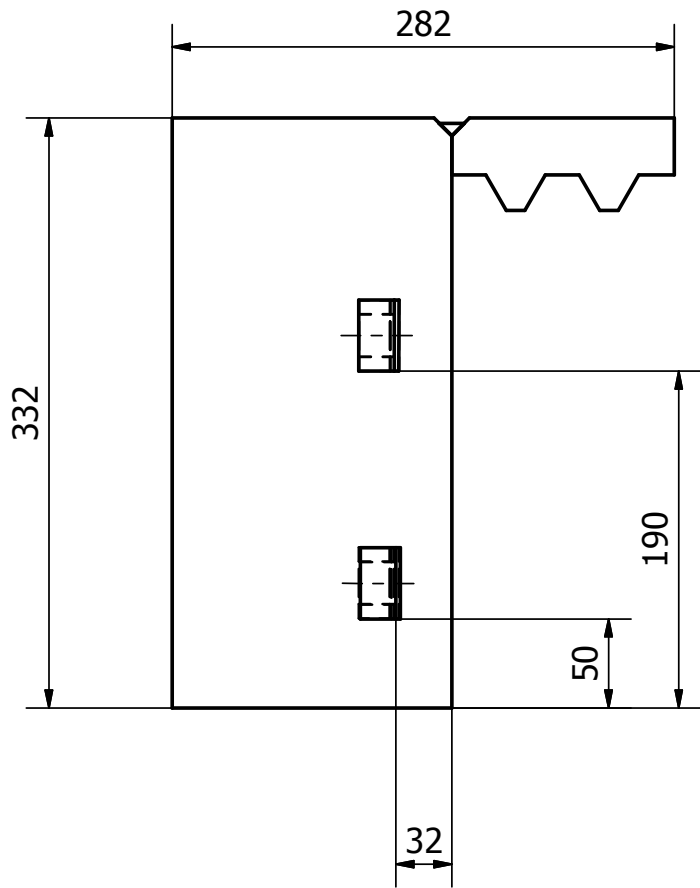
13-2



Diseño de Ignacio Venegas	Revisado por	Aprobado por	Fecha	Fecha 30-08-2016	Escala 0.15:1
Acero ASTM A572			Molde Fijo 13-1, 13-2, 13-3		
13-1, 13-2, 13-3				Edición	Hoja 1 / 1

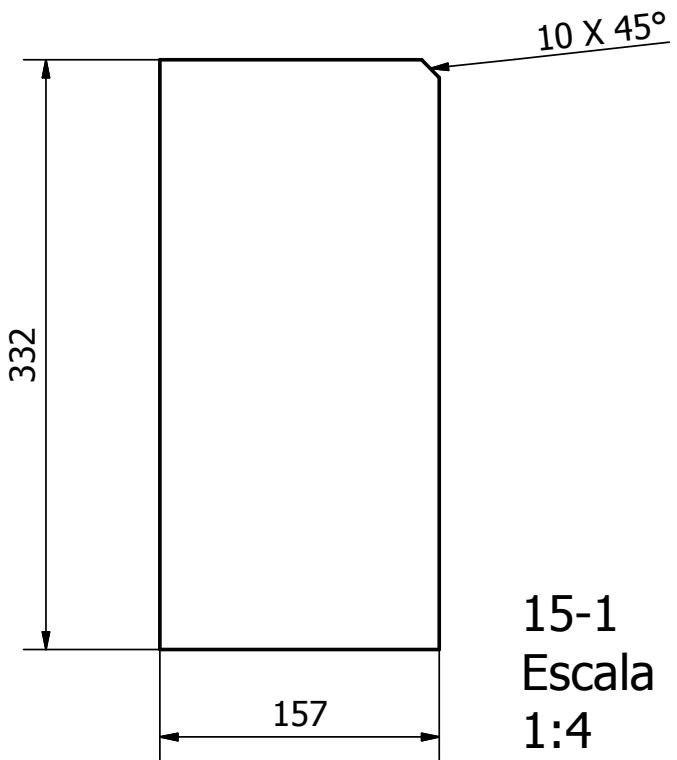


Diseño de Ignacio Venegas	Revisado por	Aprobado por	Fecha	Fecha 30-08-2016	Escala 1:4
Acero ASTM A 572			Molde Fijo 13-4		
			13-4	Edición	Hoja 1 / 1

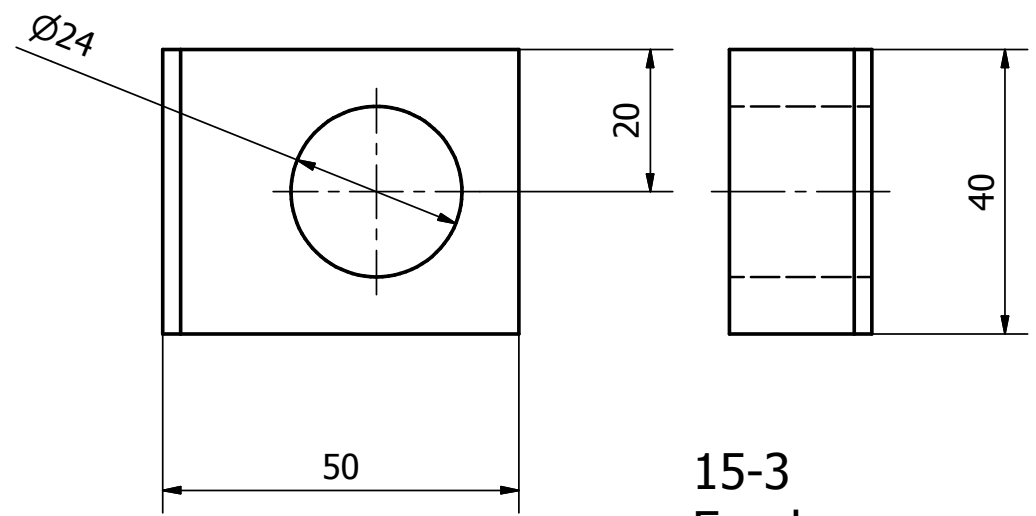
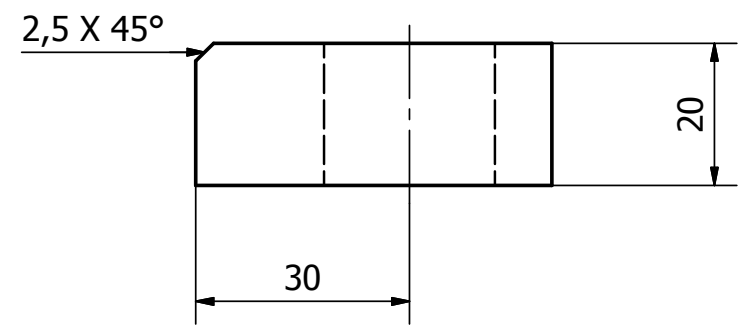


Diseño de Ignacio Venegas	Revisado por	Aprobado por	Fecha	Fecha 31-08-2016	Escala 1:4
Soldadura con Electroda E 7018			Molde fijo 15		
			15	Edición	Hoja 1 / 1

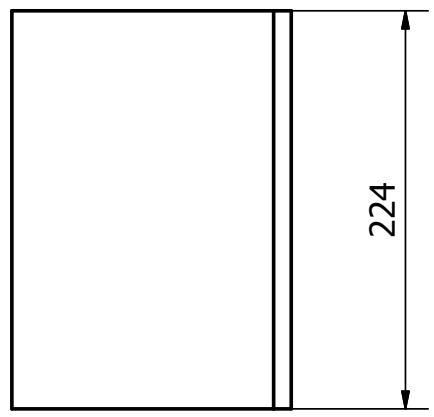




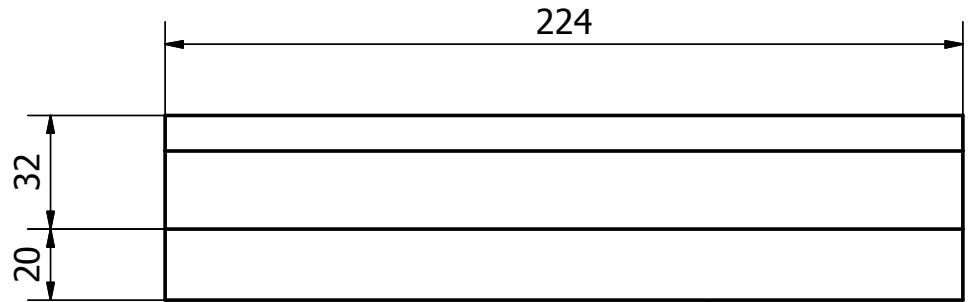
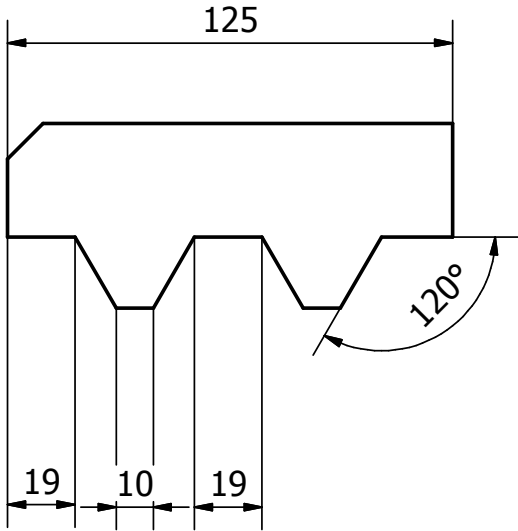
15-1
Escala
1:4



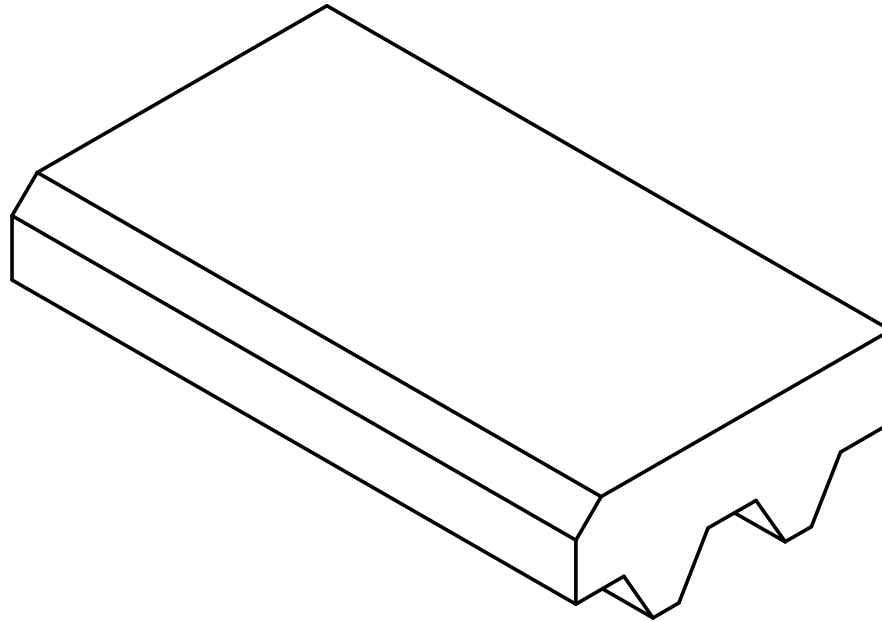
15-3
Escala
1:1



Diseño de Ignacio Venegas	Revisado por	Aprobado por	Fecha	Fecha 31-08-2016	
15-1 Acero SAE 1045 15-3 Acero ASTM A 572			Molde Fijo 15-1 y 15-3		
15-1 y 15-3			Edición	Hoja 1 / 1	



//0.1



Diseño de Ignacio Venegas	Revisado por	Aprobado por	Fecha	Fecha 31-08-2016	Escala 1:2
Acero ASTM A 572			Molde fijo 15-2		
			15-2	Edición	Hoja 1 / 1